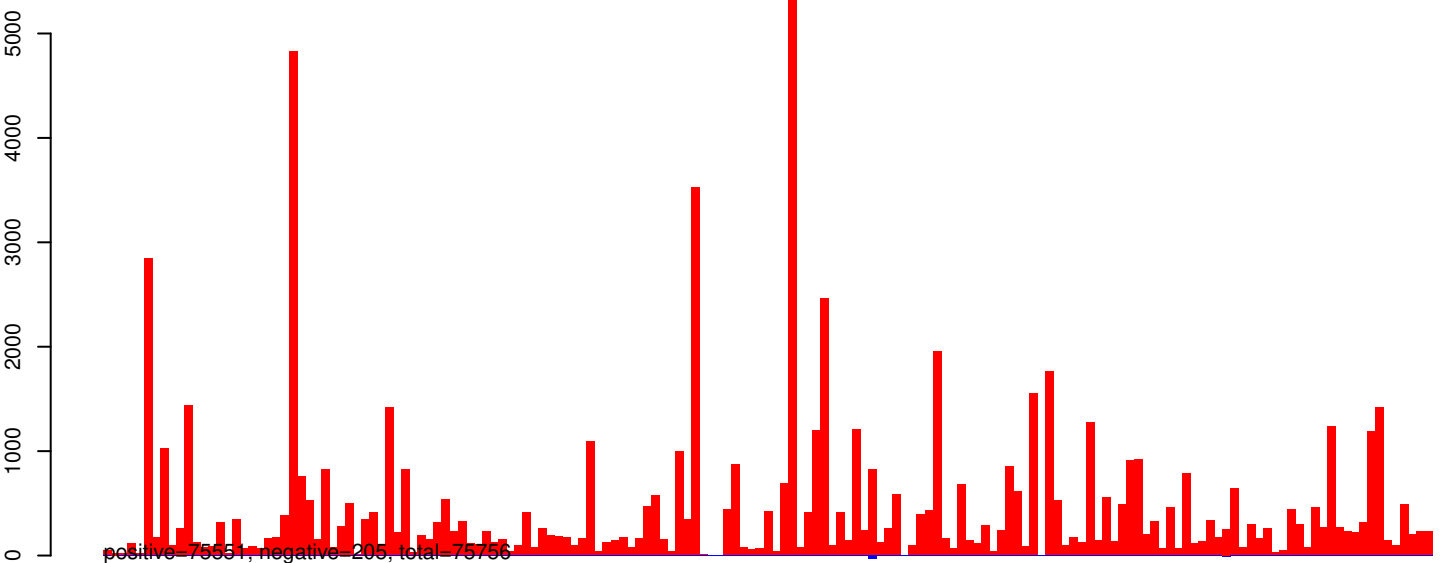


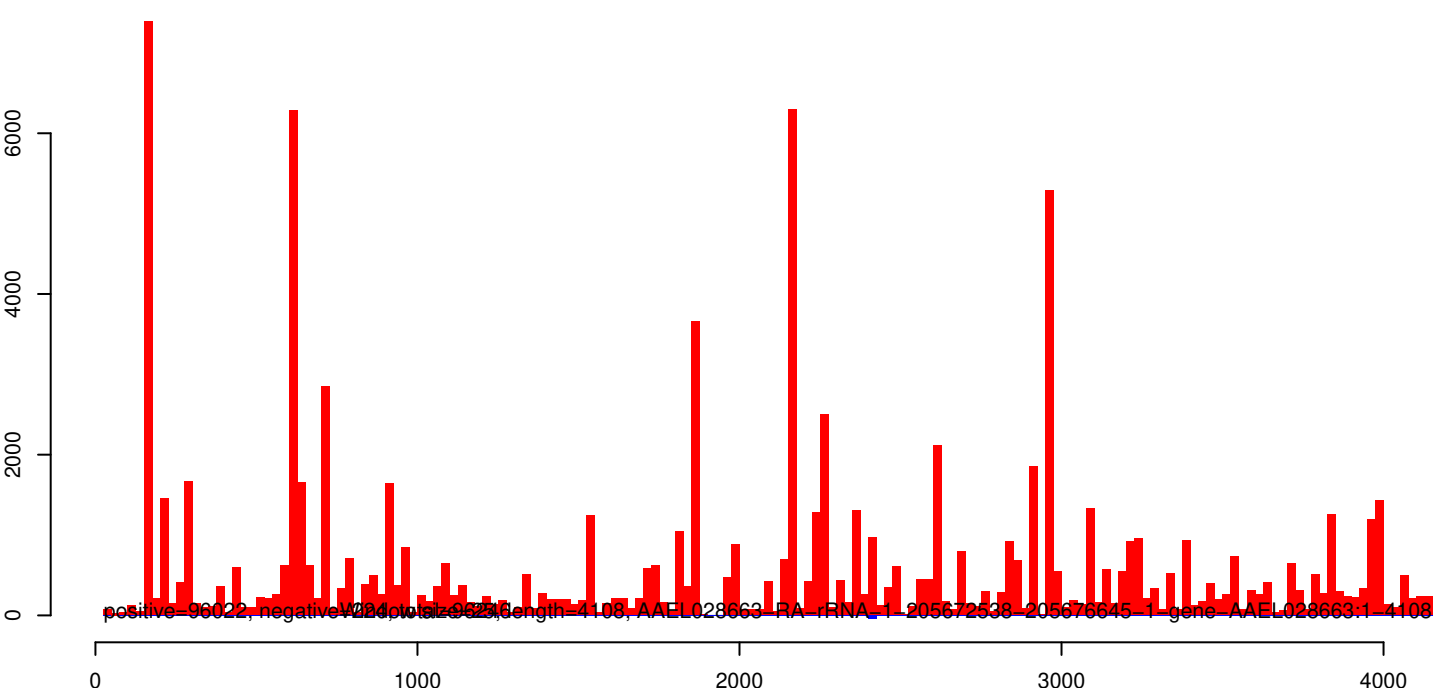
AeAeg_Whole_ZIKVdr_In_RNA_GP.18_23.rep



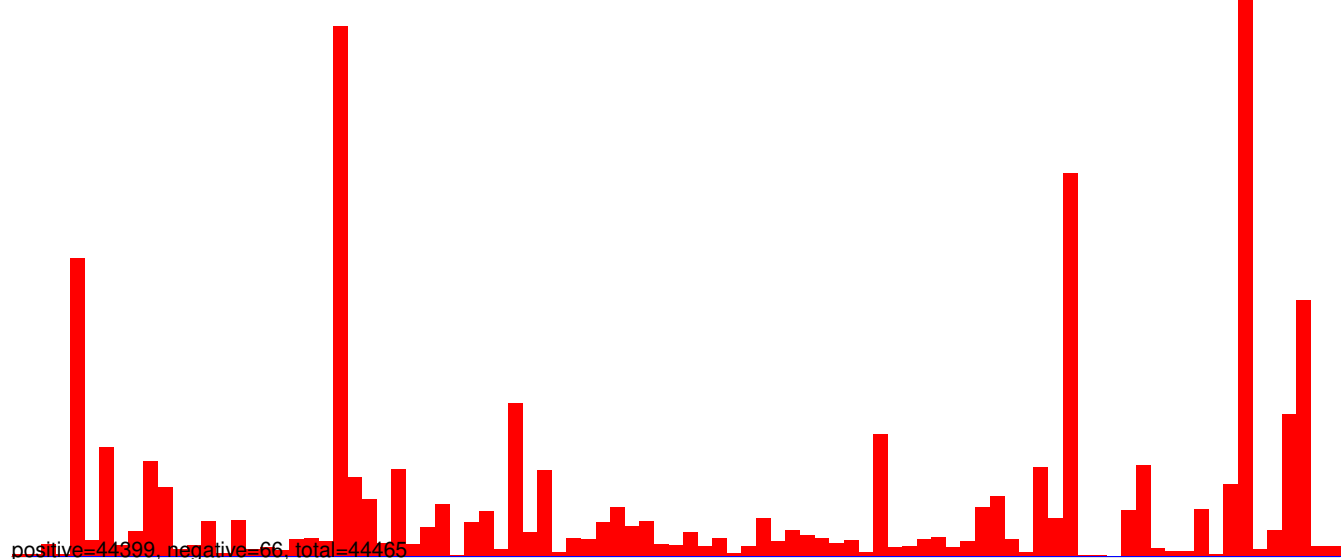
AeAeg_Whole_ZIKVdr_In_RNA_GP.24_35.rep



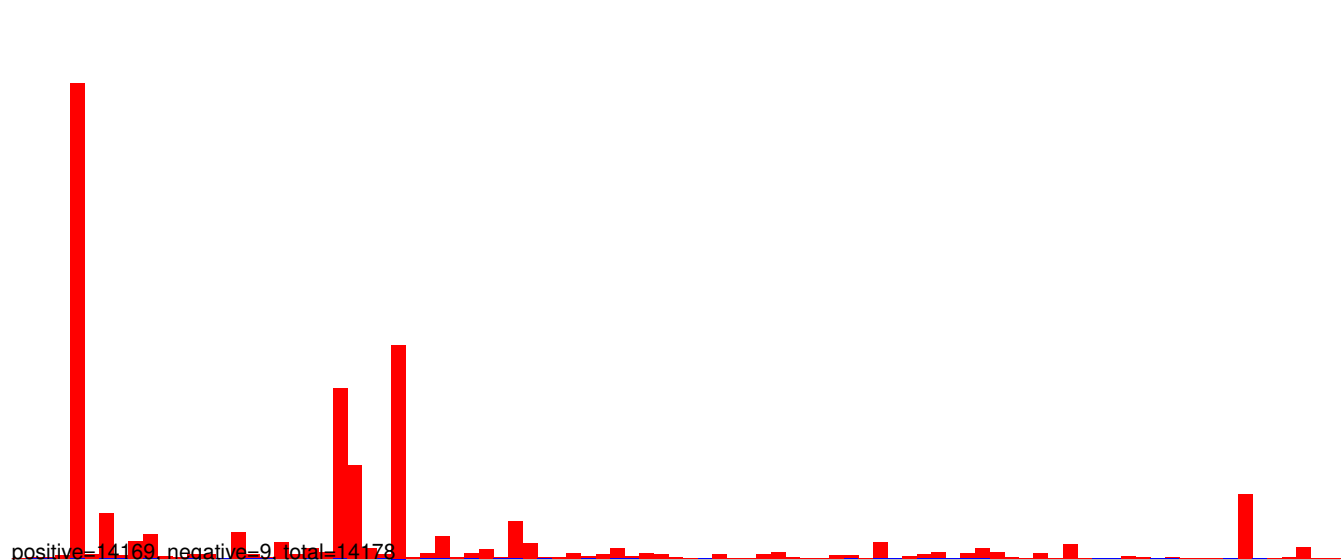
AeAeg_Whole_ZIKVdr_In_RNA_GP.rep



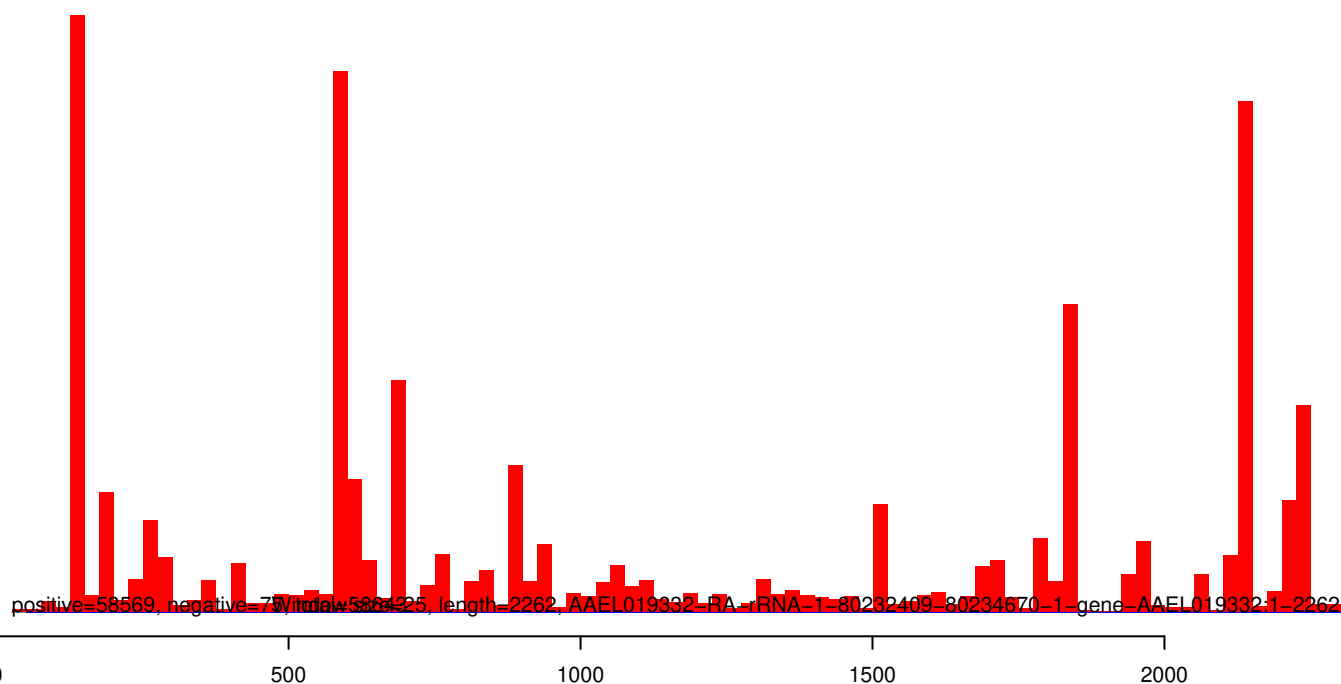
AeAeg_Whole_ZIKVdr_In_RNA_GP.18_23.rep



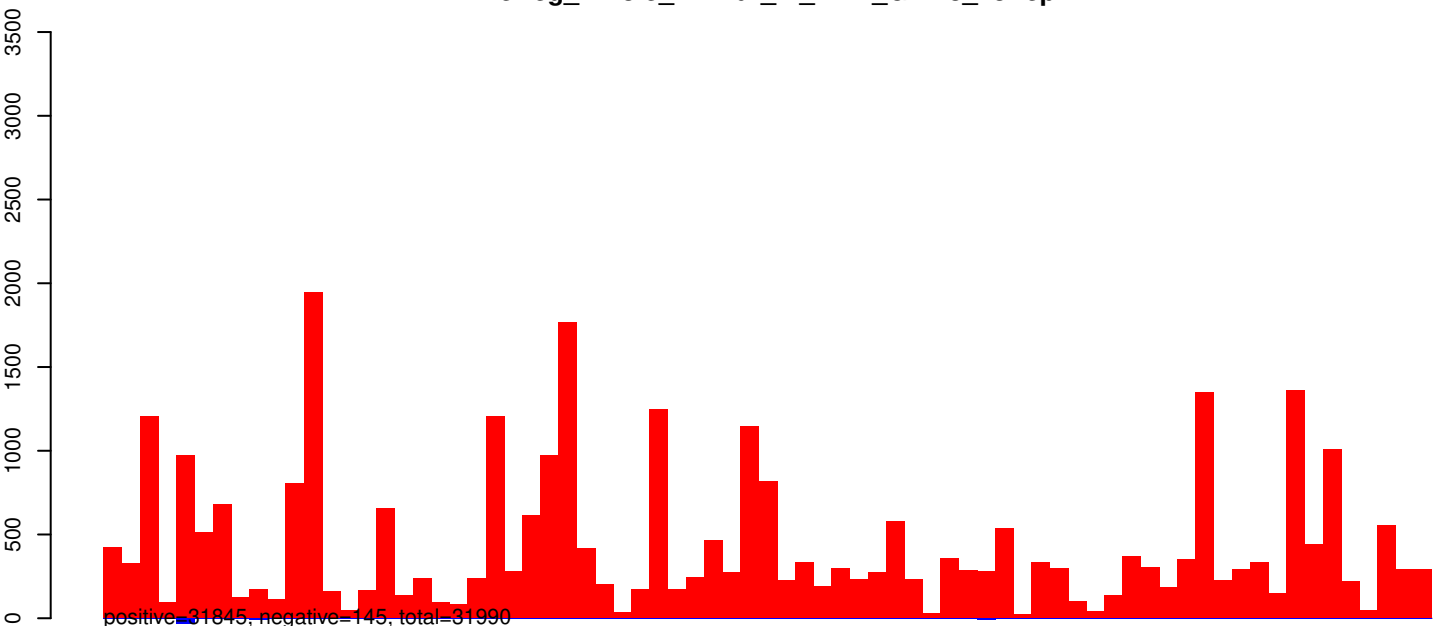
AeAeg_Whole_ZIKVdr_In_RNA_GP.24_35.rep



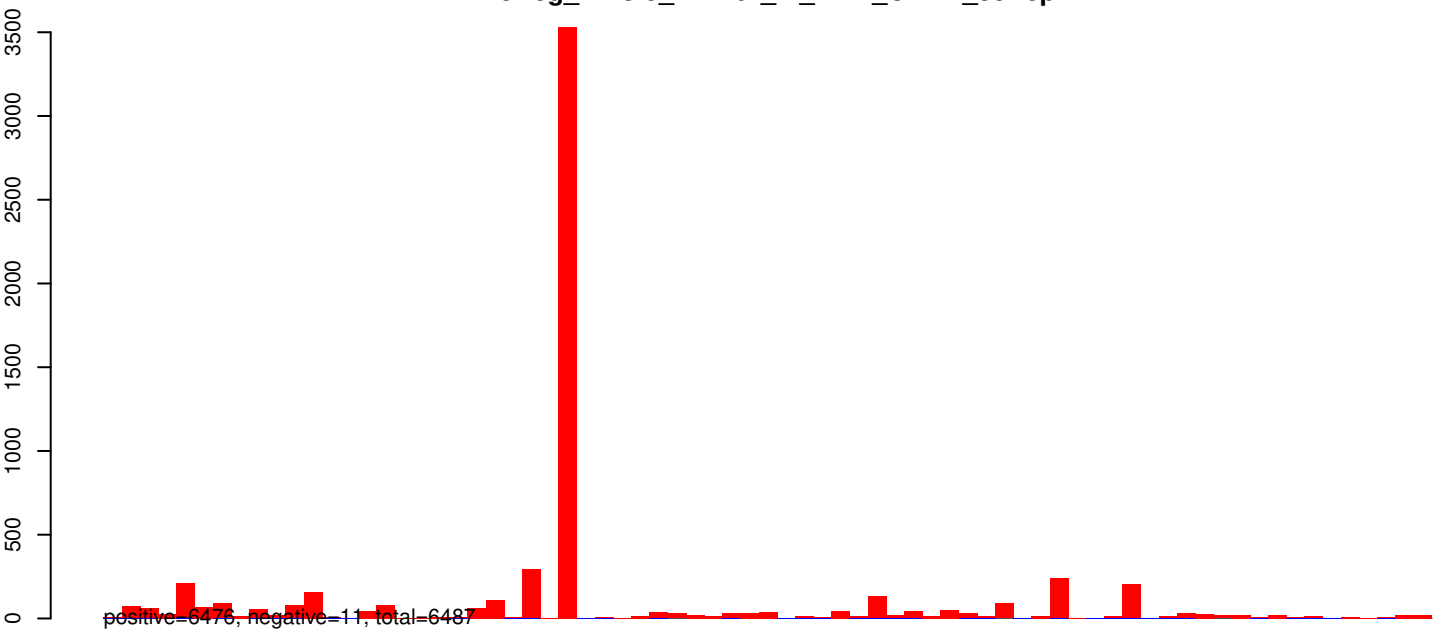
AeAeg_Whole_ZIKVdr_In_RNA_GP.rep



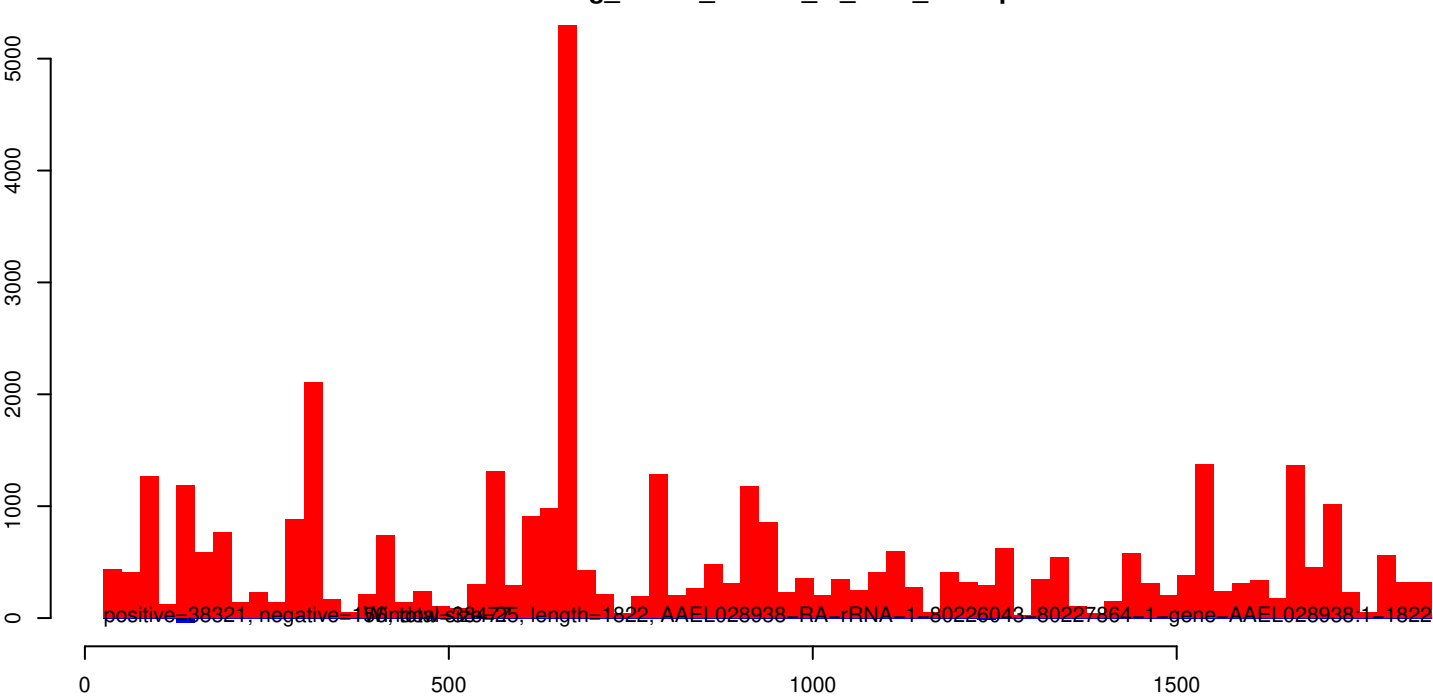
AeAeg_Whole_ZIKVdr_In_RNA_GP.18_23.rep



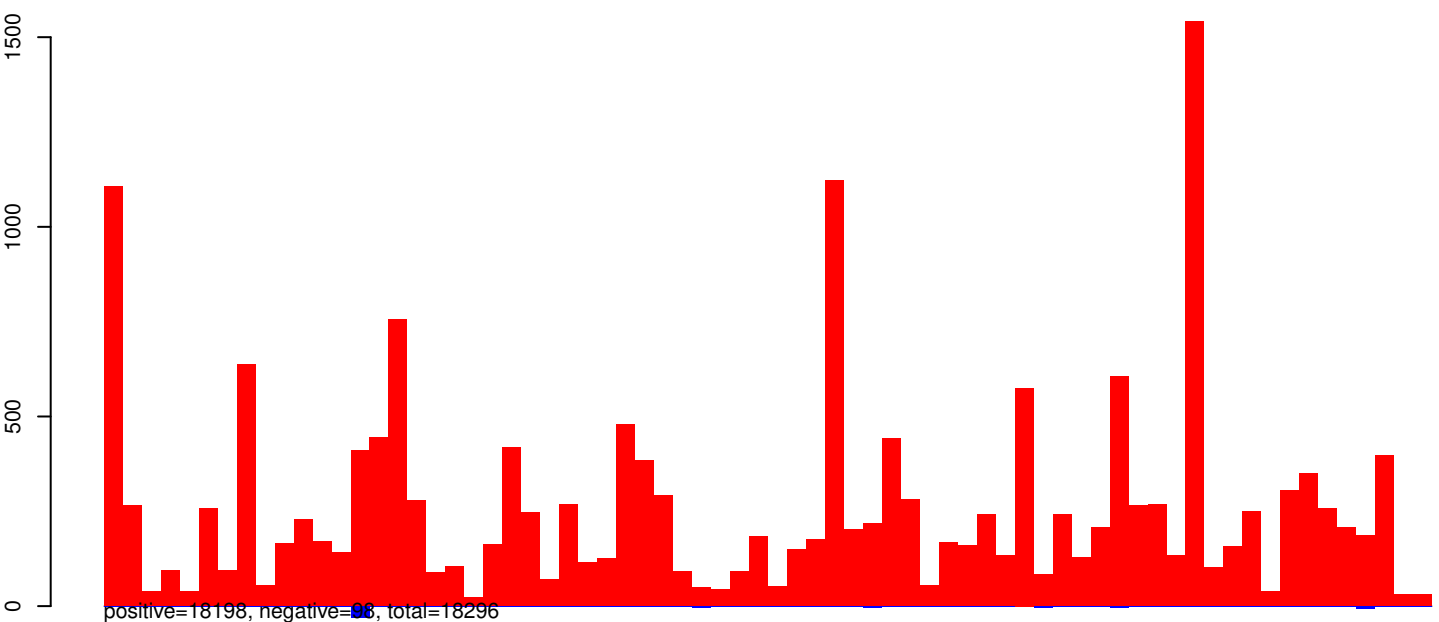
AeAeg_Whole_ZIKVdr_In_RNA_GP.24_35.rep



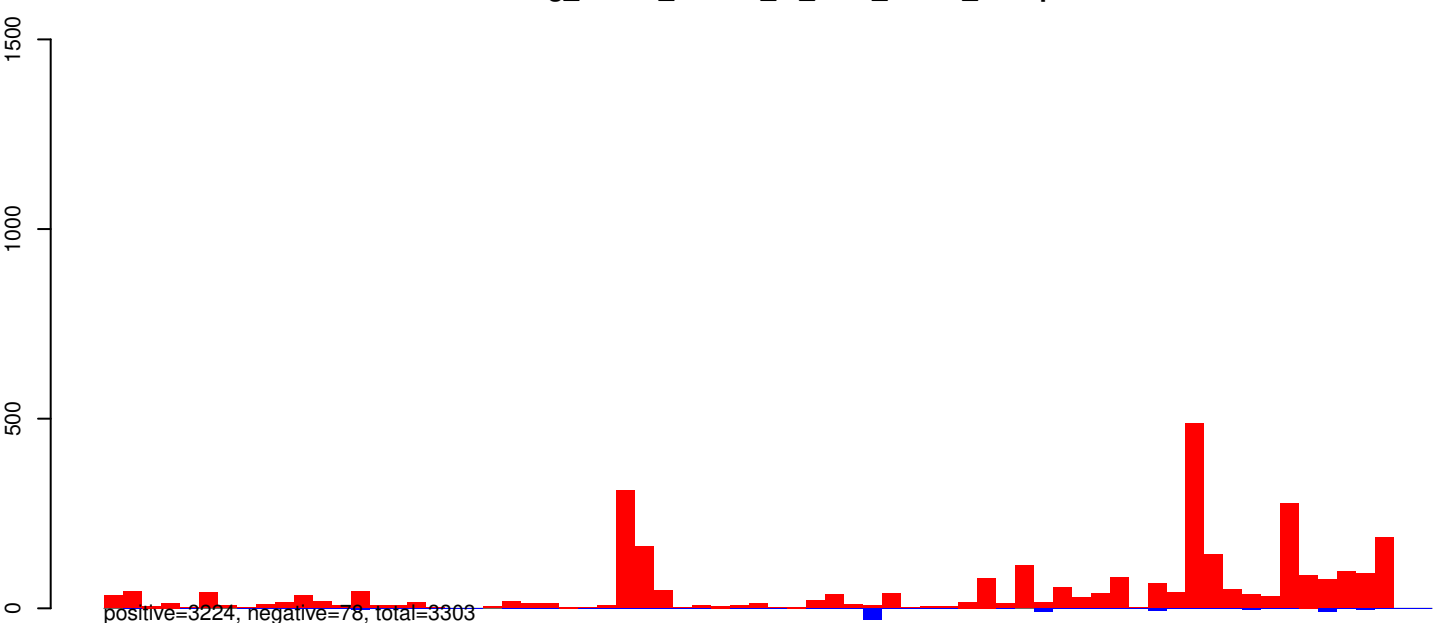
AeAeg_Whole_ZIKVdr_In_RNA_GP.rep



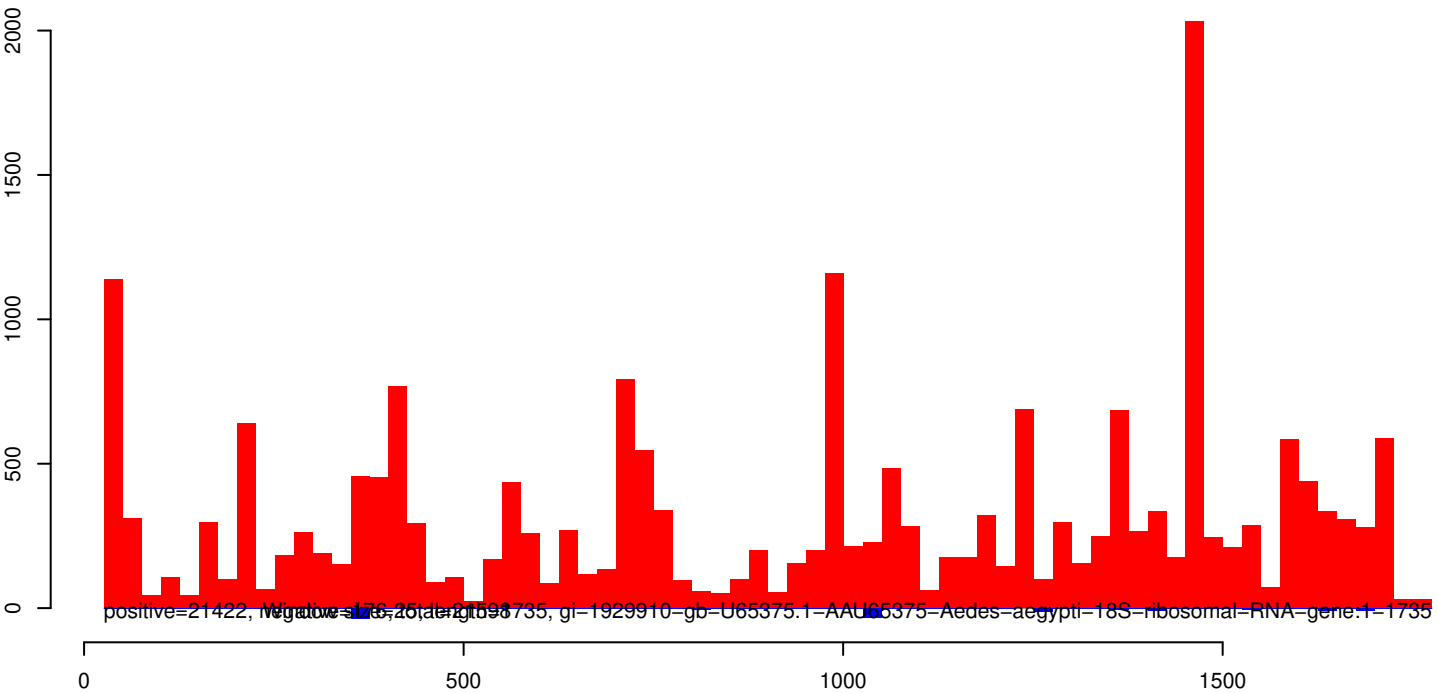
AeAeg_Whole_ZIKVdr_In_RNA_GP.18_23.rep



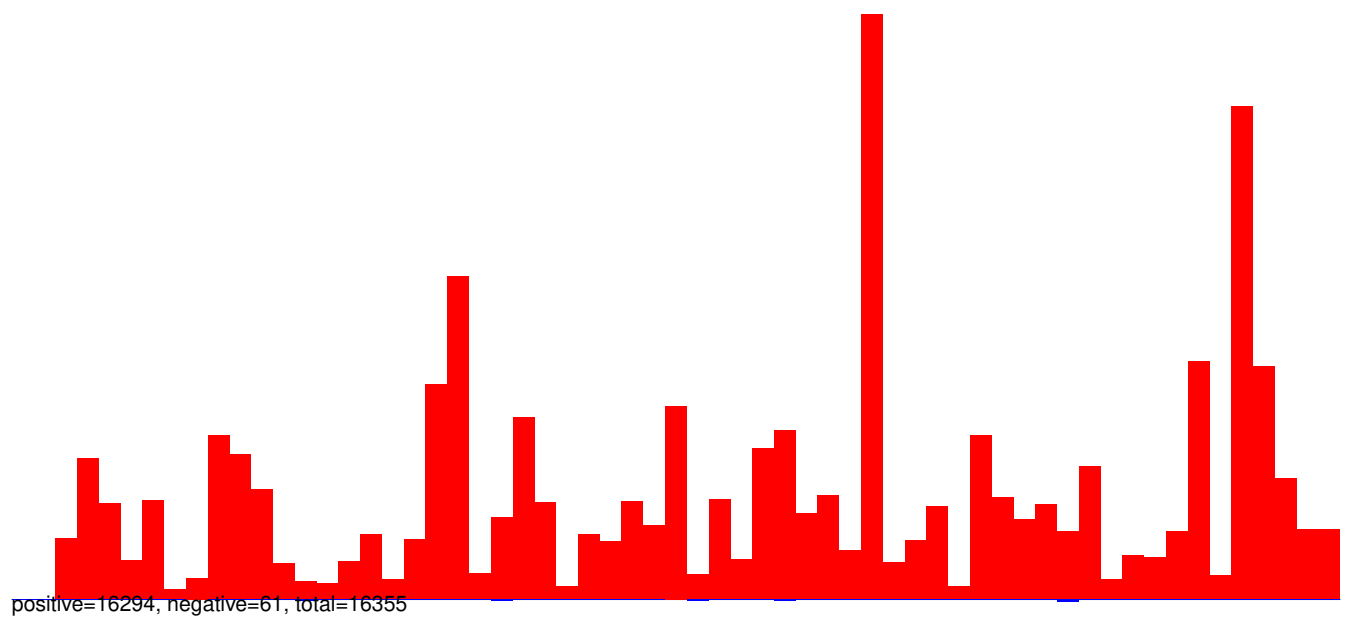
AeAeg_Whole_ZIKVdr_In_RNA_GP.24_35.rep



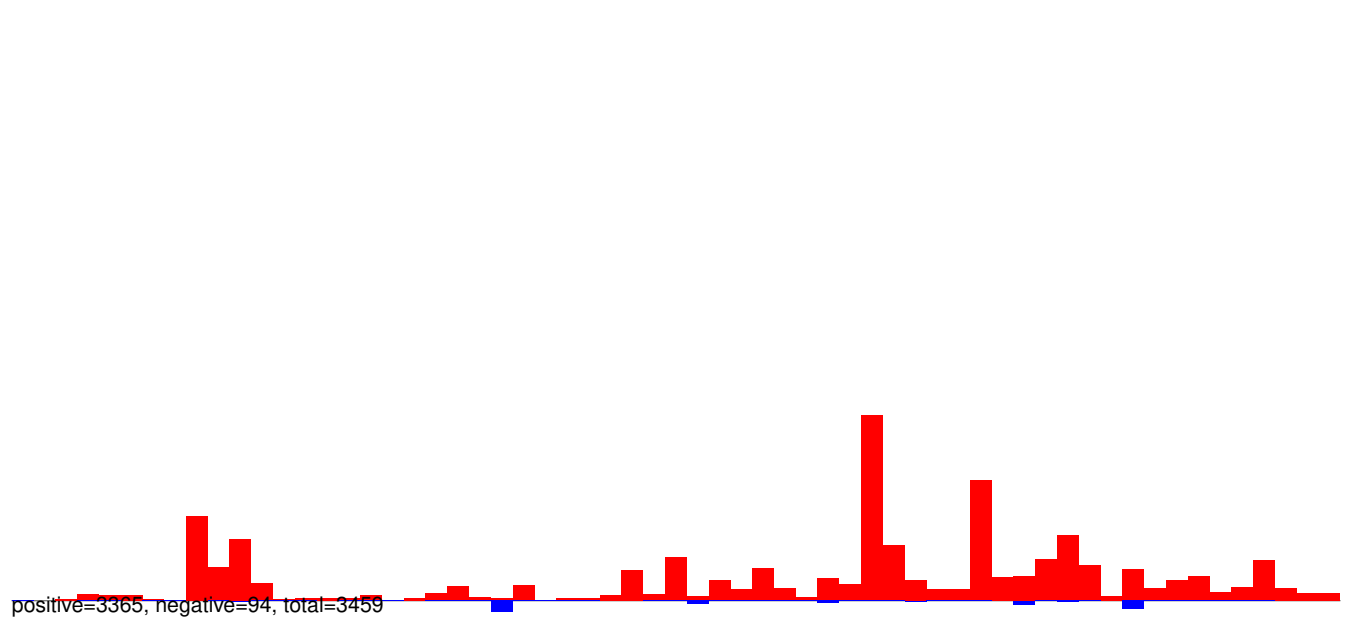
AeAeg_Whole_ZIKVdr_In_RNA_GP.rep



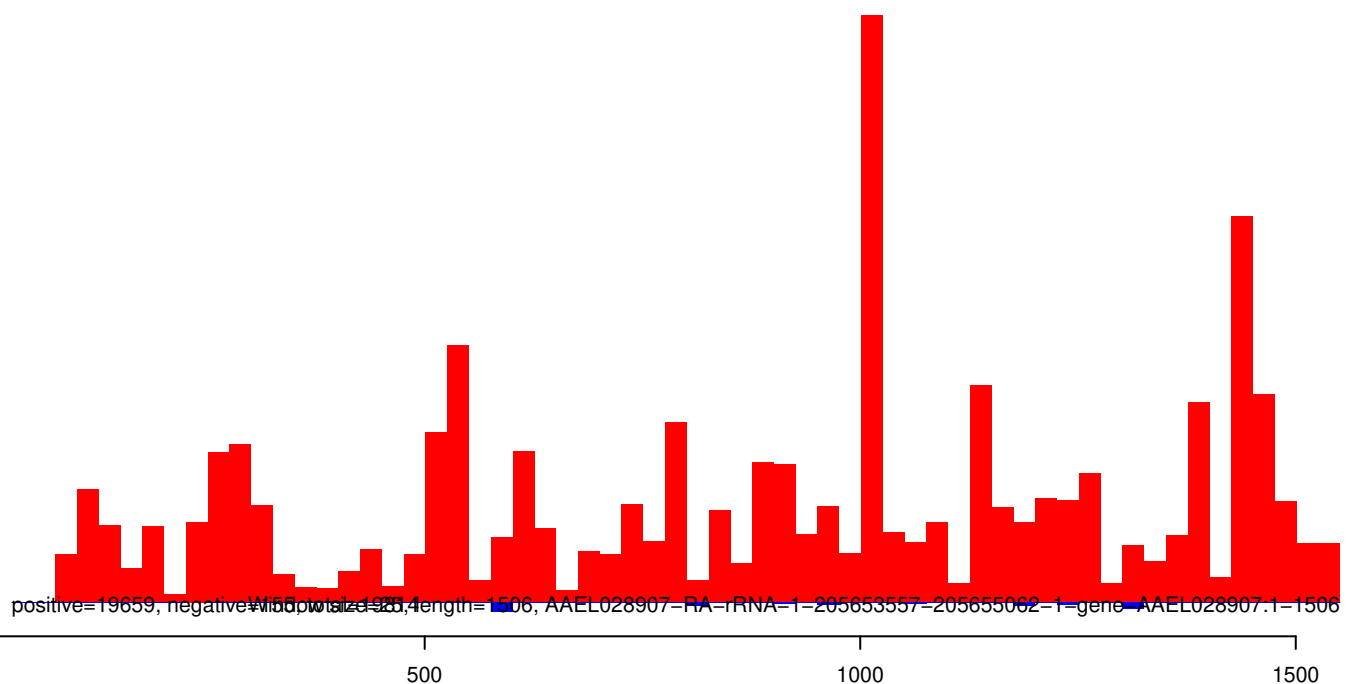
AeAeg_Whole_ZIKVdr_In_RNA_GP.18_23.rep



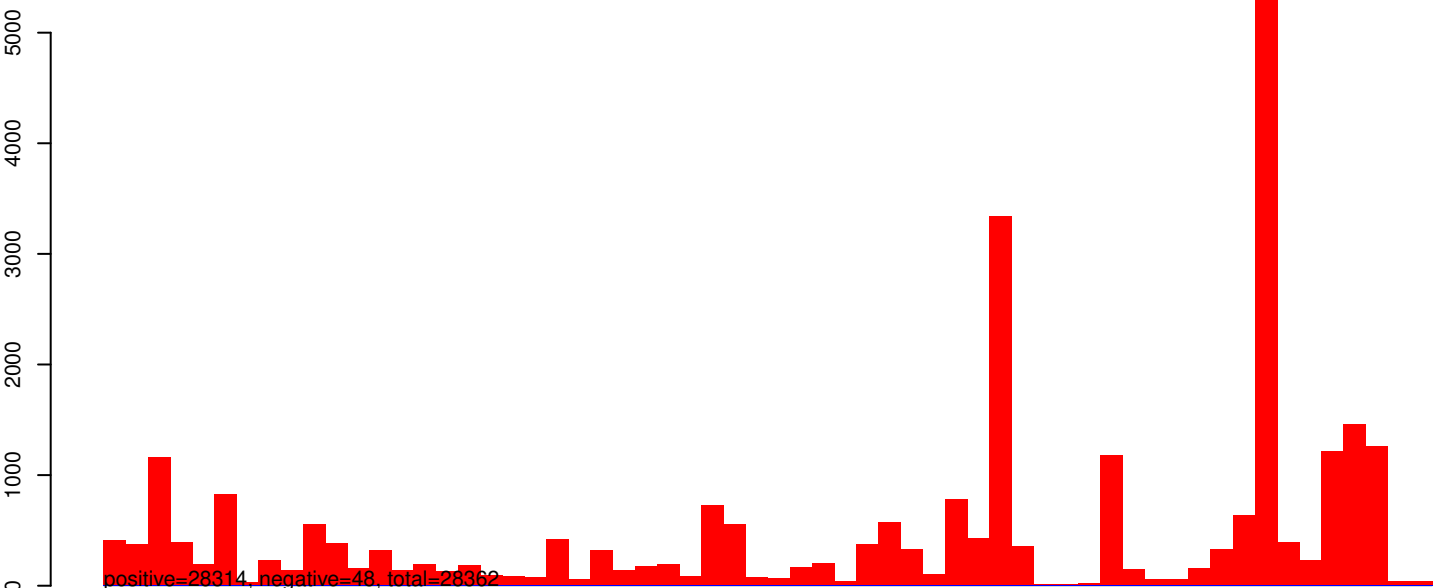
AeAeg_Whole_ZIKVdr_In_RNA_GP.24_35.rep



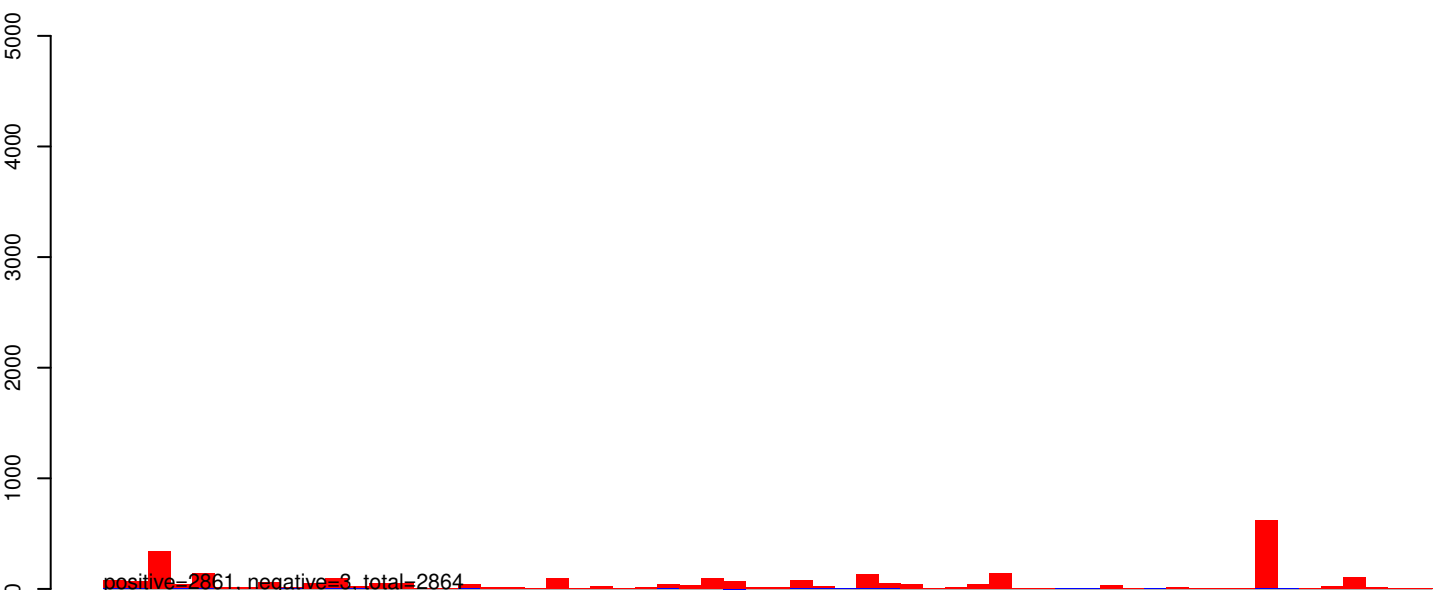
AeAeg_Whole_ZIKVdr_In_RNA_GP.rep



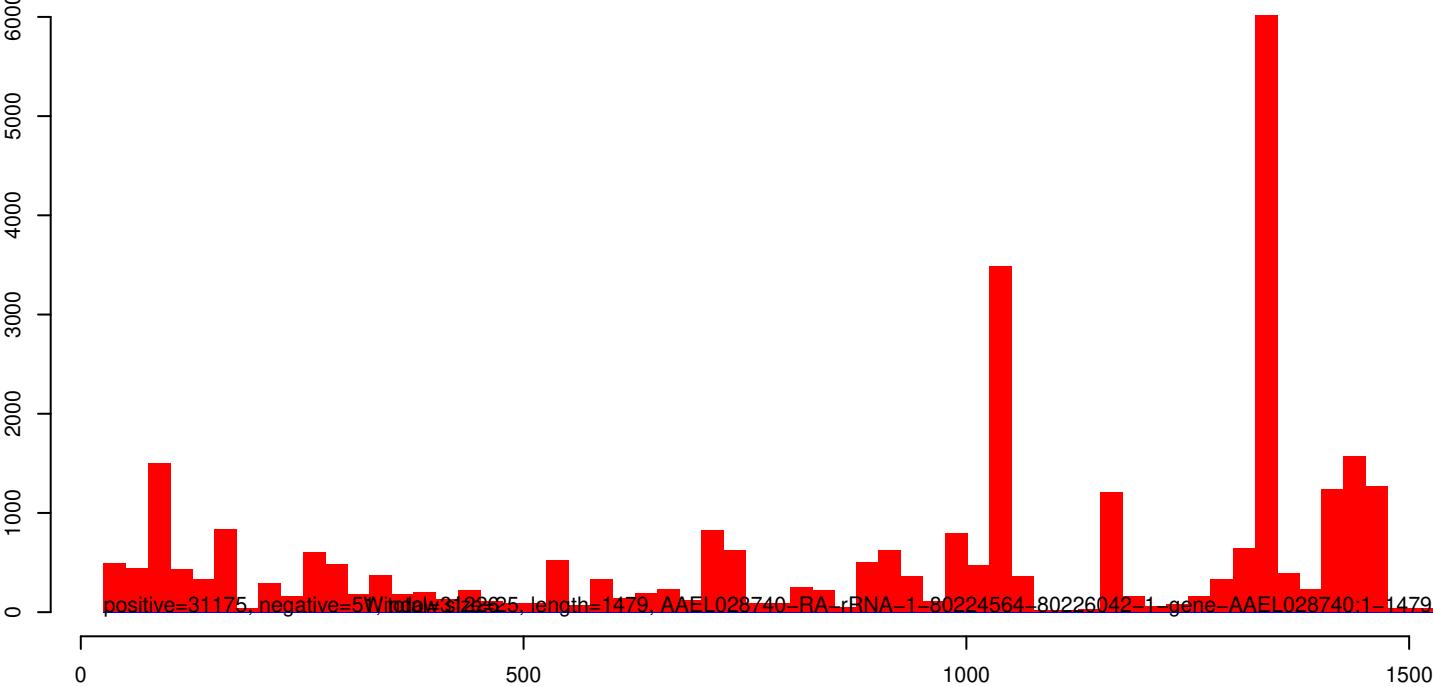
AeAeg_Whole_ZIKVdr_In_RNA_GP.18_23.rep



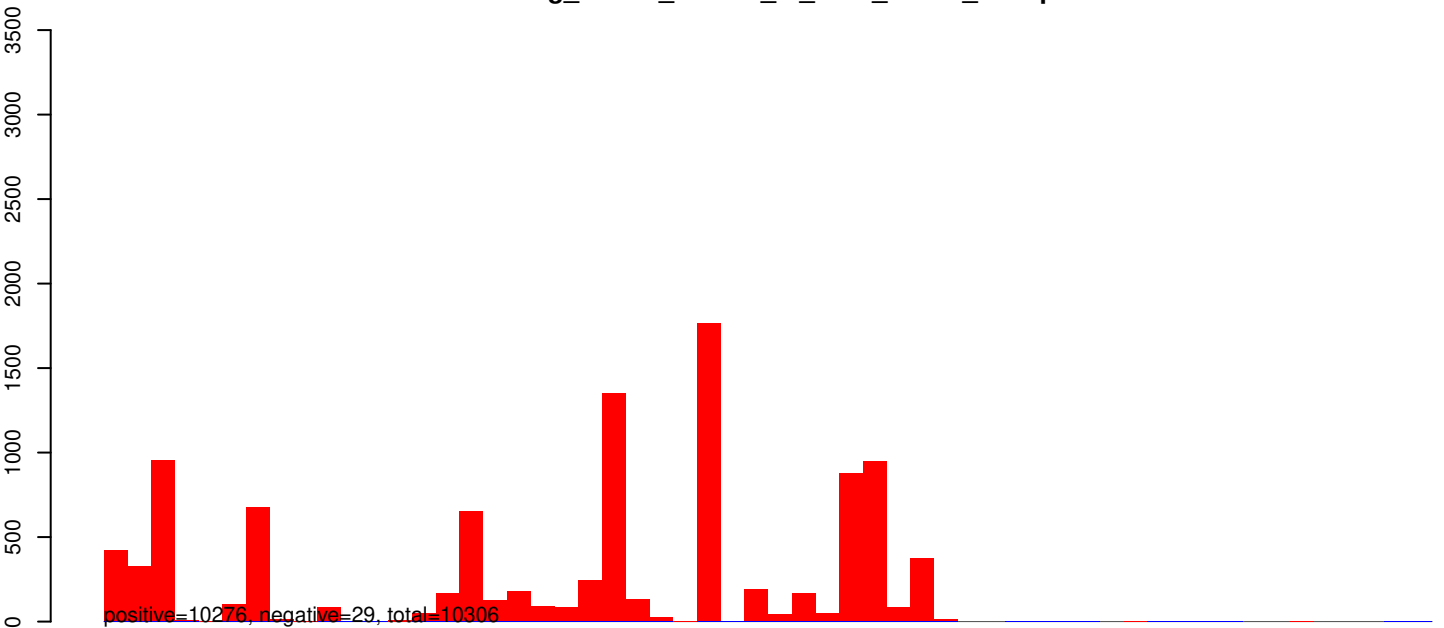
AeAeg_Whole_ZIKVdr_In_RNA_GP.24_35.rep



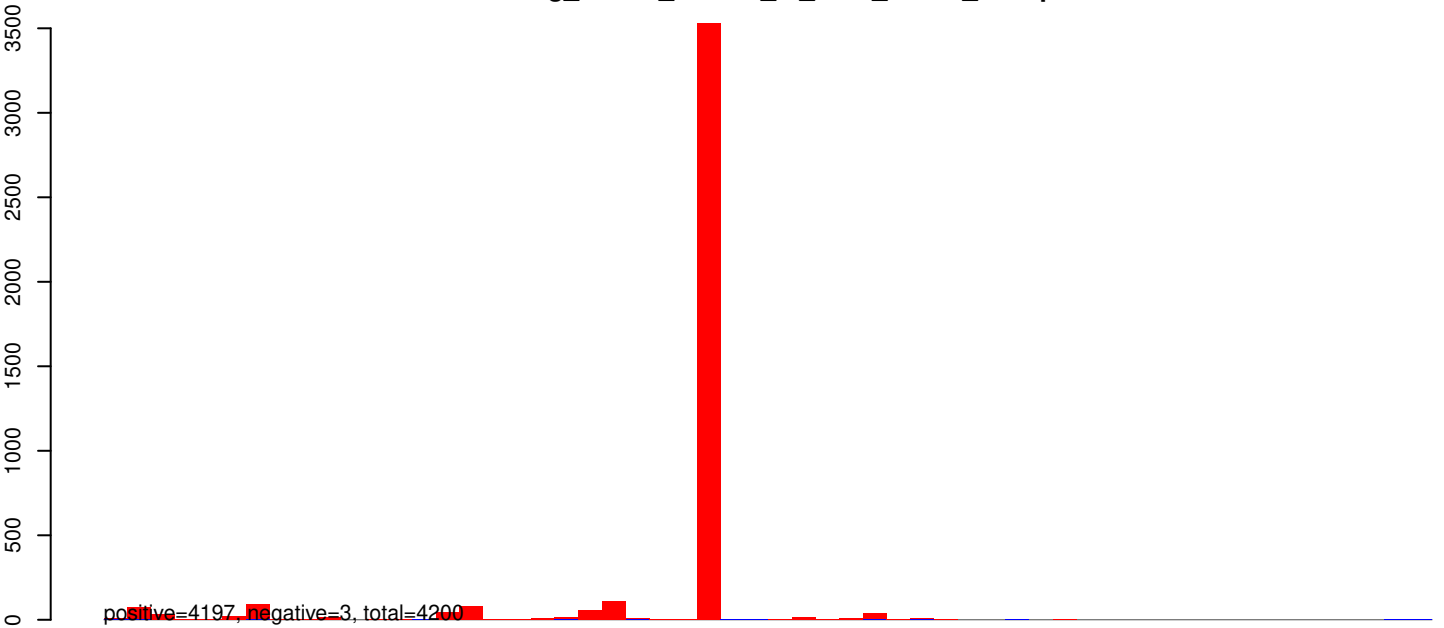
AeAeg_Whole_ZIKVdr_In_RNA_GP.rep



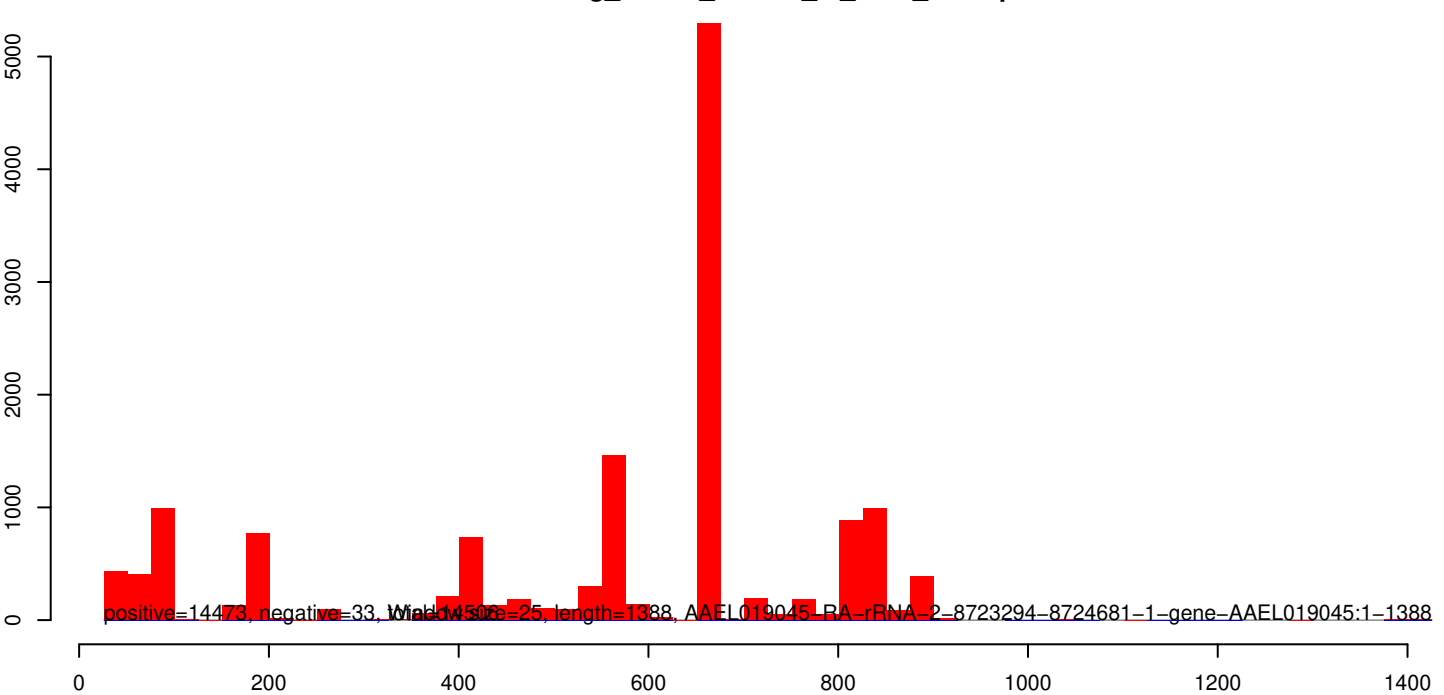
AeAeg_Whole_ZIKVdr_In_RNA_GP.18_23.rep



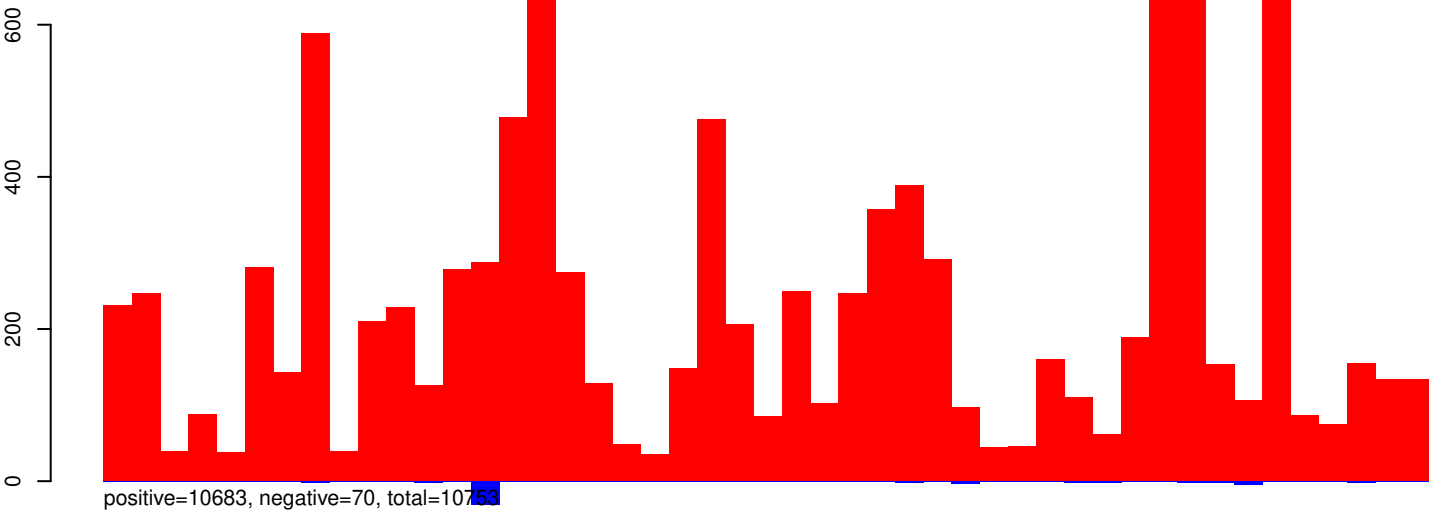
AeAeg_Whole_ZIKVdr_In_RNA_GP.24_35.rep



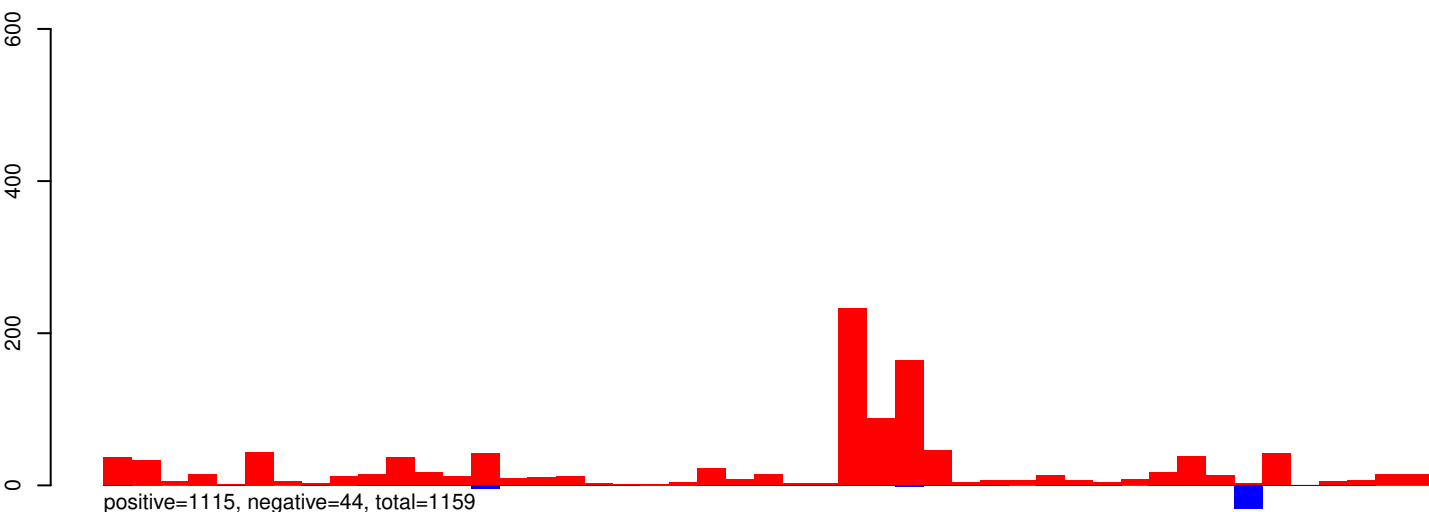
AeAeg_Whole_ZIKVdr_In_RNA_GP.rep



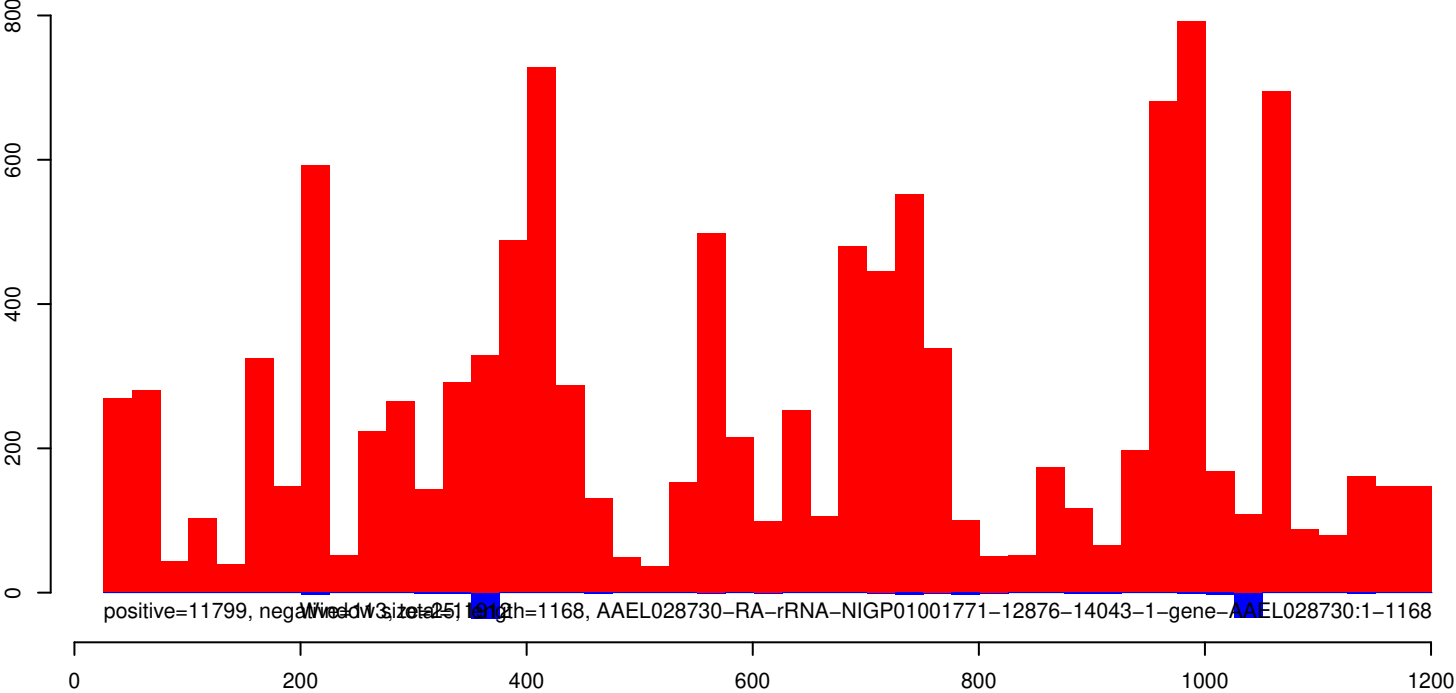
AeAeg_Whole_ZIKVdr_In_RNA_GP.18_23.rep



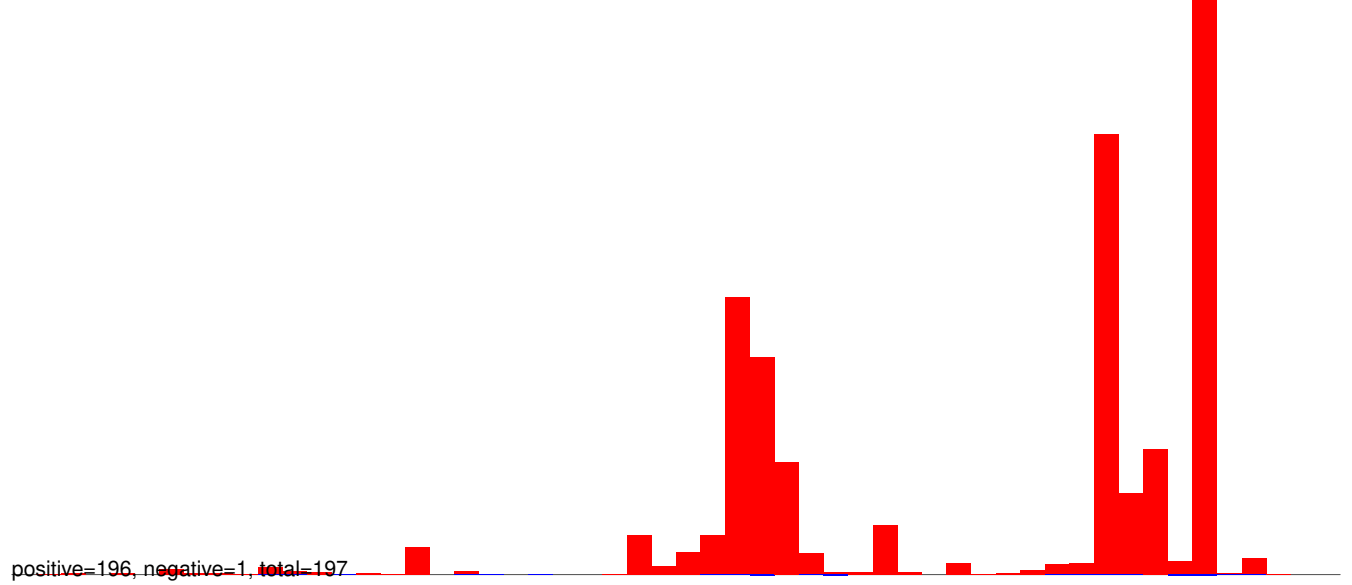
AeAeg_Whole_ZIKVdr_In_RNA_GP.24_35.rep



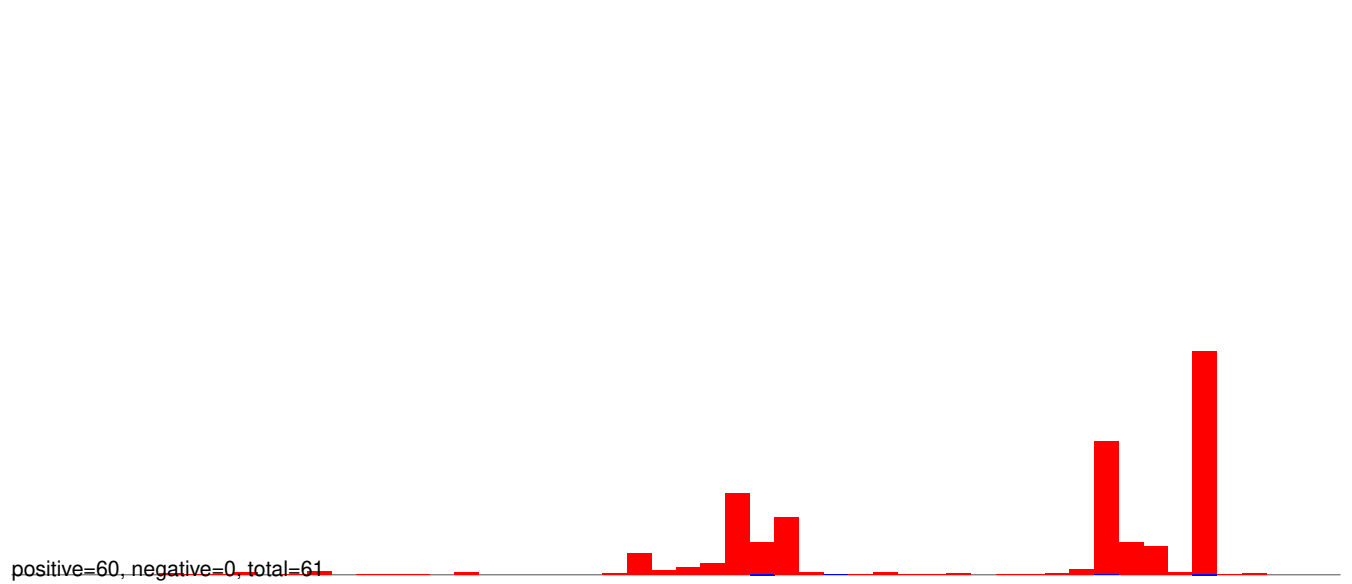
AeAeg_Whole_ZIKVdr_In_RNA_GP.rep



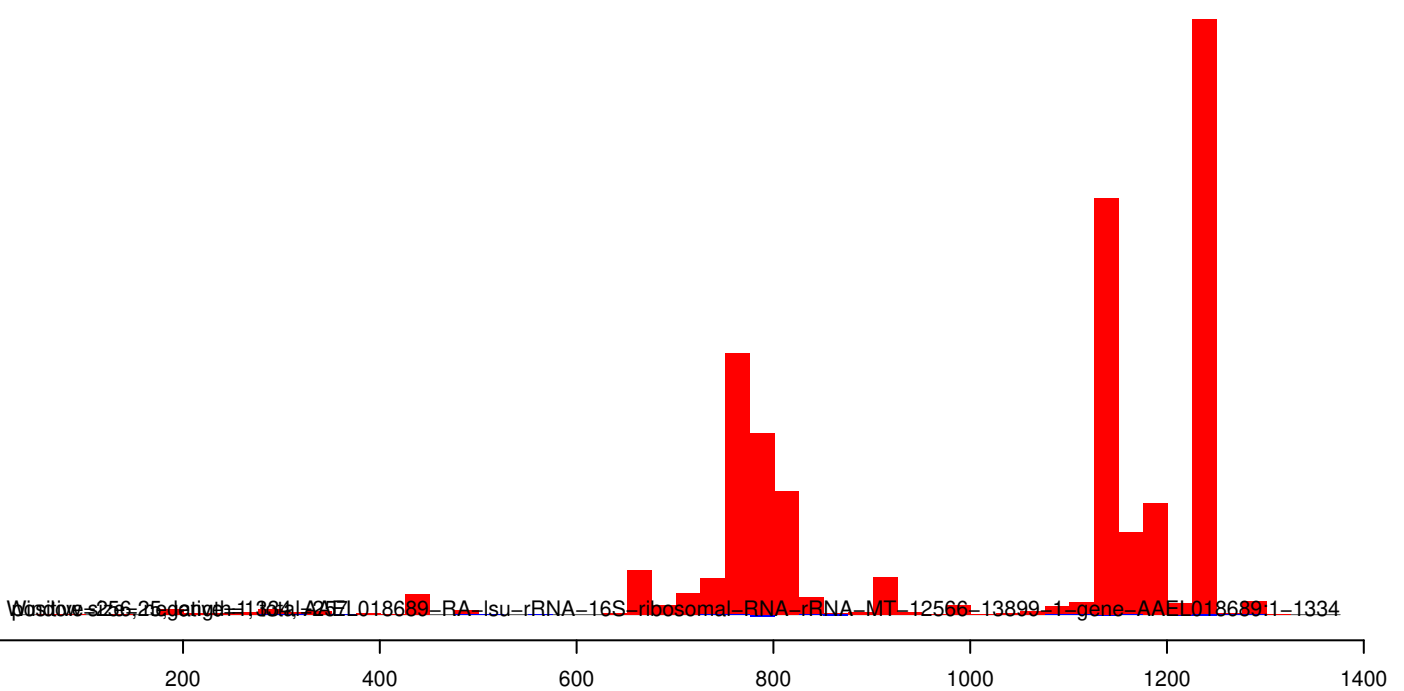
AeAeg_Whole_ZIKVdr_In_RNA_GP.18_23.rep



AeAeg_Whole_ZIKVdr_In_RNA_GP.24_35.rep



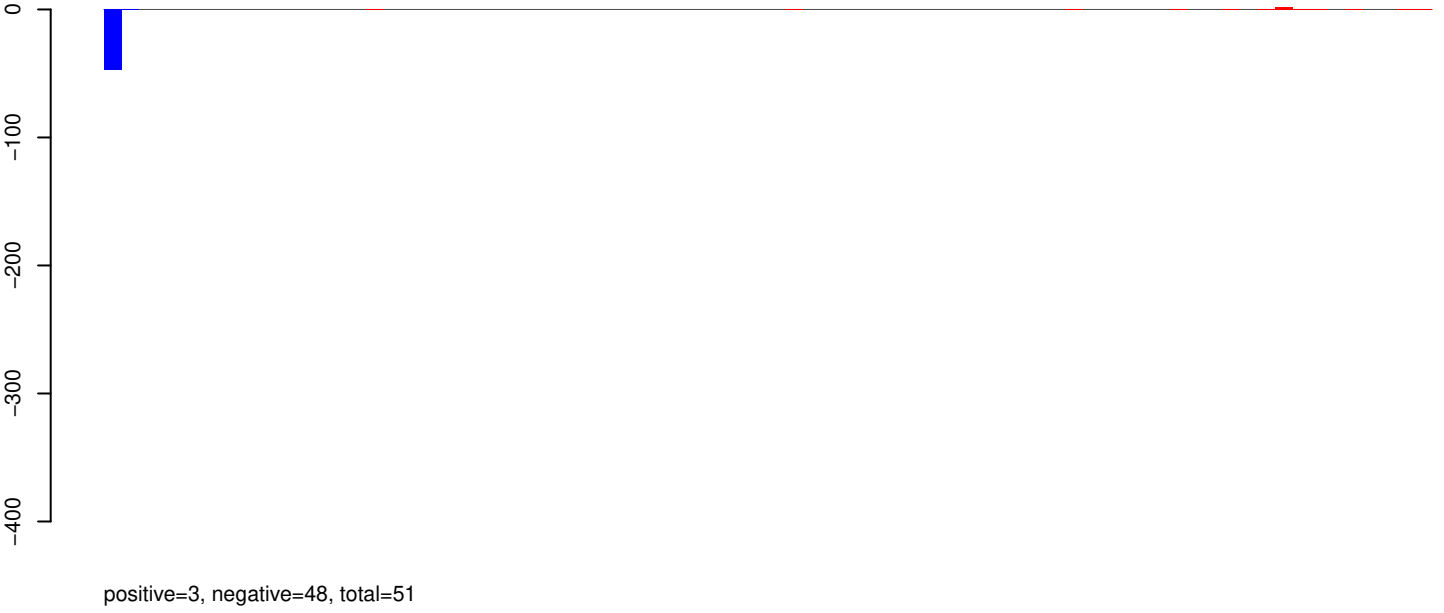
AeAeg_Whole_ZIKVdr_In_RNA_GP.rep



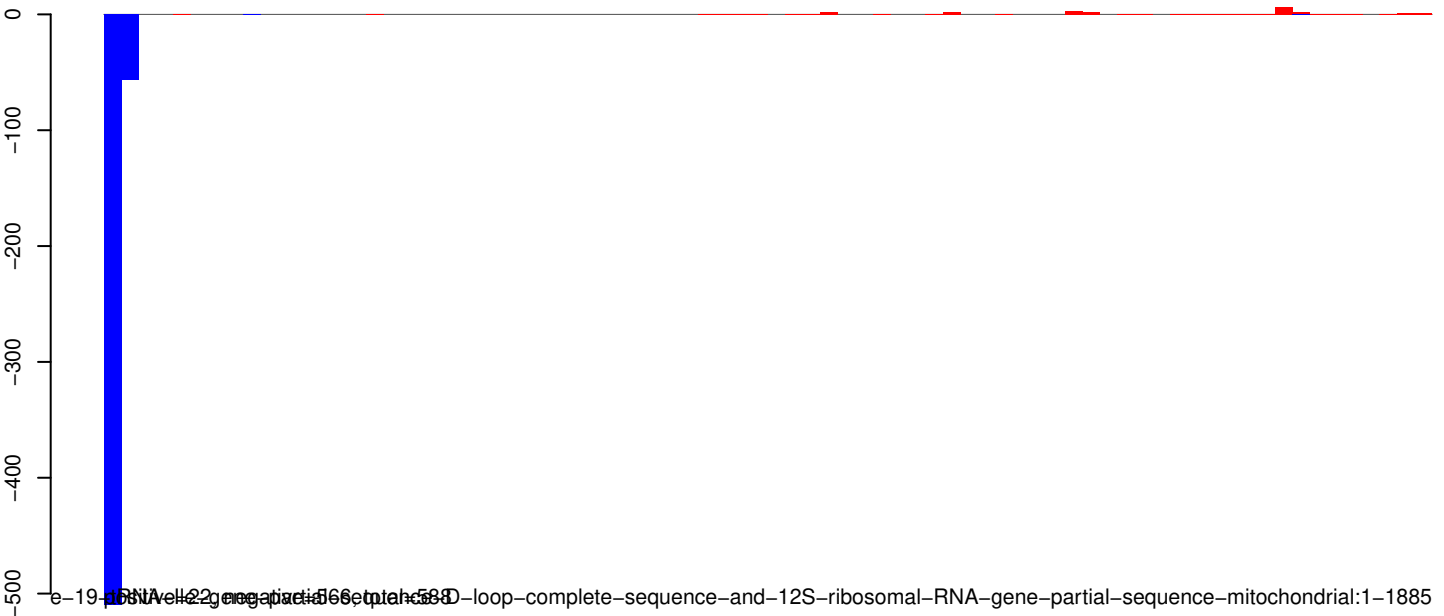
AeAeg_Whole_ZIKVdr_In_RNA_GP.18_23.rep



AeAeg_Whole_ZIKVdr_In_RNA_GP.24_35.rep

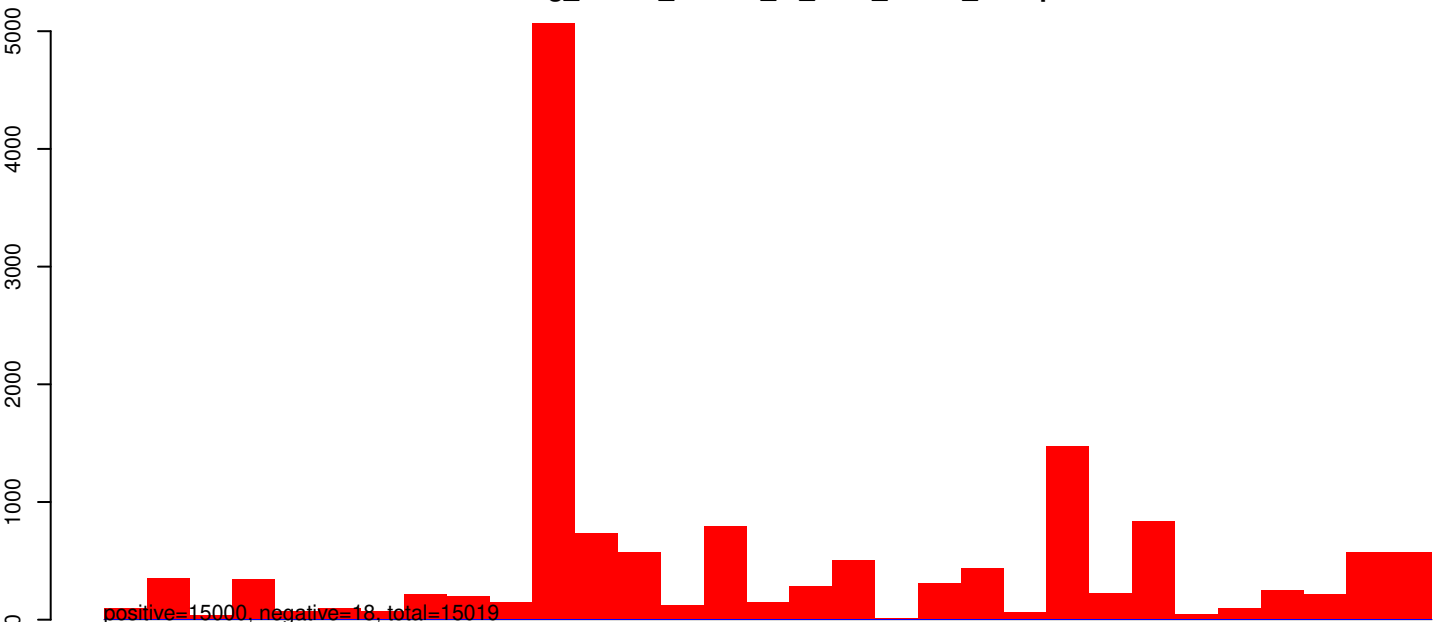


AeAeg_Whole_ZIKVdr_In_RNA_GP.rep

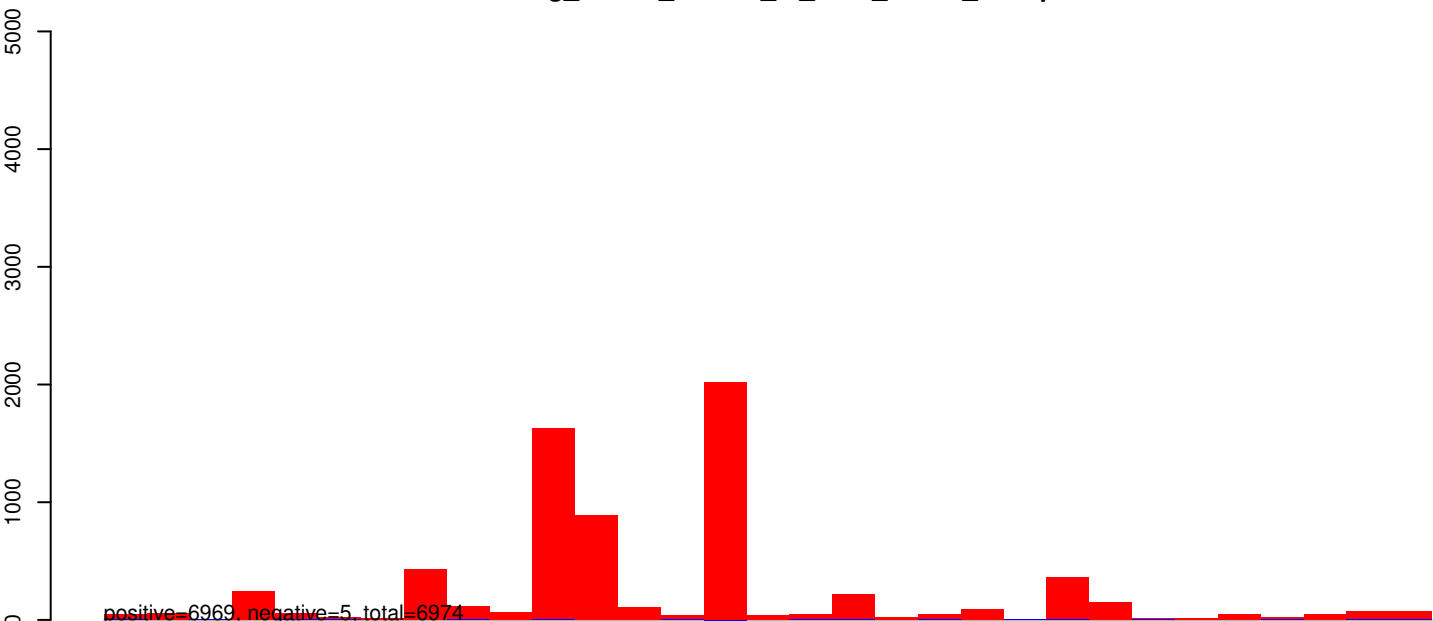


e-19-16311422-12S-ribosomal-RNA-gene-partial-sequence-mitochondrial:1-1885

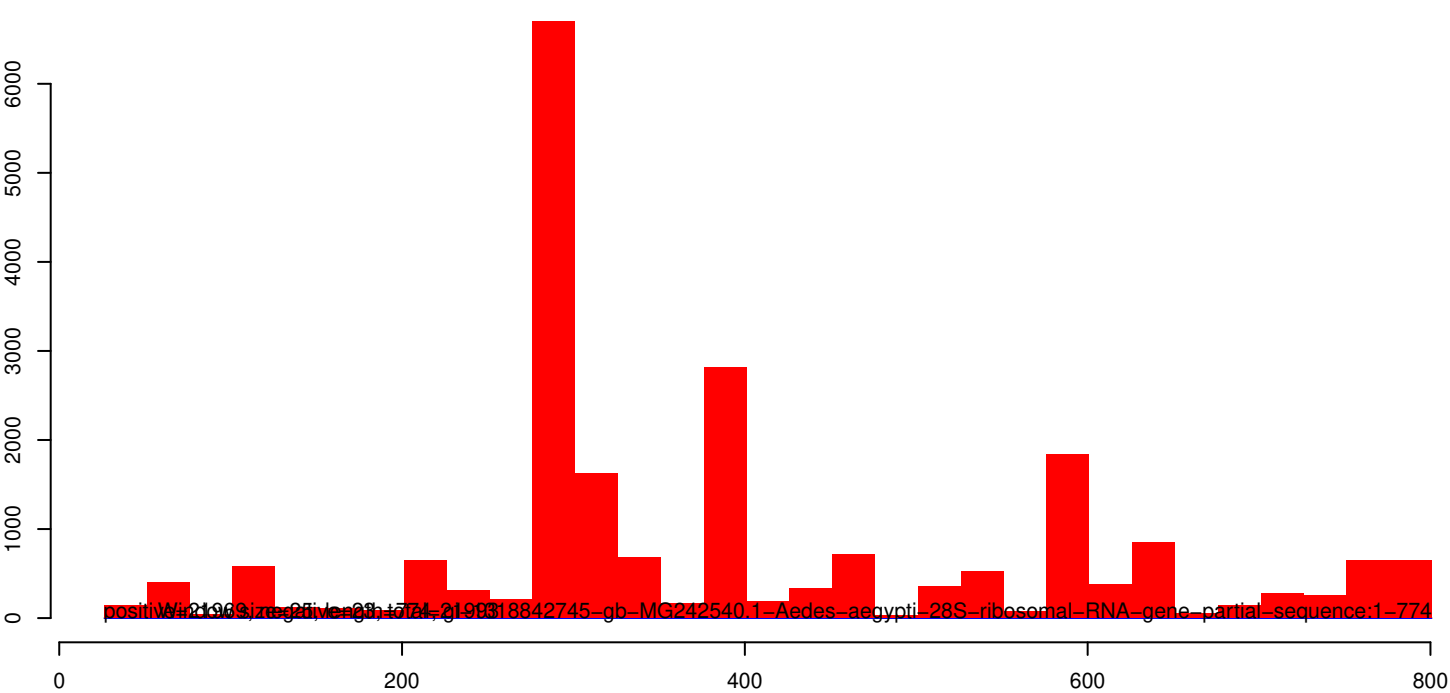
AeAeg_Whole_ZIKVdr_In_RNA_GP.18_23.rep



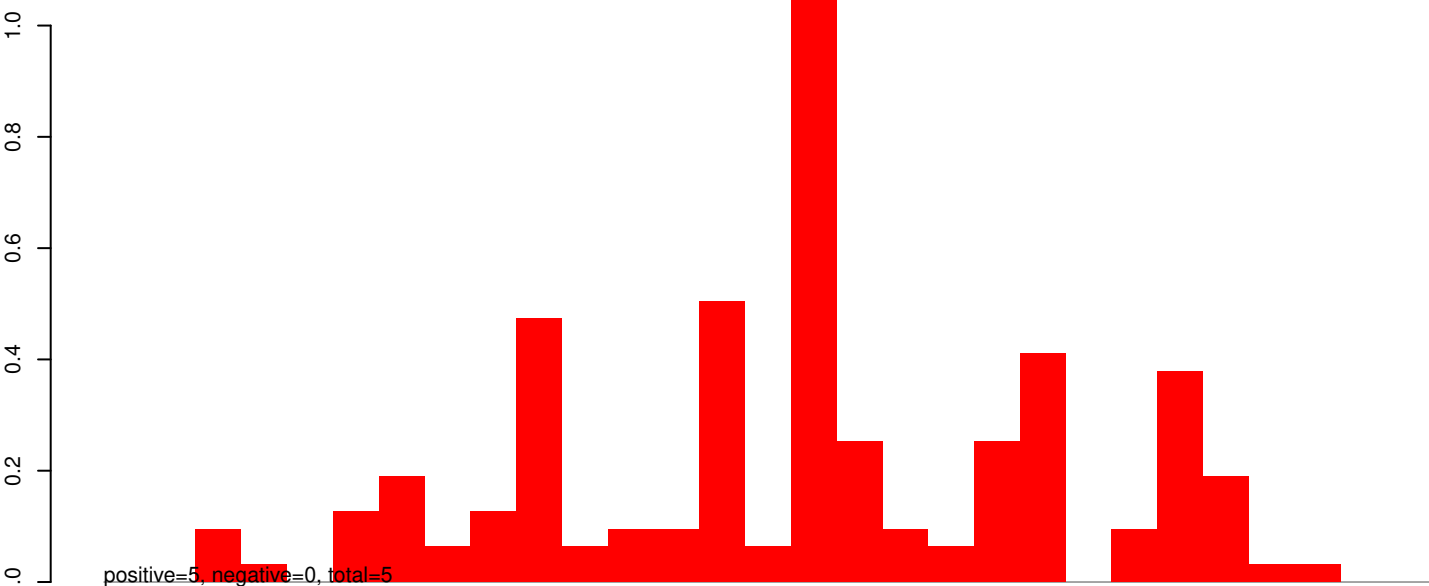
AeAeg_Whole_ZIKVdr_In_RNA_GP.24_35.rep



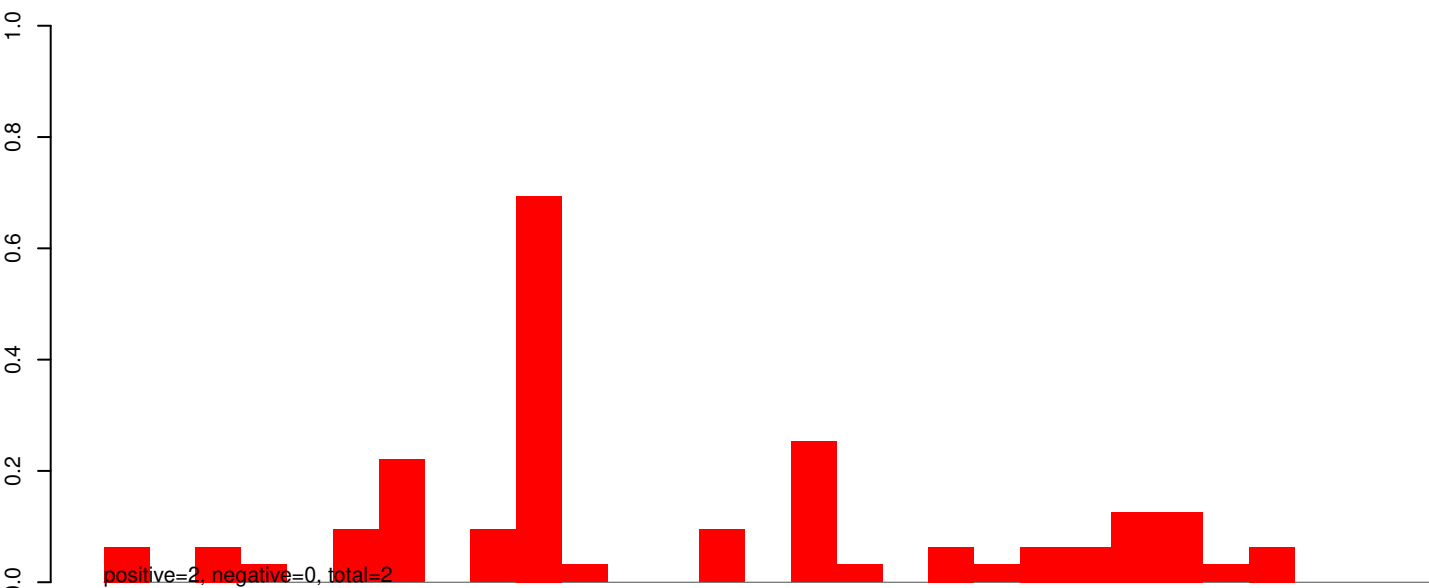
AeAeg_Whole_ZIKVdr_In_RNA_GP.rep



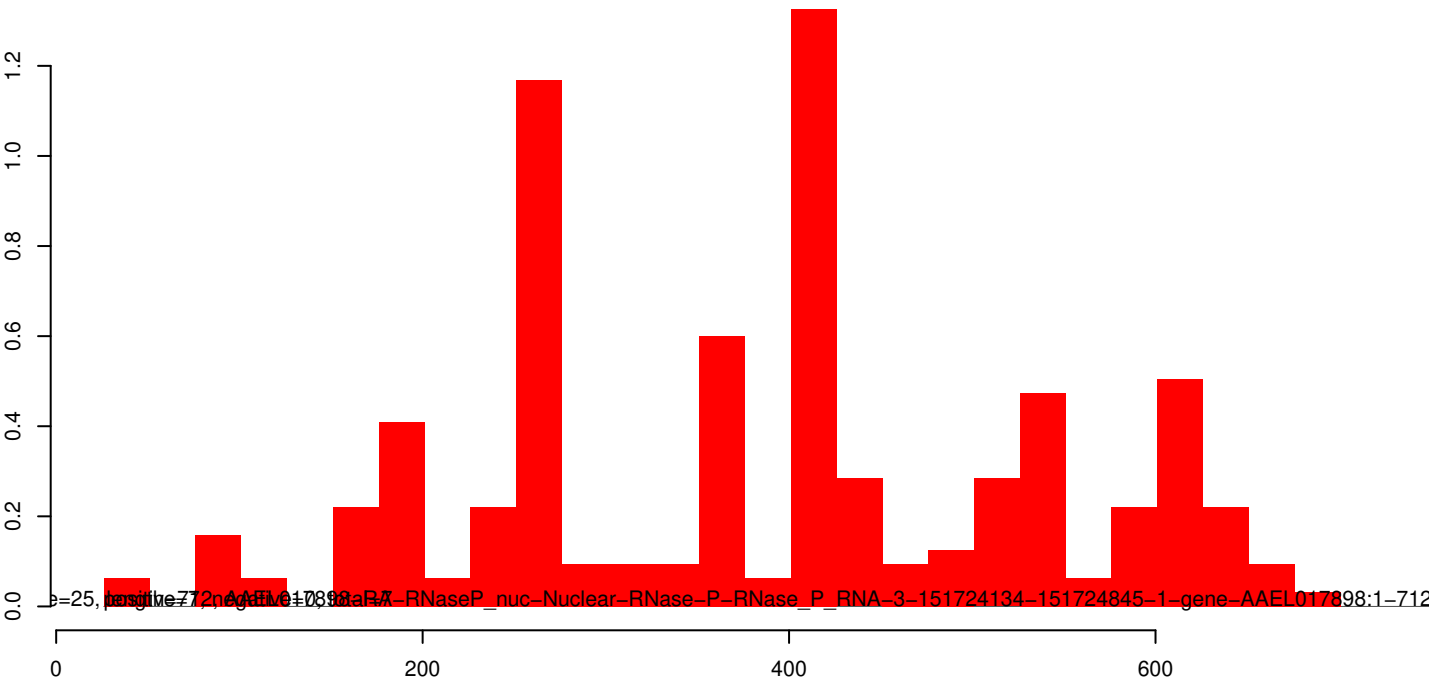
AeAeg_Whole_ZIKVdr_In_RNA_GP.18_23.rep



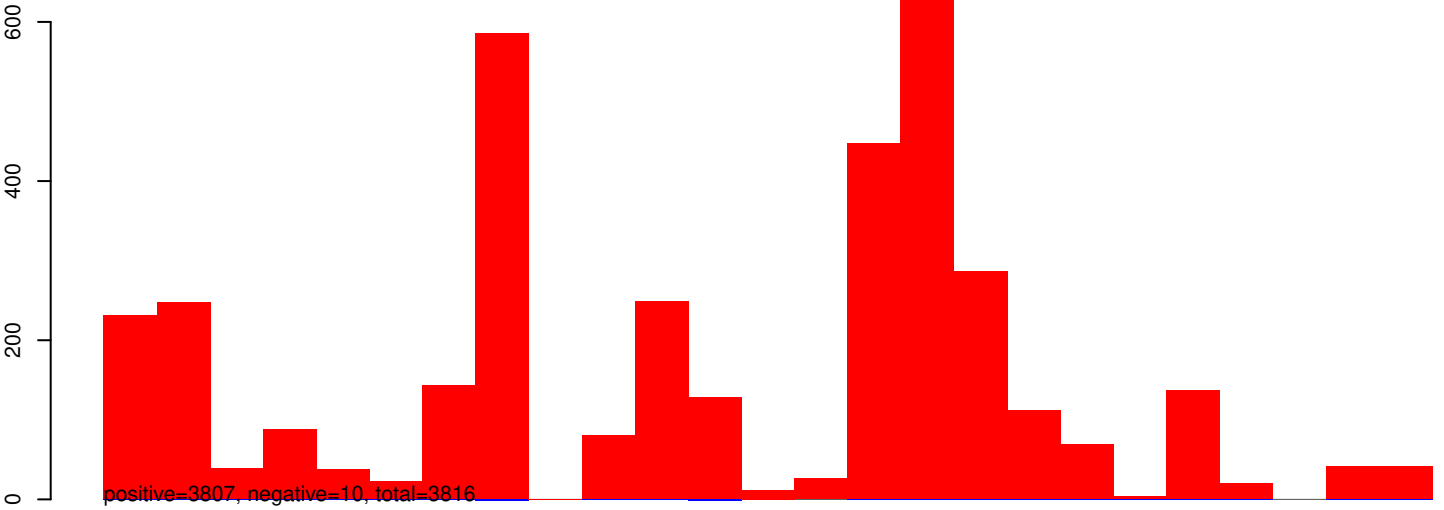
AeAeg_Whole_ZIKVdr_In_RNA_GP.24_35.rep



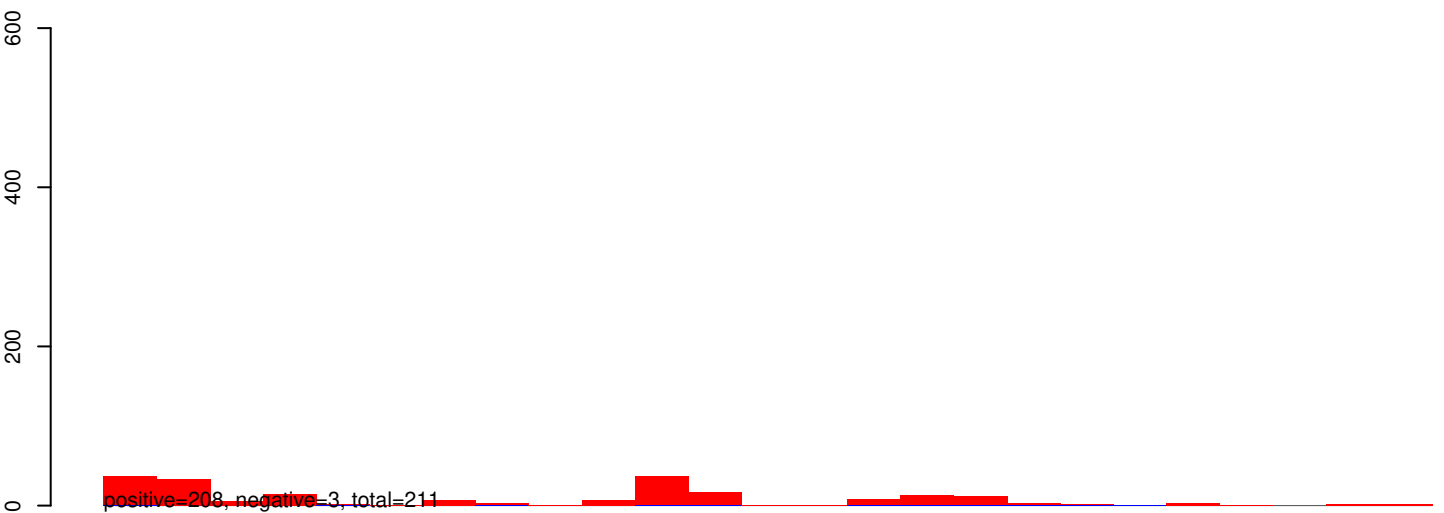
AeAeg_Whole_ZIKVdr_In_RNA_GP.rep



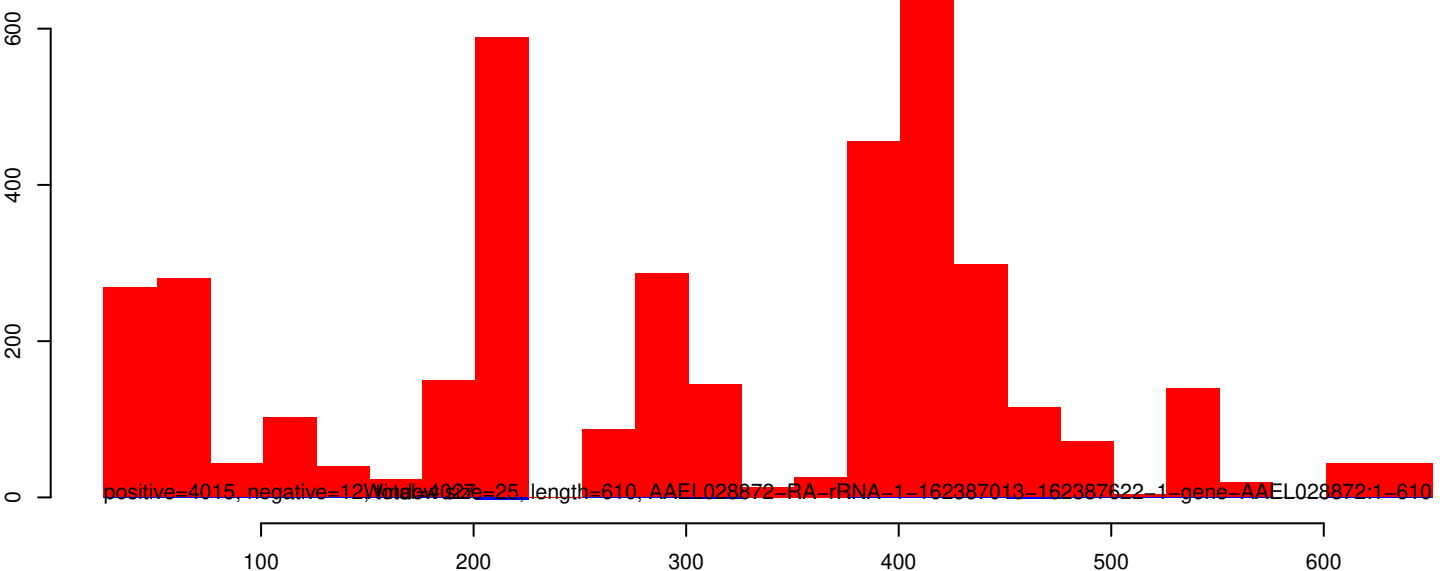
AeAeg_Whole_ZIKVdr_In_RNA_GP.18_23.rep



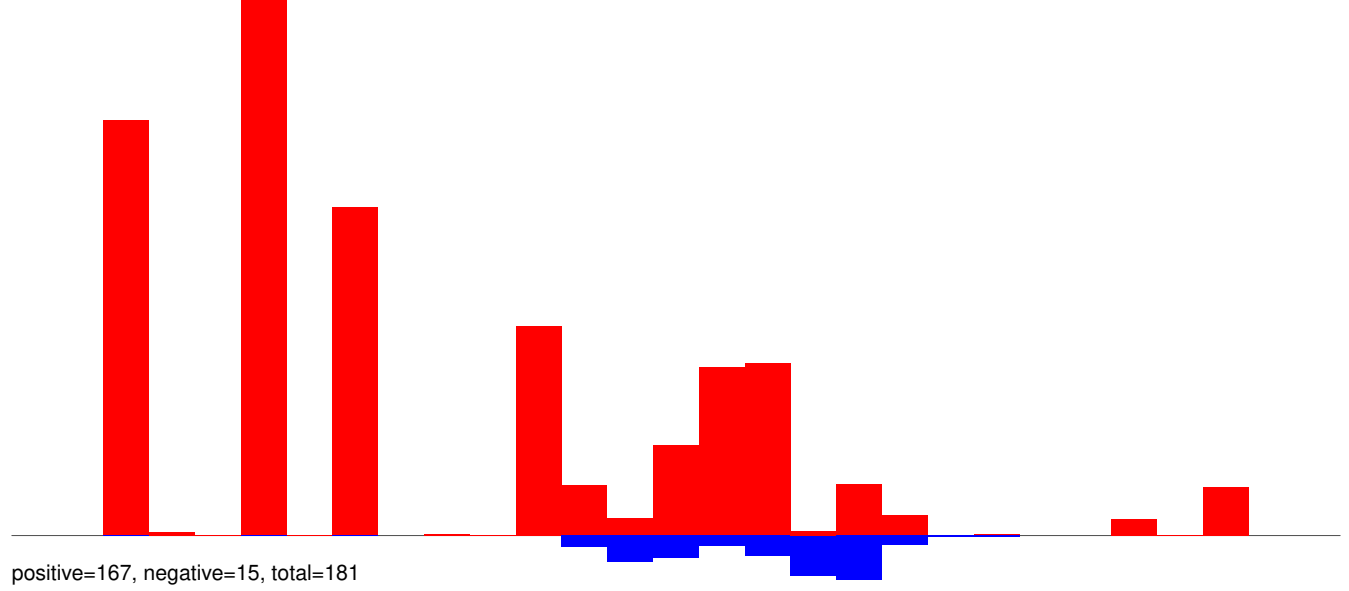
AeAeg_Whole_ZIKVdr_In_RNA_GP.24_35.rep



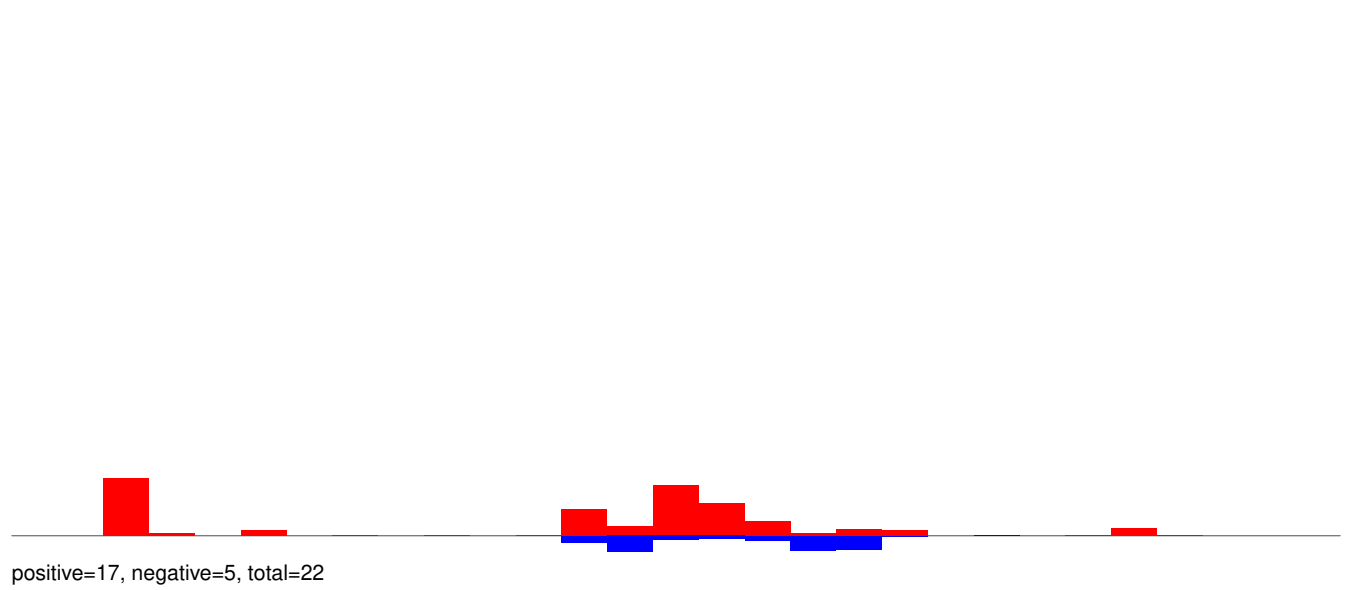
AeAeg_Whole_ZIKVdr_In_RNA_GP.rep



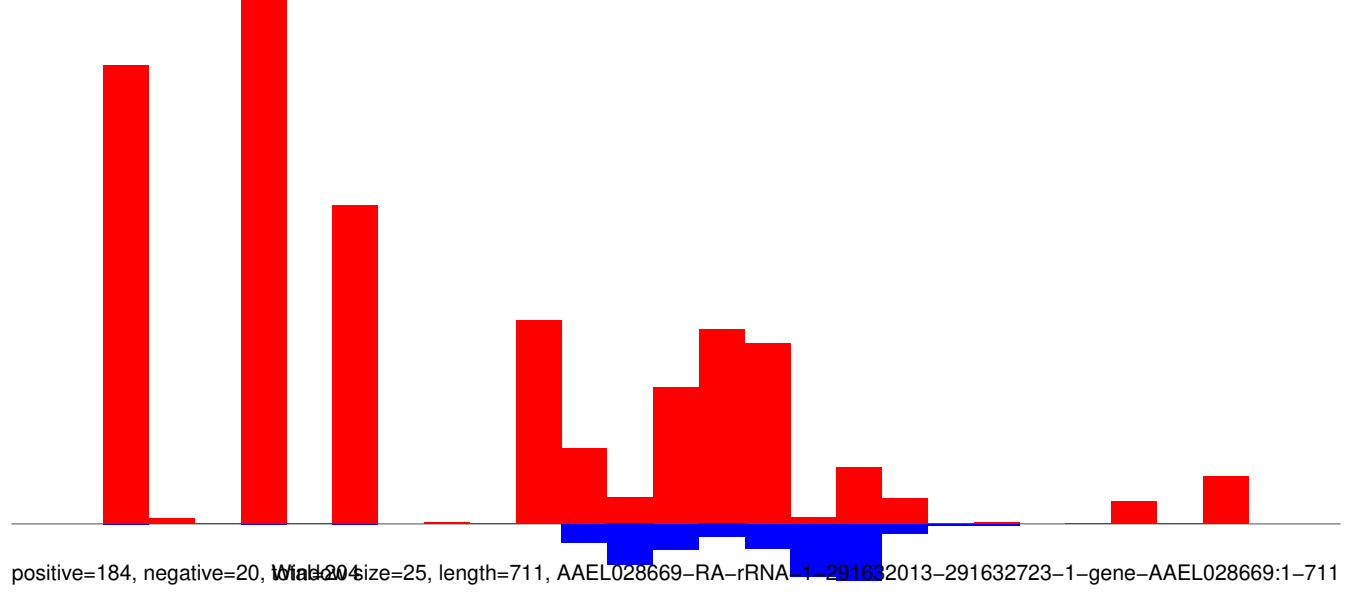
AeAeg_Whole_ZIKVdr_In_RNA_GP.18_23.rep

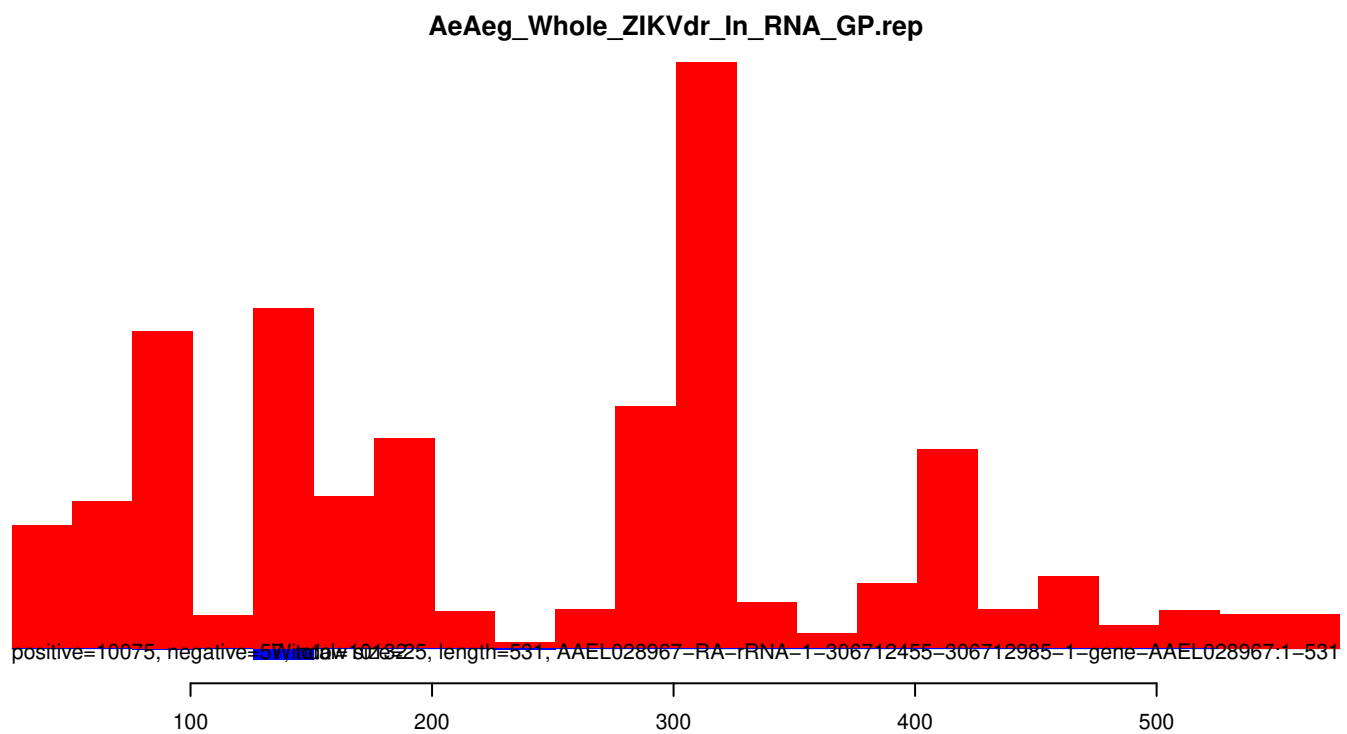
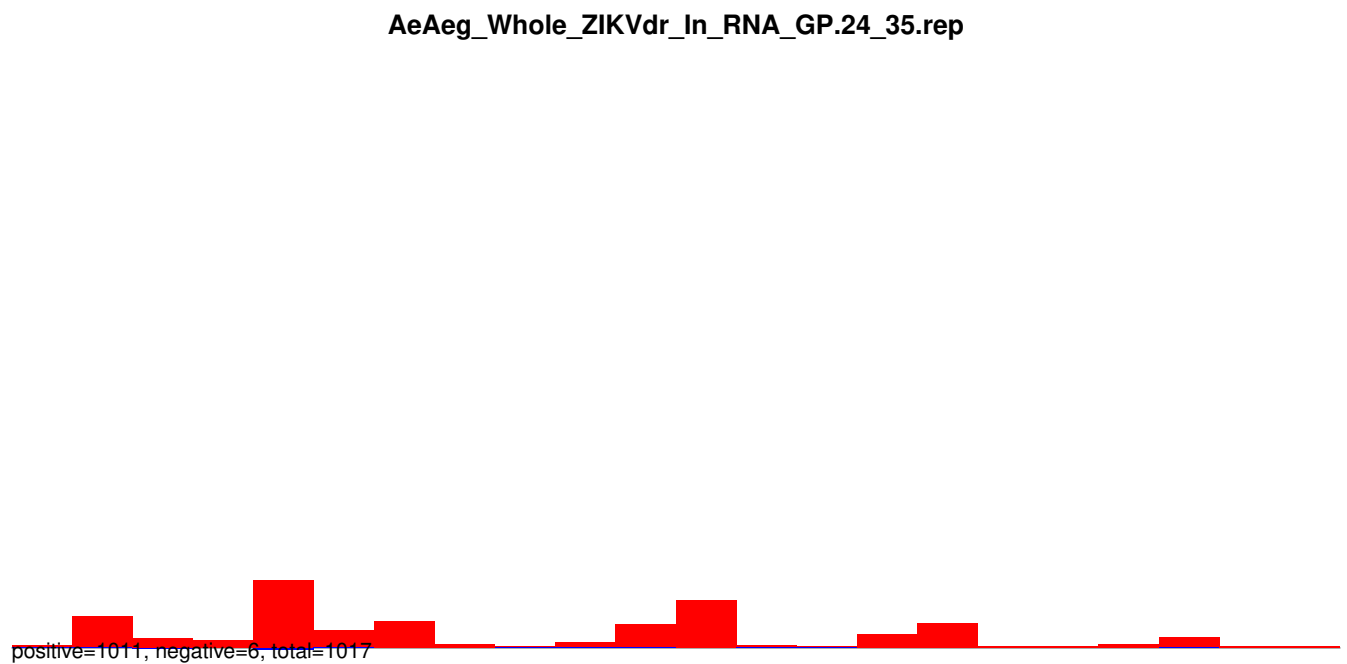
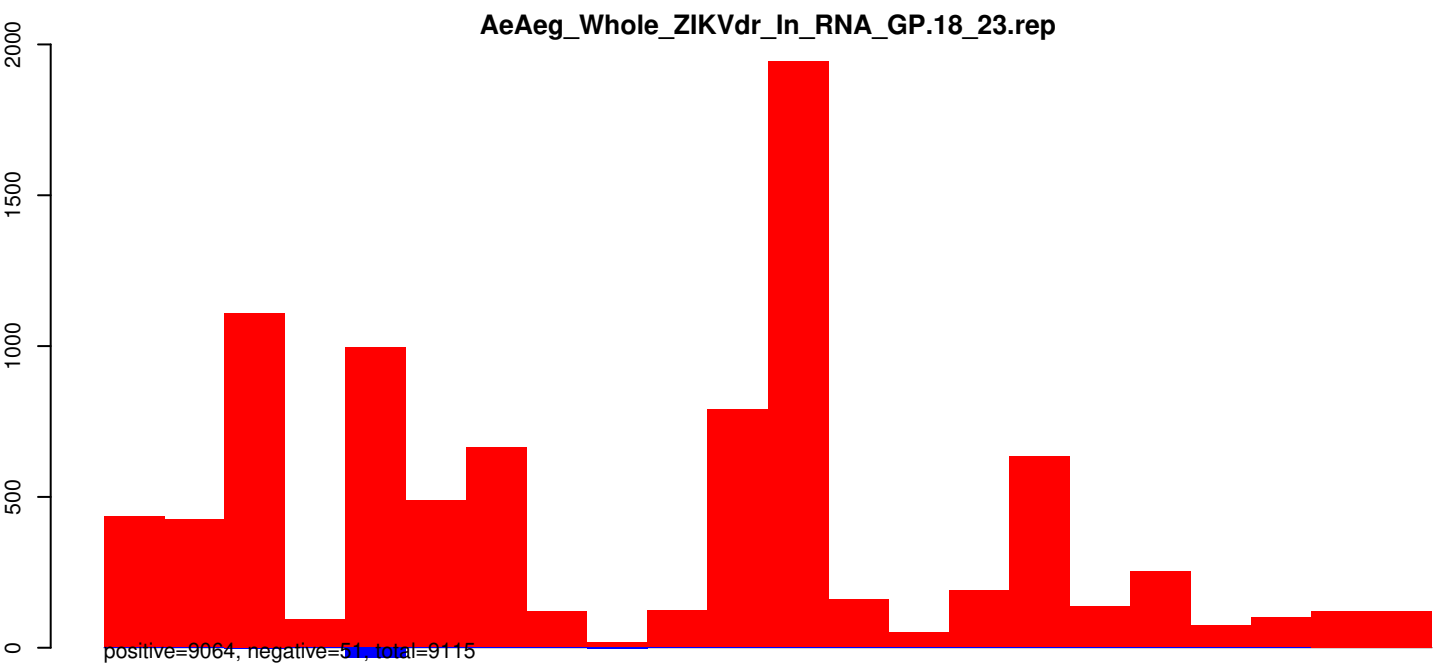


AeAeg_Whole_ZIKVdr_In_RNA_GP.24_35.rep

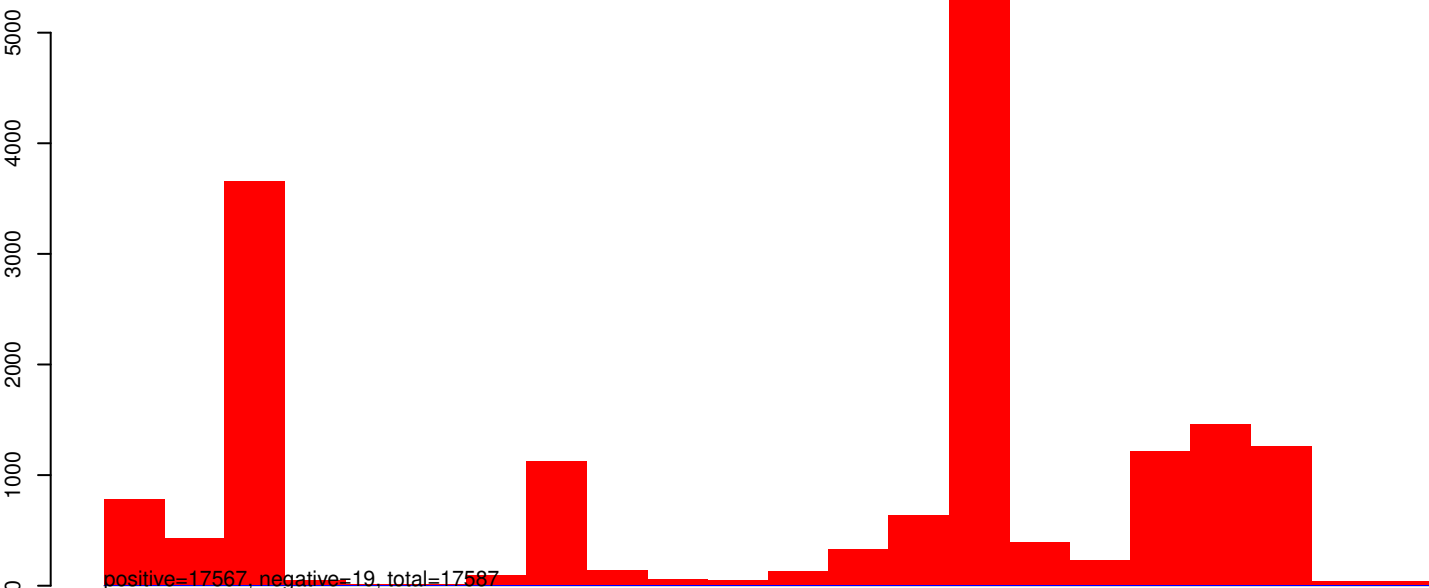


AeAeg_Whole_ZIKVdr_In_RNA_GP.rep

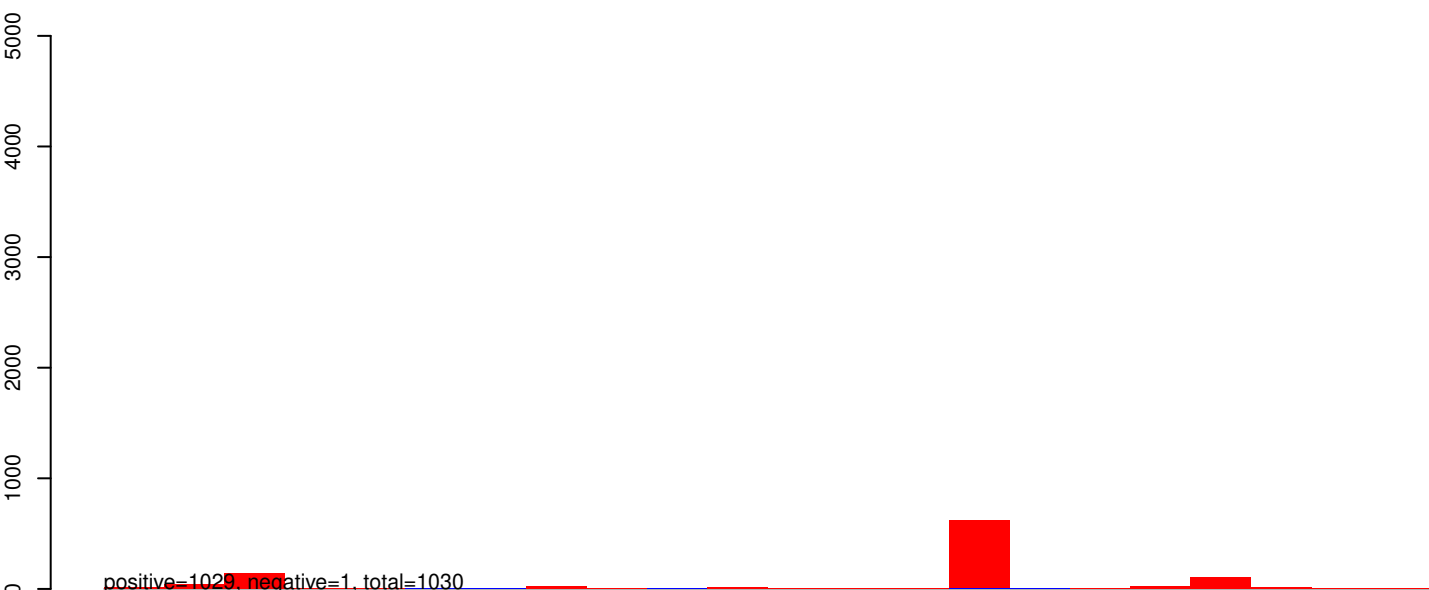




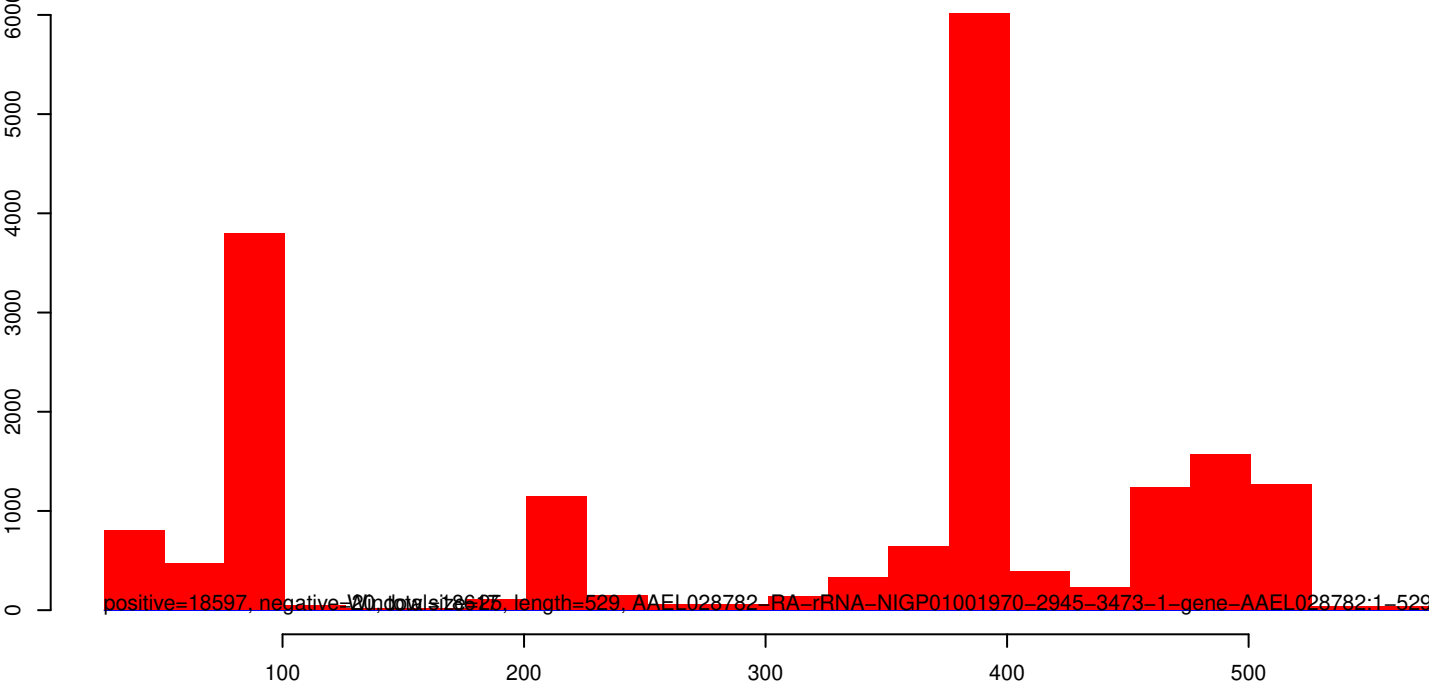
AeAeg_Whole_ZIKVdr_In_RNA_GP.18_23.rep



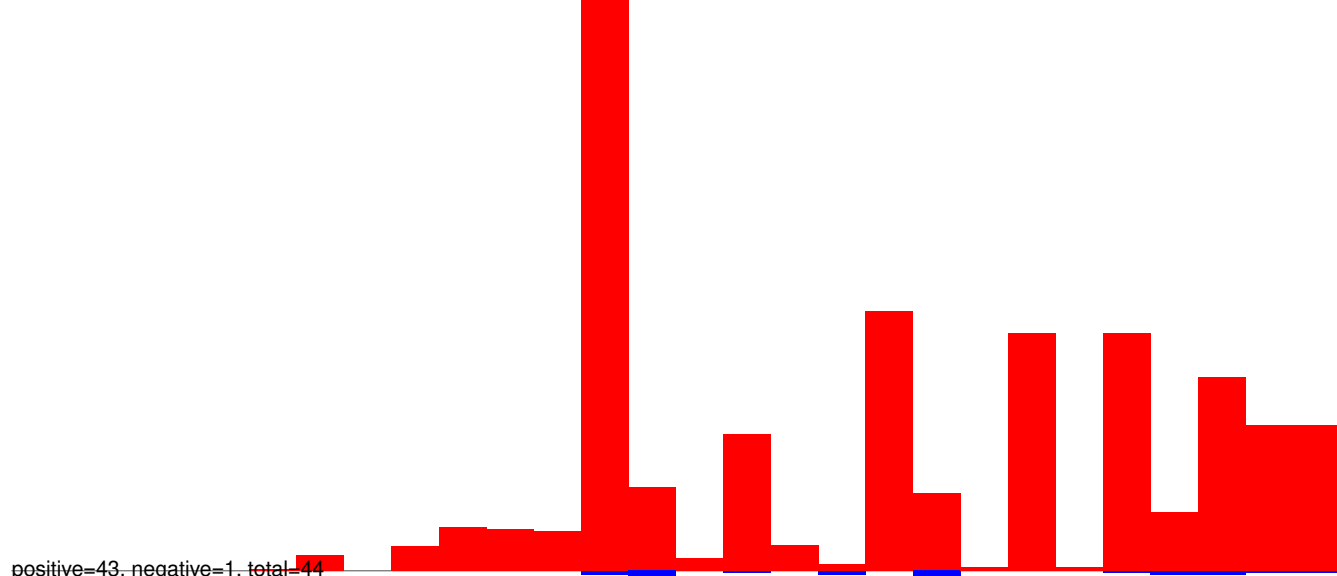
AeAeg_Whole_ZIKVdr_In_RNA_GP.24_35.rep



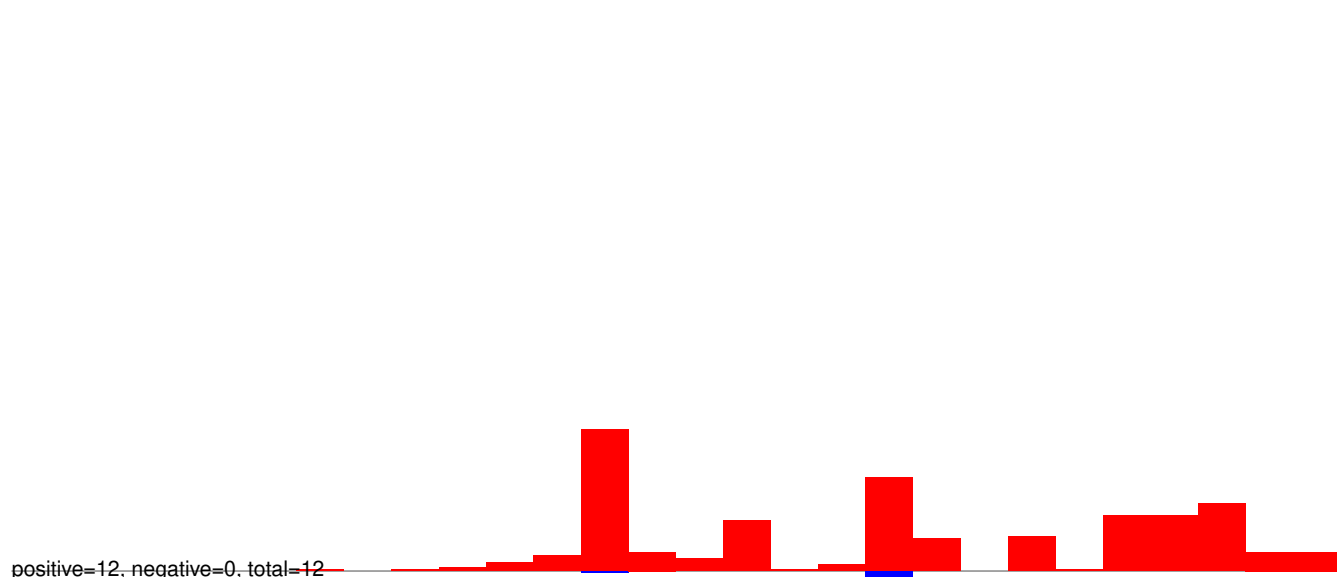
AeAeg_Whole_ZIKVdr_In_RNA_GP.rep



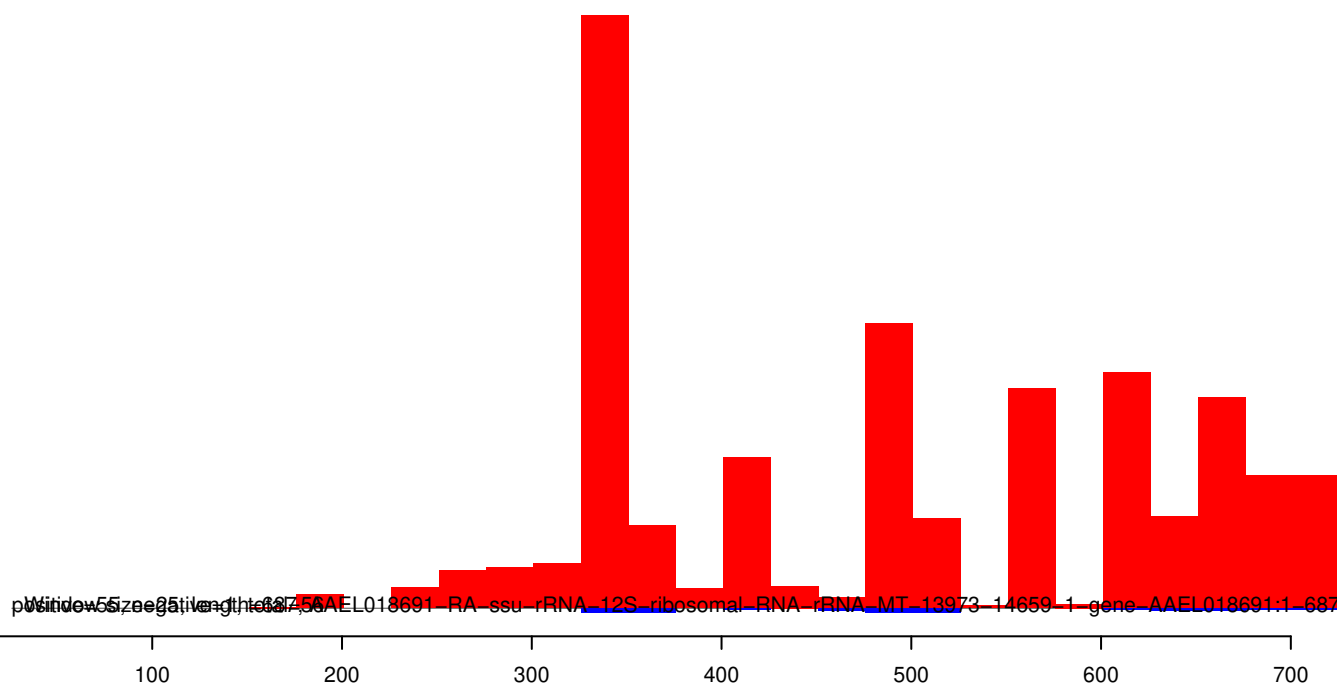
AeAeg_Whole_ZIKVdr_In_RNA_GP.18_23.rep



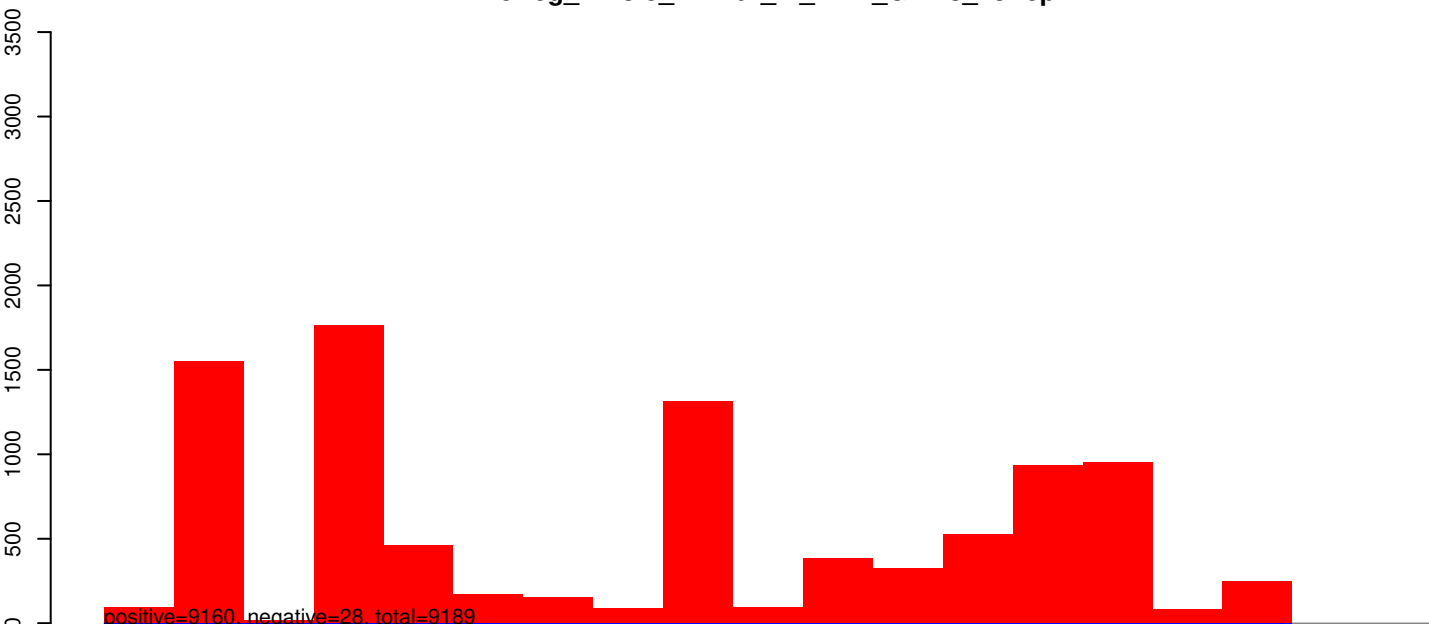
AeAeg_Whole_ZIKVdr_In_RNA_GP.24_35.rep



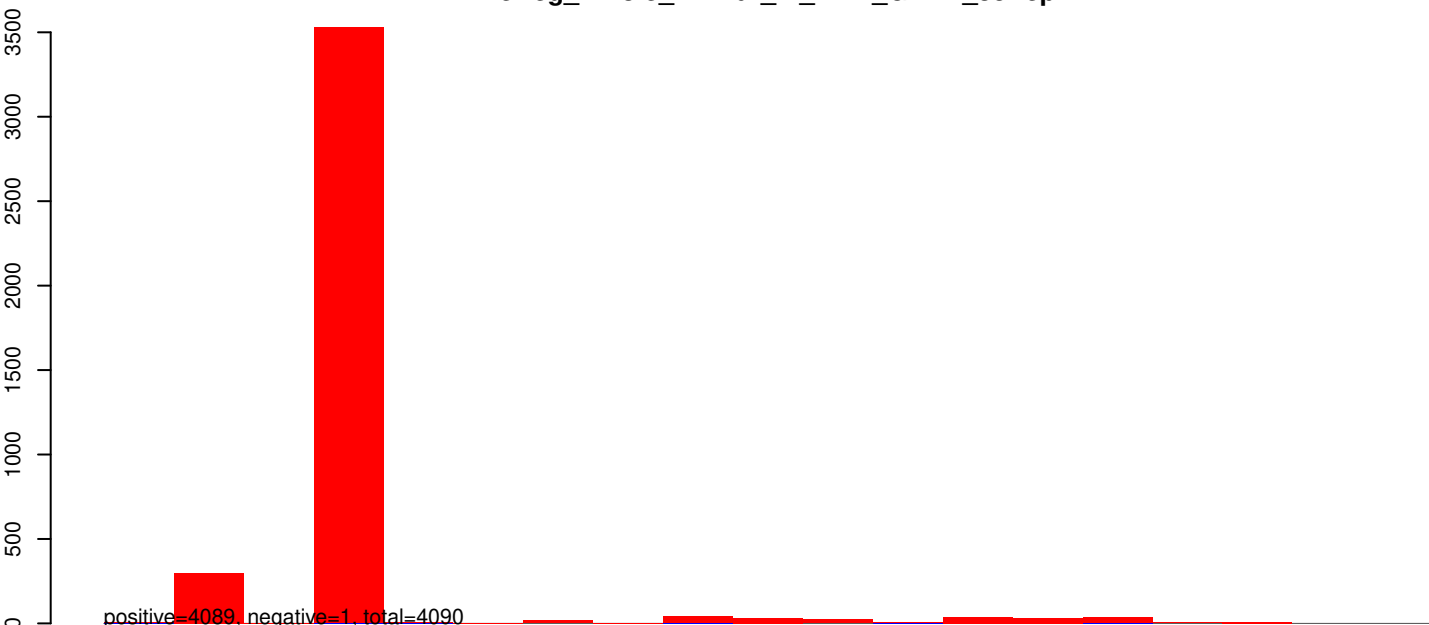
AeAeg_Whole_ZIKVdr_In_RNA_GP.rep



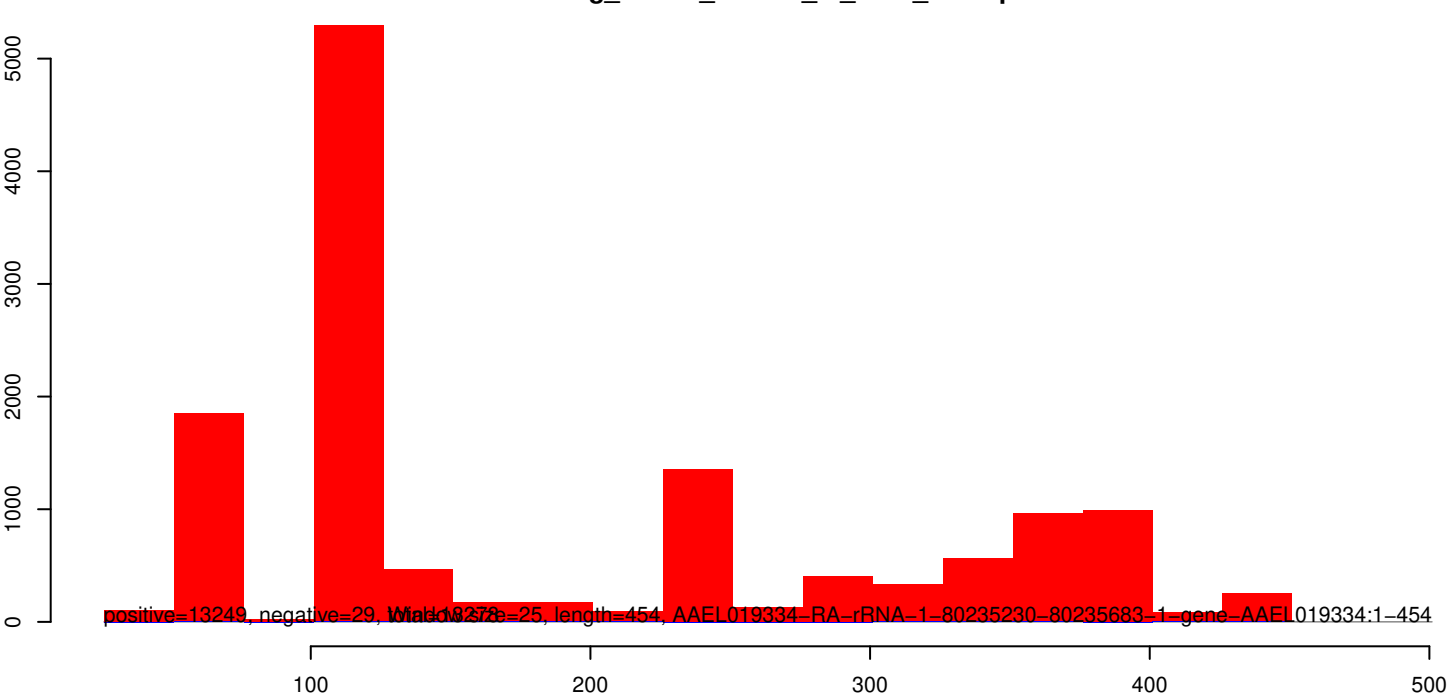
AeAeg_Whole_ZIKVdr_In_RNA_GP.18_23.rep



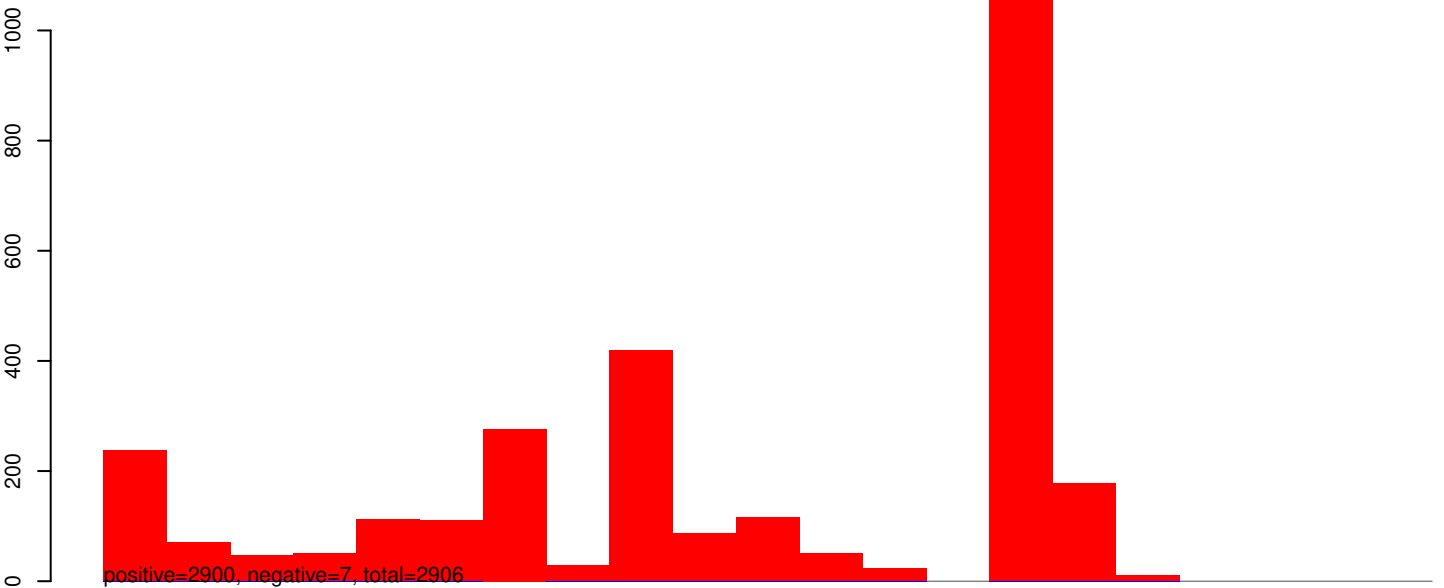
AeAeg_Whole_ZIKVdr_In_RNA_GP.24_35.rep



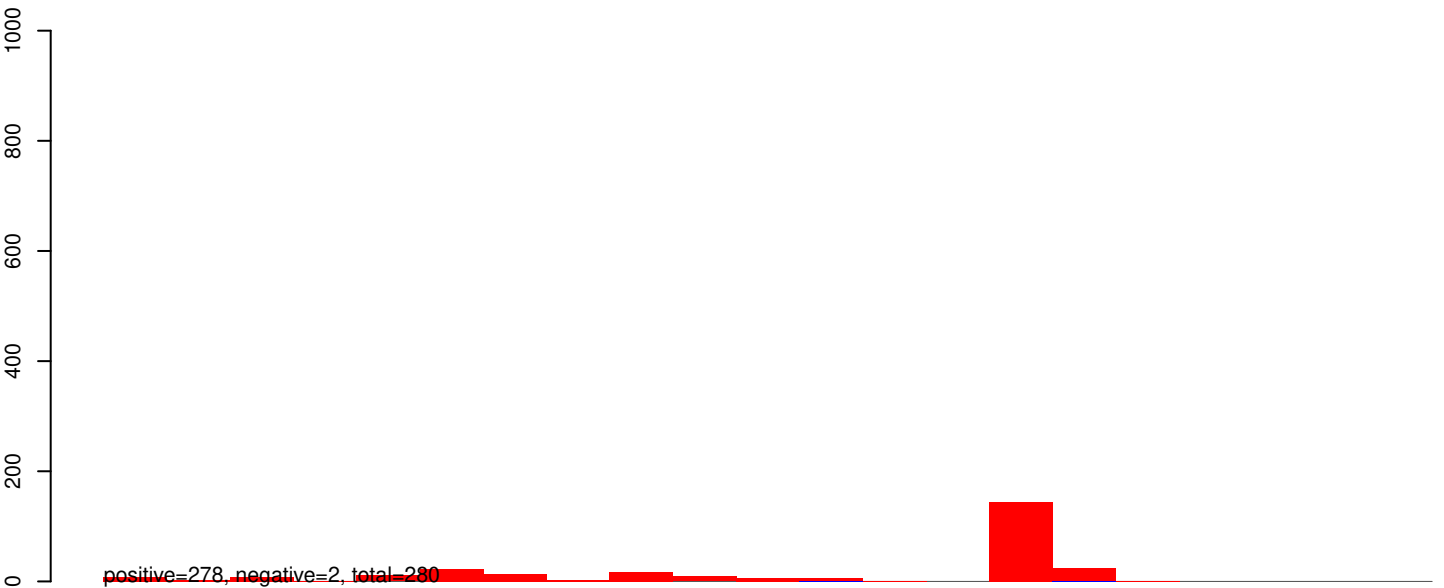
AeAeg_Whole_ZIKVdr_In_RNA_GP.rep



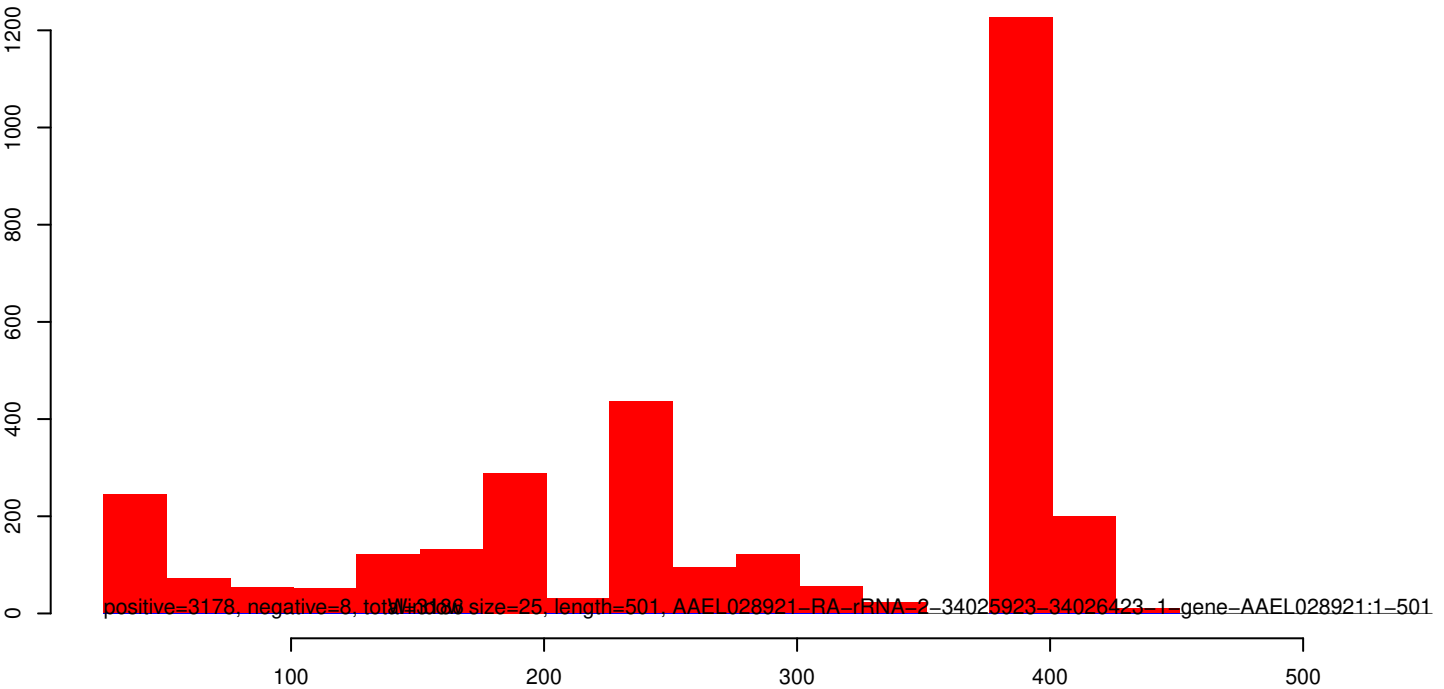
AeAeg_Whole_ZIKVdr_In_RNA_GP.18_23.rep



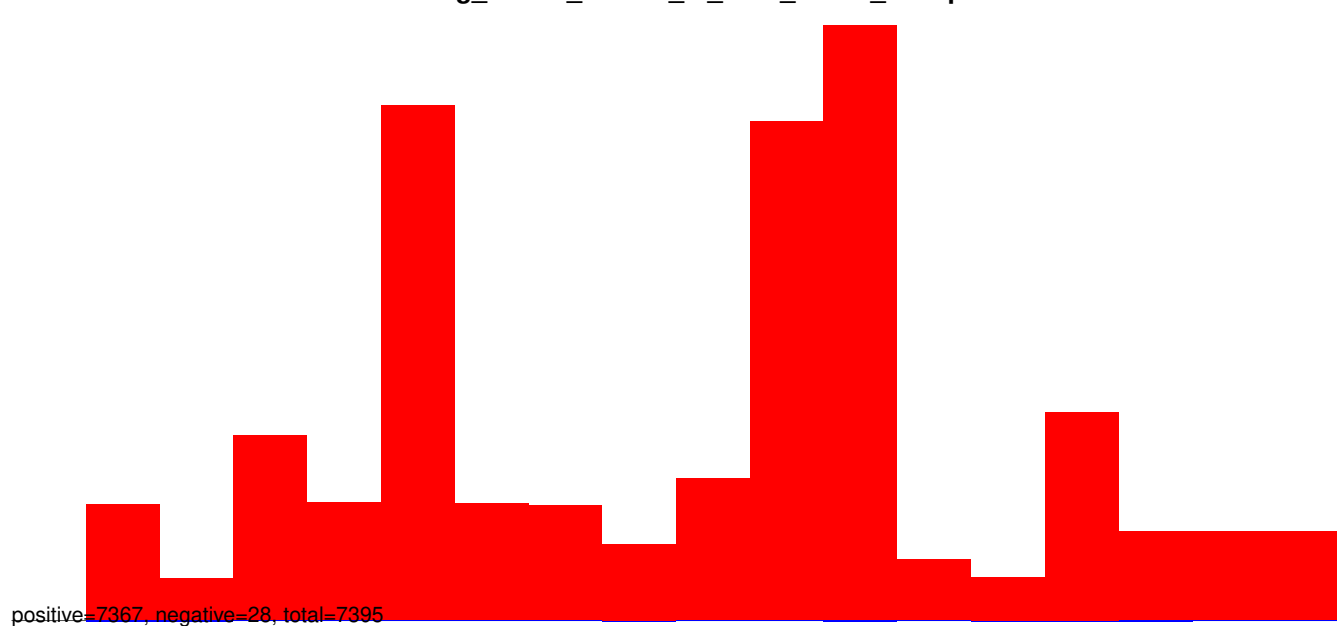
AeAeg_Whole_ZIKVdr_In_RNA_GP.24_35.rep



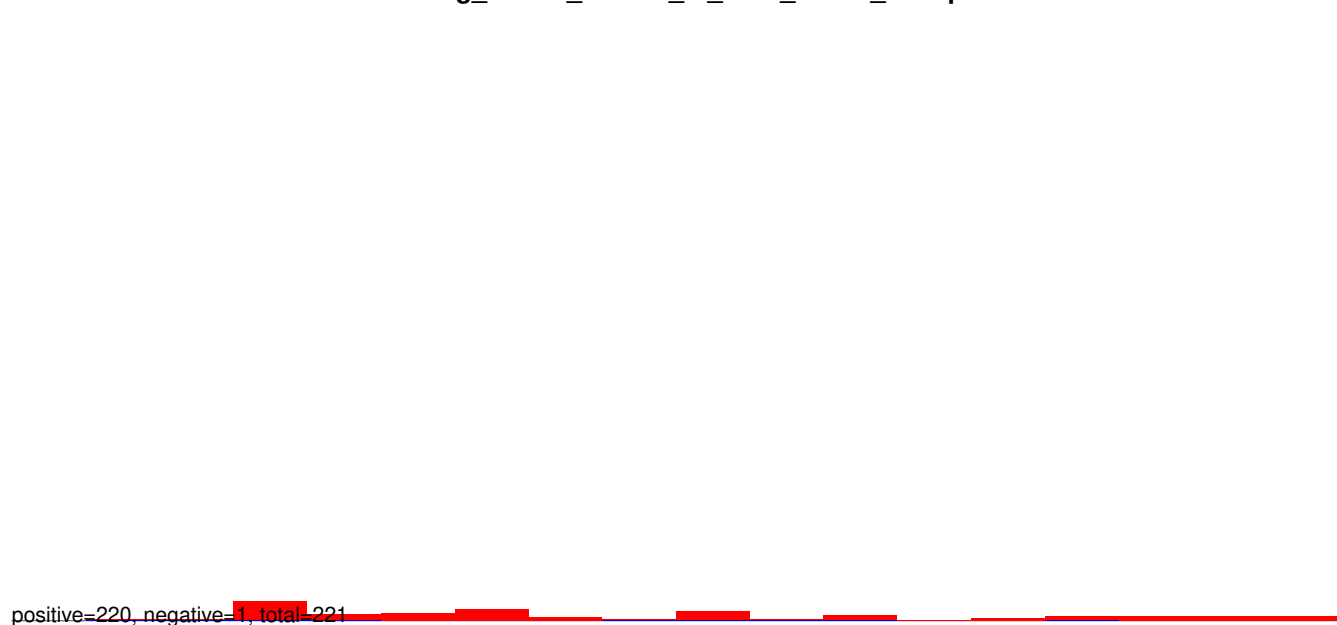
AeAeg_Whole_ZIKVdr_In_RNA_GP.rep



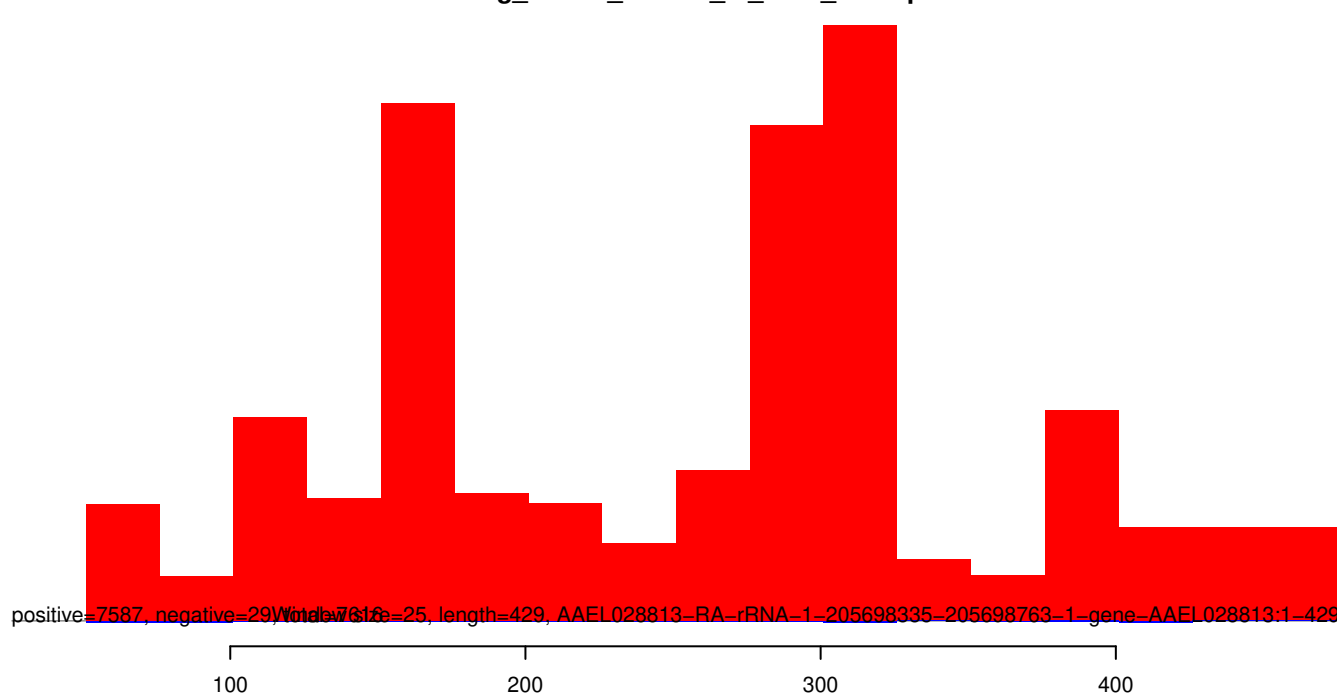
AeAeg_Whole_ZIKVdr_In_RNA_GP.18_23.rep



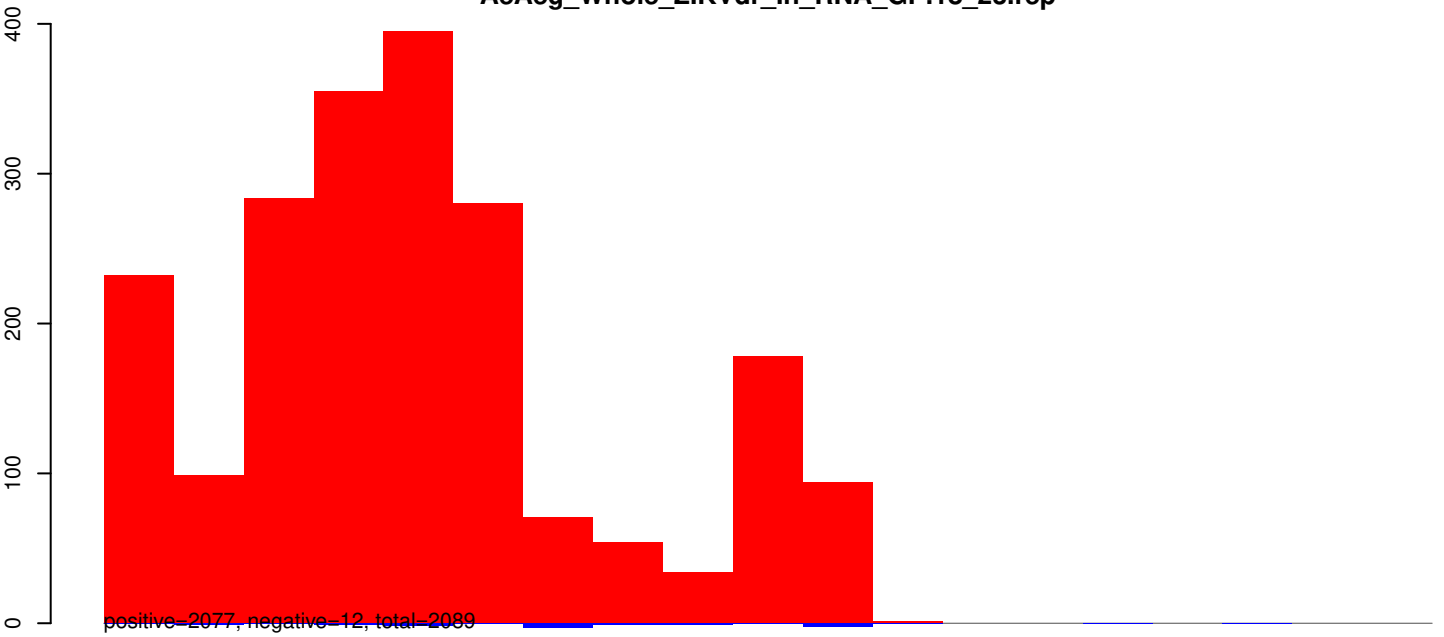
AeAeg_Whole_ZIKVdr_In_RNA_GP.24_35.rep



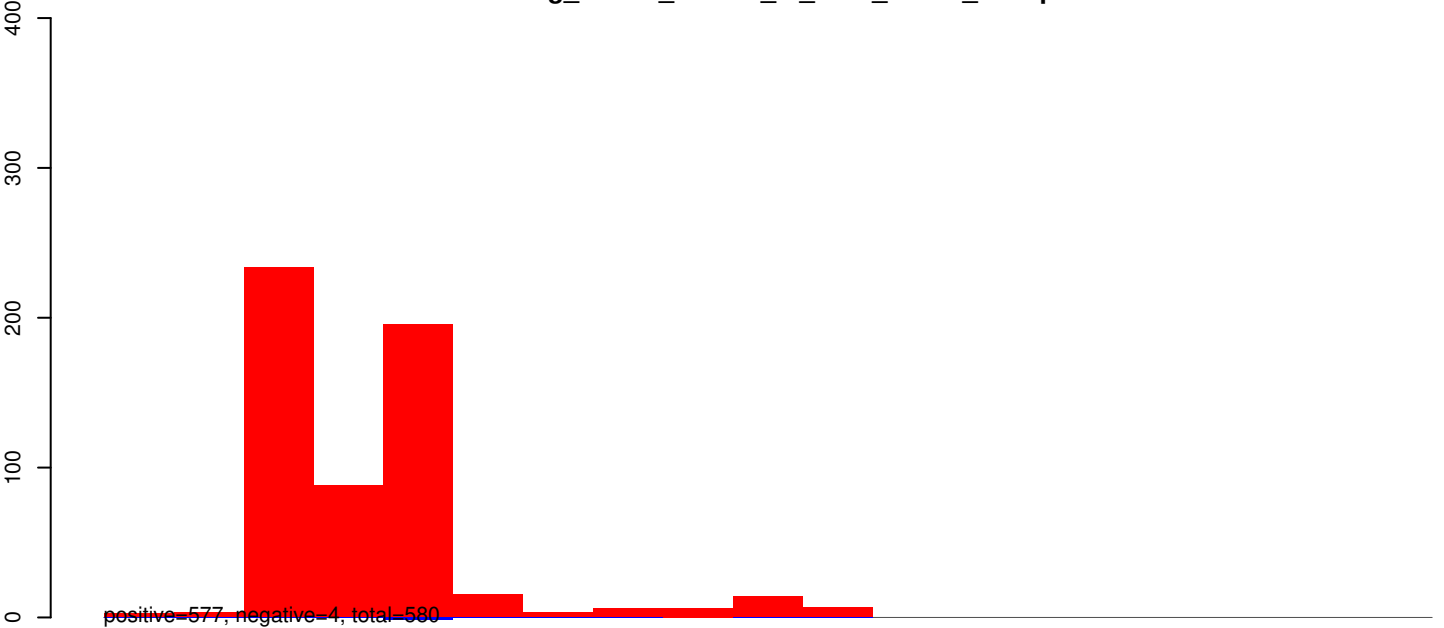
AeAeg_Whole_ZIKVdr_In_RNA_GP.rep



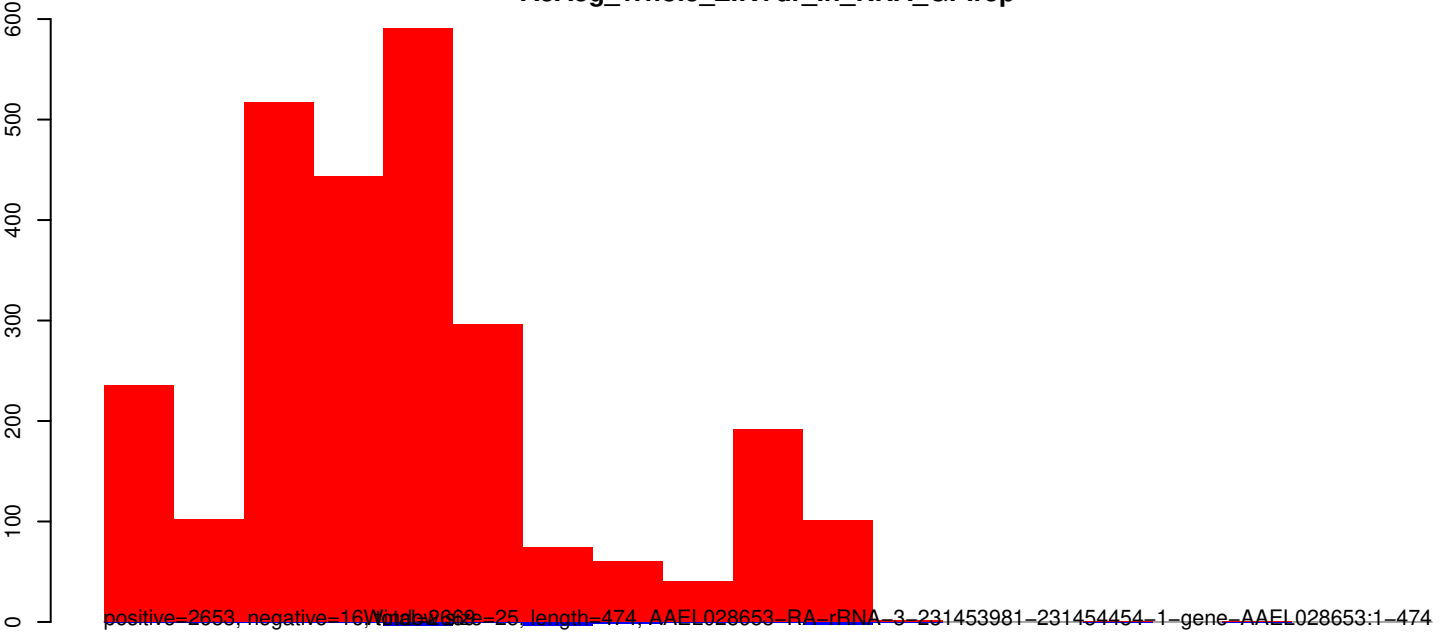
AeAeg_Whole_ZIKVdr_In_RNA_GP.18_23.rep



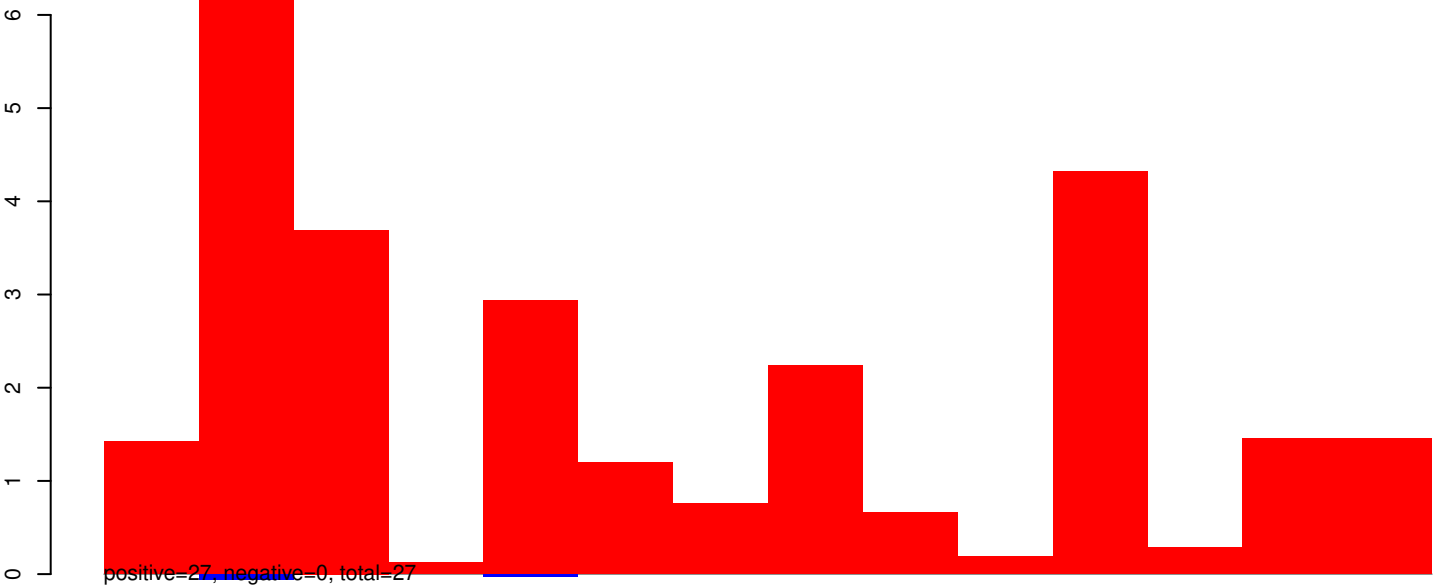
AeAeg_Whole_ZIKVdr_In_RNA_GP.24_35.rep



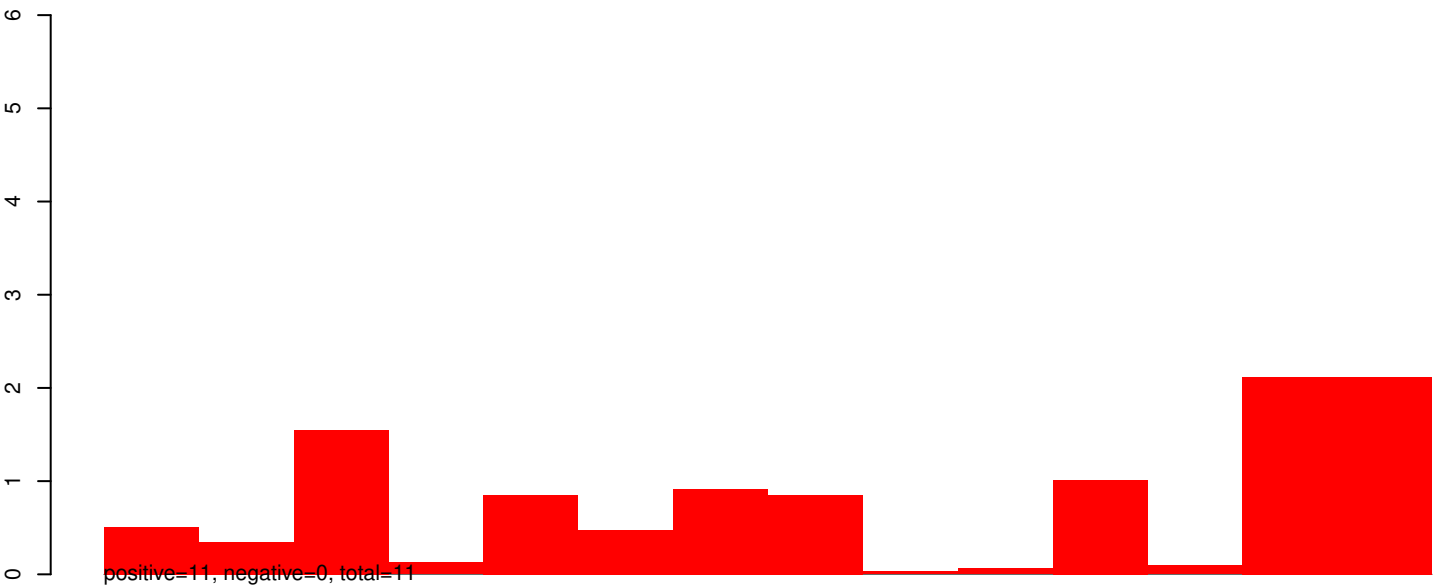
AeAeg_Whole_ZIKVdr_In_RNA_GP.rep



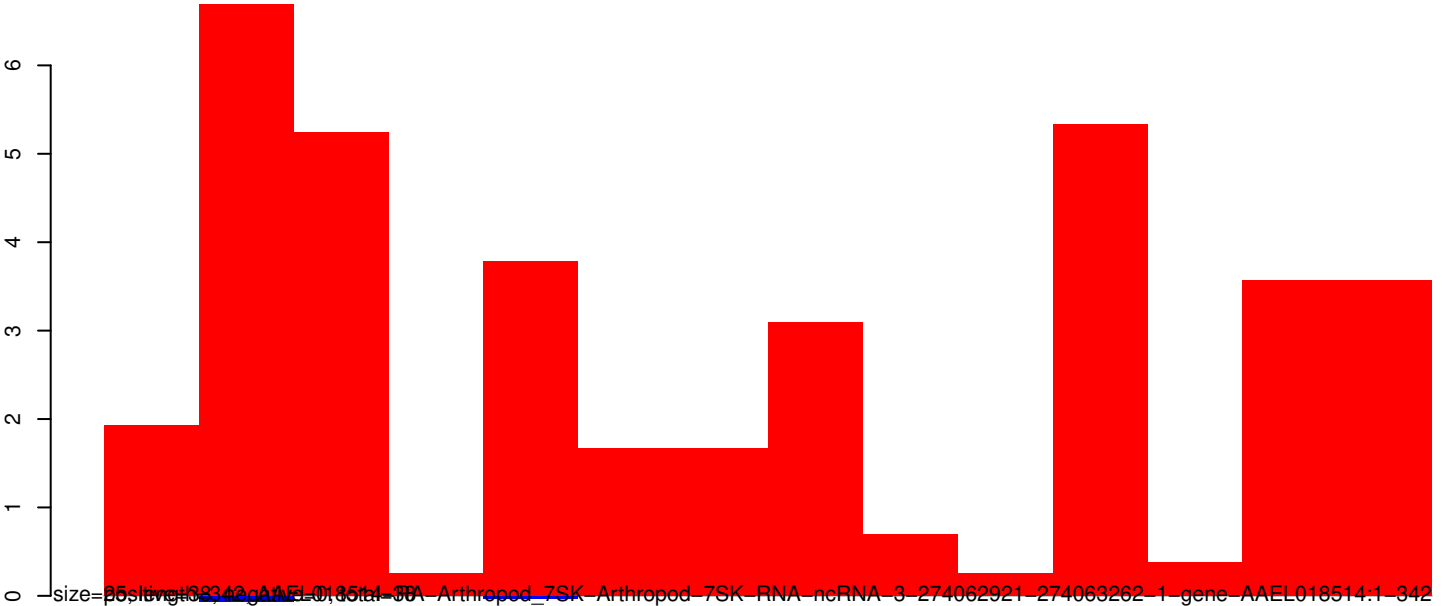
AeAeg_Whole_ZIKVdr_In_RNA_GP.18_23.rep



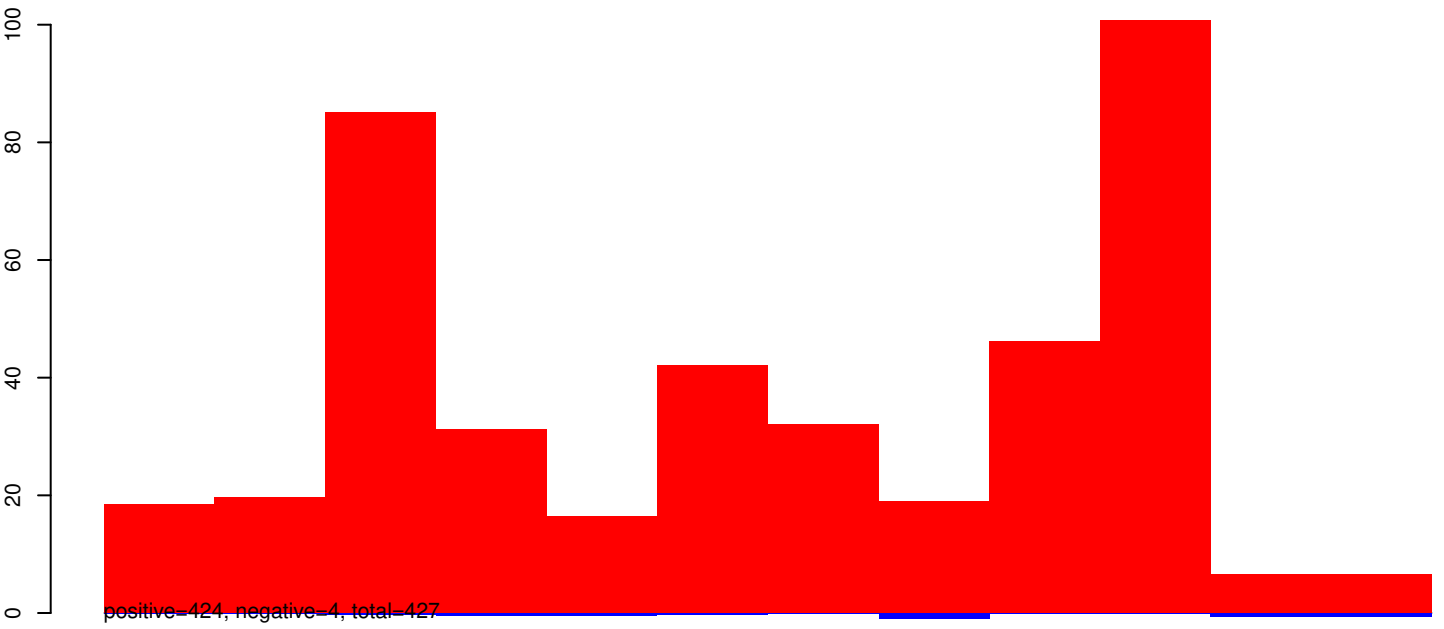
AeAeg_Whole_ZIKVdr_In_RNA_GP.24_35.rep



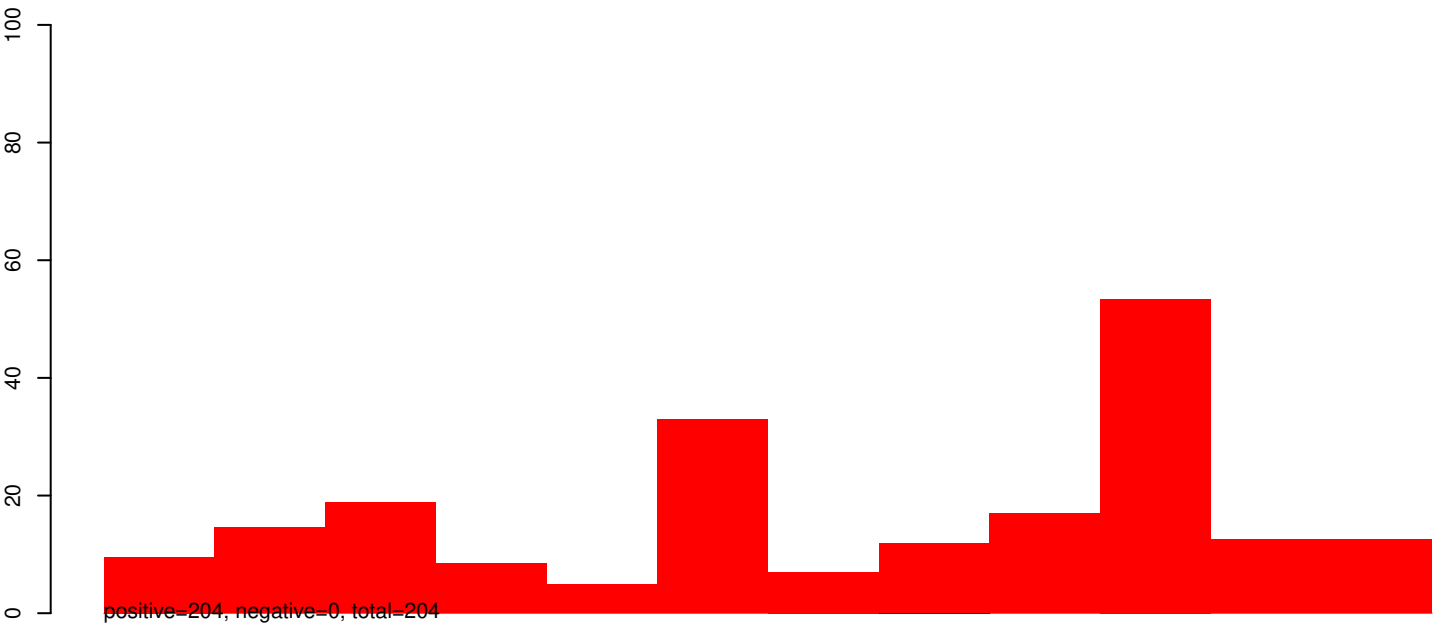
AeAeg_Whole_ZIKVdr_In_RNA_GP.rep



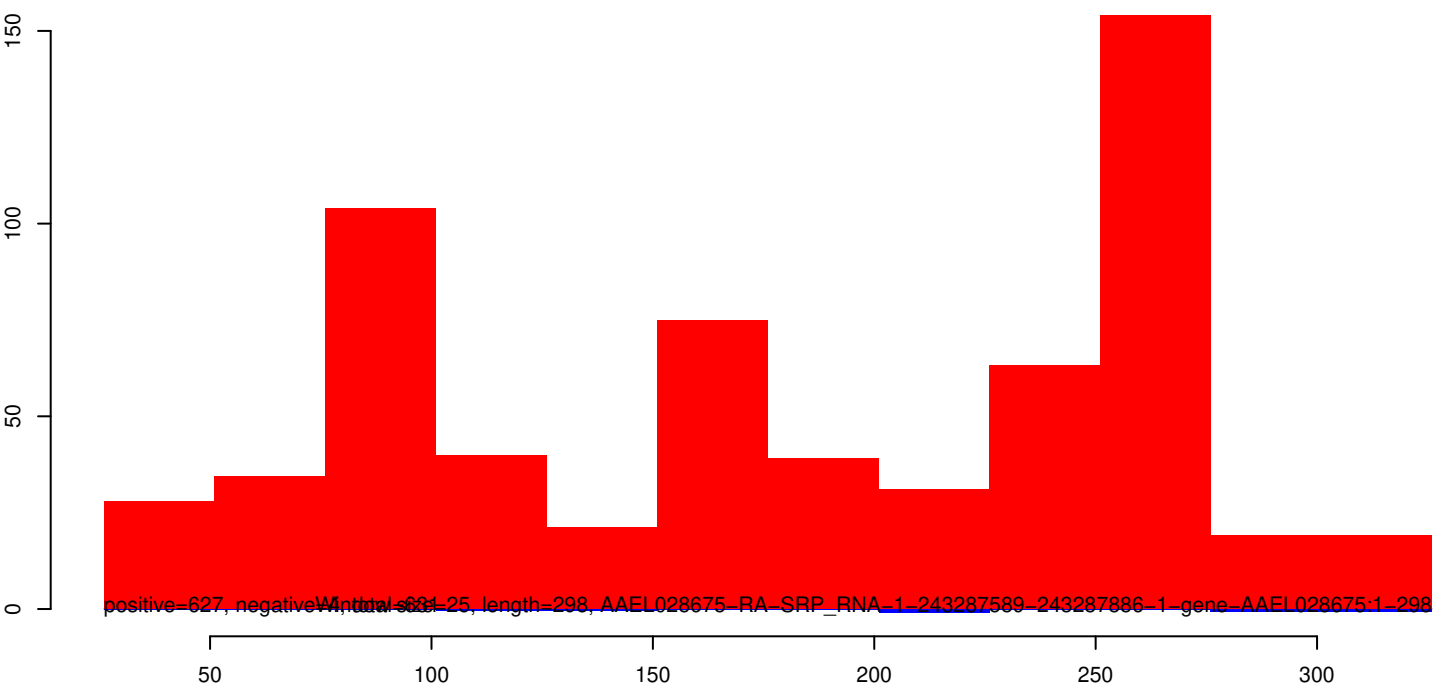
AeAeg_Whole_ZIKVdr_In_RNA_GP.18_23.rep



AeAeg_Whole_ZIKVdr_In_RNA_GP.24_35.rep



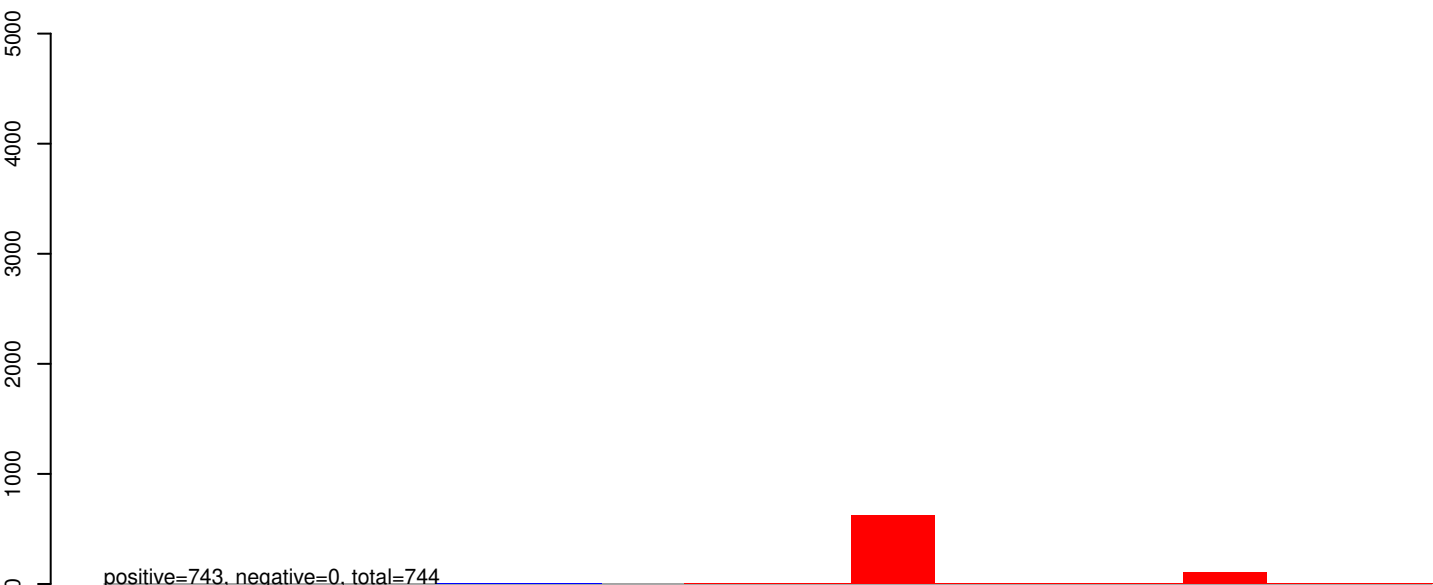
AeAeg_Whole_ZIKVdr_In_RNA_GP.rep



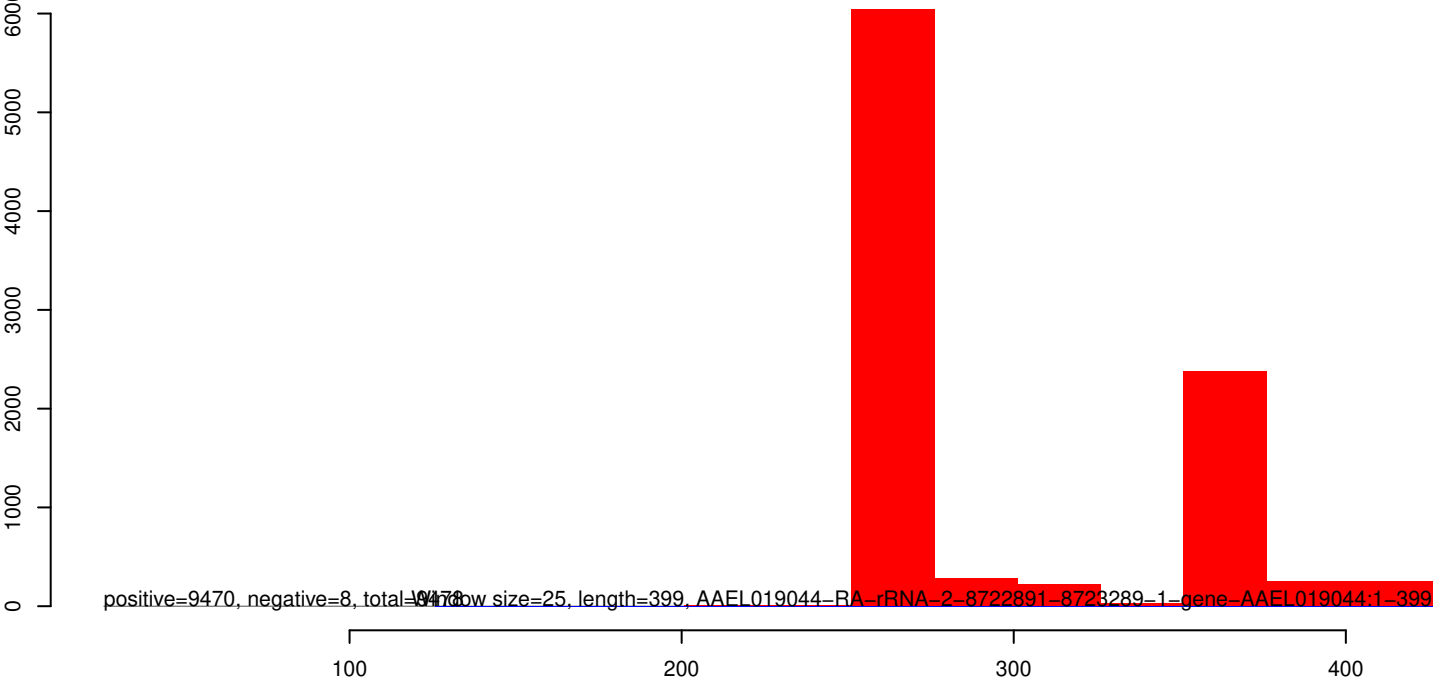
AeAeg_Whole_ZIKVdr_In_RNA_GP.18_23.rep



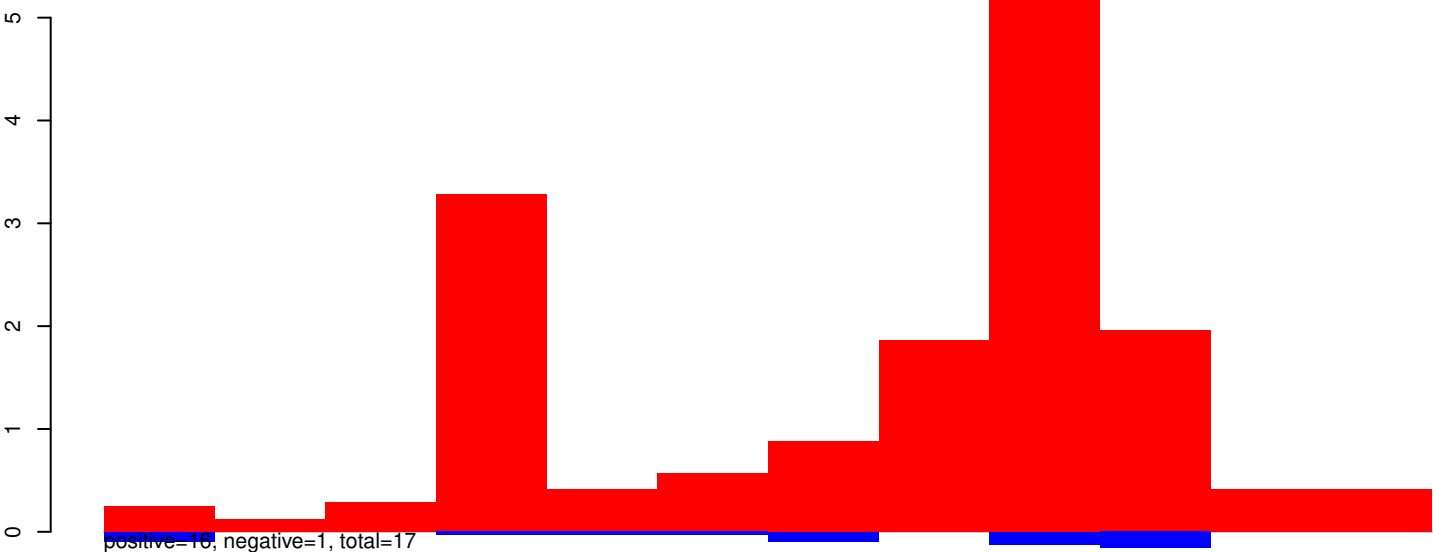
AeAeg_Whole_ZIKVdr_In_RNA_GP.24_35.rep



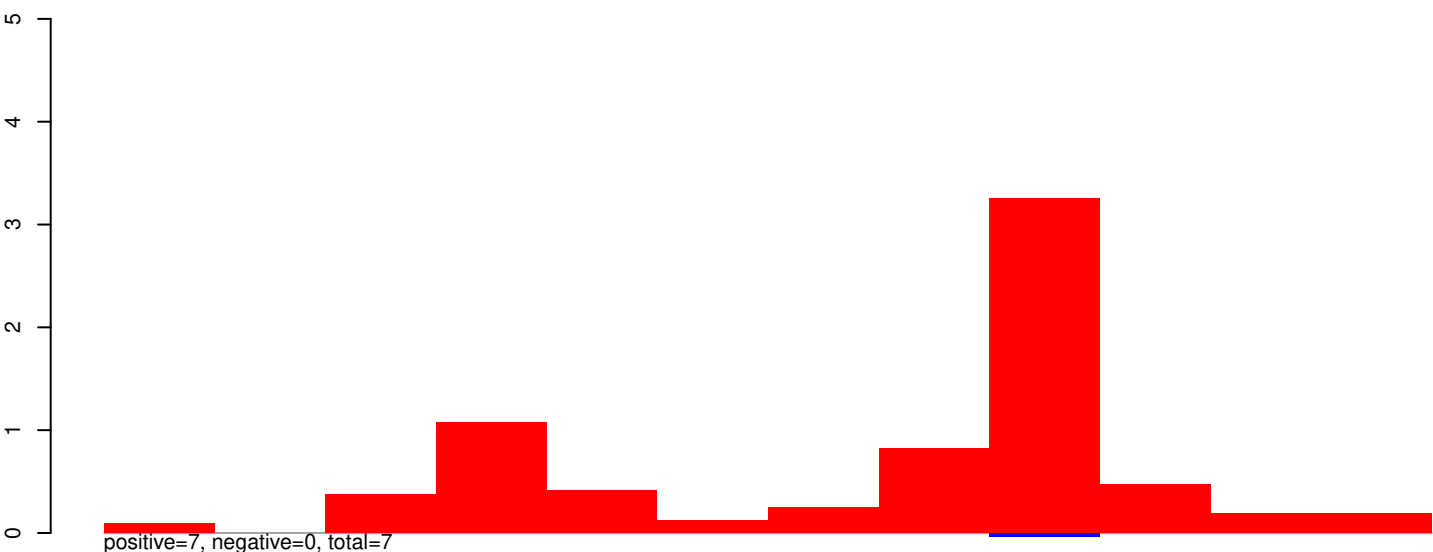
AeAeg_Whole_ZIKVdr_In_RNA_GP.rep



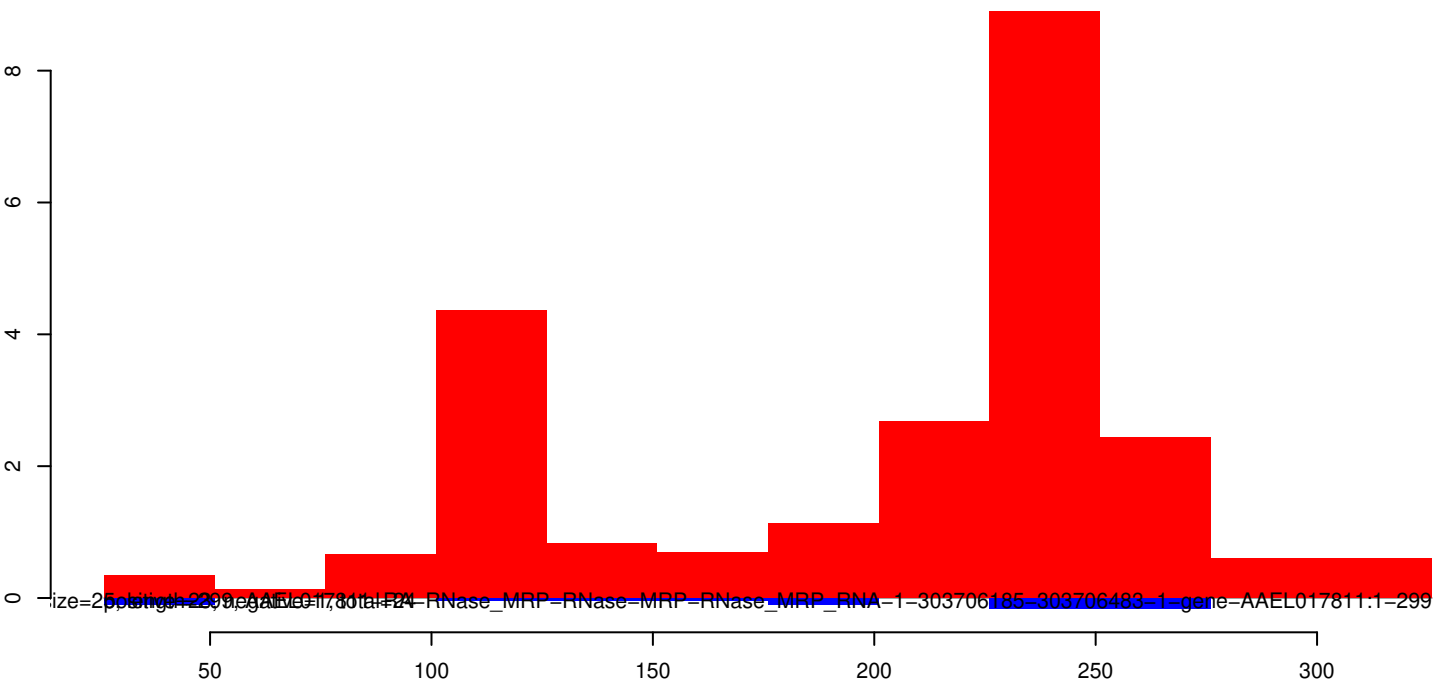
AeAeg_Whole_ZIKVdr_In_RNA_GP.18_23.rep



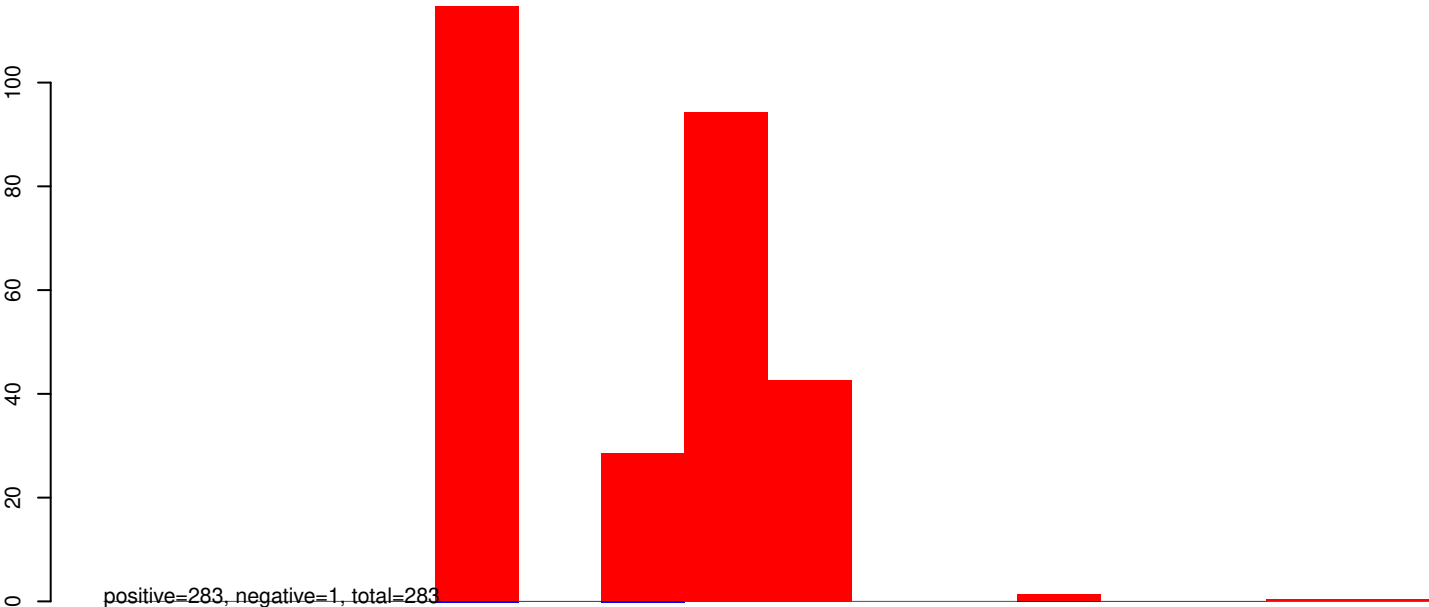
AeAeg_Whole_ZIKVdr_In_RNA_GP.24_35.rep



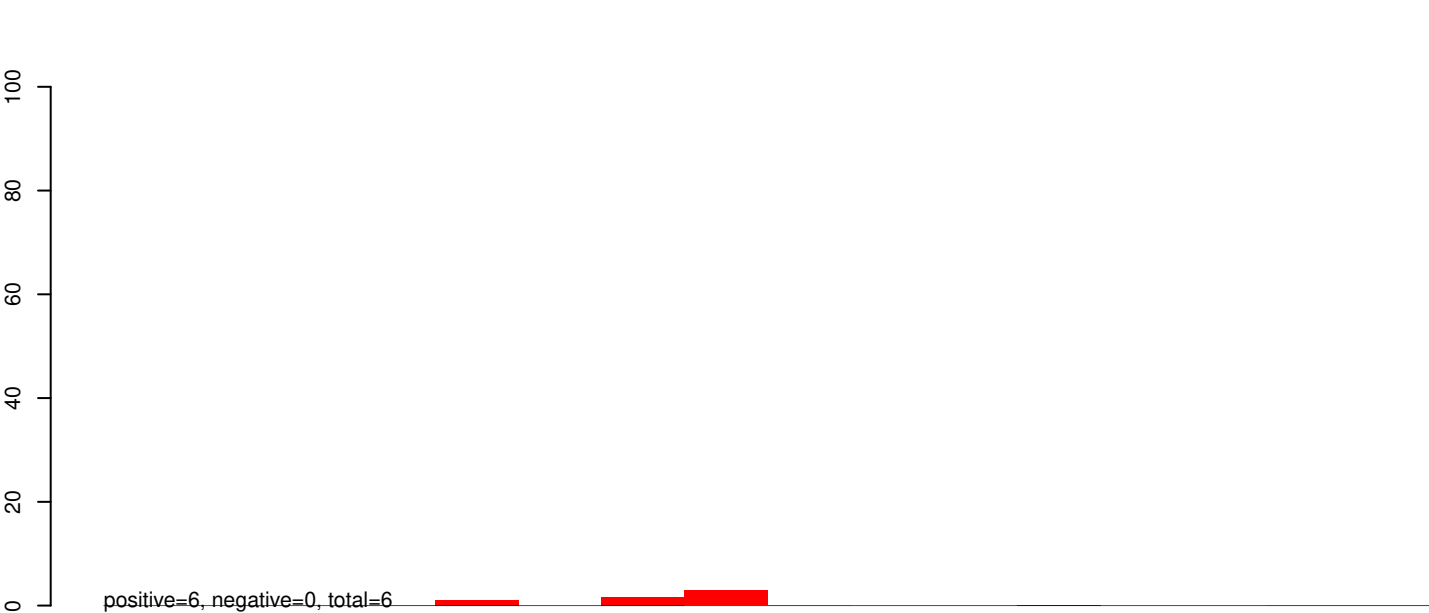
AeAeg_Whole_ZIKVdr_In_RNA_GP.rep



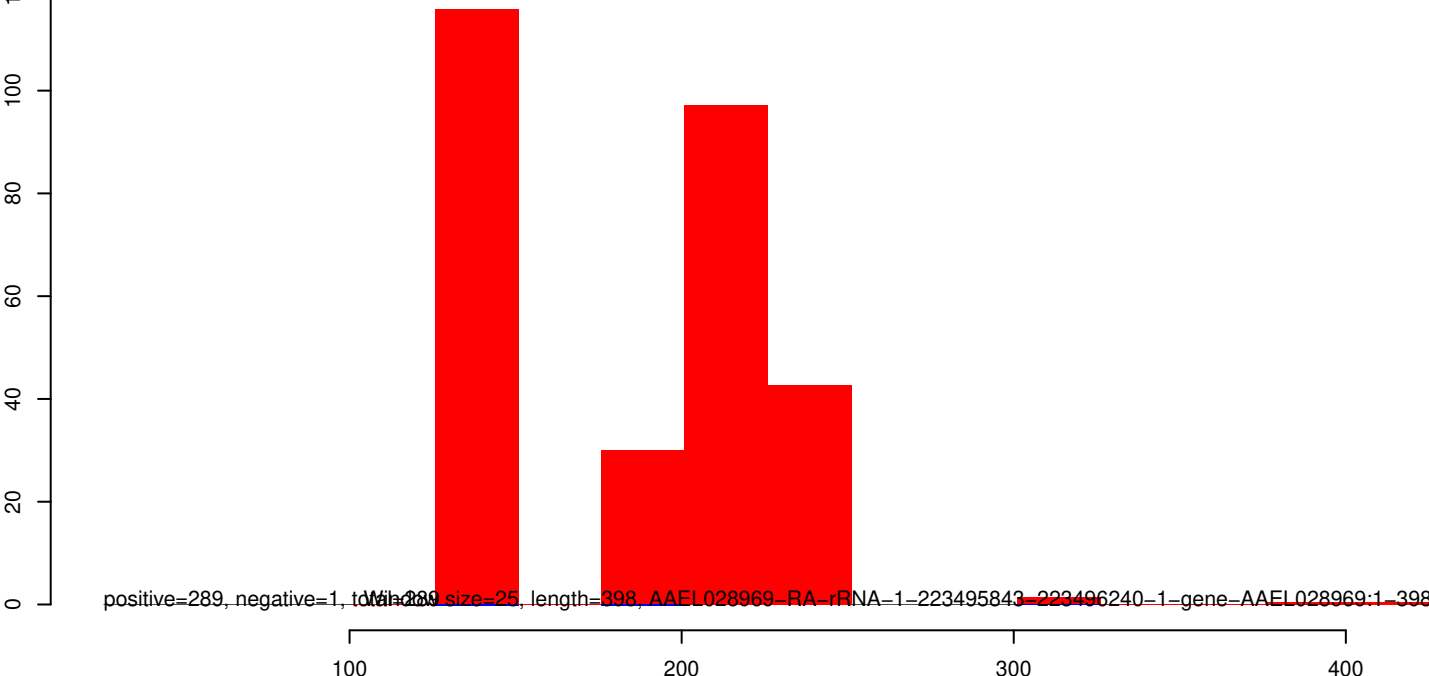
AeAeg_Whole_ZIKVdr_In_RNA_GP.18_23.rep



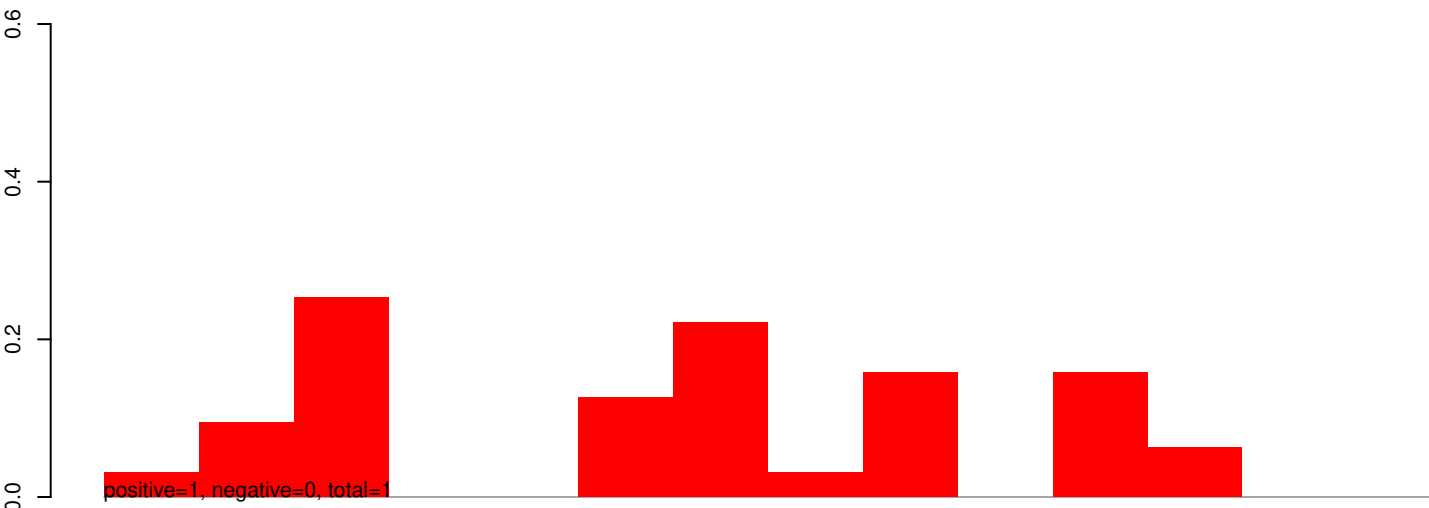
AeAeg_Whole_ZIKVdr_In_RNA_GP.24_35.rep



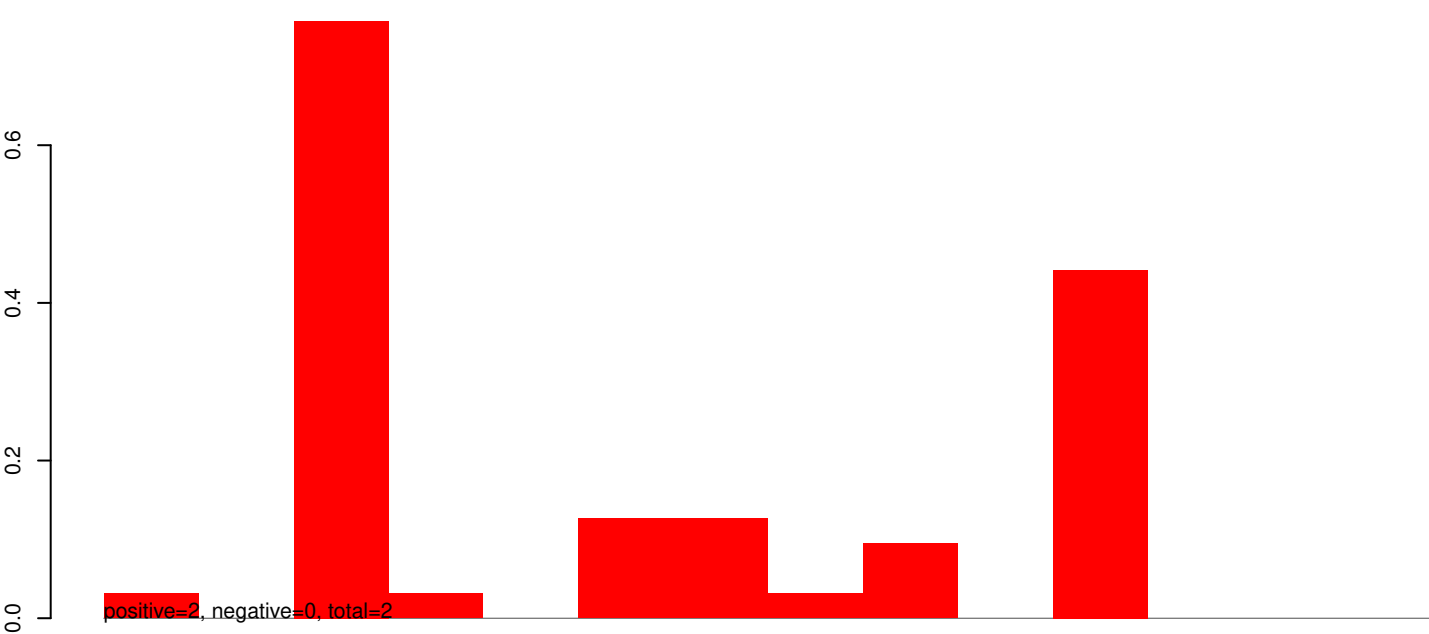
AeAeg_Whole_ZIKVdr_In_RNA_GP.rep



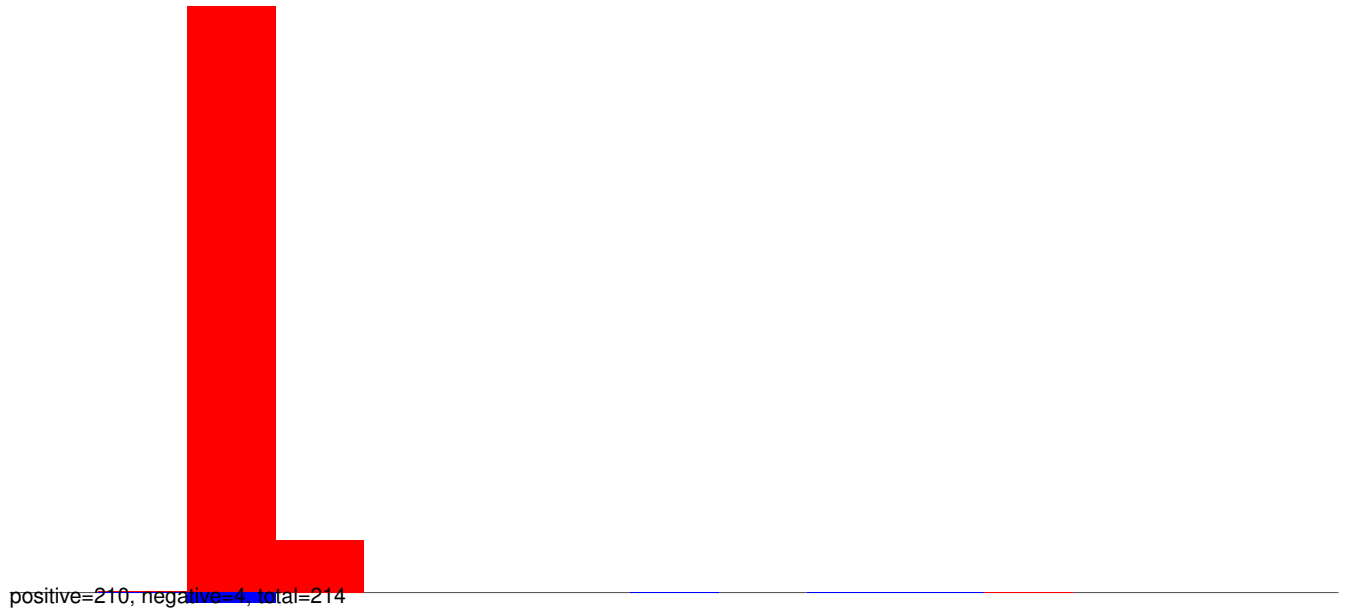
AeAeg_Whole_ZIKVdr_In_RNA_GP.18_23.rep



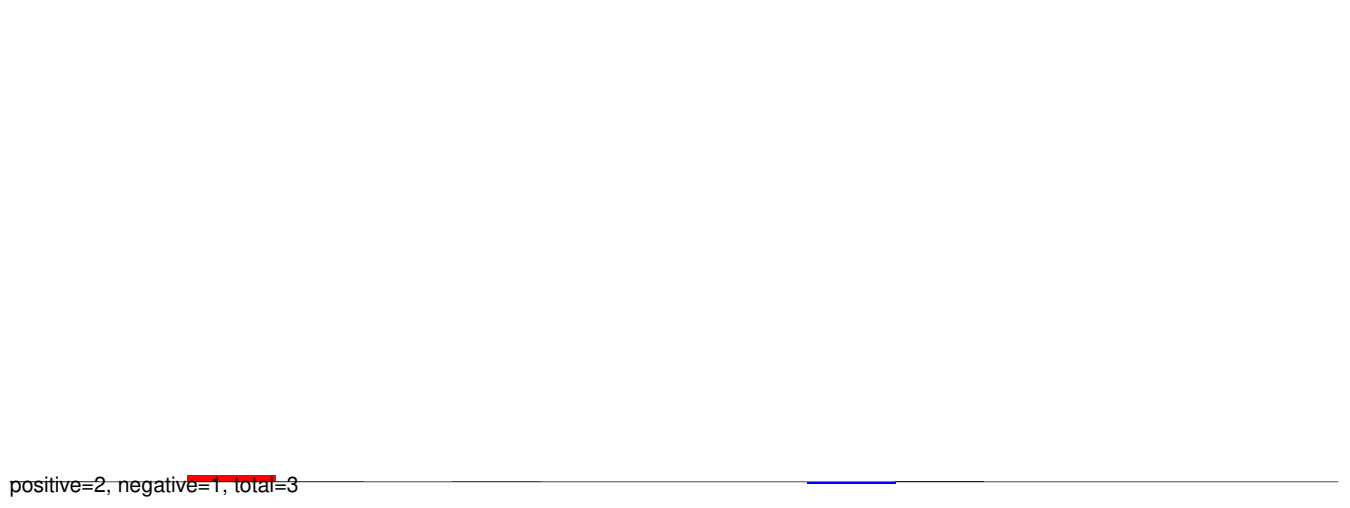
AeAeg_Whole_ZIKVdr_In_RNA_GP.24_35.rep



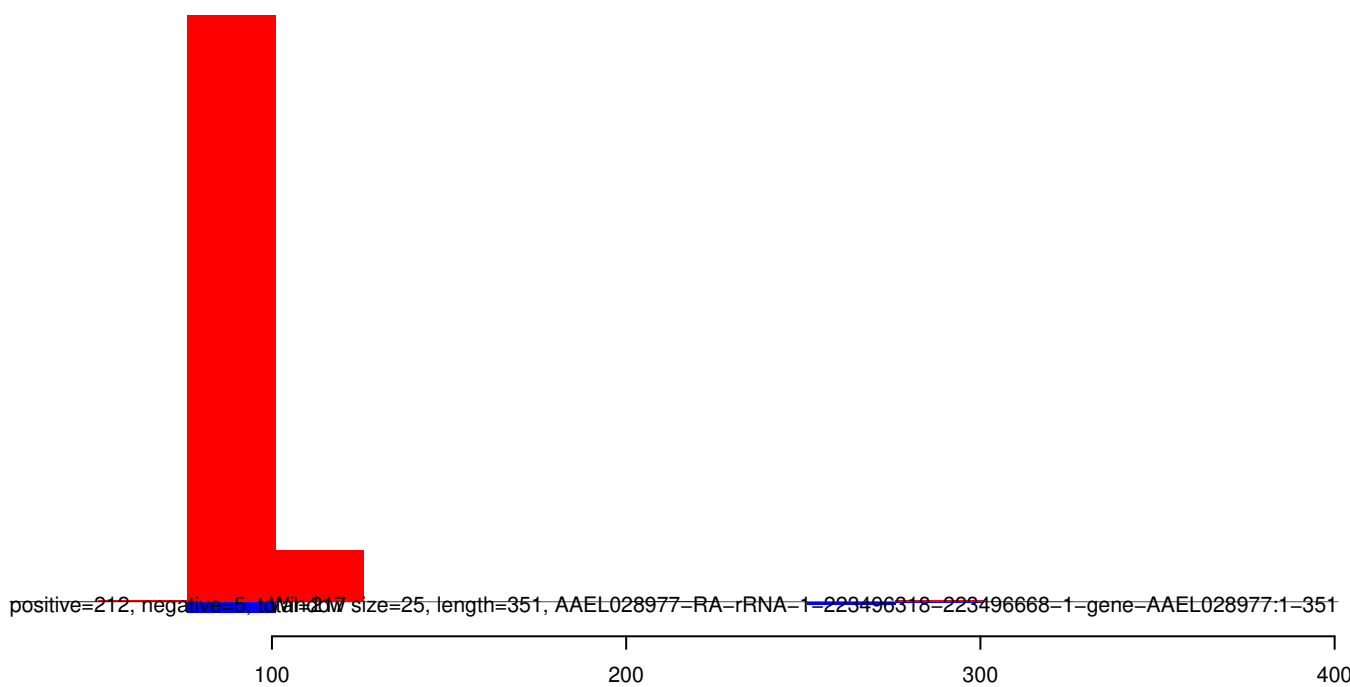
AeAeg_Whole_ZIKVdr_In_RNA_GP.18_23.rep



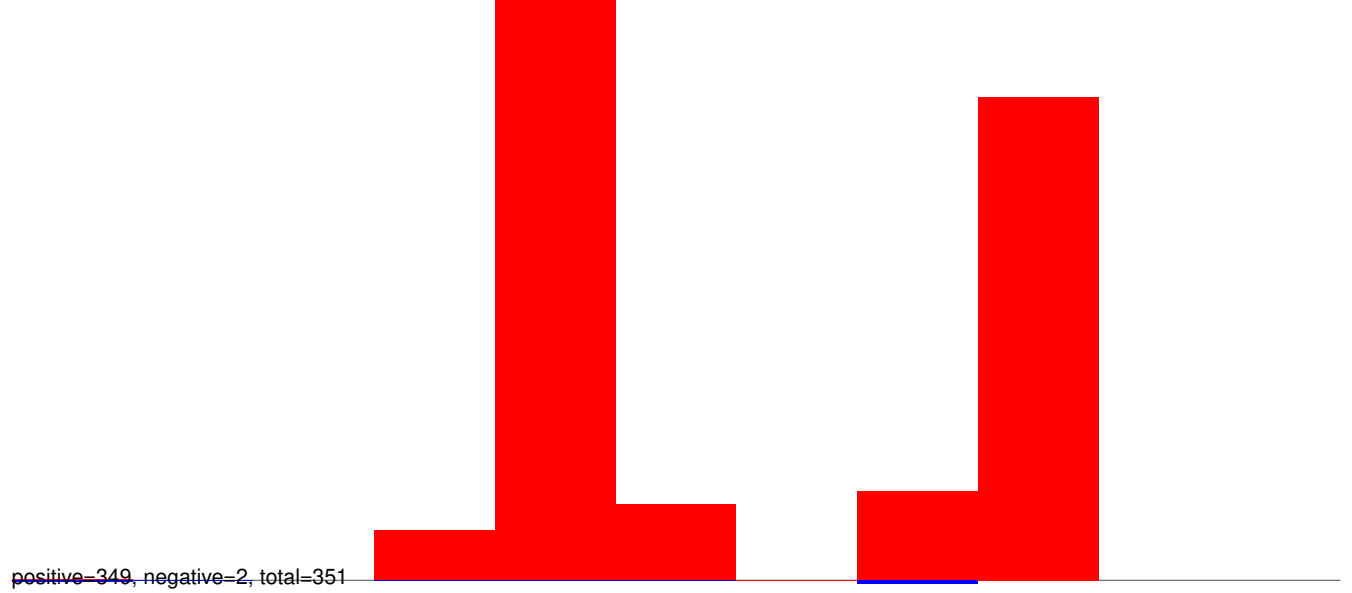
AeAeg_Whole_ZIKVdr_In_RNA_GP.24_35.rep



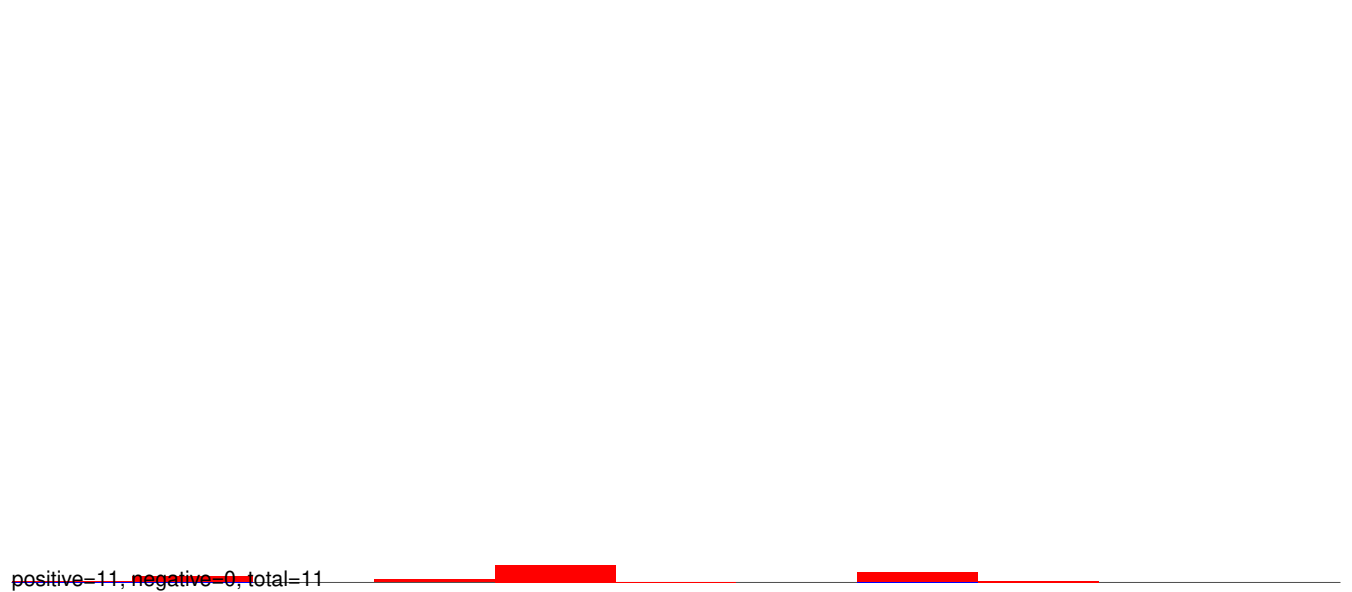
AeAeg_Whole_ZIKVdr_In_RNA_GP.rep



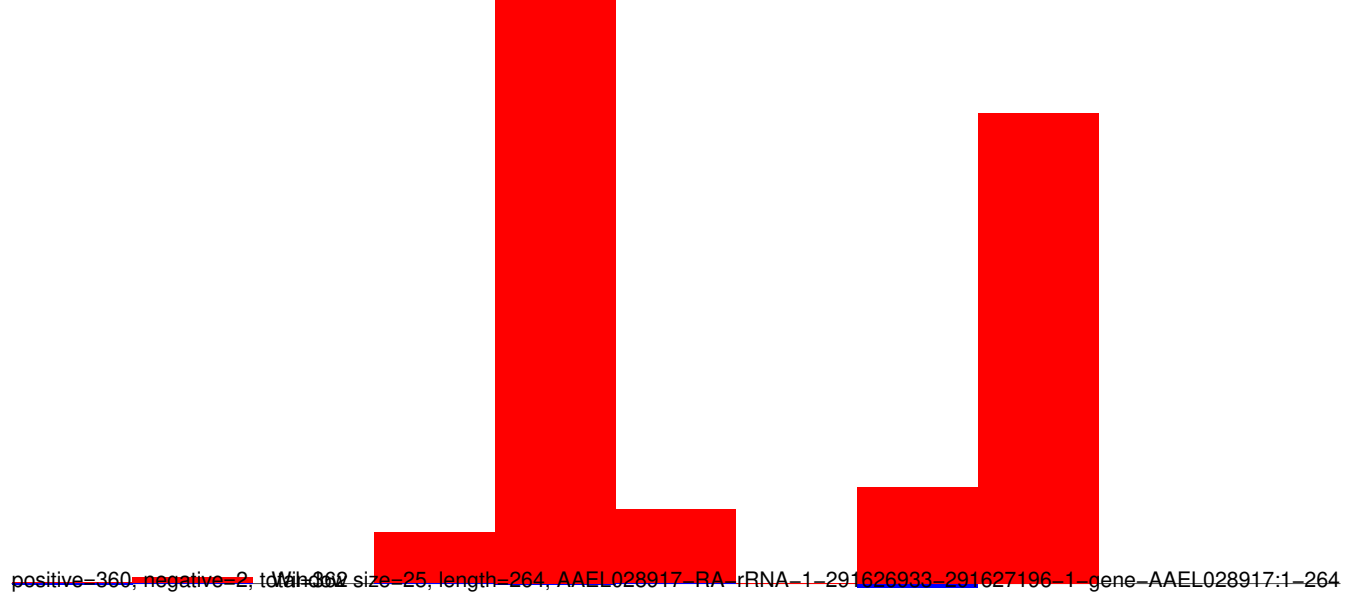
AeAeg_Whole_ZIKVdr_In_RNA_GP.18_23.rep



AeAeg_Whole_ZIKVdr_In_RNA_GP.24_35.rep

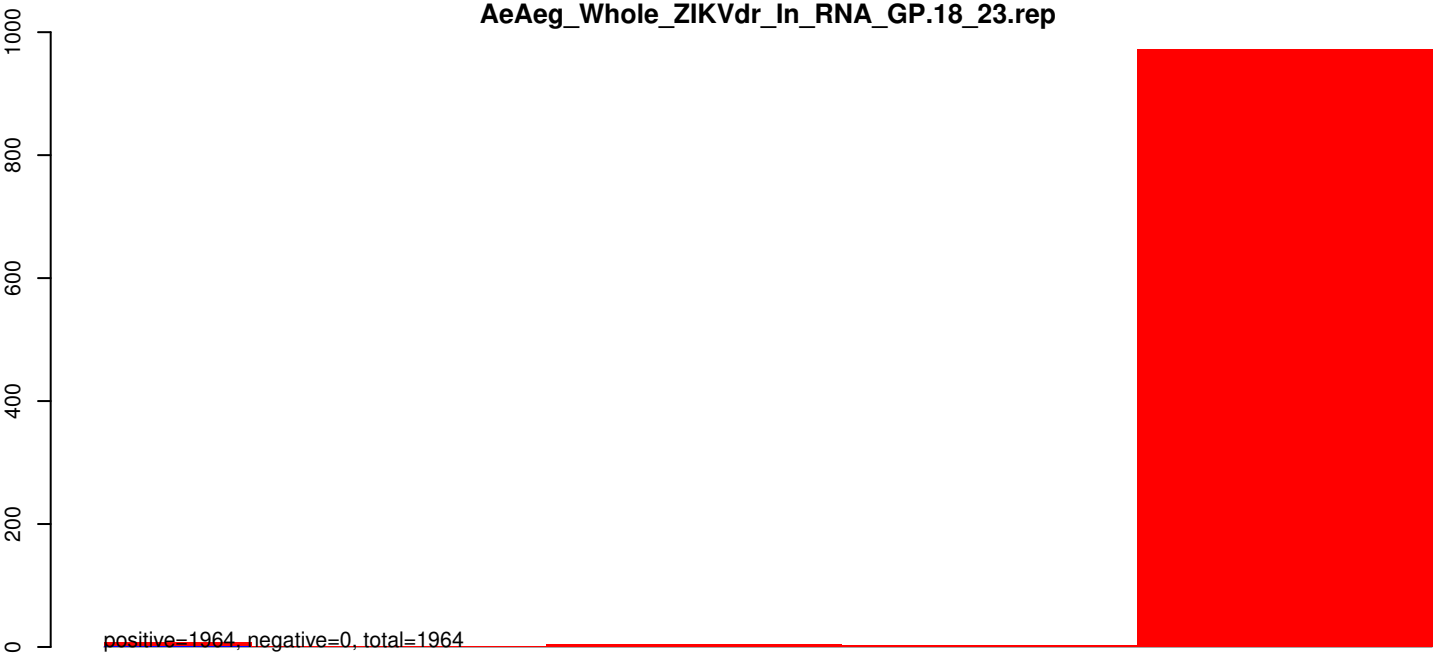


AeAeg_Whole_ZIKVdr_In_RNA_GP.rep

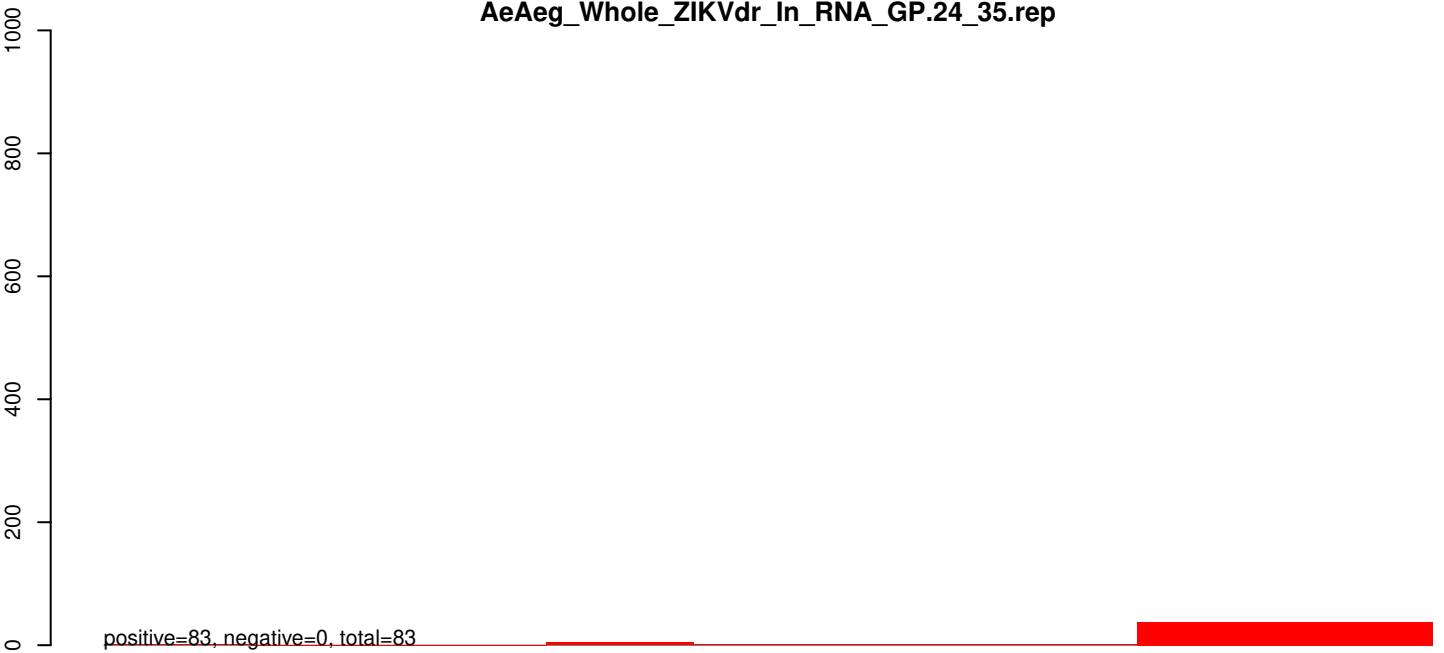


Window size=25, length=264, AAEL028917-RA-rRNA-1-291626933-291627196-1-gene-AAEL028917:1-264

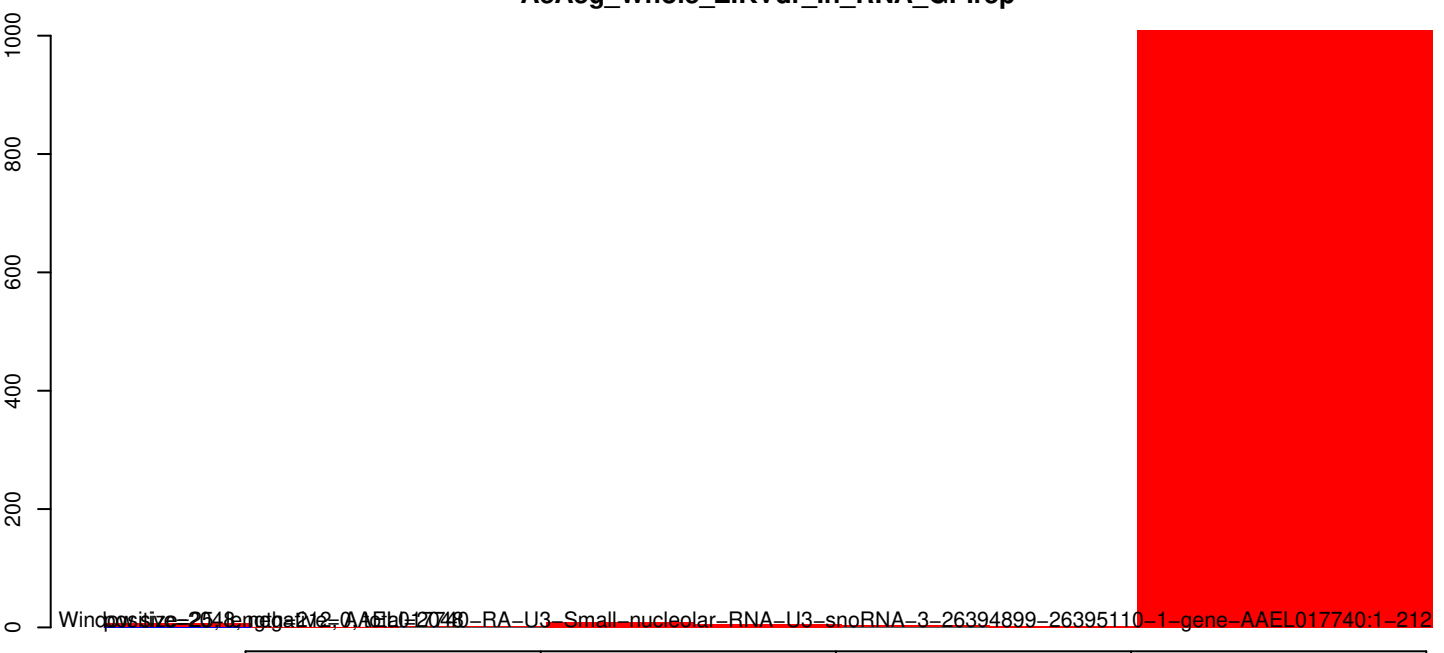
AeAeg_Whole_ZIKVdr_In_RNA_GP.18_23.rep



AeAeg_Whole_ZIKVdr_In_RNA_GP.24_35.rep



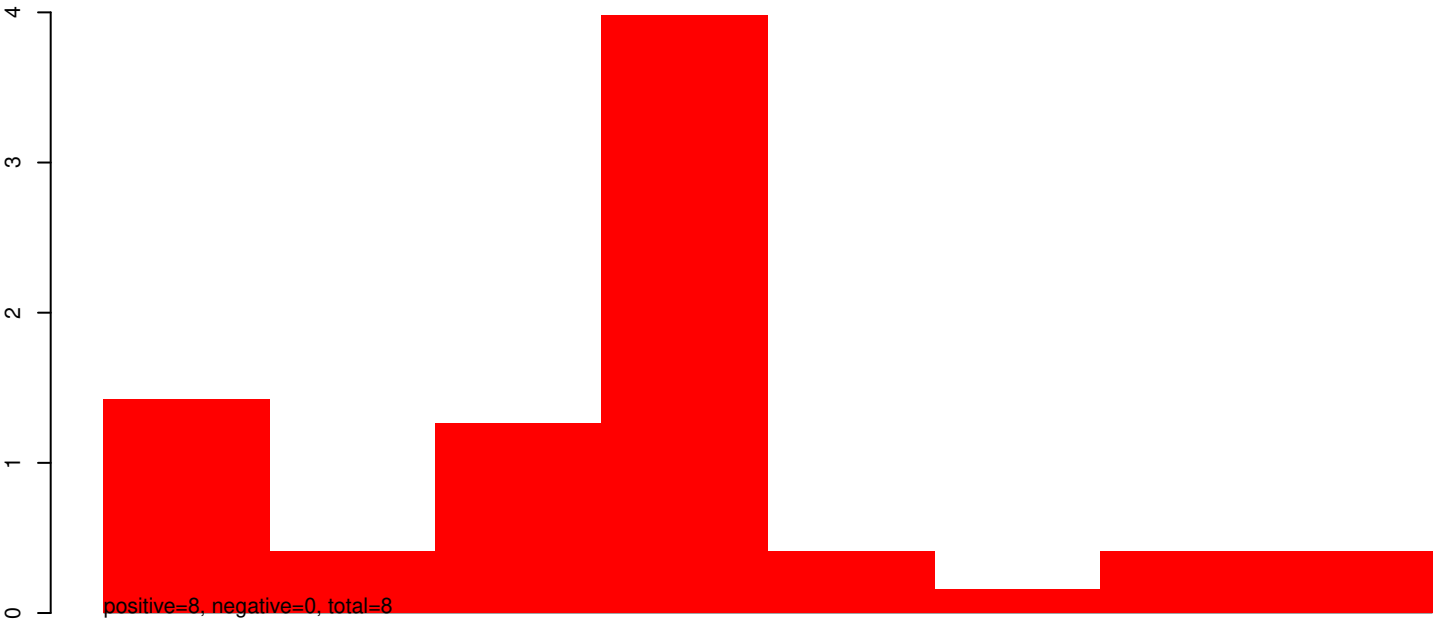
AeAeg_Whole_ZIKVdr_In_RNA_GP.rep



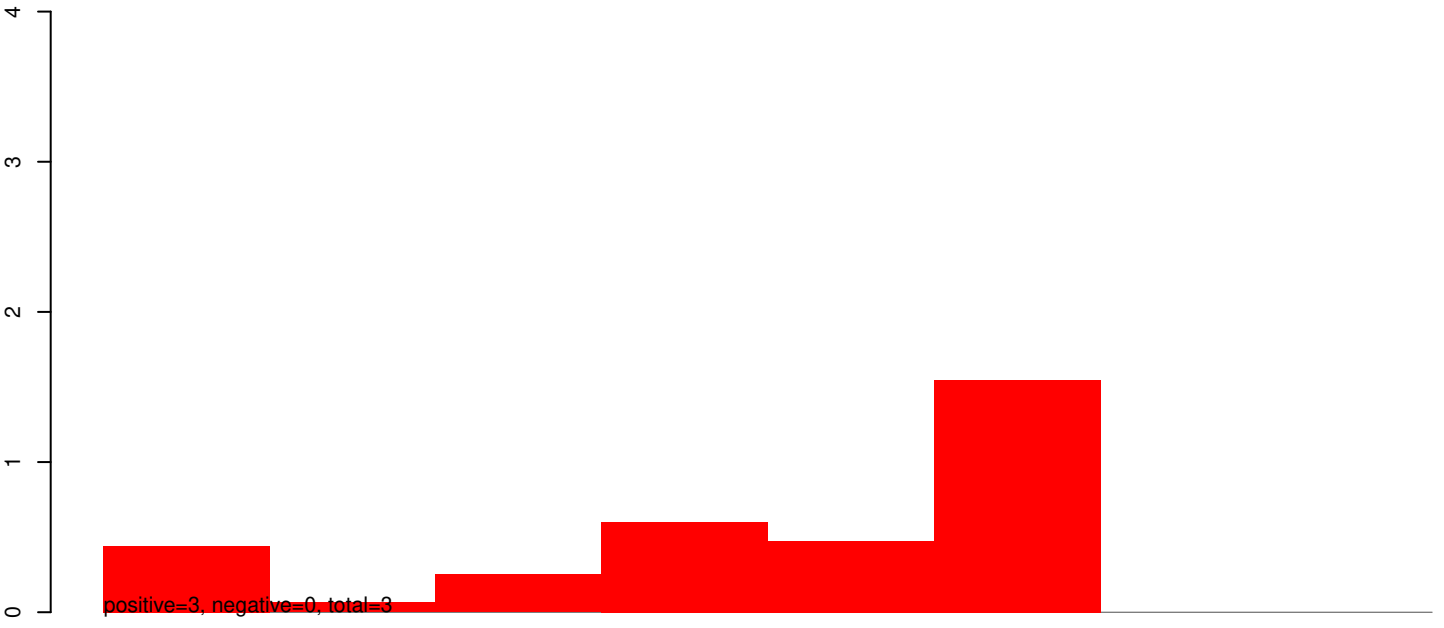
Windoski, M. et al. 2016. *Aedes albopictus* - RNA-U3-Small nucleolar RNA-U3-snoRNA-3-26394899-26395110-1-gene-AAEL017740:1-212

50 100 150 200 250

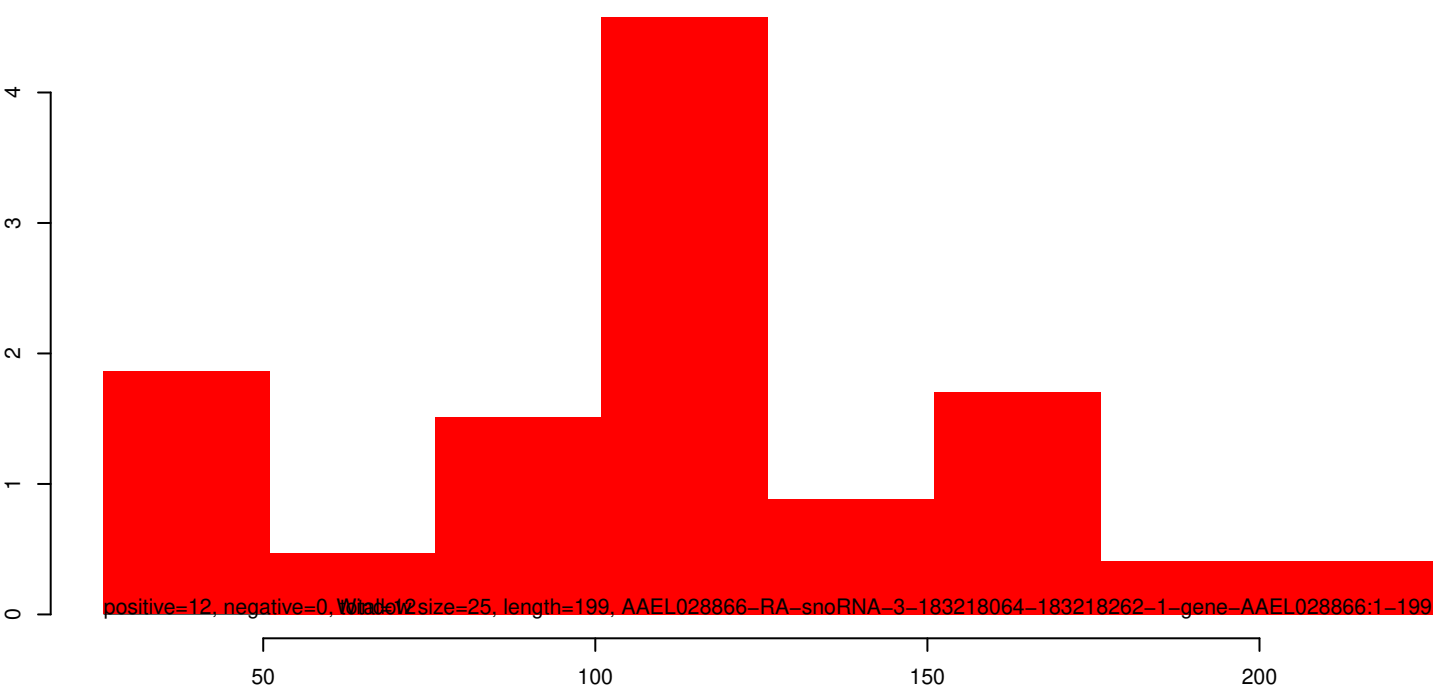
AeAeg_Whole_ZIKVdr_In_RNA_GP.18_23.rep



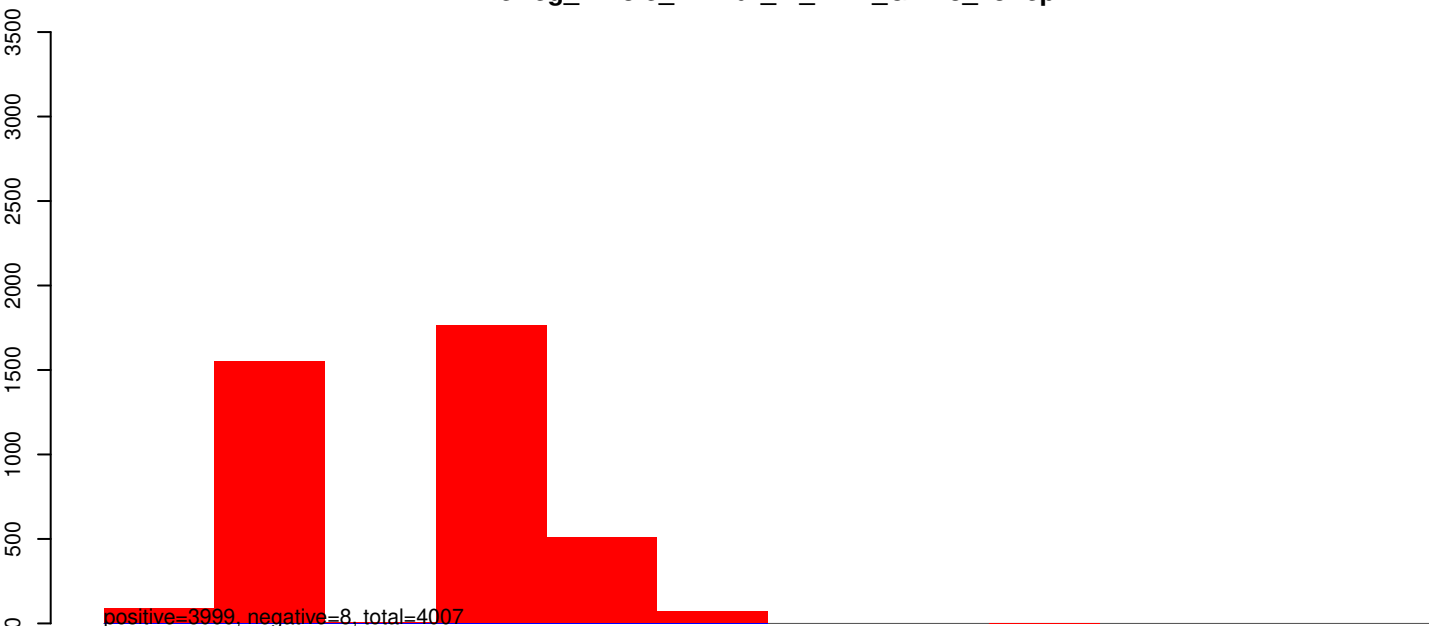
AeAeg_Whole_ZIKVdr_In_RNA_GP.24_35.rep



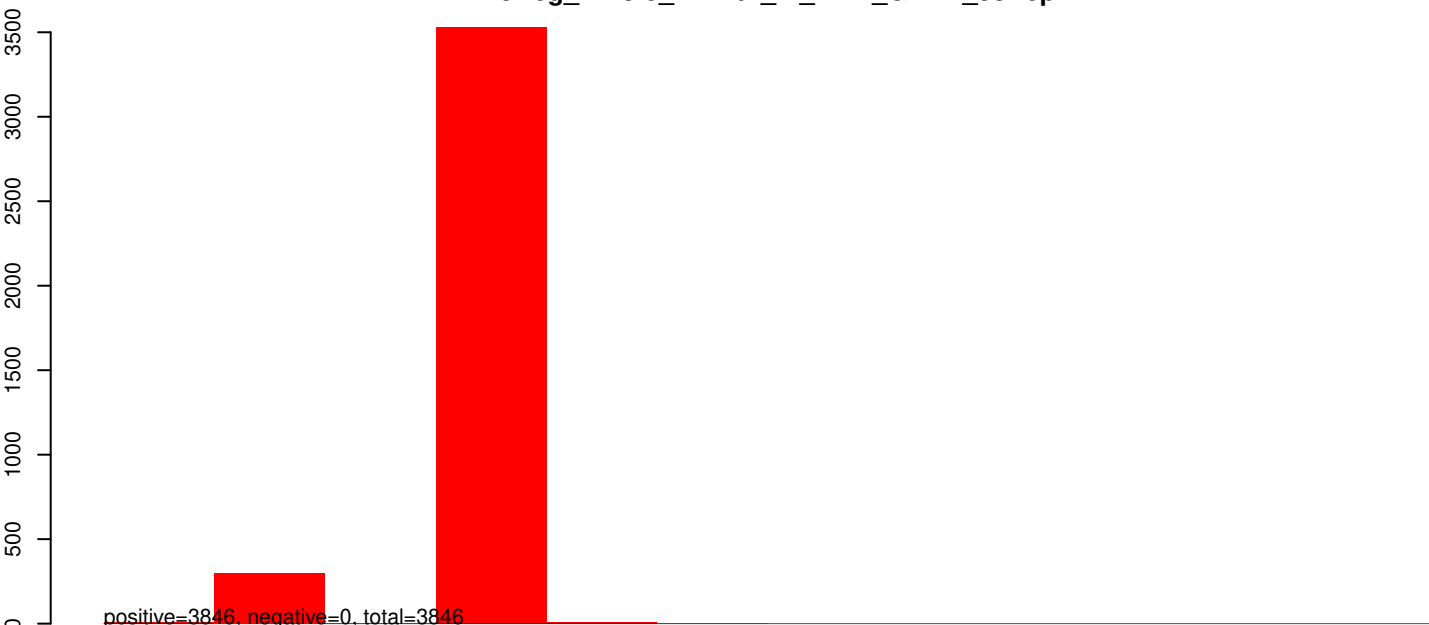
AeAeg_Whole_ZIKVdr_In_RNA_GP.rep



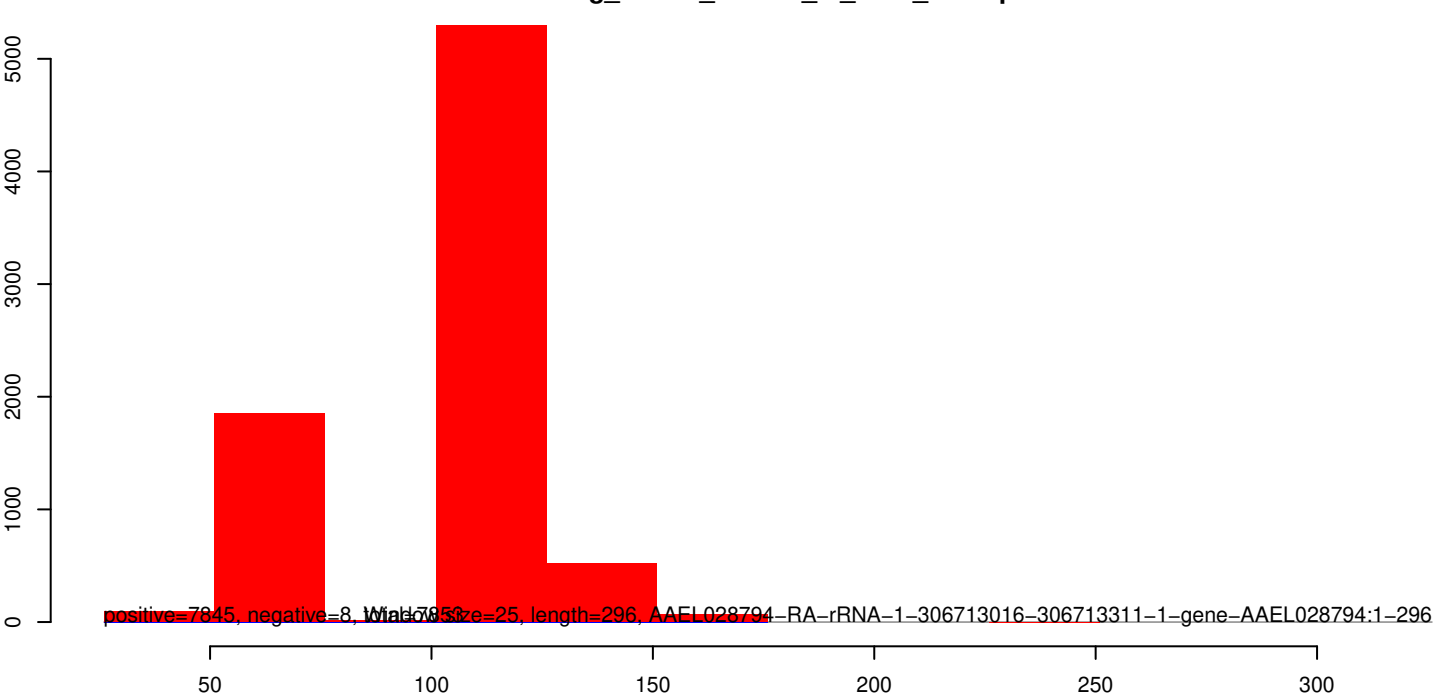
AeAeg_Whole_ZIKVdr_In_RNA_GP.18_23.rep



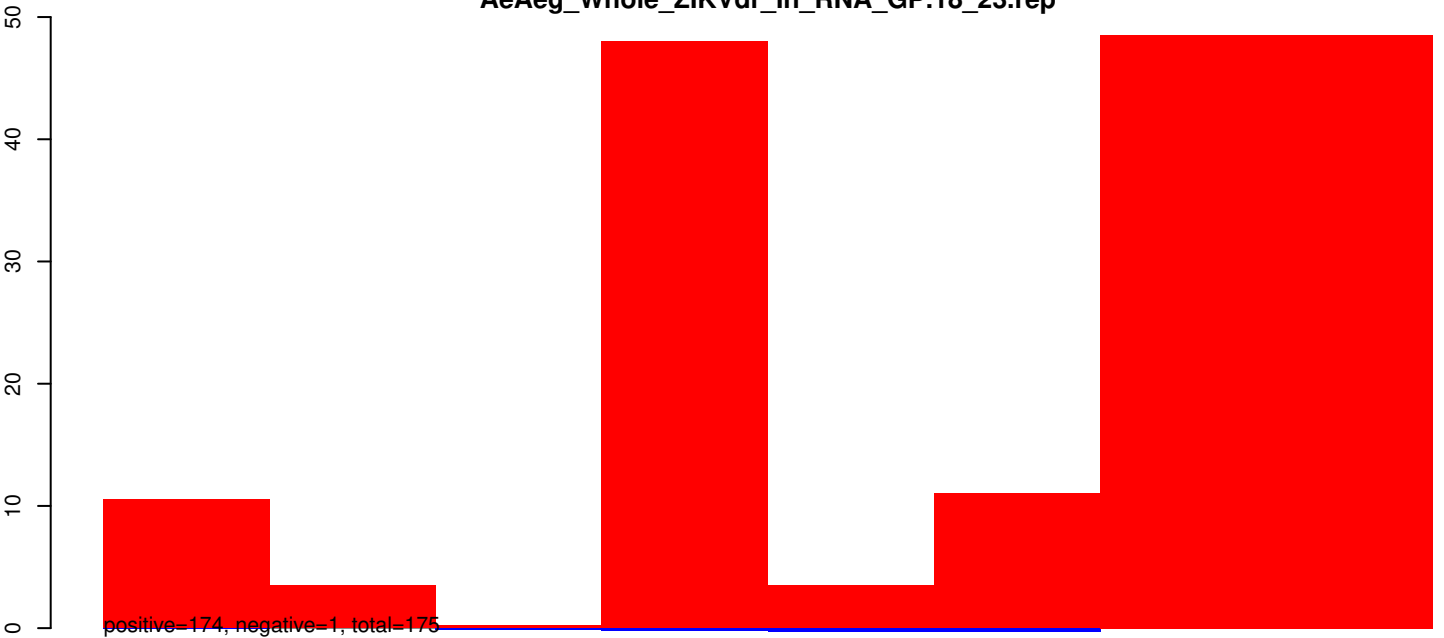
AeAeg_Whole_ZIKVdr_In_RNA_GP.24_35.rep



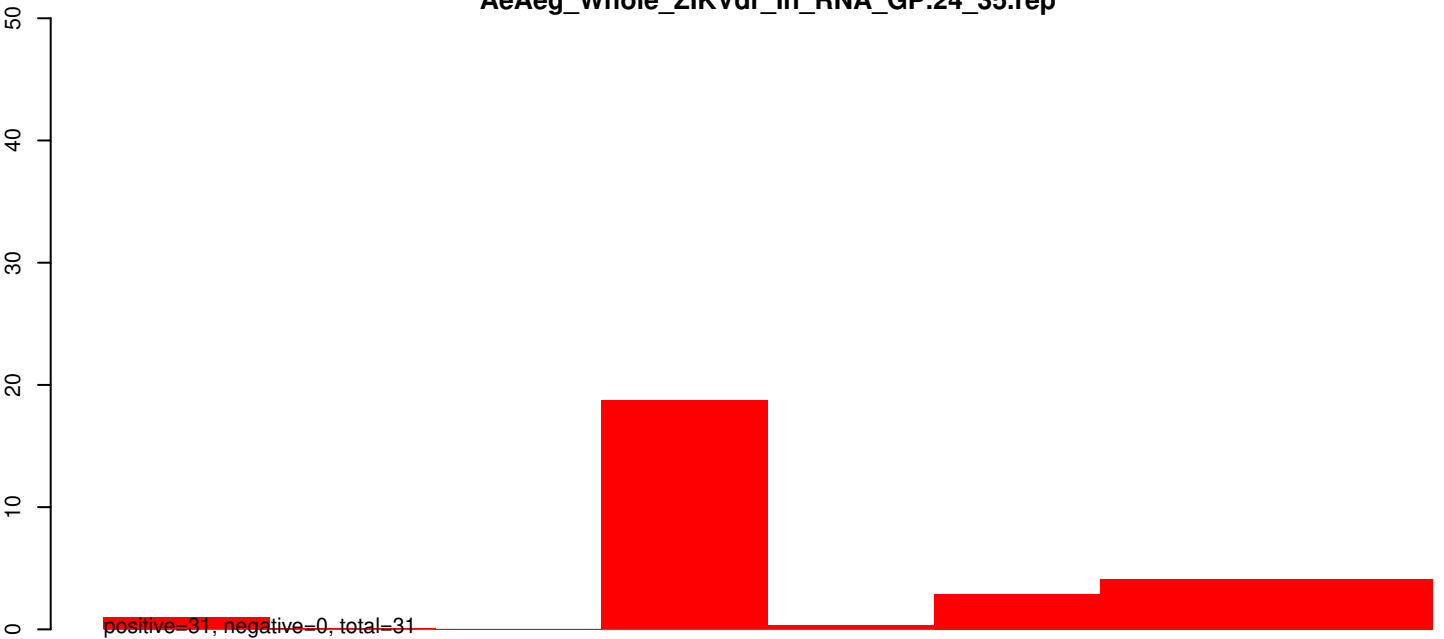
AeAeg_Whole_ZIKVdr_In_RNA_GP.rep



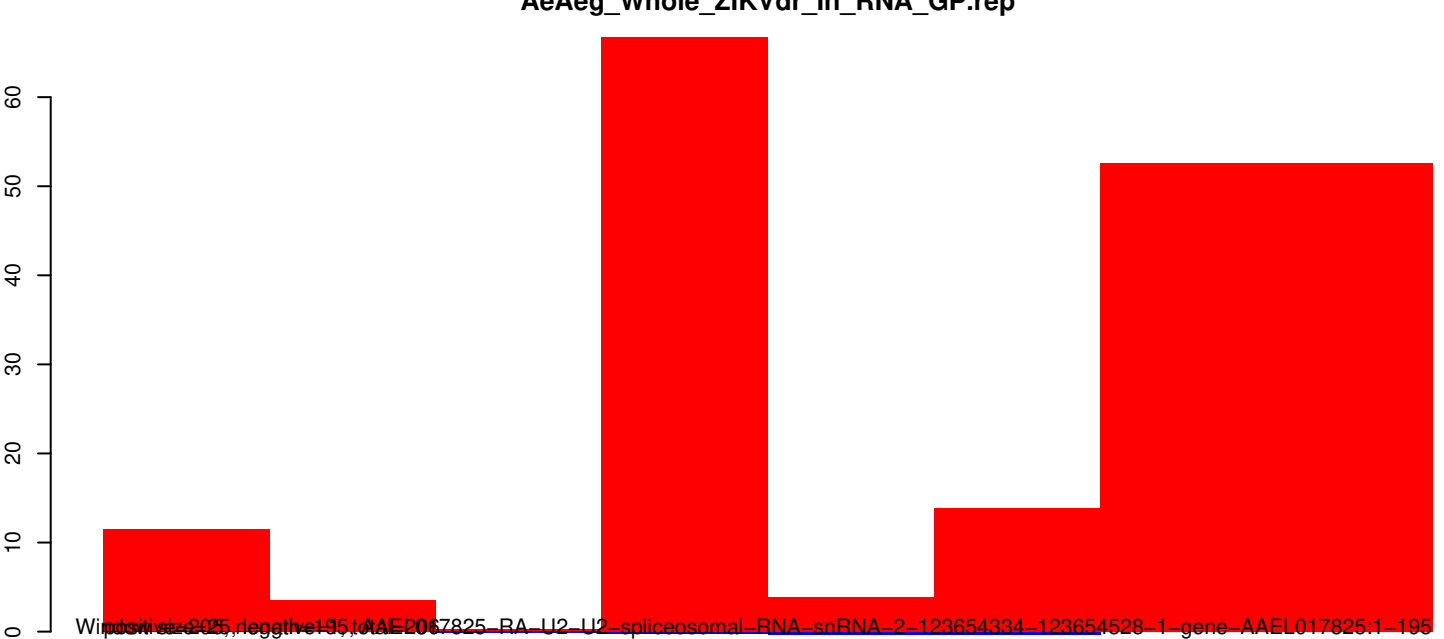
AeAeg_Whole_ZIKVdr_In_RNA_GP.18_23.rep



AeAeg_Whole_ZIKVdr_In_RNA_GP.24_35.rep



AeAeg_Whole_ZIKVdr_In_RNA_GP.rep



Window size=25, negative=19, total=224, gene=AAE017825-RA-U2-U2-spliceosomal-RNA-snRNA-2-123654334-123654528-1-gene-AAEL017825:1-195

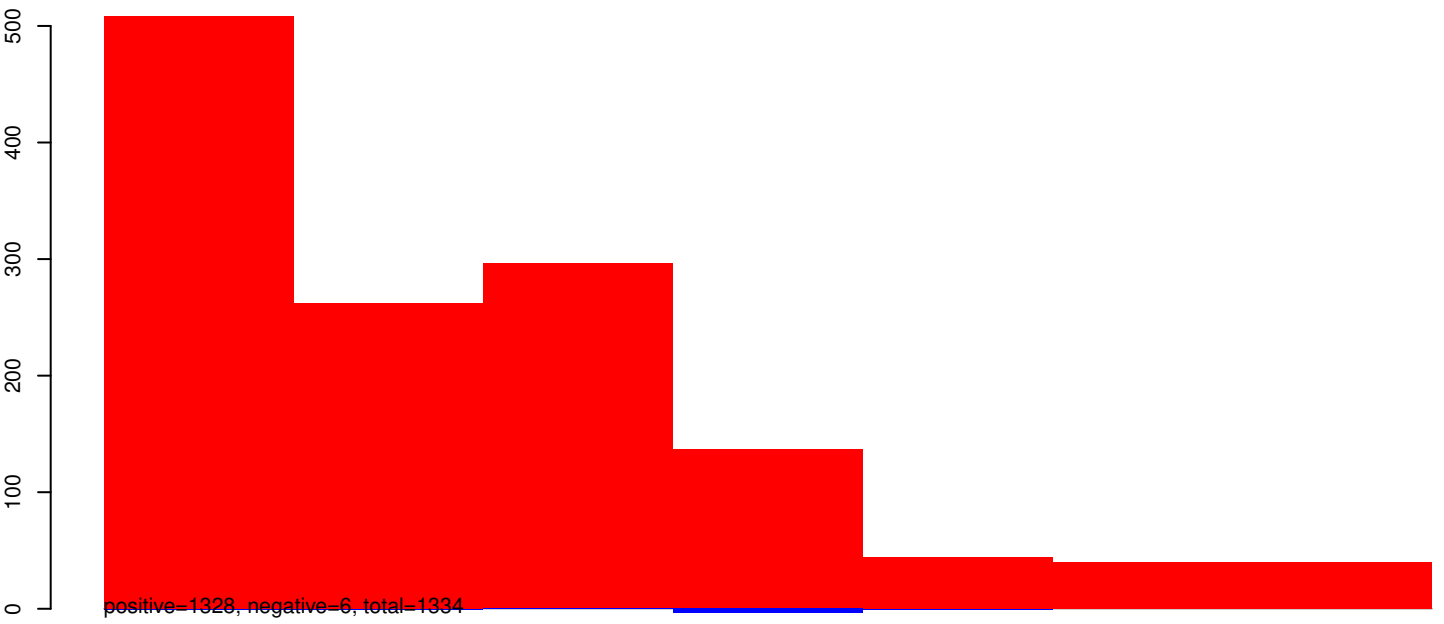
50

100

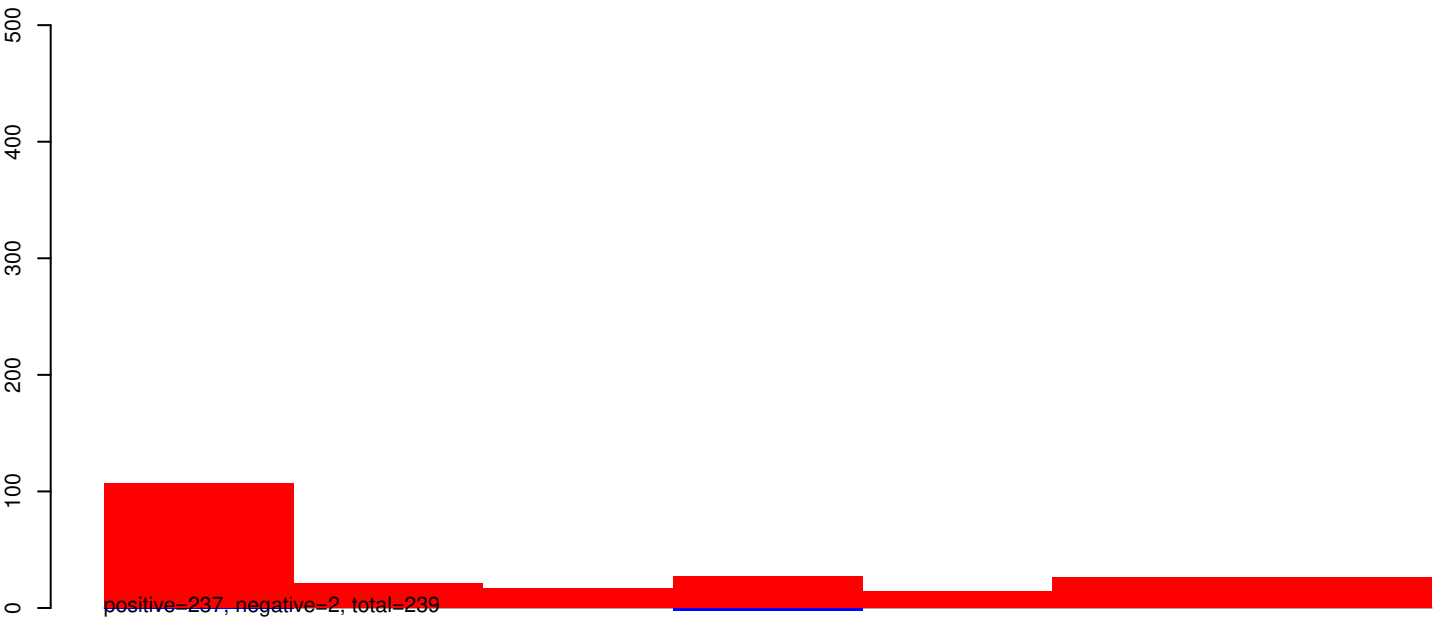
150

200

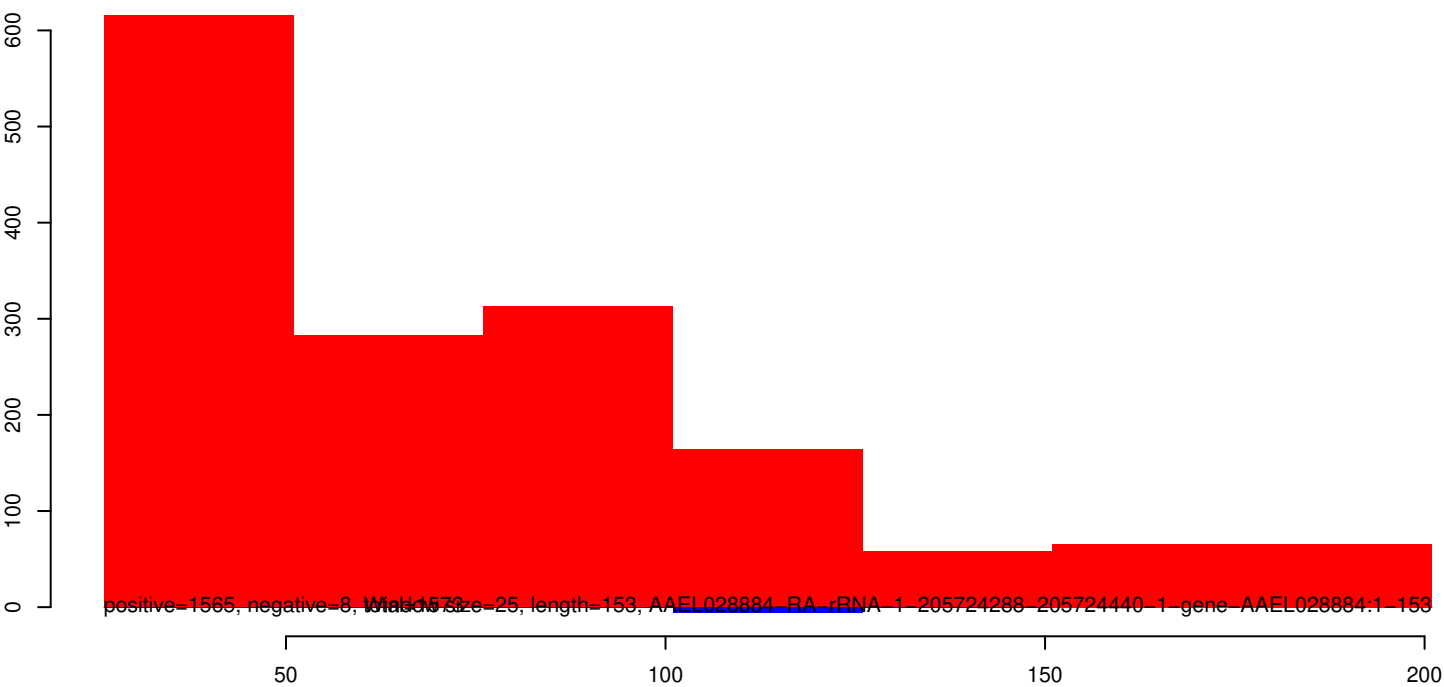
AeAeg_Whole_ZIKVdr_In_RNA_GP.18_23.rep



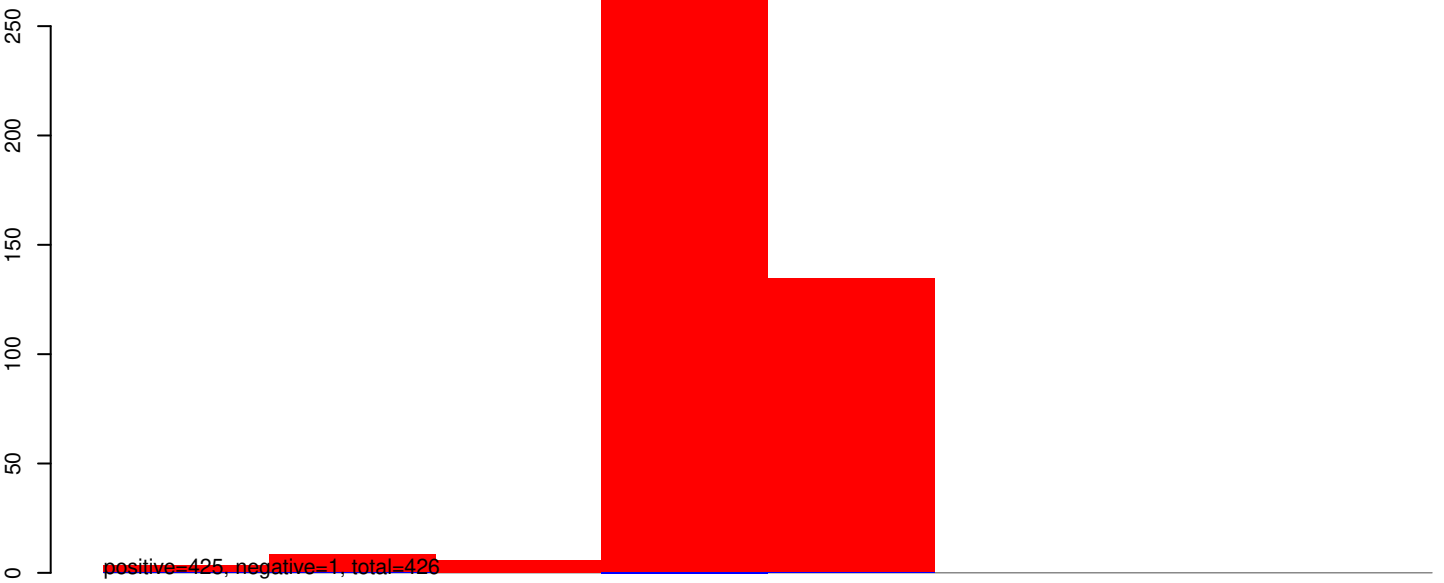
AeAeg_Whole_ZIKVdr_In_RNA_GP.24_35.rep



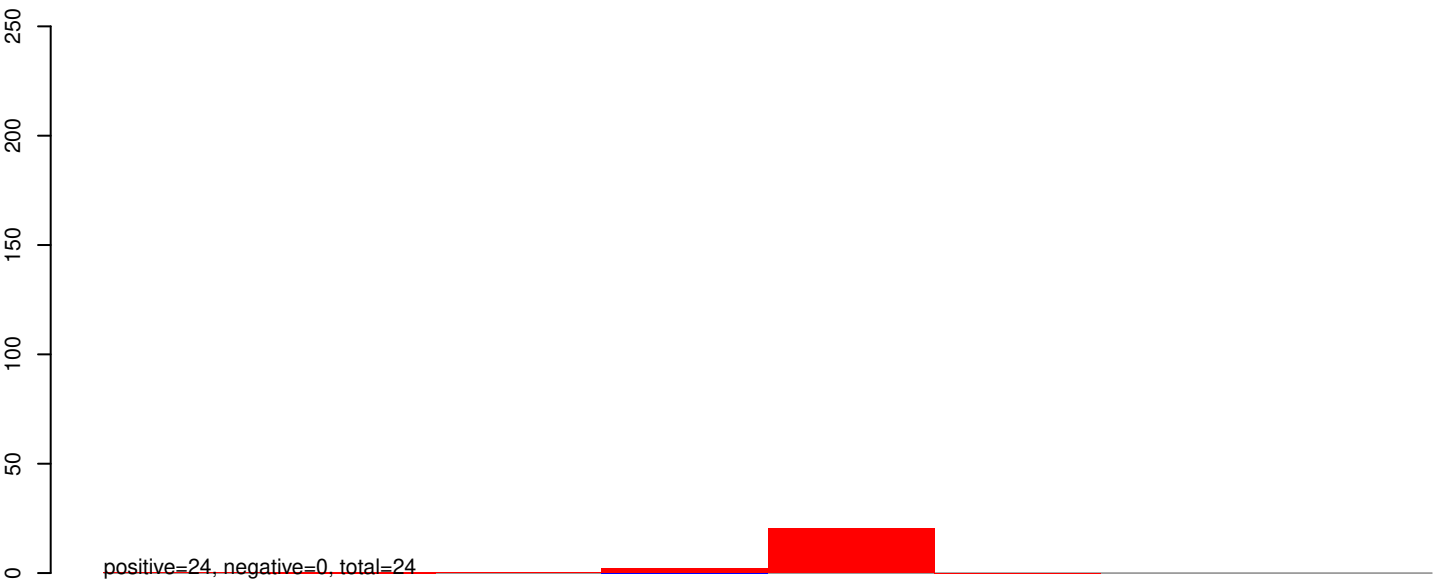
AeAeg_Whole_ZIKVdr_In_RNA_GP.rep



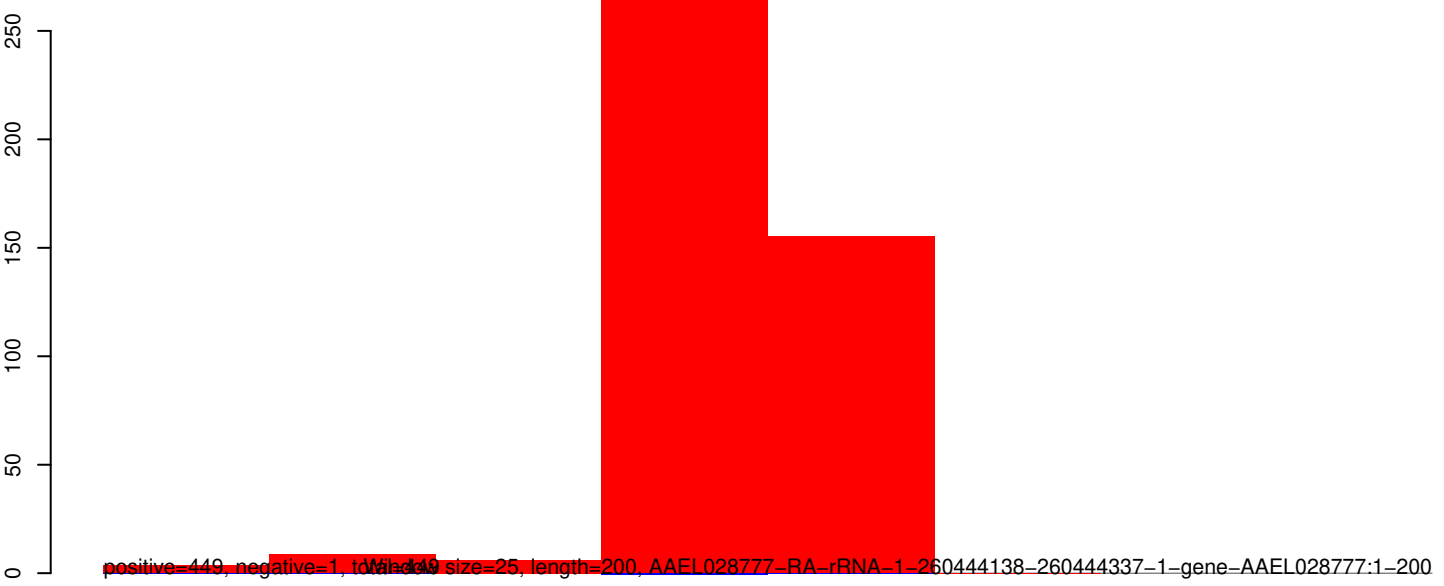
AeAeg_Whole_ZIKVdr_In_RNA_GP.18_23.rep



AeAeg_Whole_ZIKVdr_In_RNA_GP.24_35.rep



AeAeg_Whole_ZIKVdr_In_RNA_GP.rep



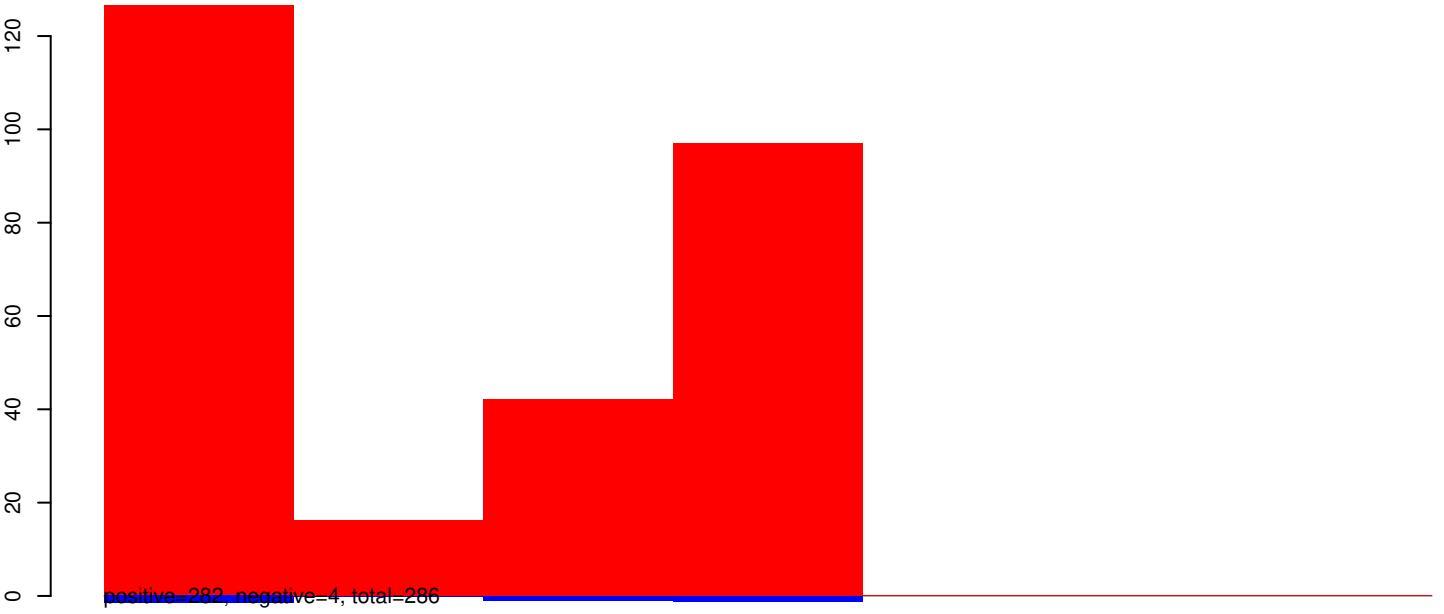
50

100

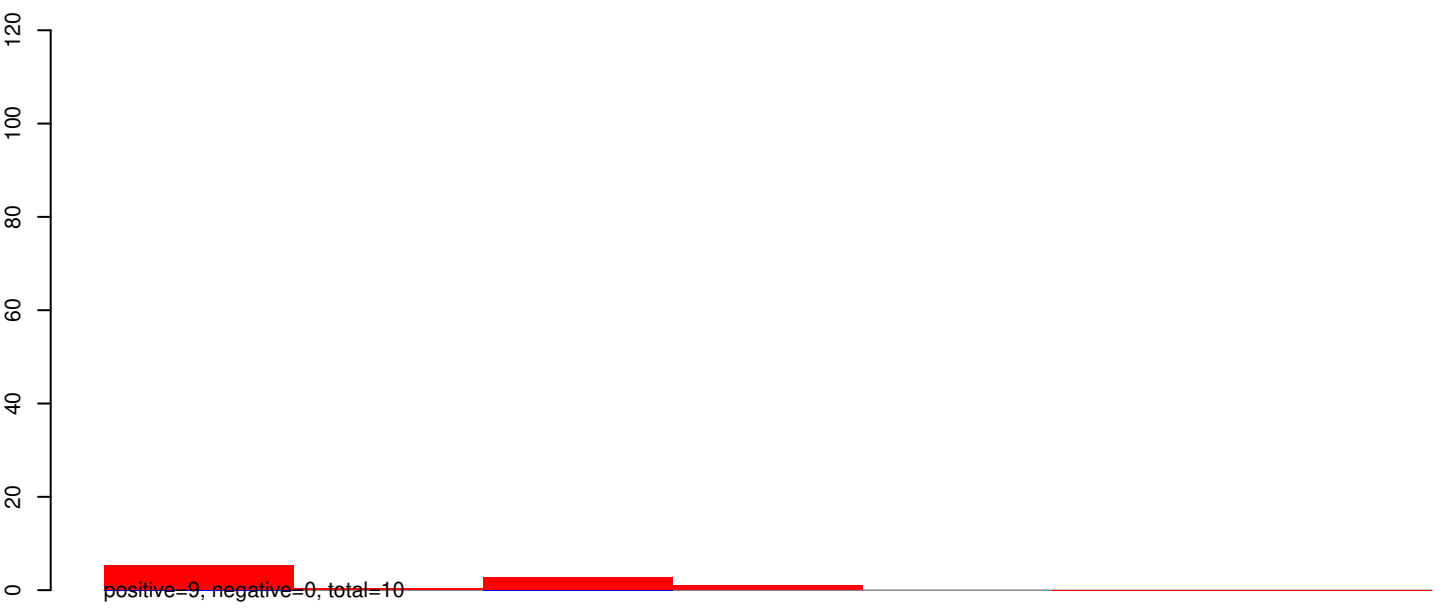
150

200

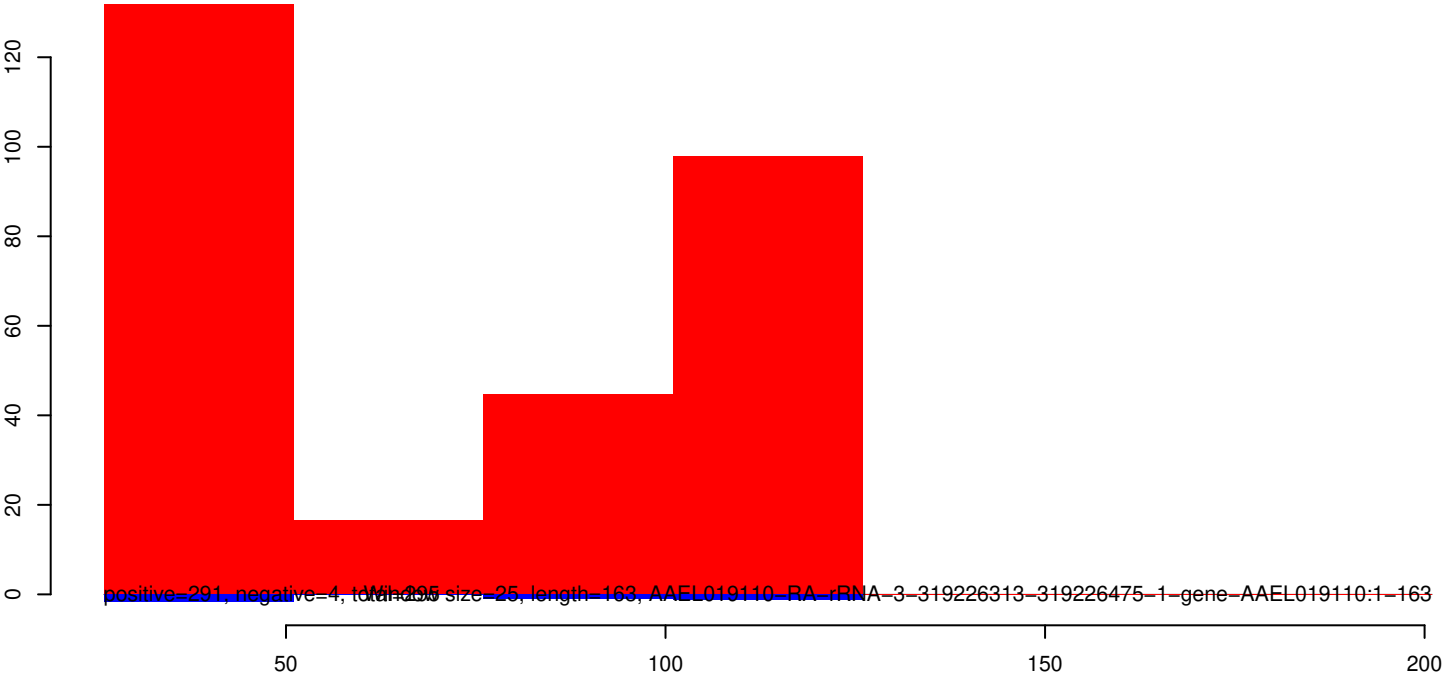
AeAeg_Whole_ZIKVdr_In_RNA_GP.18_23.rep



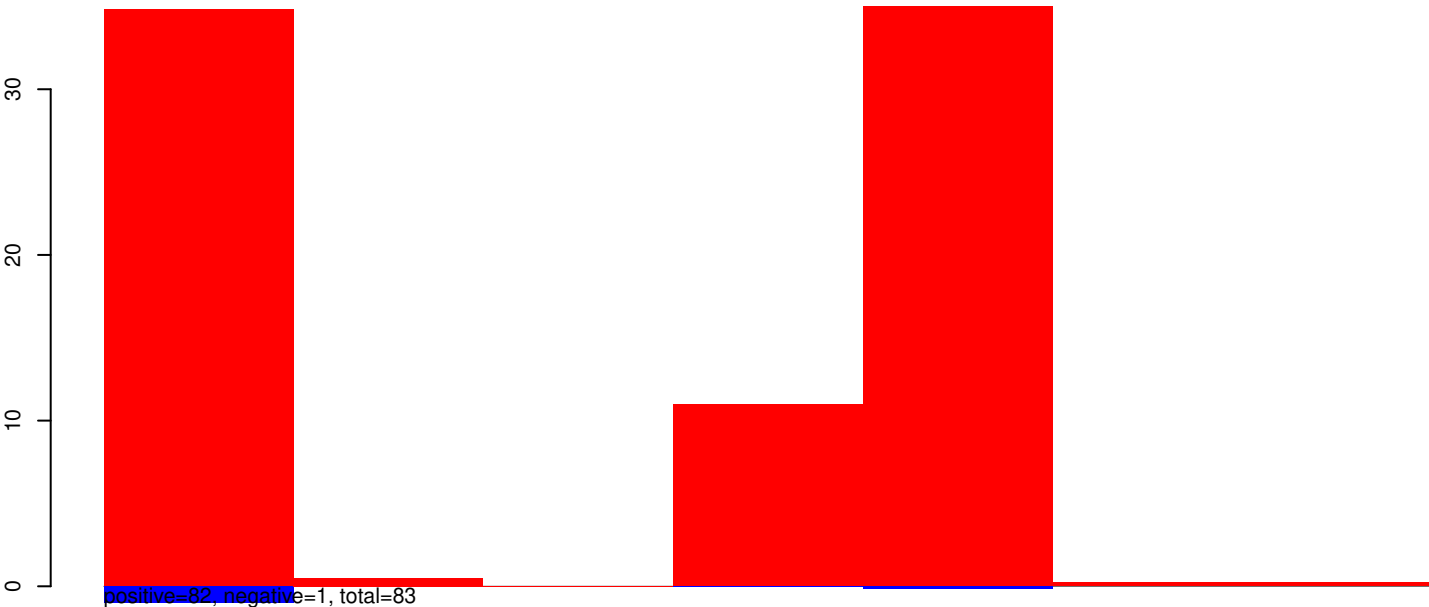
AeAeg_Whole_ZIKVdr_In_RNA_GP.24_35.rep



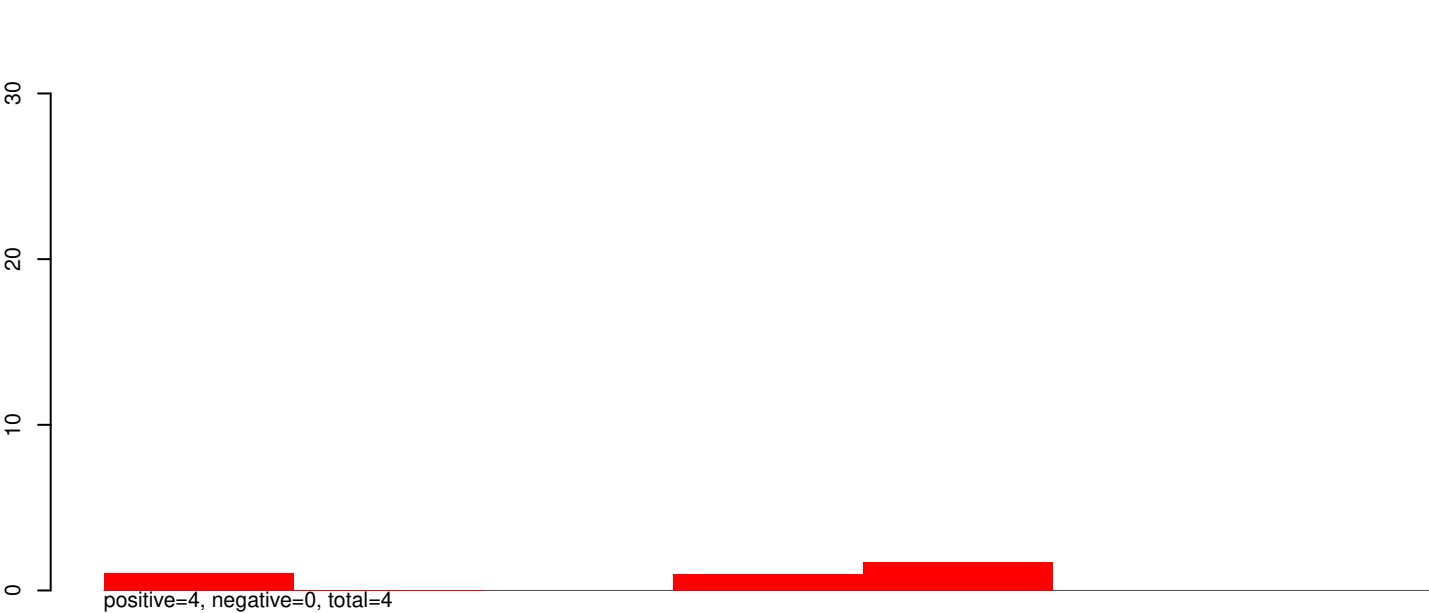
AeAeg_Whole_ZIKVdr_In_RNA_GP.rep



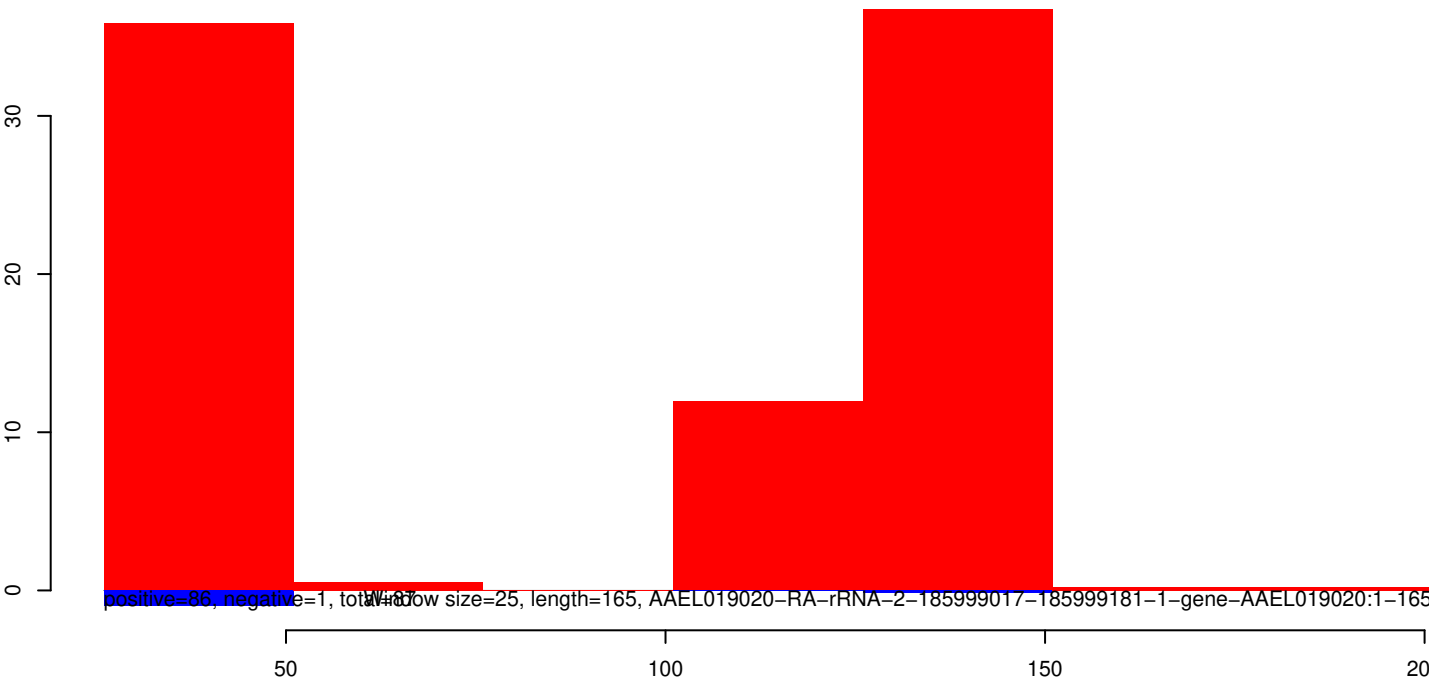
AeAeg_Whole_ZIKVdr_In_RNA_GP.18_23.rep



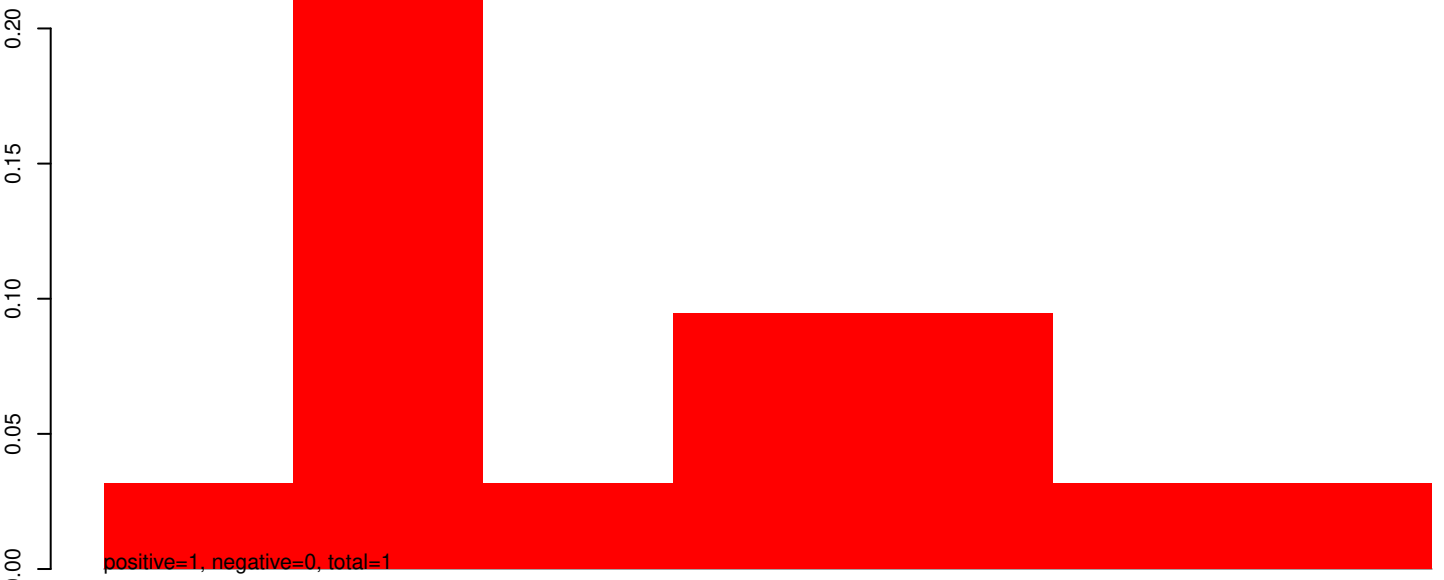
AeAeg_Whole_ZIKVdr_In_RNA_GP.24_35.rep



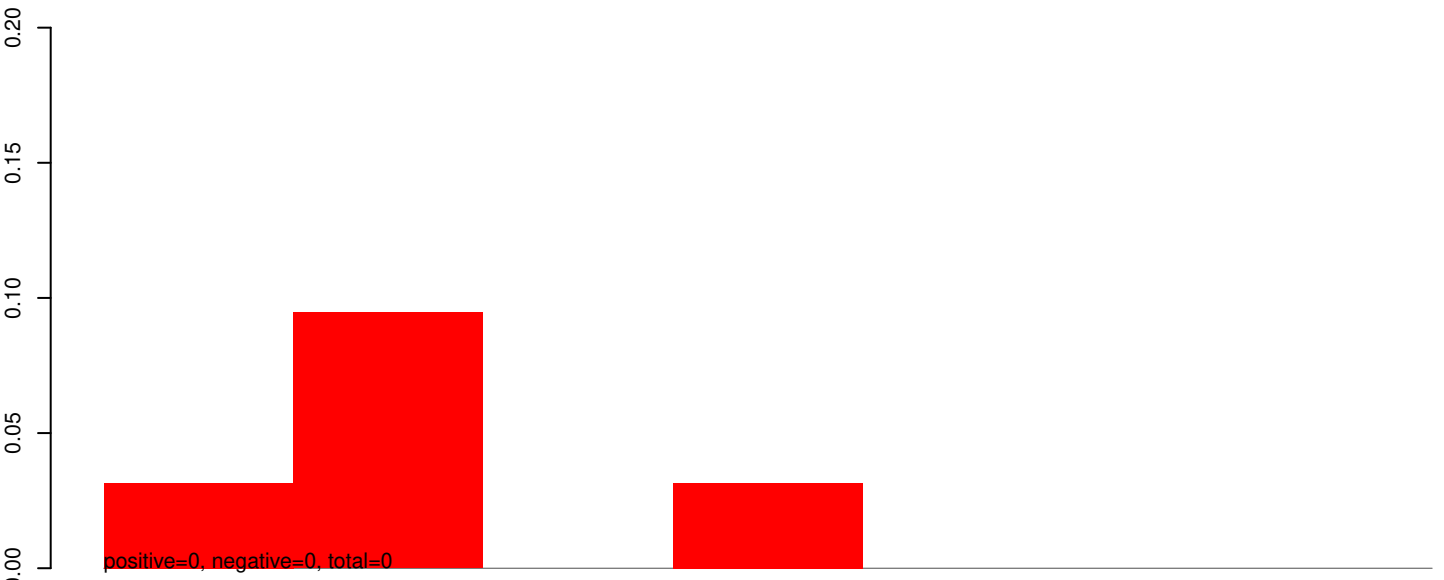
AeAeg_Whole_ZIKVdr_In_RNA_GP.rep



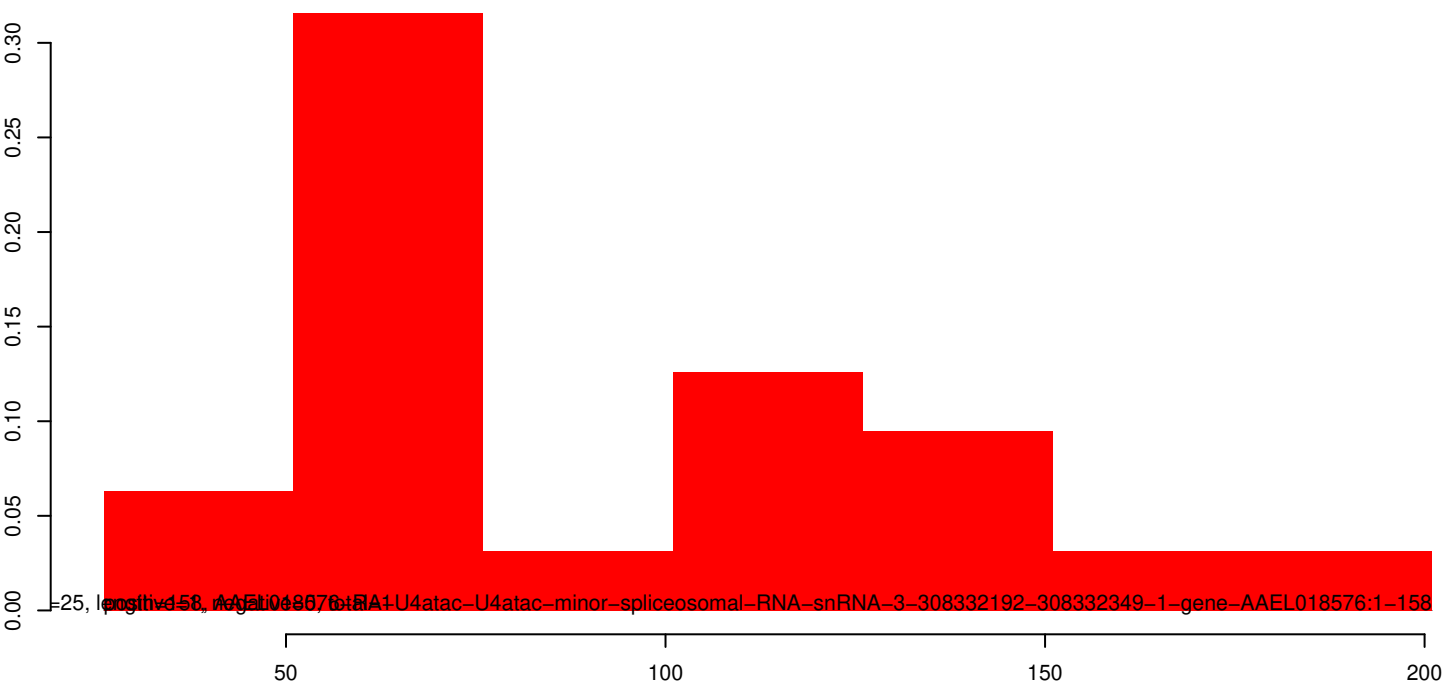
AeAeg_Whole_ZIKVdr_In_RNA_GP.18_23.rep



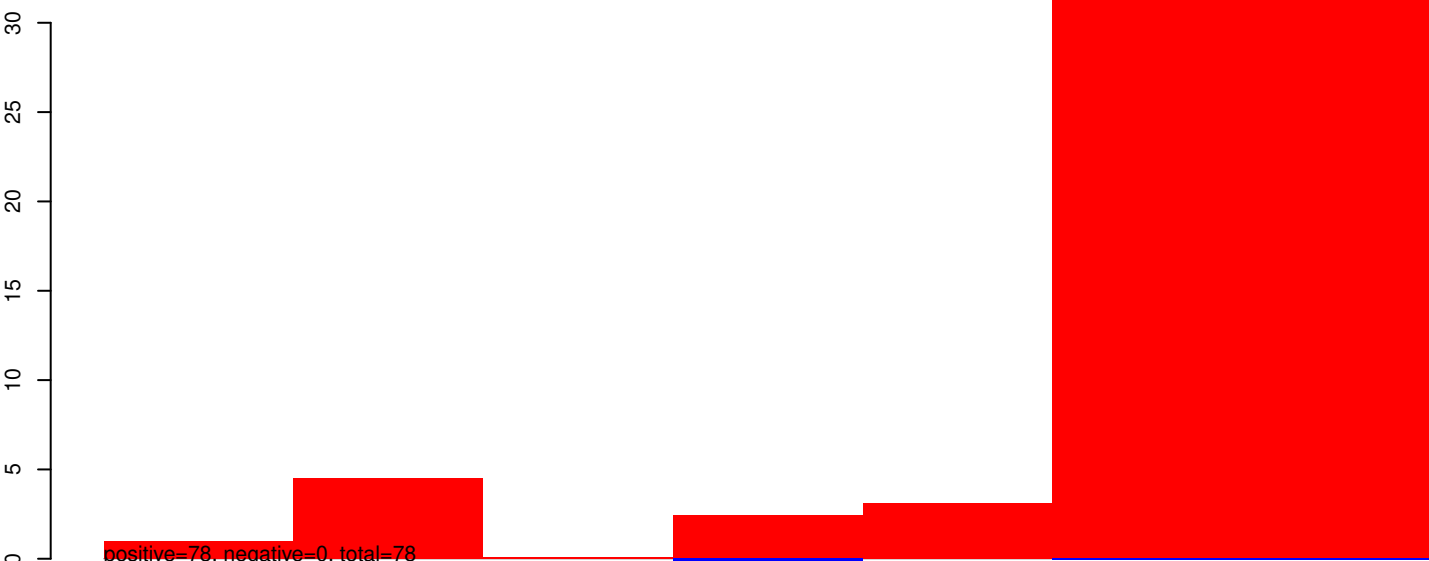
AeAeg_Whole_ZIKVdr_In_RNA_GP.24_35.rep



AeAeg_Whole_ZIKVdr_In_RNA_GP.rep



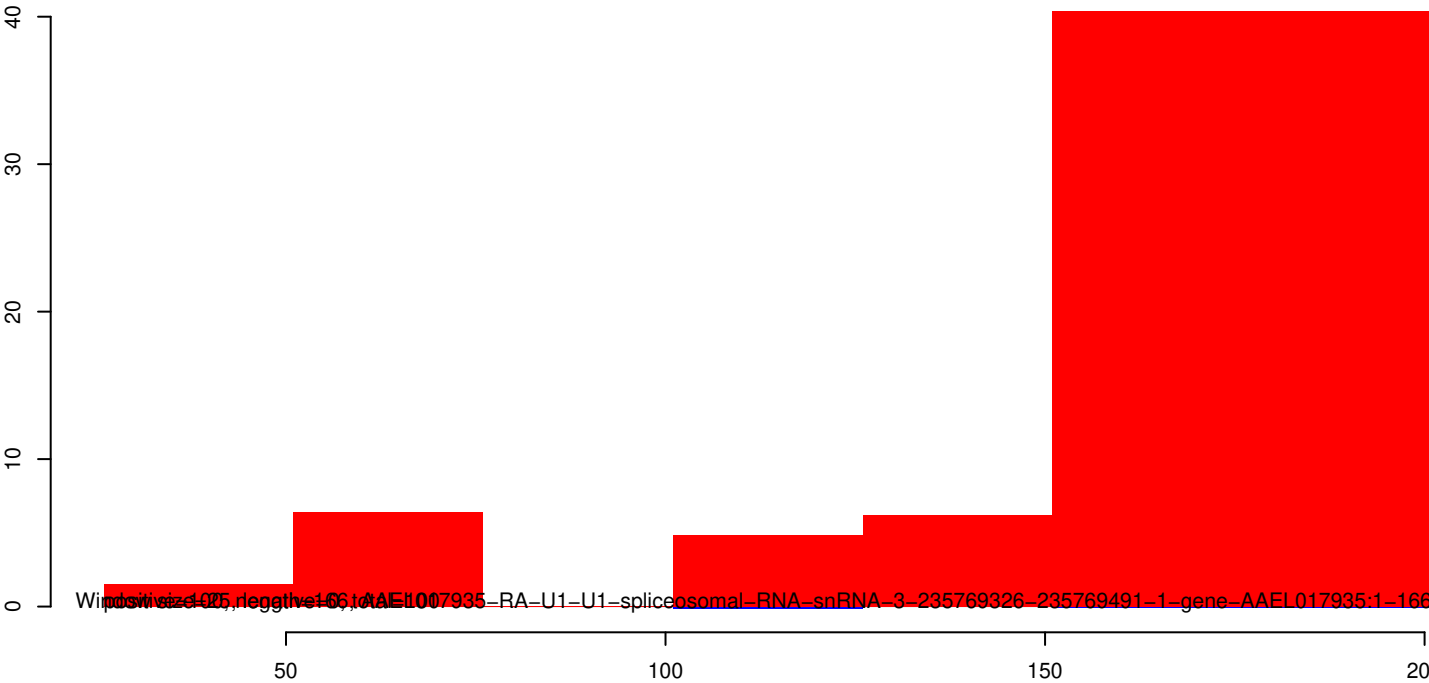
AeAeg_Whole_ZIKVdr_In_RNA_GP.18_23.rep



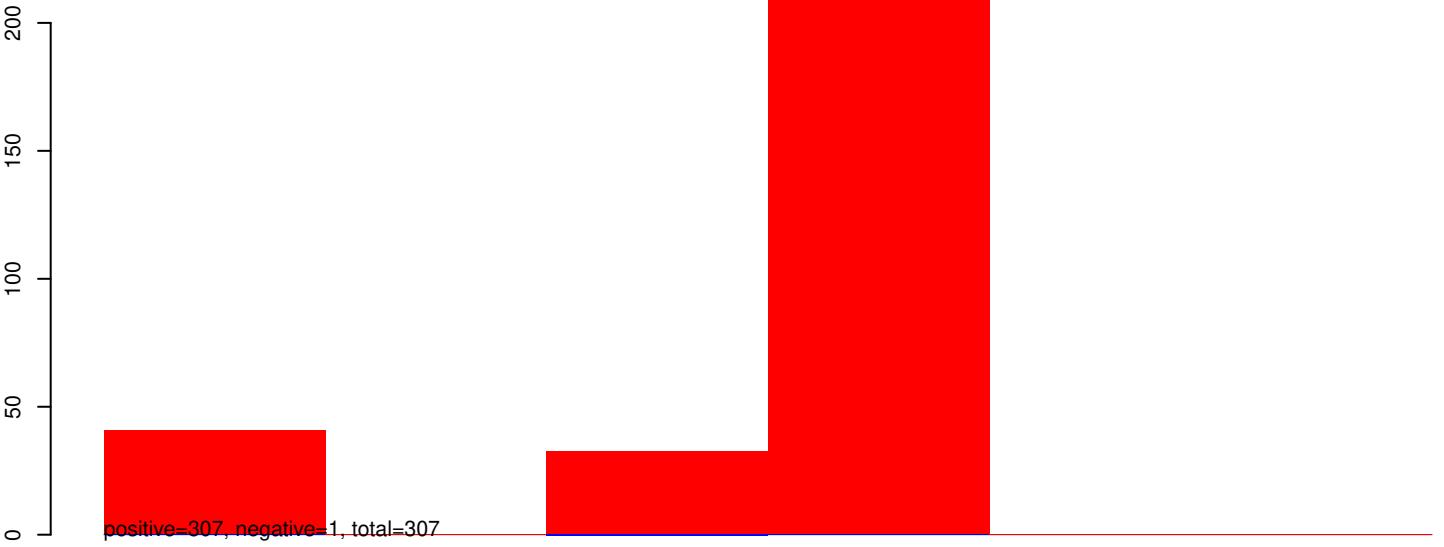
AeAeg_Whole_ZIKVdr_In_RNA_GP.24_35.rep



AeAeg_Whole_ZIKVdr_In_RNA_GP.rep



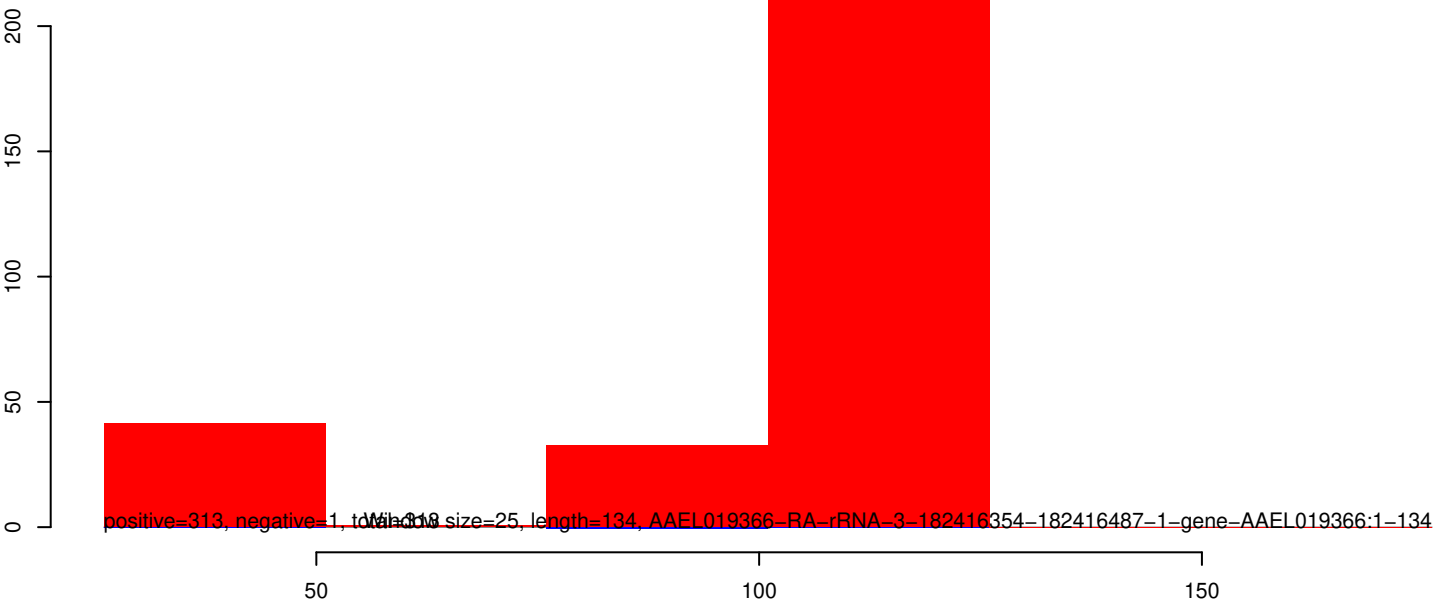
AeAeg_Whole_ZIKVdr_In_RNA_GP.18_23.rep



AeAeg_Whole_ZIKVdr_In_RNA_GP.24_35.rep



AeAeg_Whole_ZIKVdr_In_RNA_GP.rep



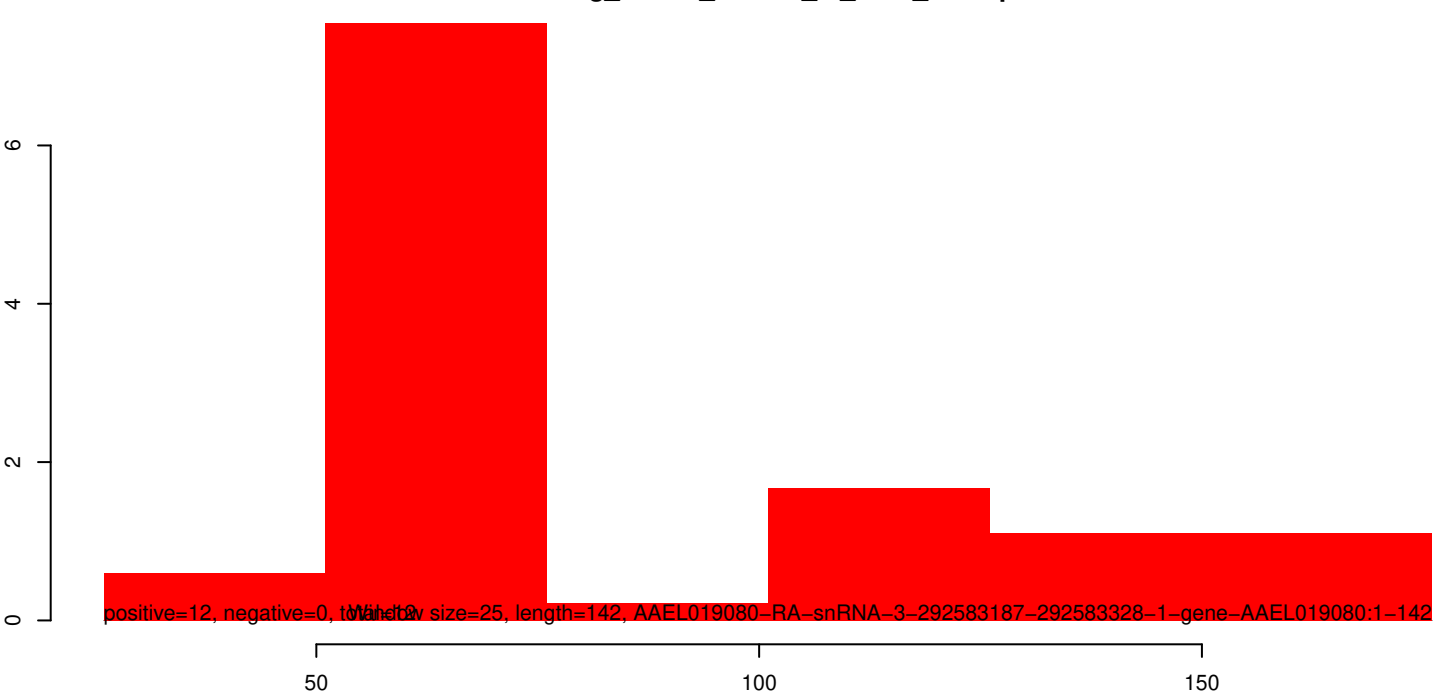
AeAeg_Whole_ZIKVdr_In_RNA_GP.18_23.rep



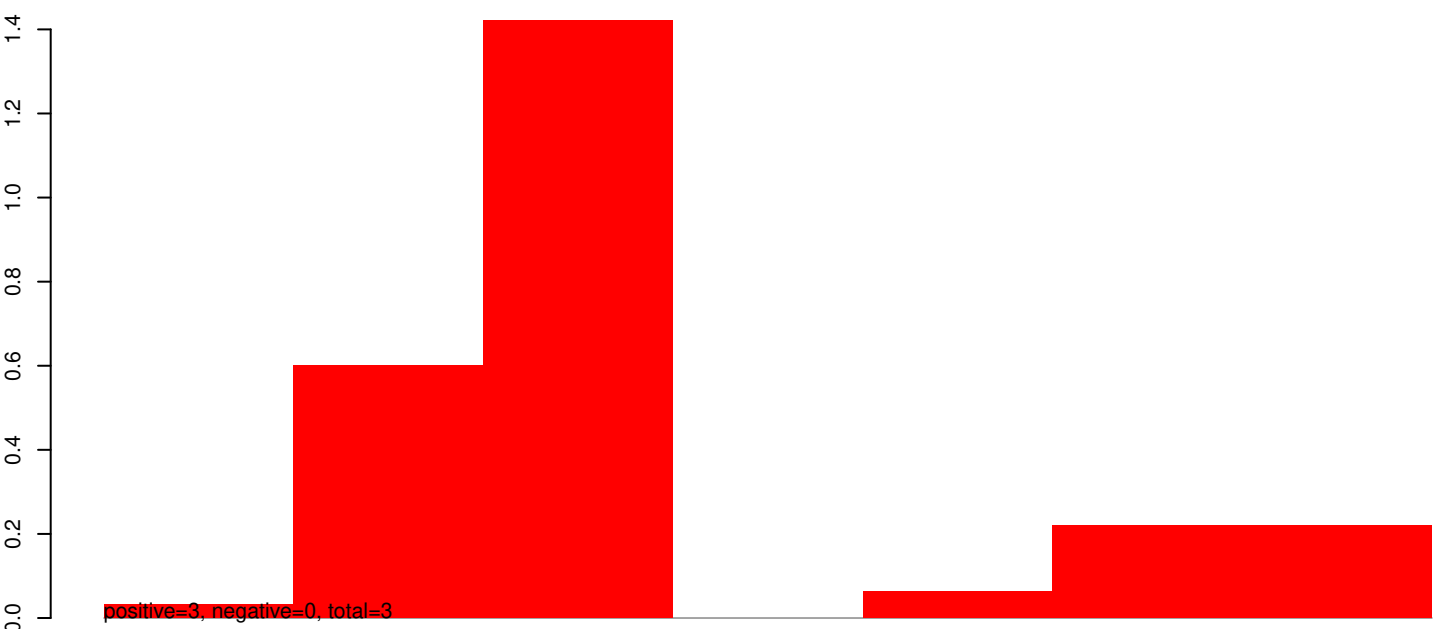
AeAeg_Whole_ZIKVdr_In_RNA_GP.24_35.rep



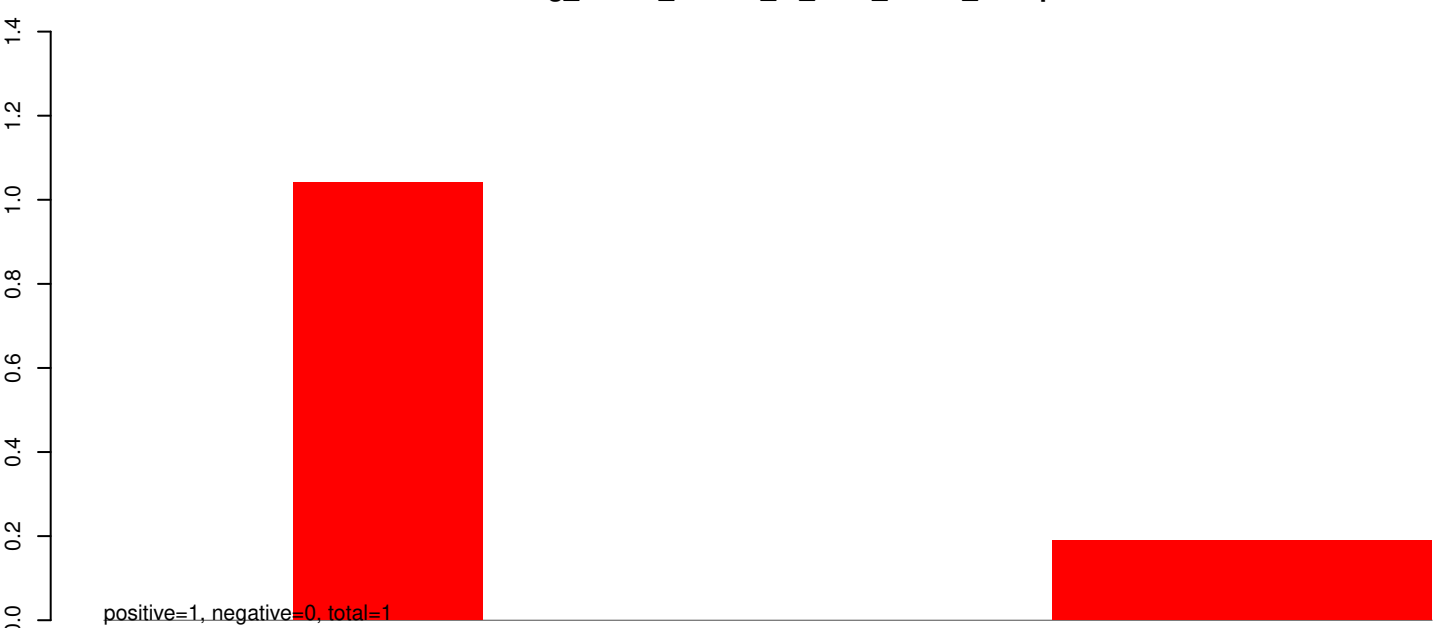
AeAeg_Whole_ZIKVdr_In_RNA_GP.rep



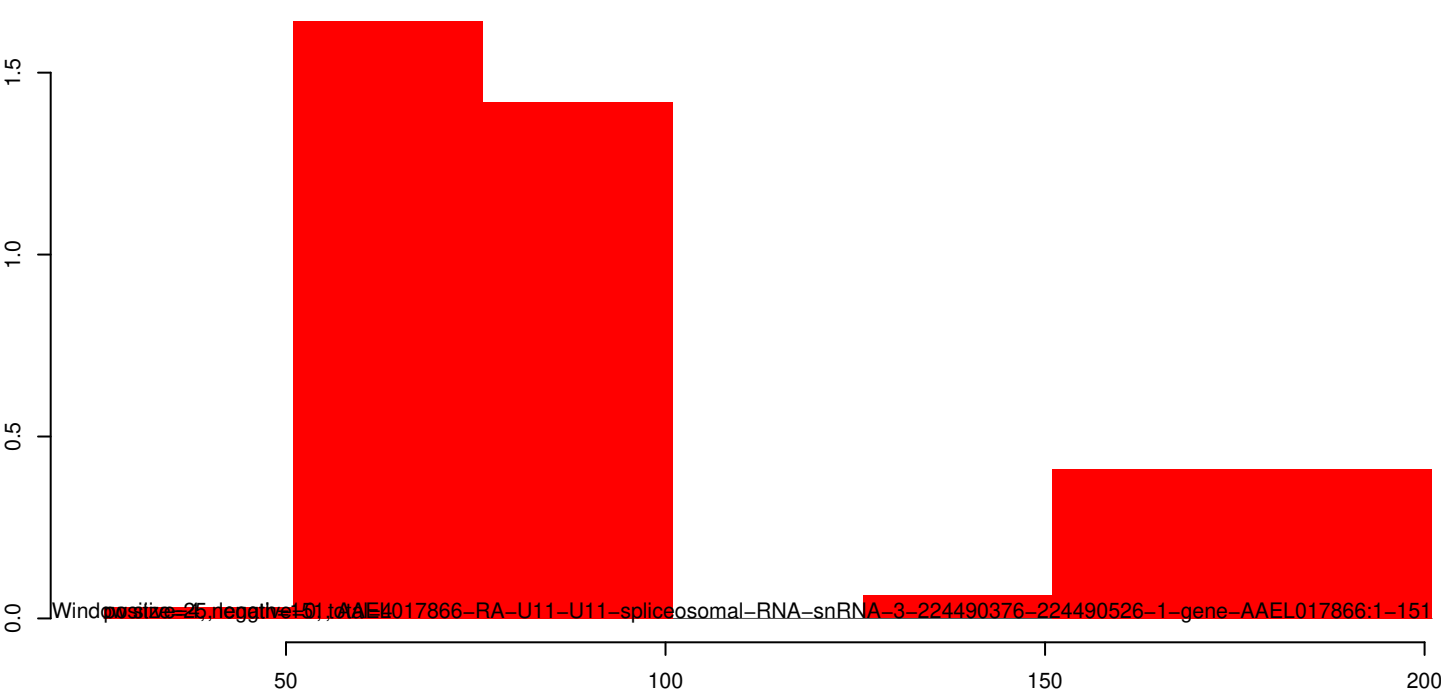
AeAeg_Whole_ZIKVdr_In_RNA_GP.18_23.rep



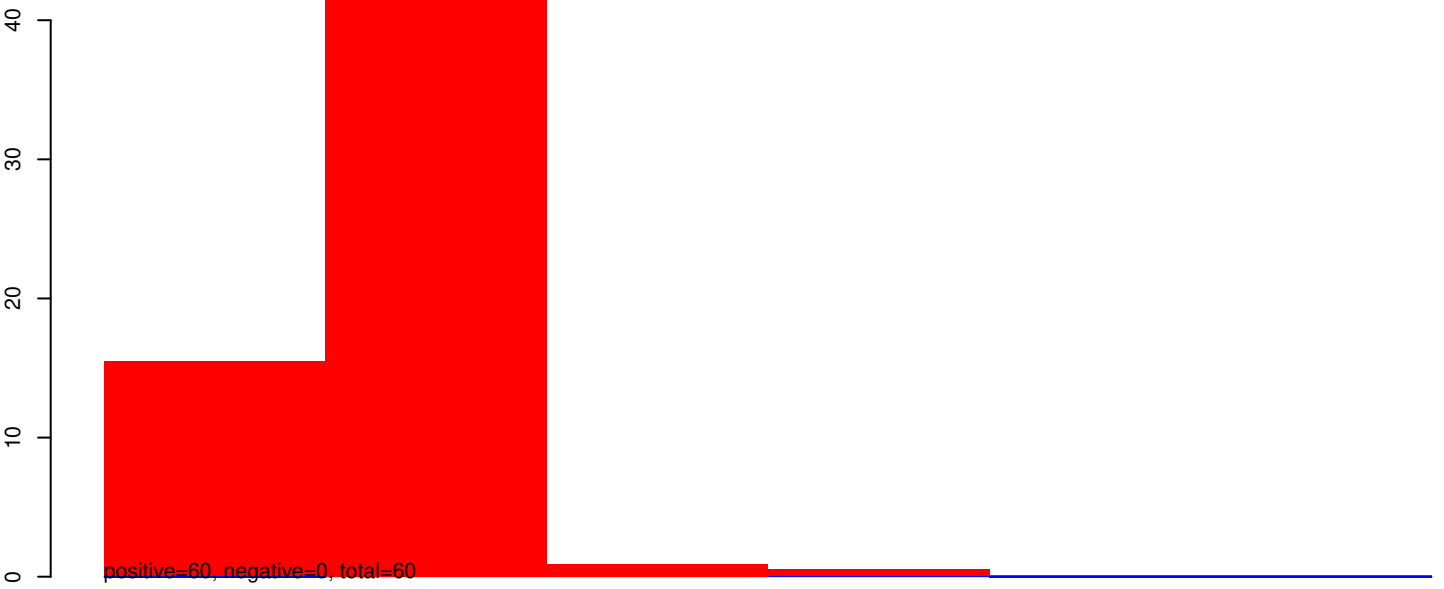
AeAeg_Whole_ZIKVdr_In_RNA_GP.24_35.rep



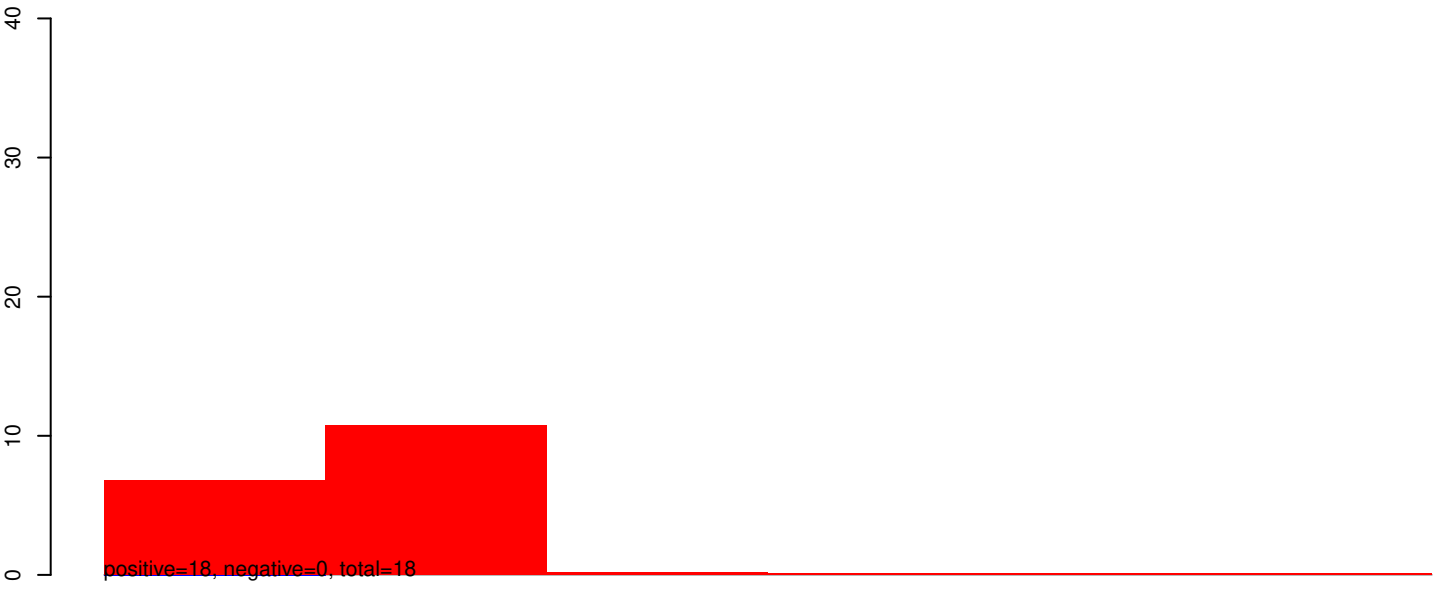
AeAeg_Whole_ZIKVdr_In_RNA_GP.rep



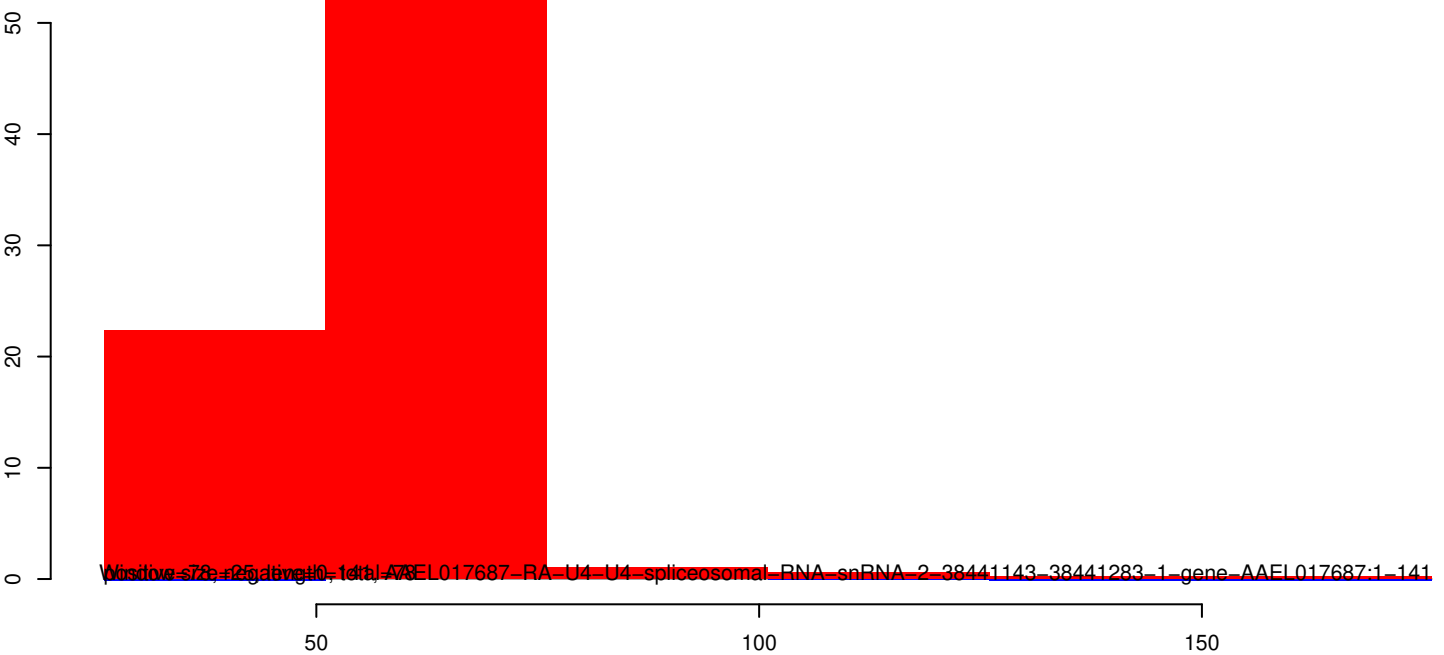
AeAeg_Whole_ZIKVdr_In_RNA_GP.18_23.rep



AeAeg_Whole_ZIKVdr_In_RNA_GP.24_35.rep



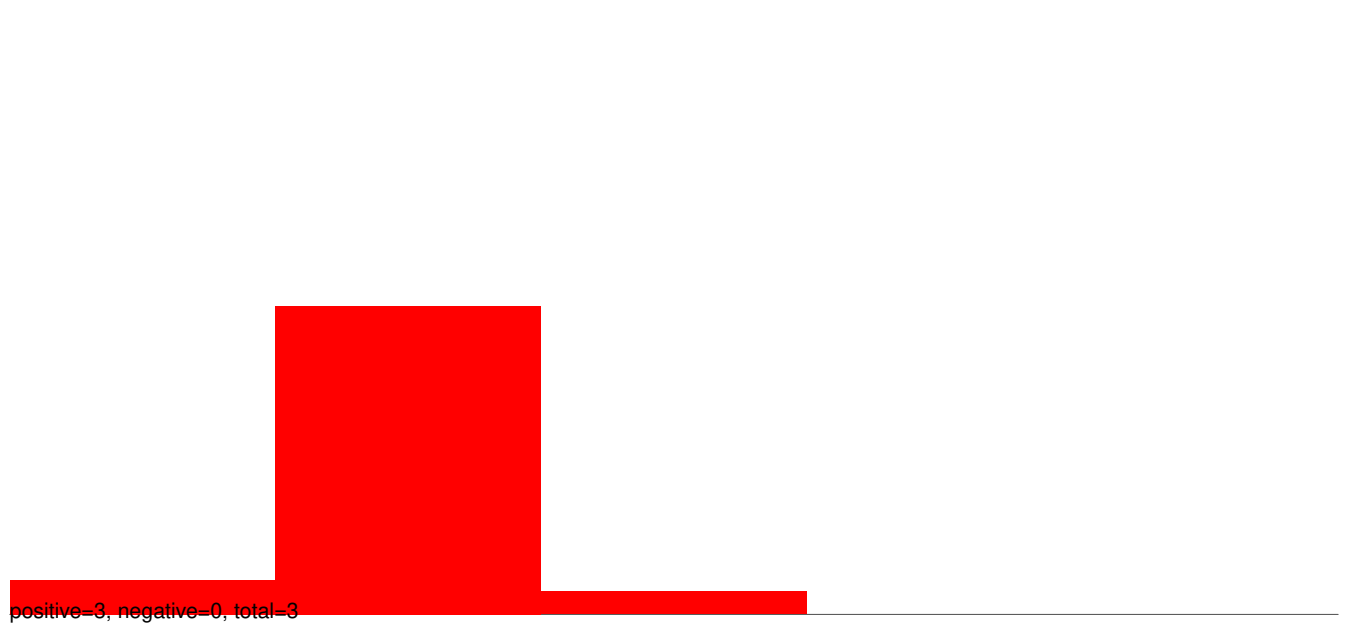
AeAeg_Whole_ZIKVdr_In_RNA_GP.rep



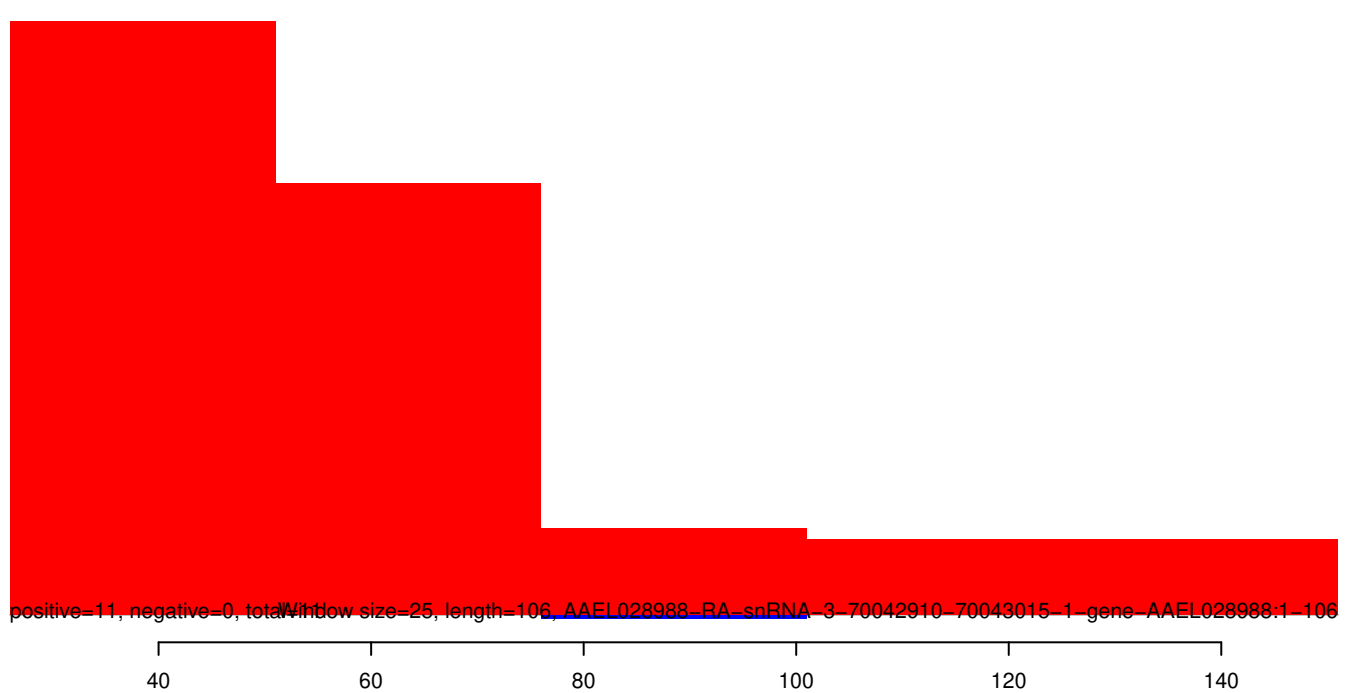
AeAeg_Whole_ZIKVdr_In_RNA_GP.18_23.rep



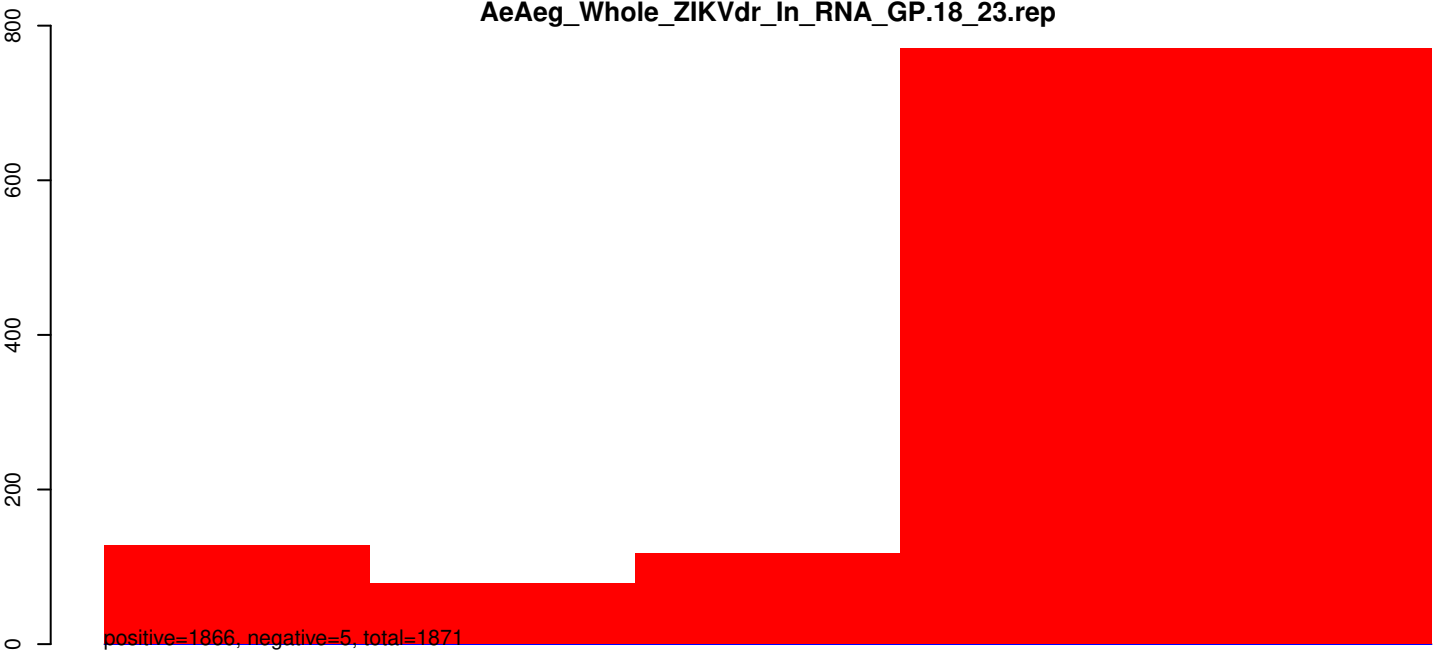
AeAeg_Whole_ZIKVdr_In_RNA_GP.24_35.rep



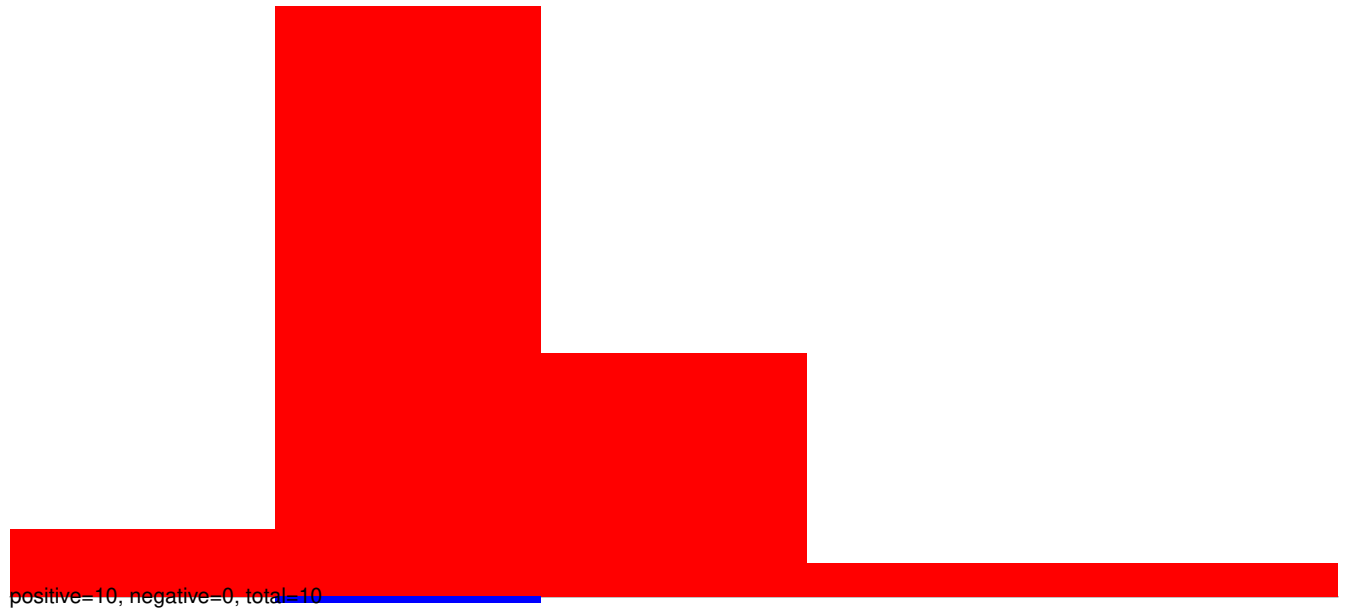
AeAeg_Whole_ZIKVdr_In_RNA_GP.rep



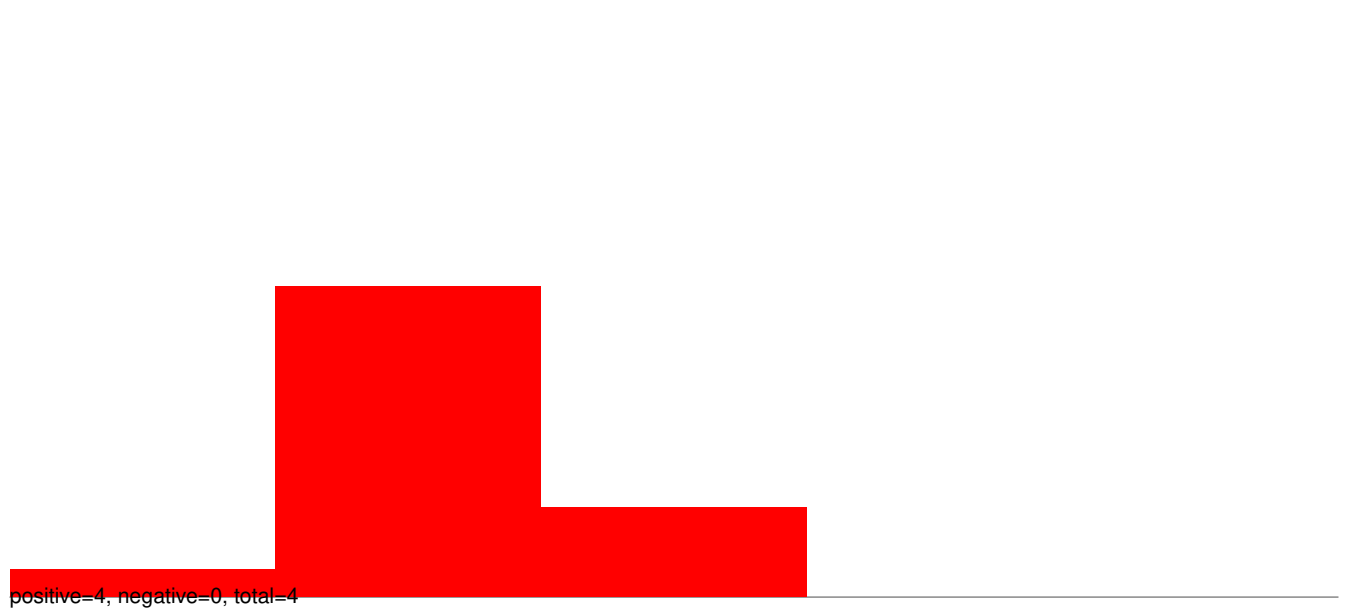
AeAeg_Whole_ZIKVdr_In_RNA_GP.18_23.rep



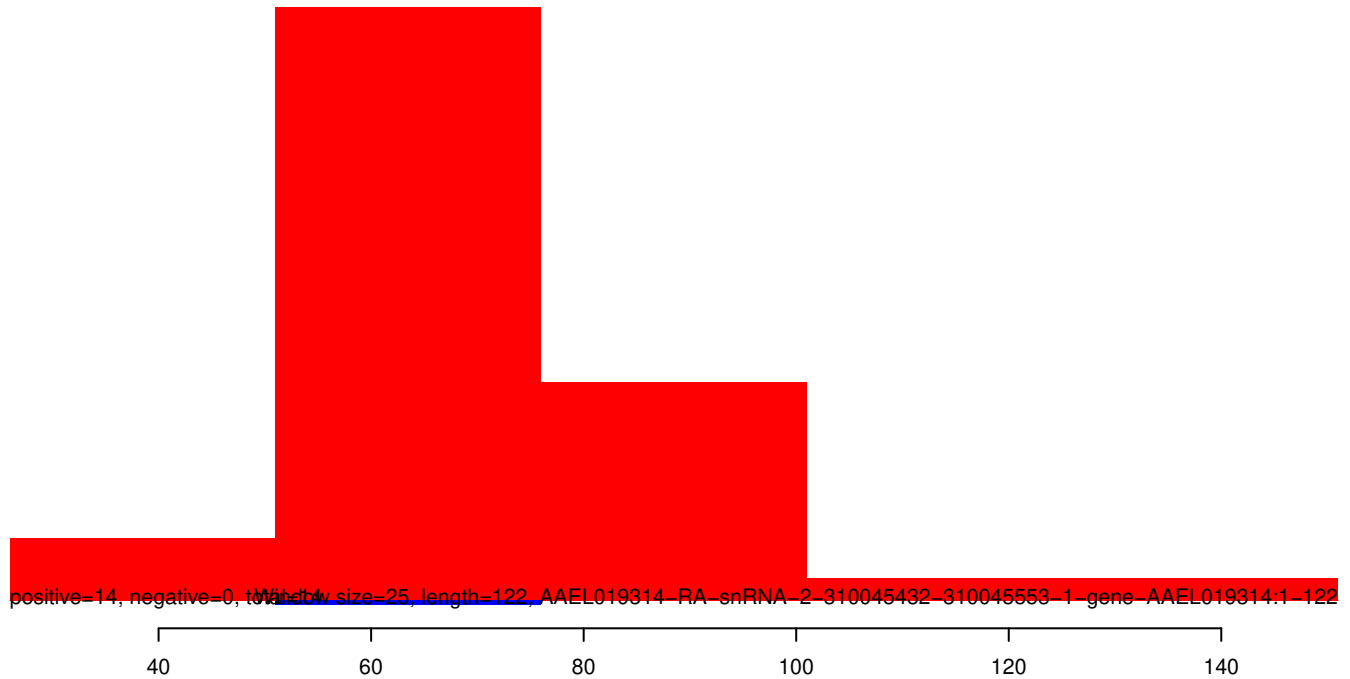
AeAeg_Whole_ZIKVdr_In_RNA_GP.18_23.rep



AeAeg_Whole_ZIKVdr_In_RNA_GP.24_35.rep



AeAeg_Whole_ZIKVdr_In_RNA_GP.rep



AeAeg_Whole_ZIKVdr_In_RNA_GP.18_23.rep



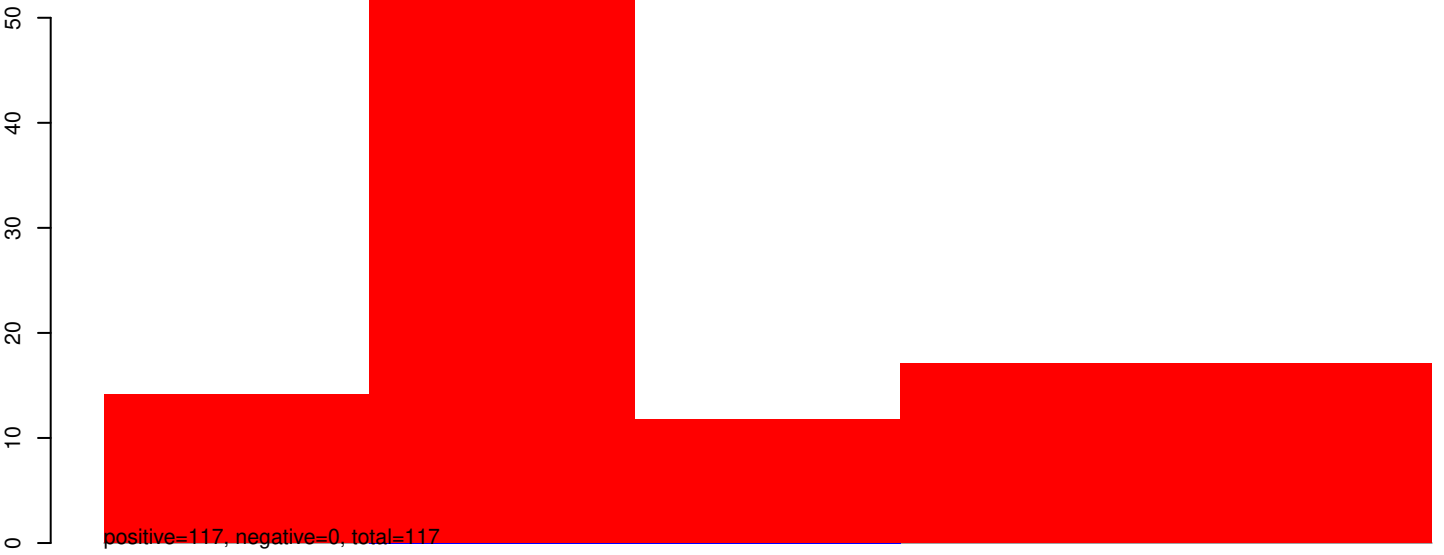
AeAeg_Whole_ZIKVdr_In_RNA_GP.24_35.rep



AeAeg_Whole_ZIKVdr_In_RNA_GP.rep



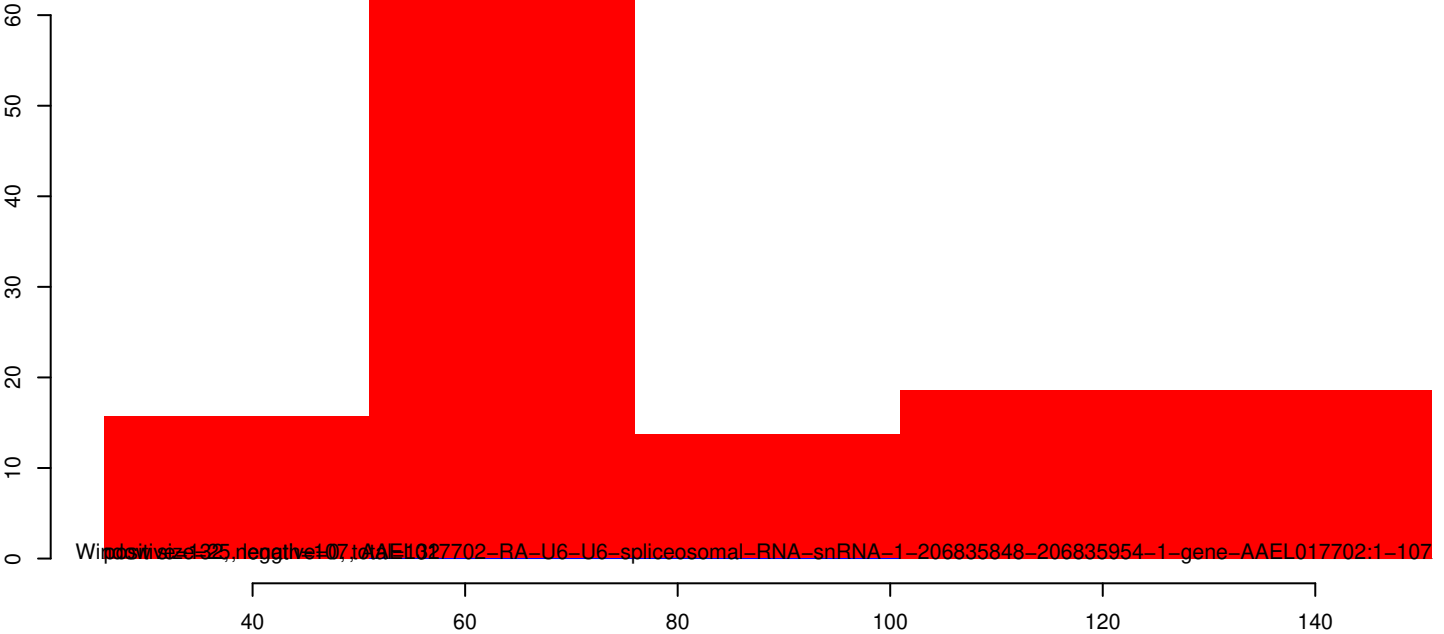
AeAeg_Whole_ZIKVdr_In_RNA_GP.18_23.rep



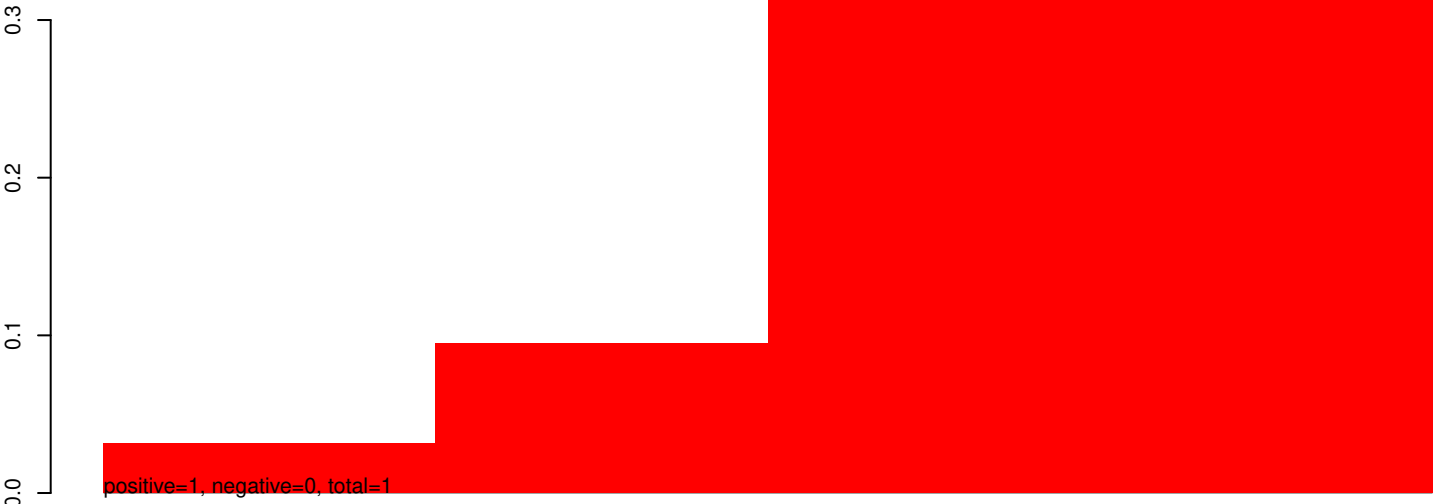
AeAeg_Whole_ZIKVdr_In_RNA_GP.24_35.rep



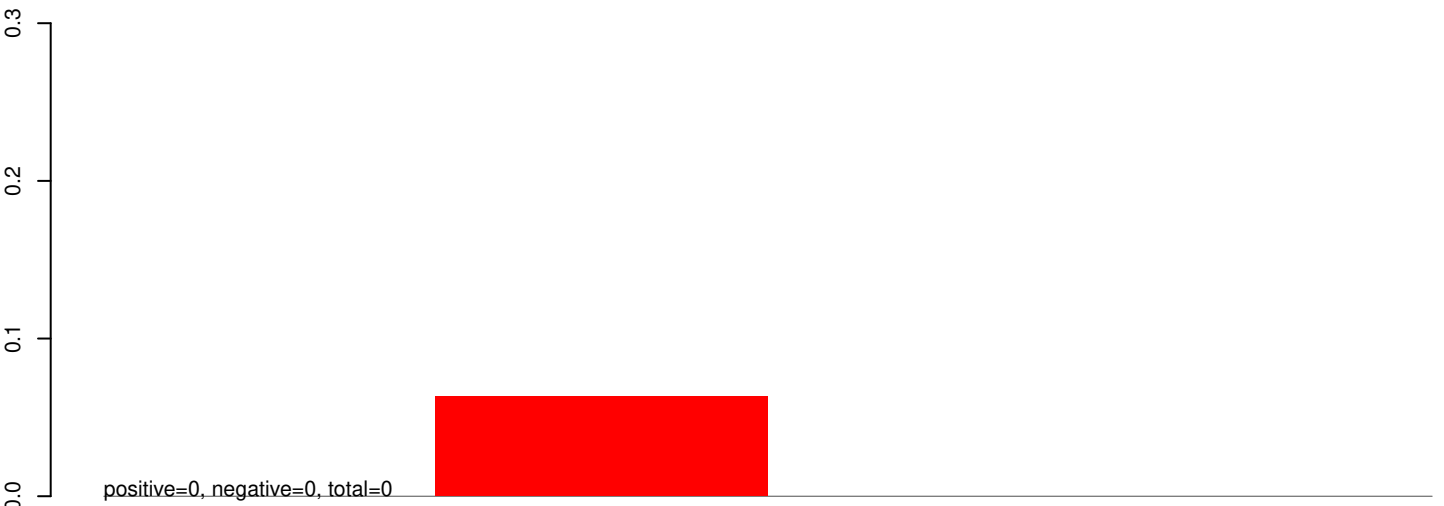
AeAeg_Whole_ZIKVdr_In_RNA_GP.rep



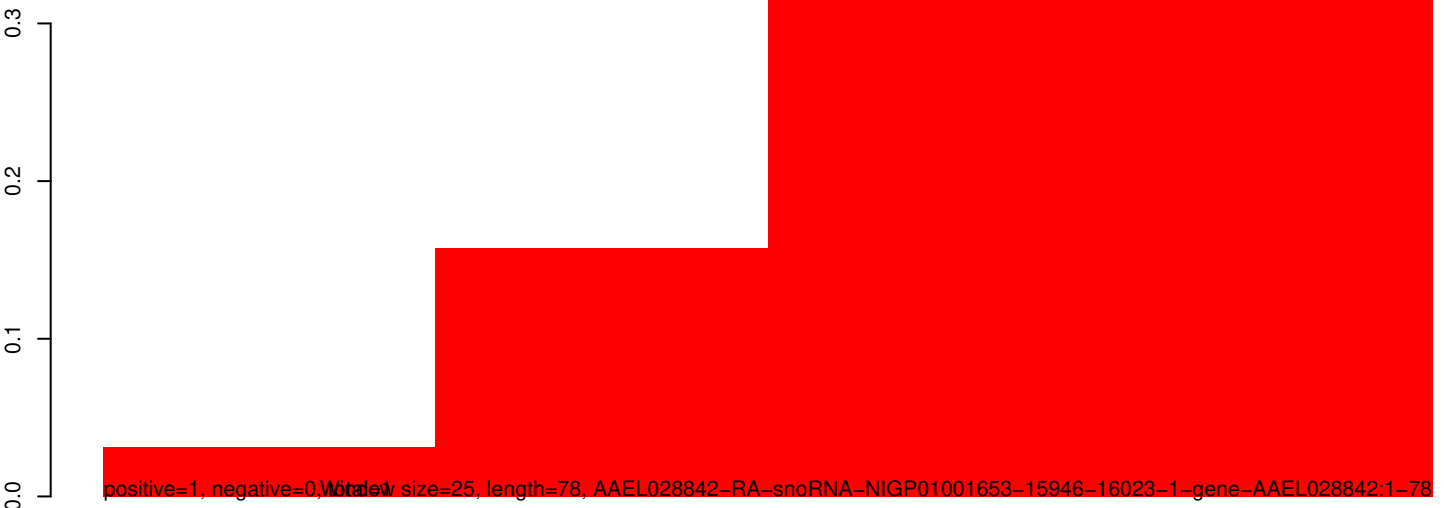
AeAeg_Whole_ZIKVdr_In_RNA_GP.18_23.rep



AeAeg_Whole_ZIKVdr_In_RNA_GP.24_35.rep



AeAeg_Whole_ZIKVdr_In_RNA_GP.rep



Window size=25, length=78, AAEL028842-RA-snoRNA-NIGP01001653-15946-16023-1-gene-AAEL028842:1-78

40

60

80

100

120

AeAeg_Whole_ZIKVdr_In_RNA_GP.18_23.rep

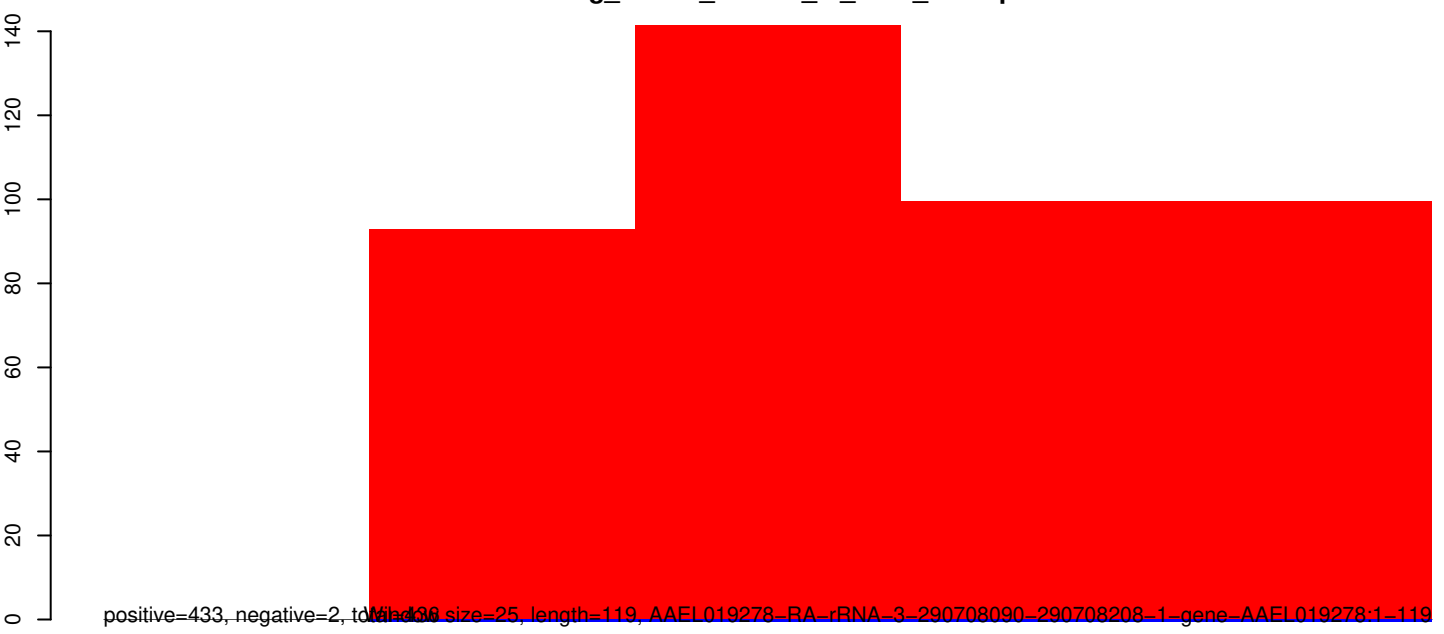
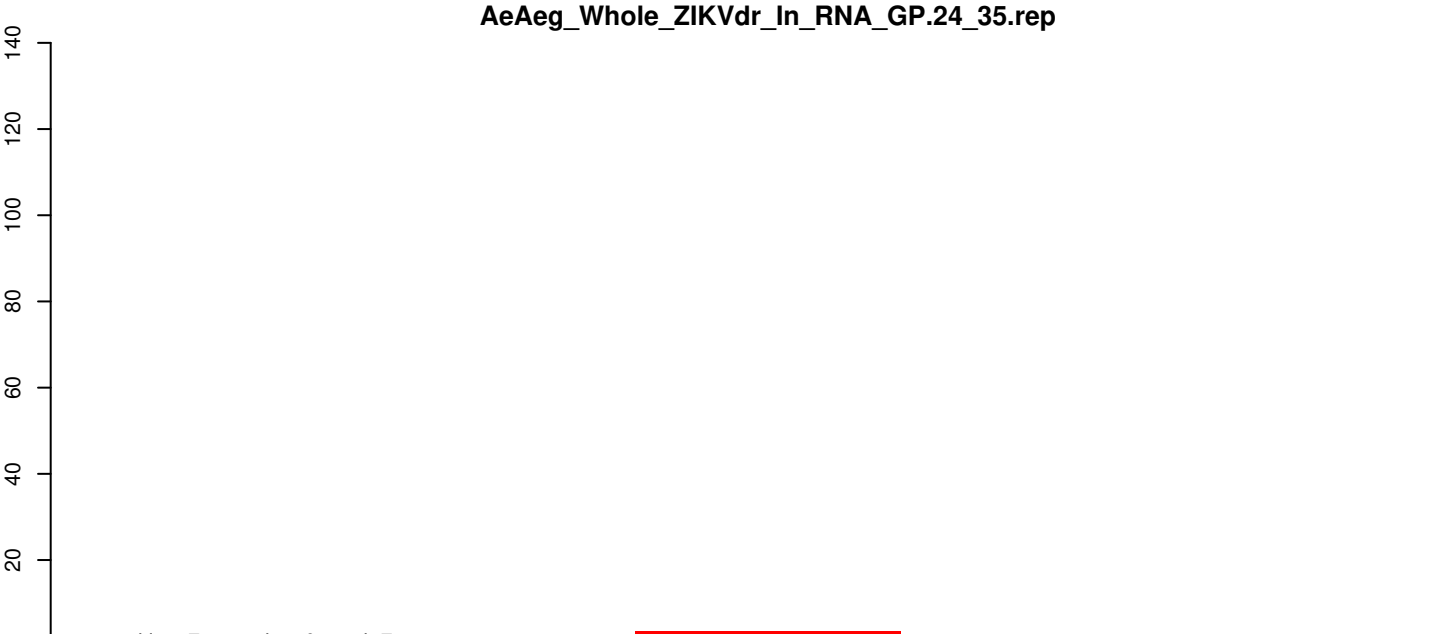
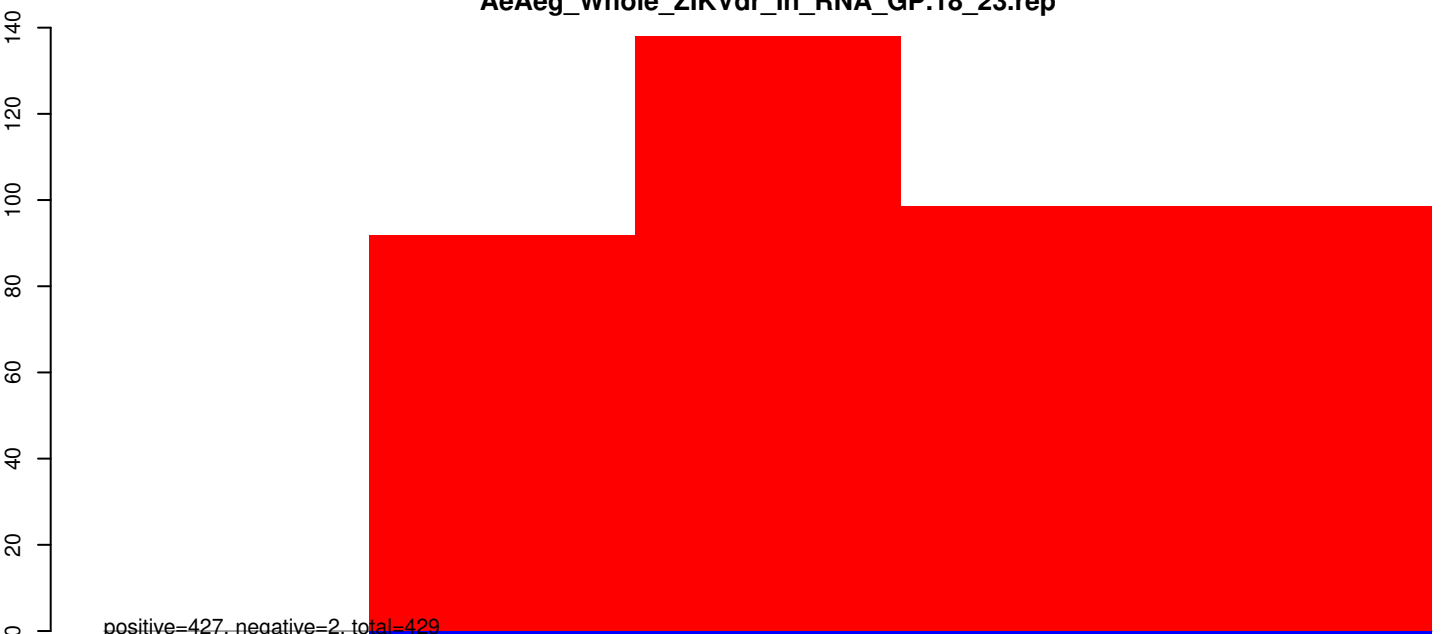
positive=427, negative=2, total=429

AeAeg_Whole_ZIKVdr_In_RNA_GP.24_35.rep

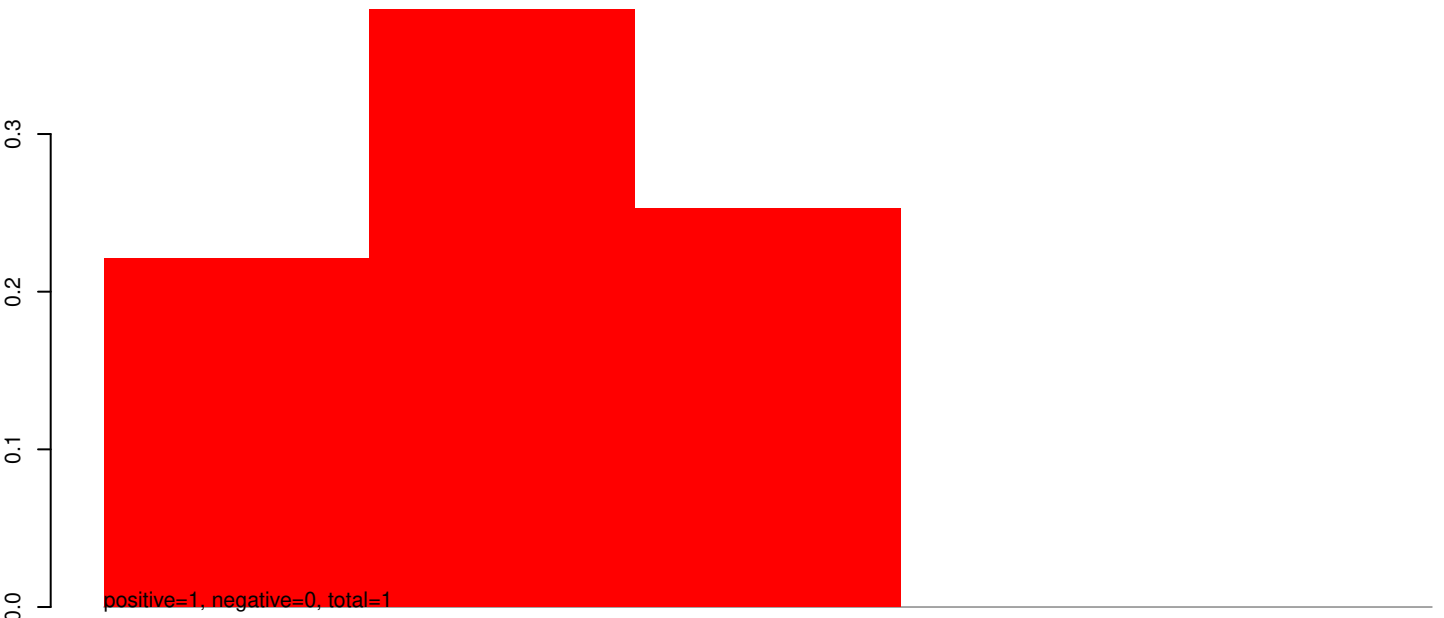
positive=7, negative=0, total=7

AeAeg_Whole_ZIKVdr_In_RNA_GP.rep

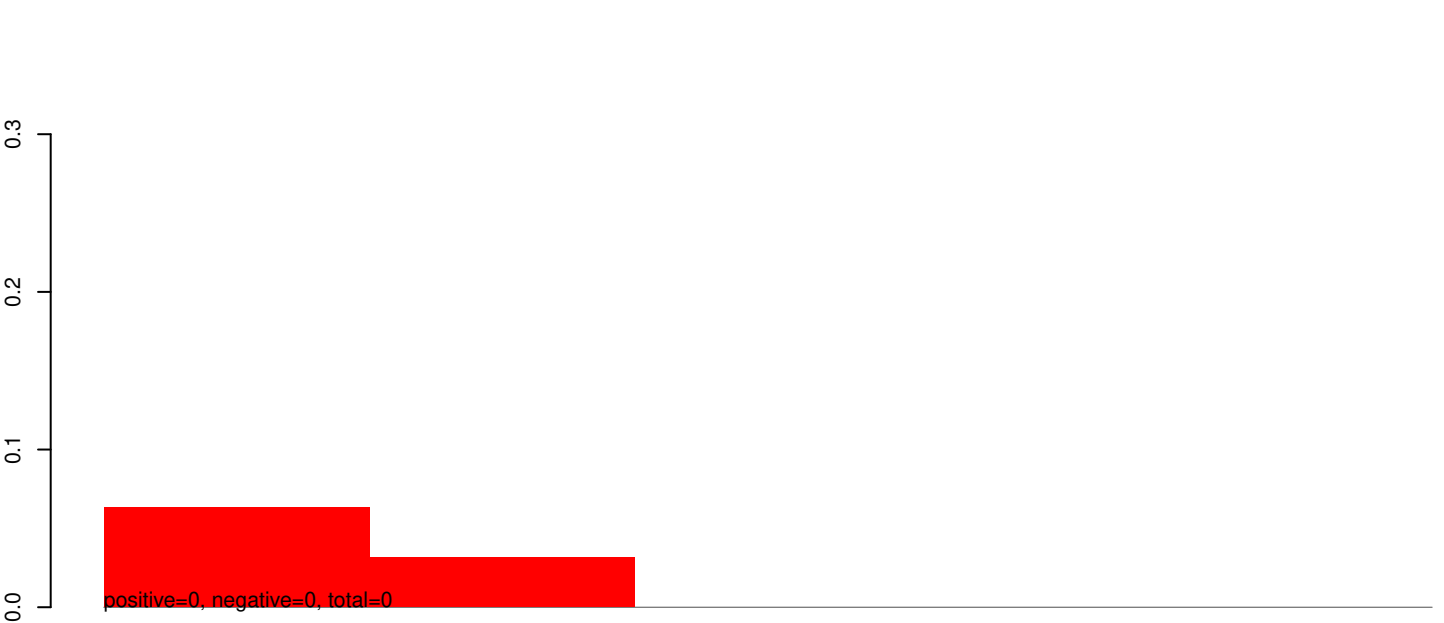
positive=433, negative=2, total=435
Window size=25, length=119, AAEL019278-RA-rRNA-3-290708090-290708208-1-gene-AAEL019278:1-119



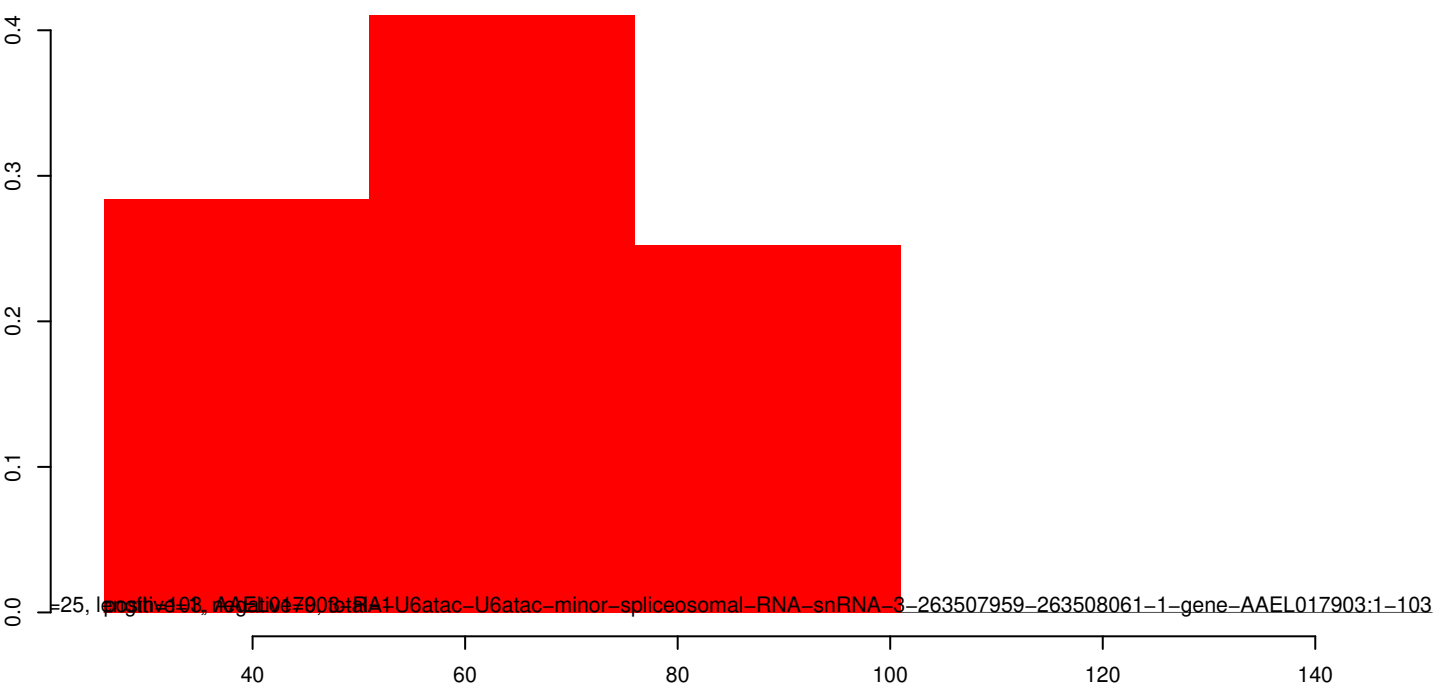
AeAeg_Whole_ZIKVdr_In_RNA_GP.18_23.rep



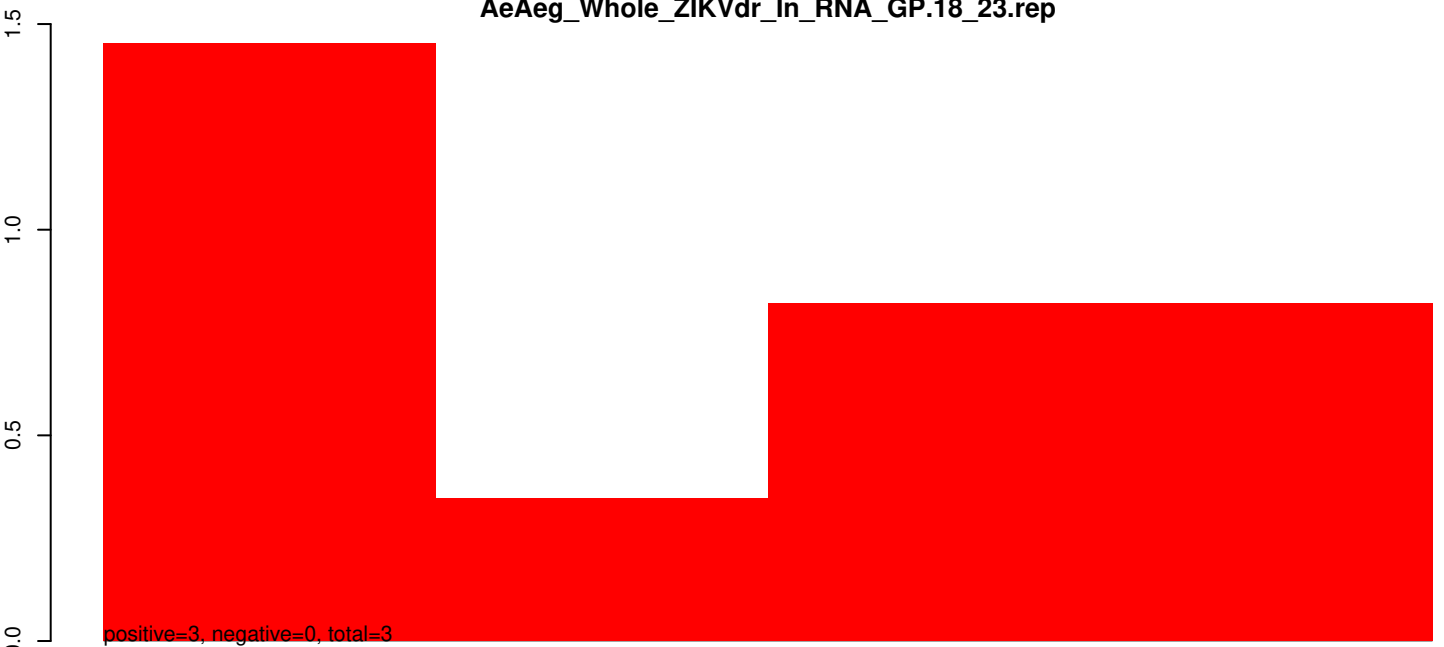
AeAeg_Whole_ZIKVdr_In_RNA_GP.24_35.rep



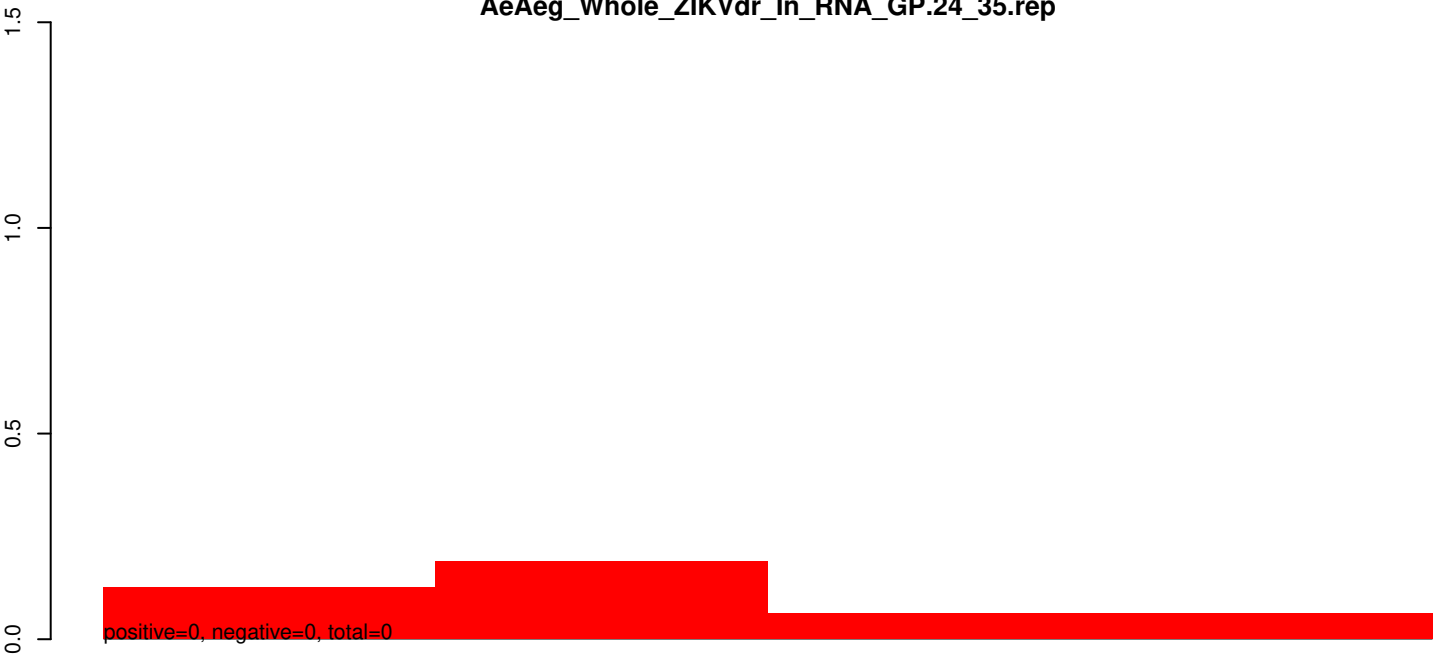
AeAeg_Whole_ZIKVdr_In_RNA_GP.rep



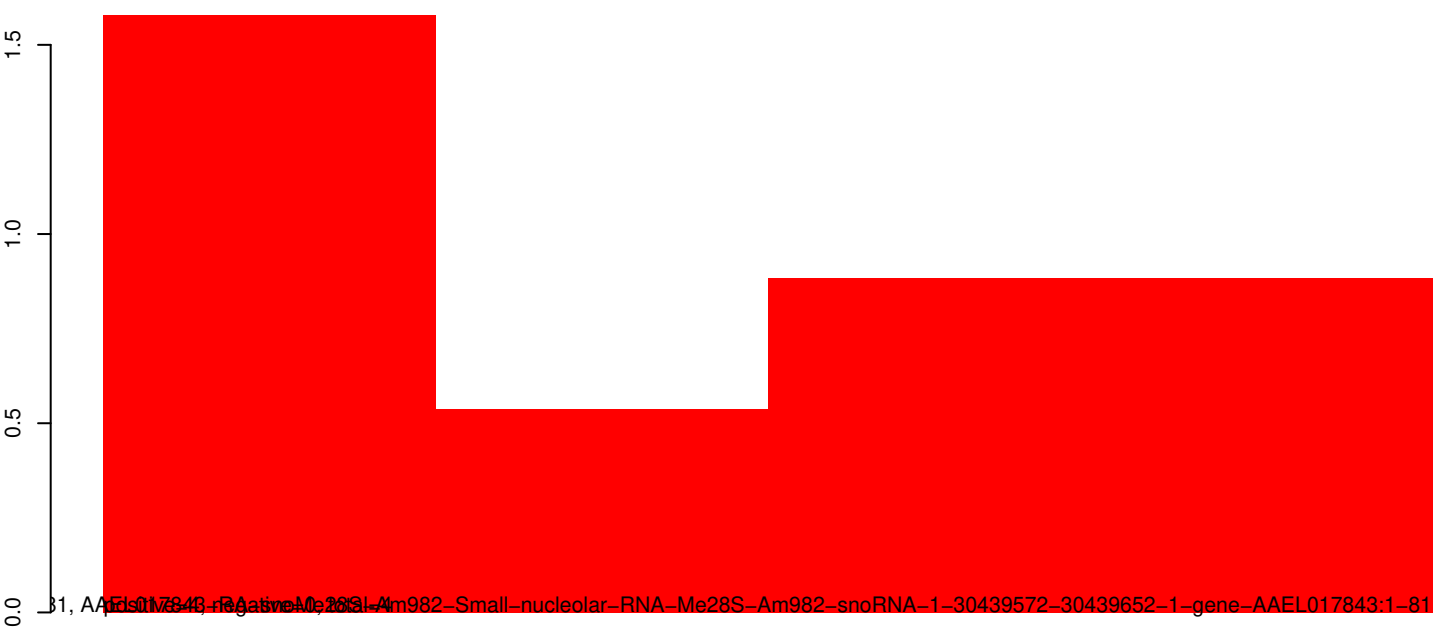
AeAeg_Whole_ZIKVdr_In_RNA_GP.18_23.rep



AeAeg_Whole_ZIKVdr_In_RNA_GP.24_35.rep

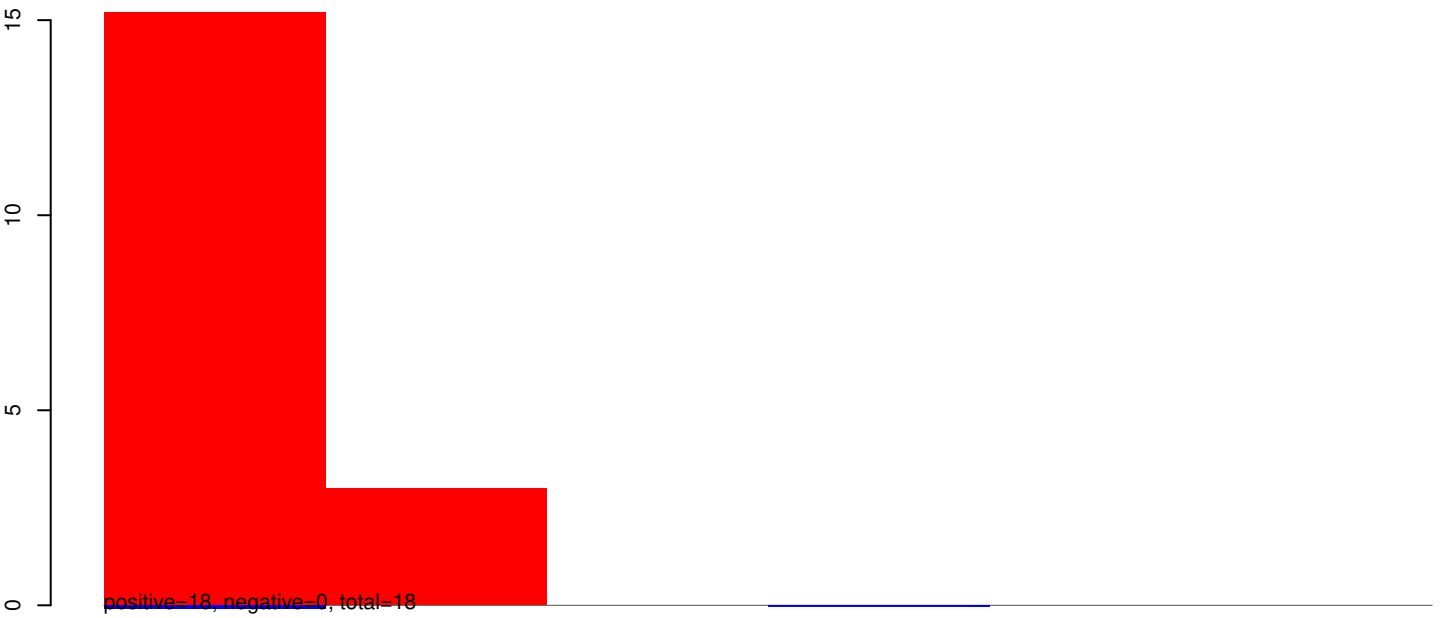


AeAeg_Whole_ZIKVdr_In_RNA_GP.rep

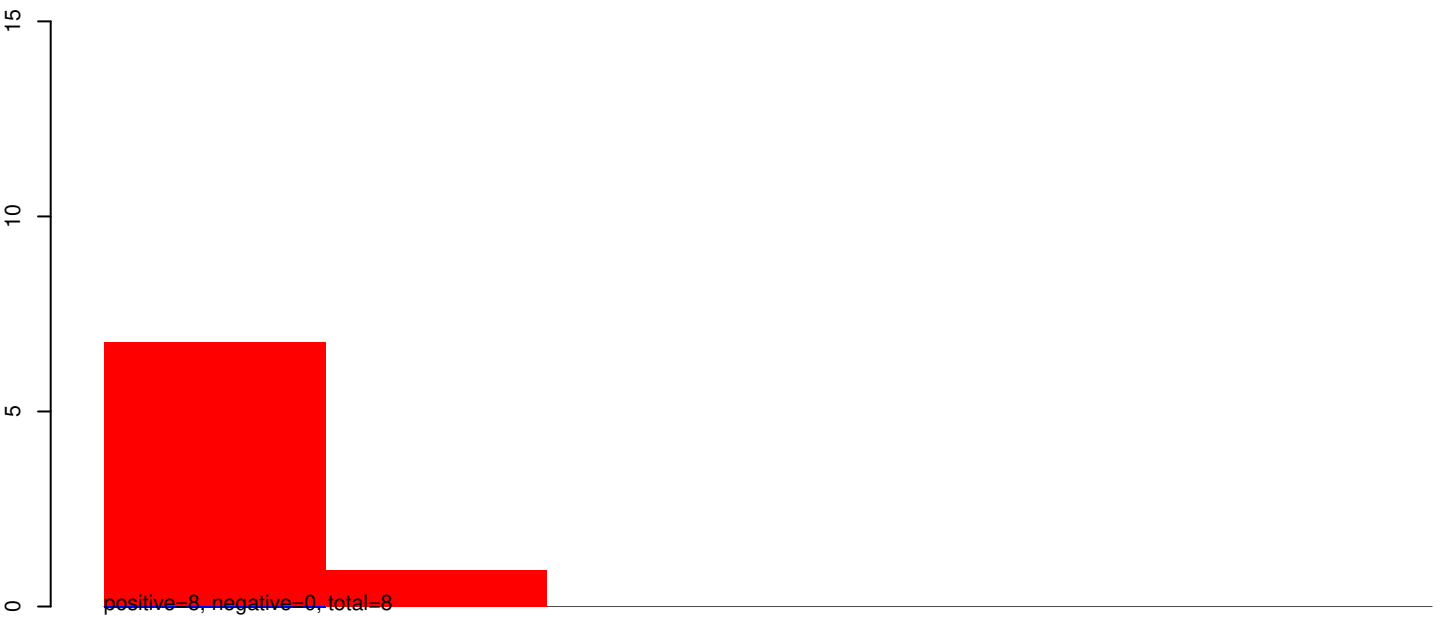


1, AAF017843, positive=0, negative=0, total=4

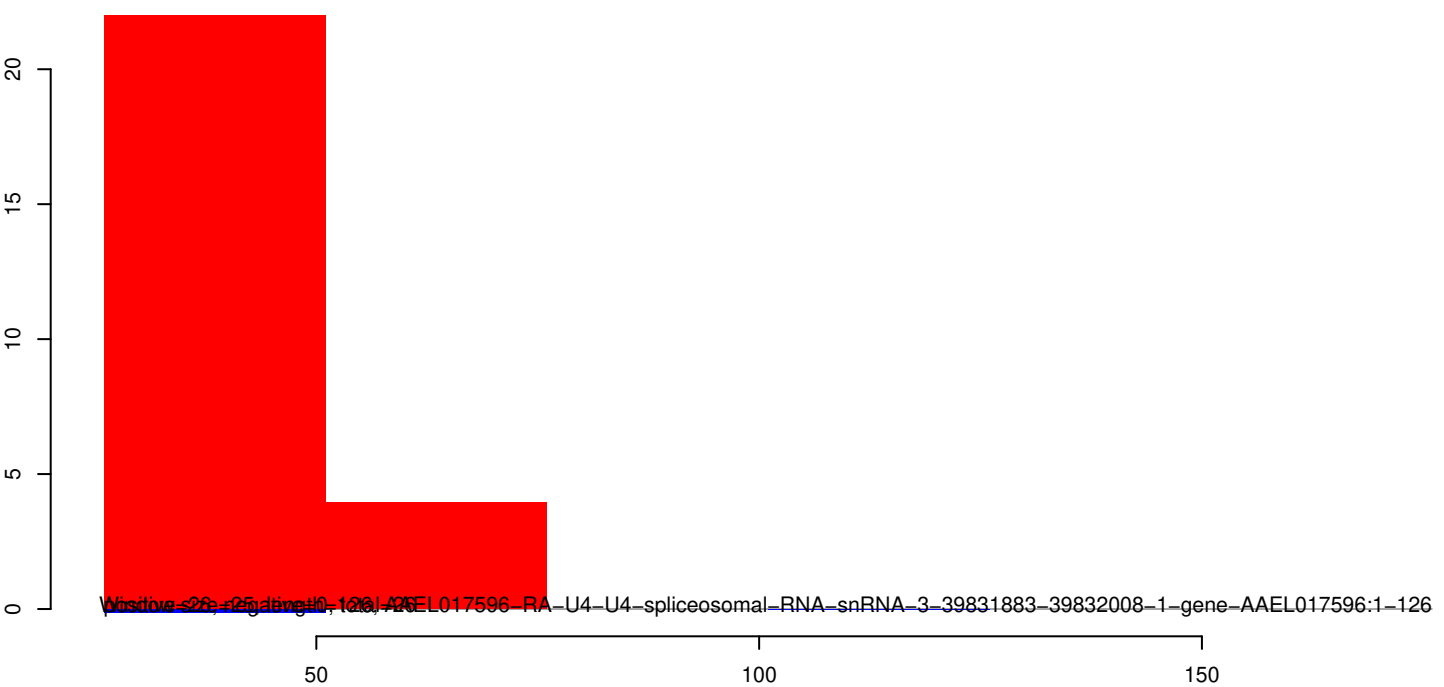
AeAeg_Whole_ZIKVdr_In_RNA_GP.18_23.rep



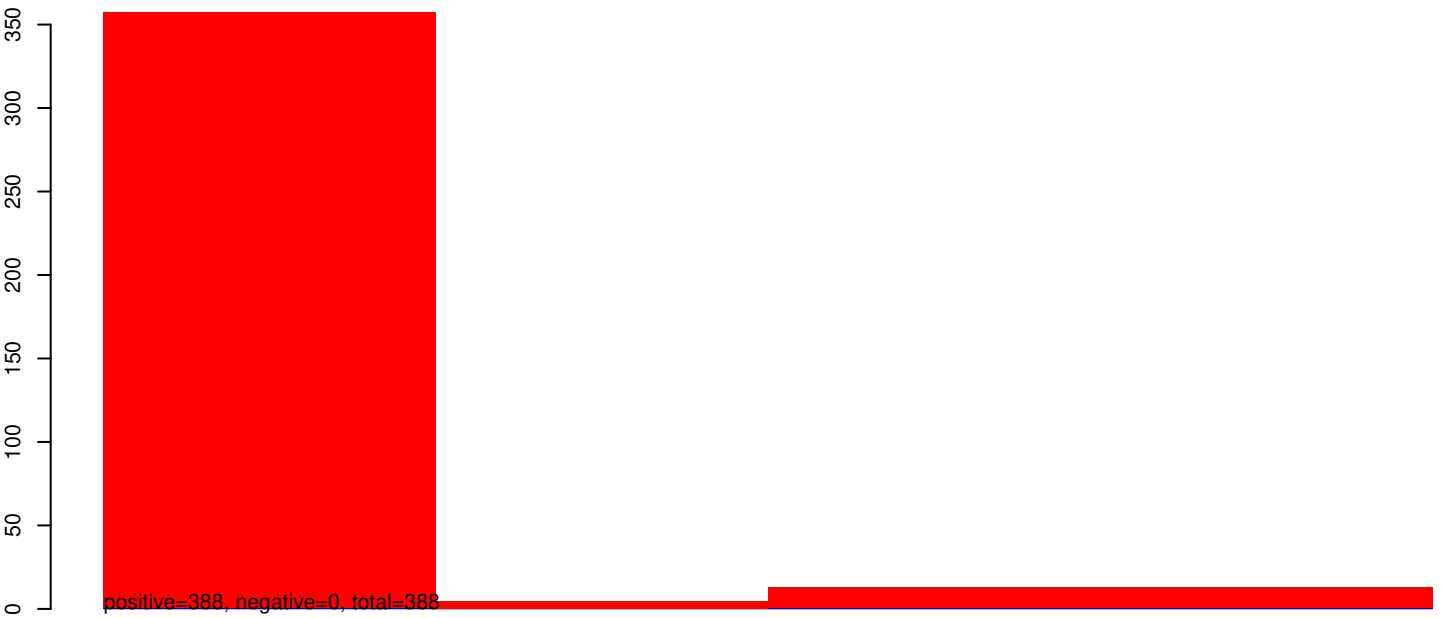
AeAeg_Whole_ZIKVdr_In_RNA_GP.24_35.rep



AeAeg_Whole_ZIKVdr_In_RNA_GP.rep



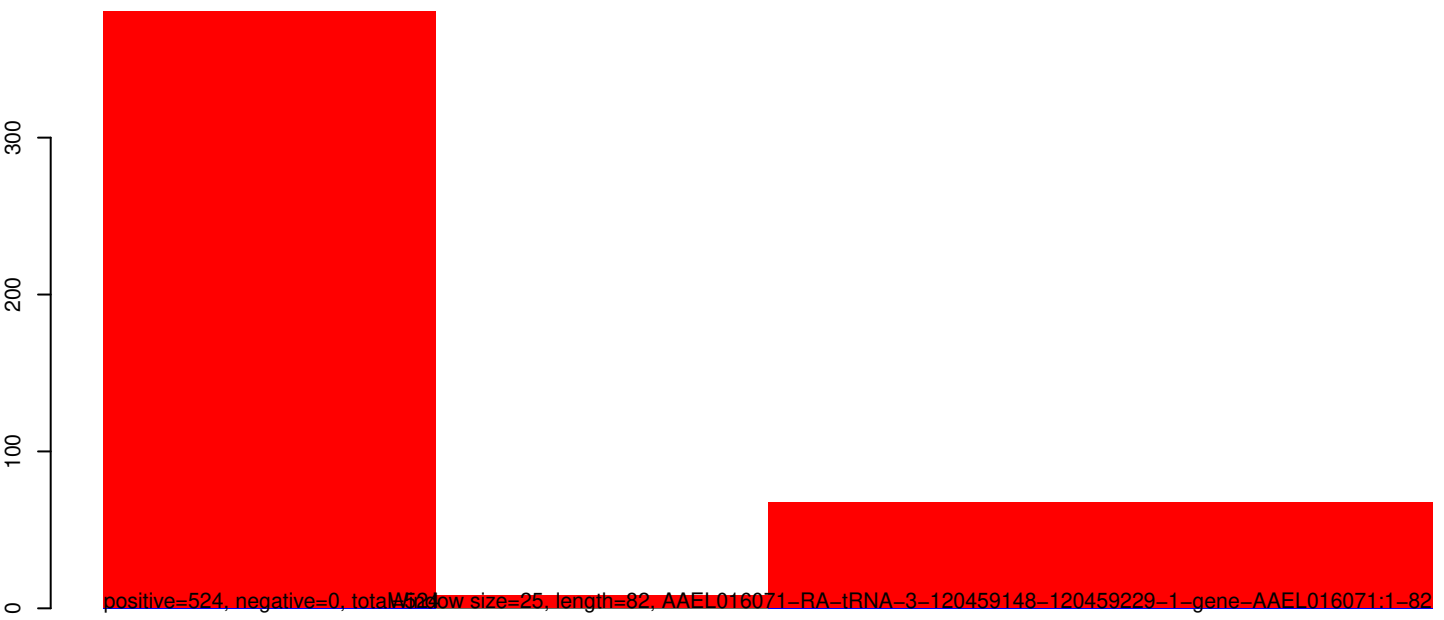
AeAeg_Whole_ZIKVdr_In_RNA_GP.18_23.rep



AeAeg_Whole_ZIKVdr_In_RNA_GP.24_35.rep

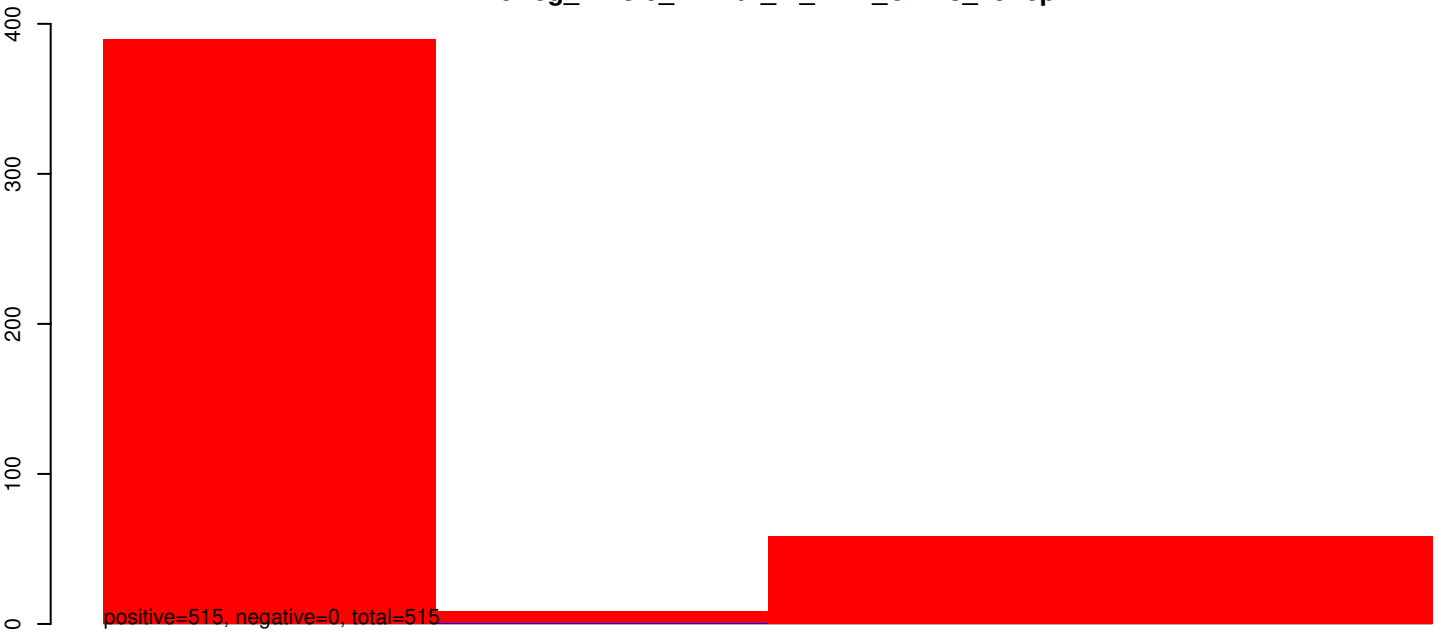


AeAeg_Whole_ZIKVdr_In_RNA_GP.rep

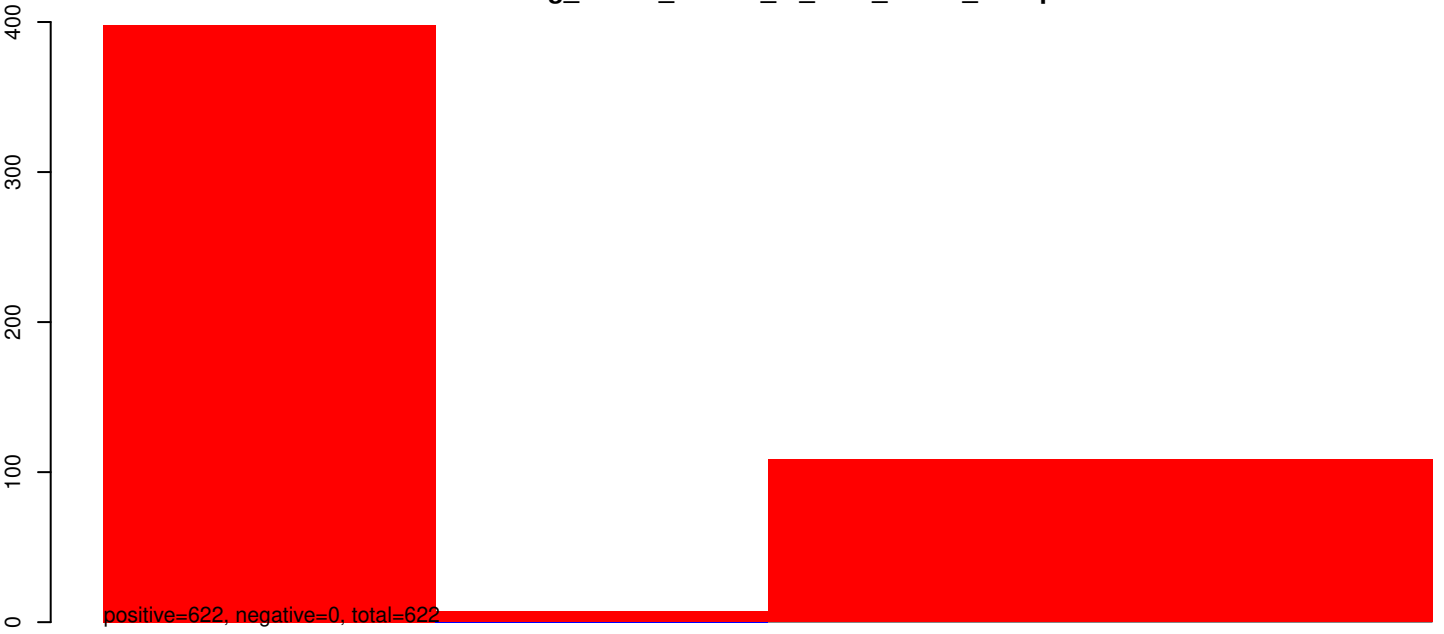


40 60 80 100 120

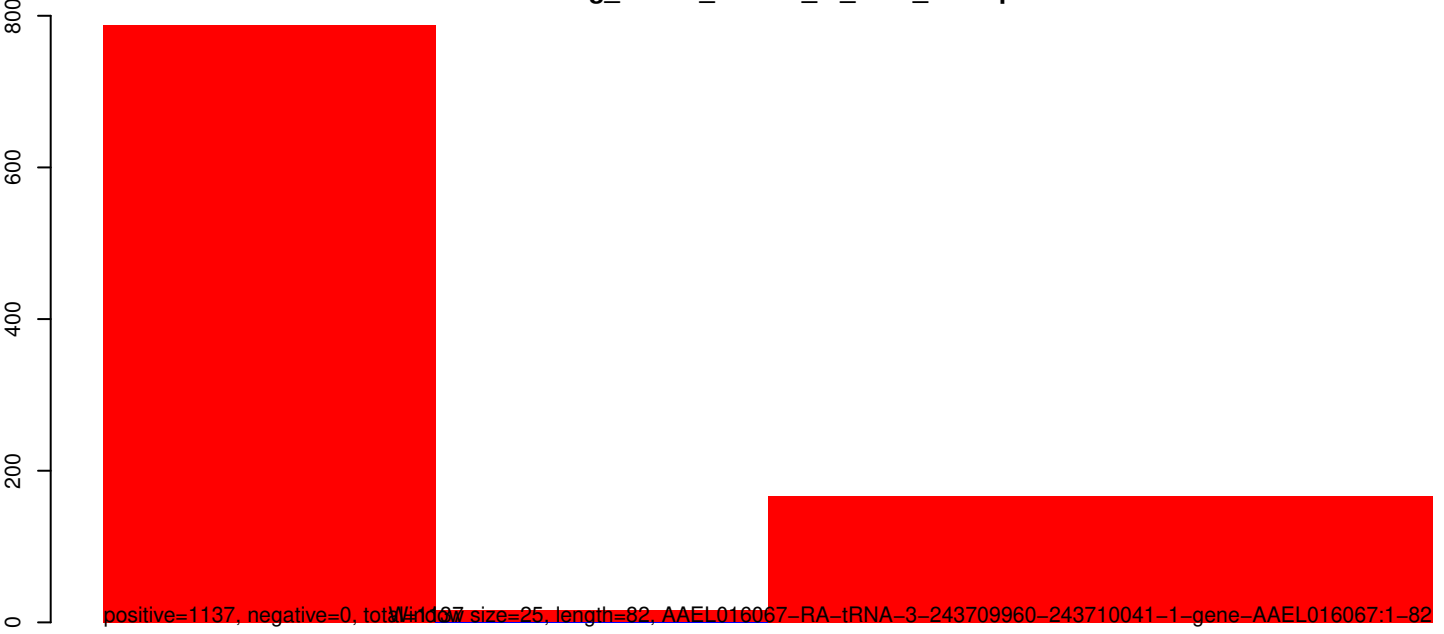
AeAeg_Whole_ZIKVdr_In_RNA_GP.18_23.rep



AeAeg_Whole_ZIKVdr_In_RNA_GP.24_35.rep

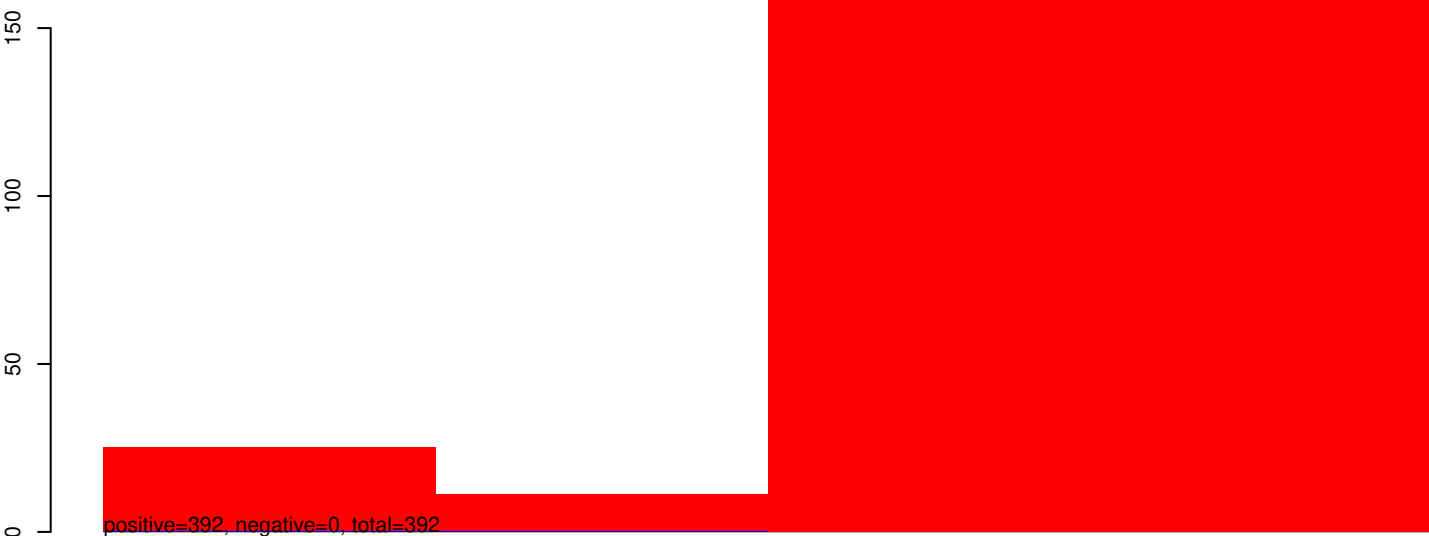


AeAeg_Whole_ZIKVdr_In_RNA_GP.rep



40 60 80 100 120

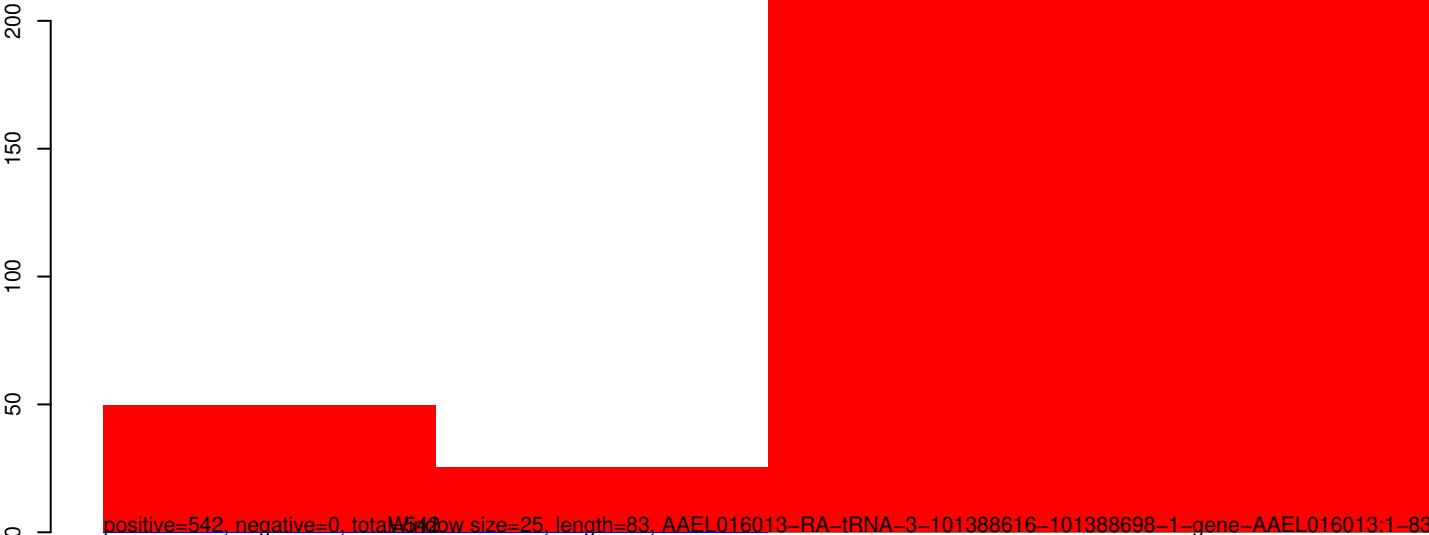
AeAeg_Whole_ZIKVdr_In_RNA_GP.18_23.rep



AeAeg_Whole_ZIKVdr_In_RNA_GP.24_35.rep

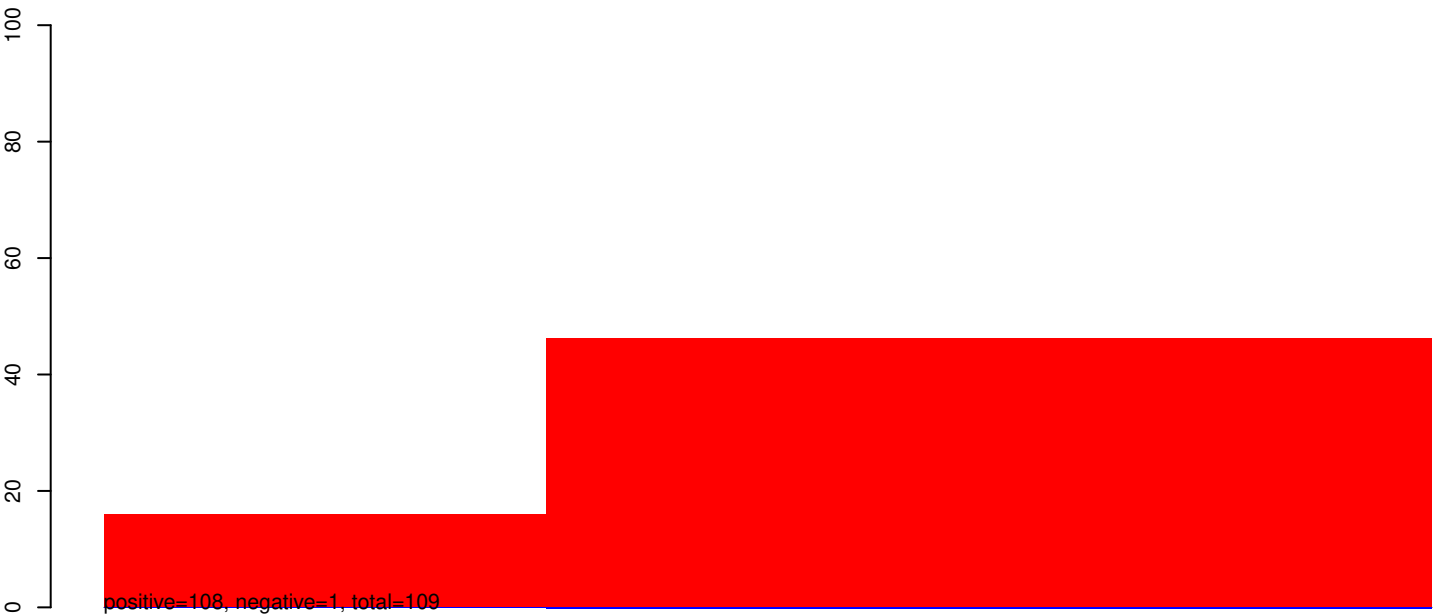


AeAeg_Whole_ZIKVdr_In_RNA_GP.rep

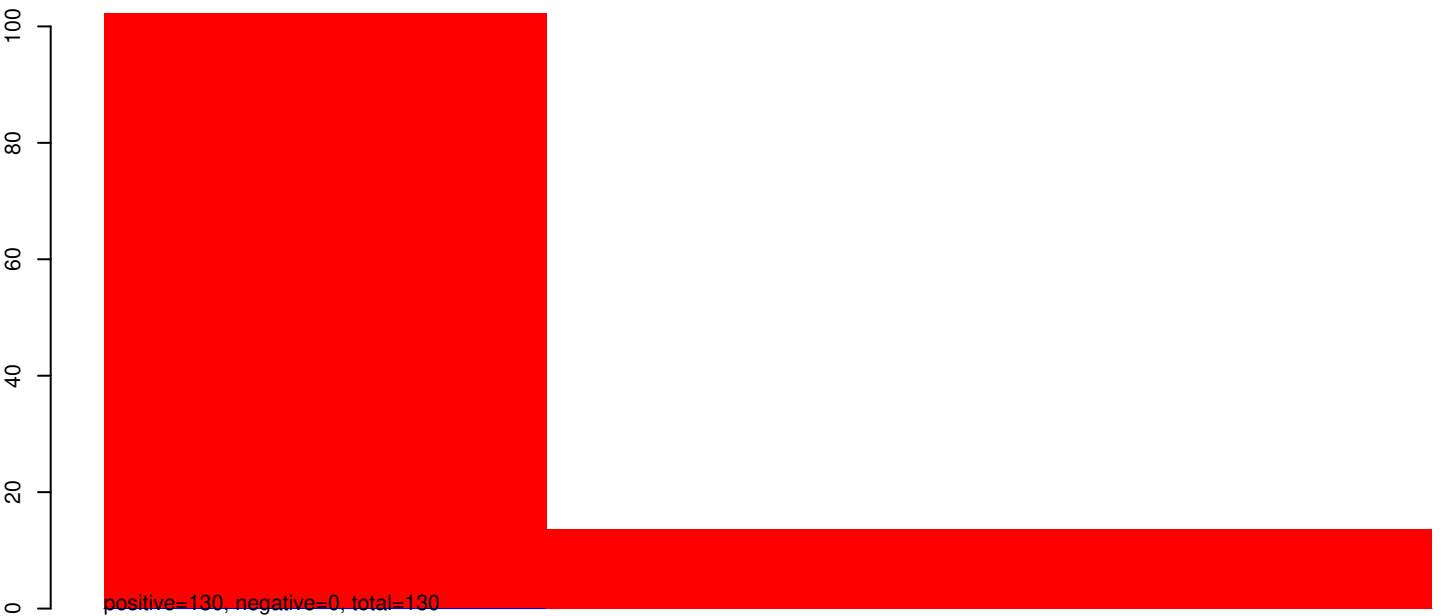


40 60 80 100 120
AAEL016013-RA-tRNA-3-101388616-101388698-1-gene-AAEL016013:1-83

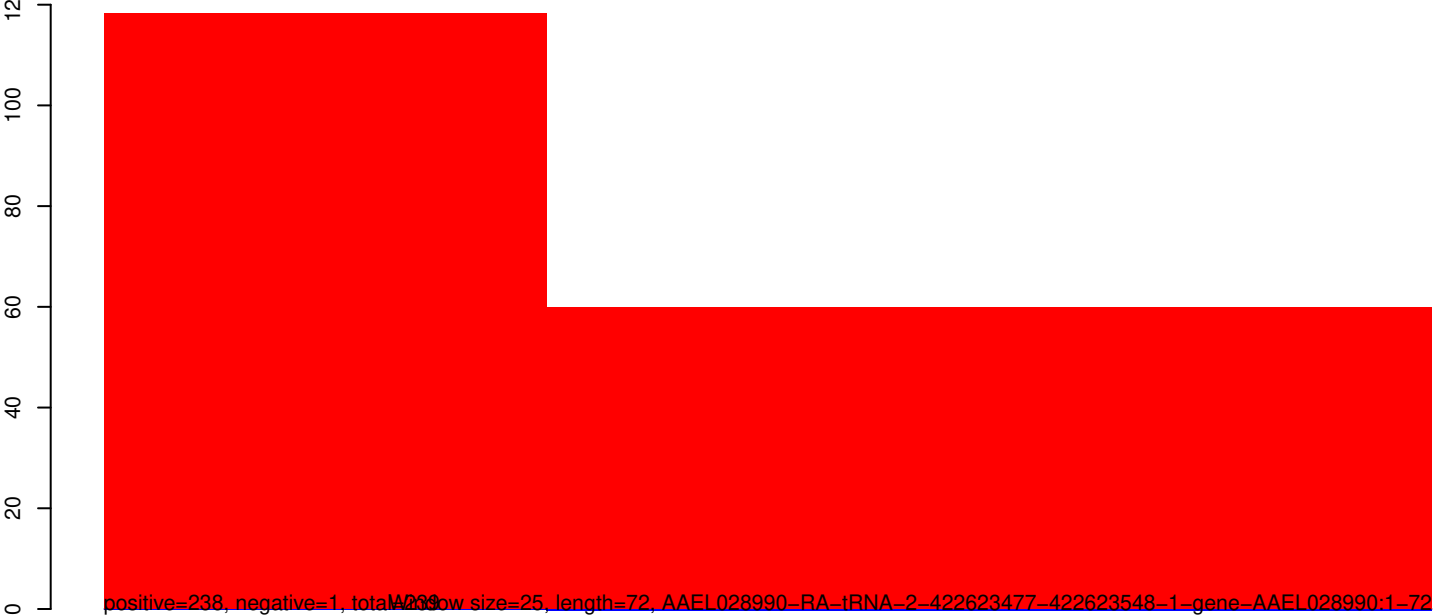
AeAeg_Whole_ZIKVdr_In_RNA_GP.18_23.rep



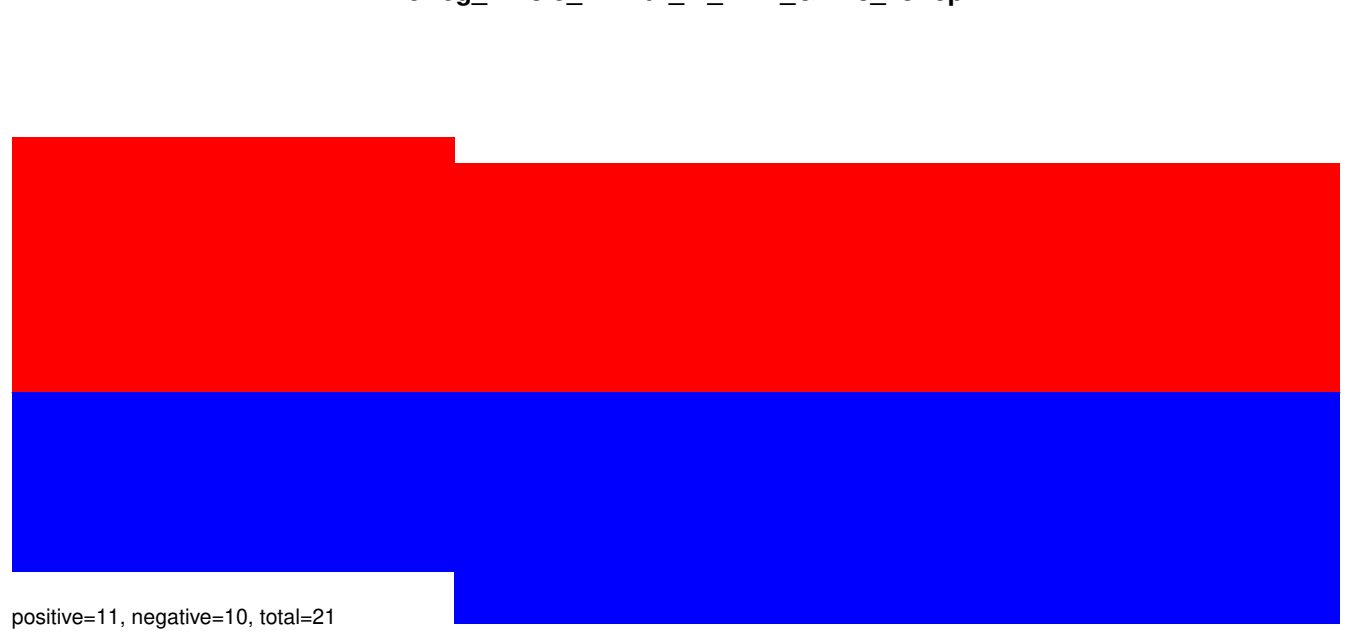
AeAeg_Whole_ZIKVdr_In_RNA_GP.24_35.rep



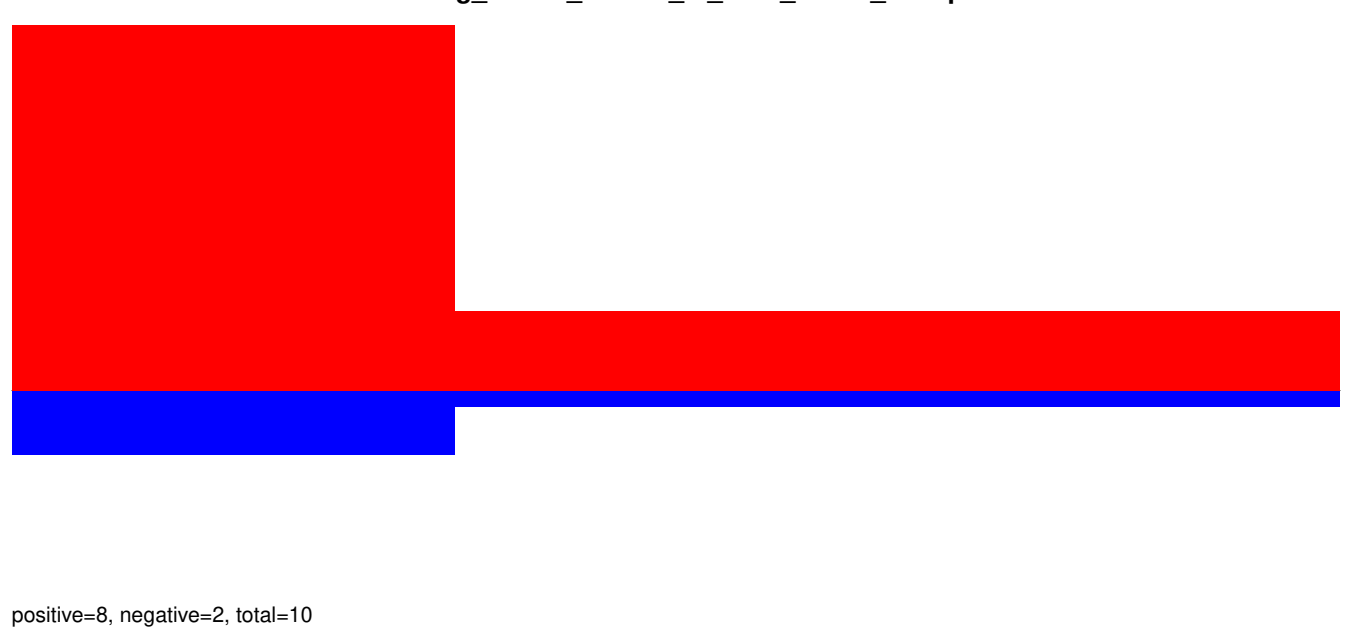
AeAeg_Whole_ZIKVdr_In_RNA_GP.rep



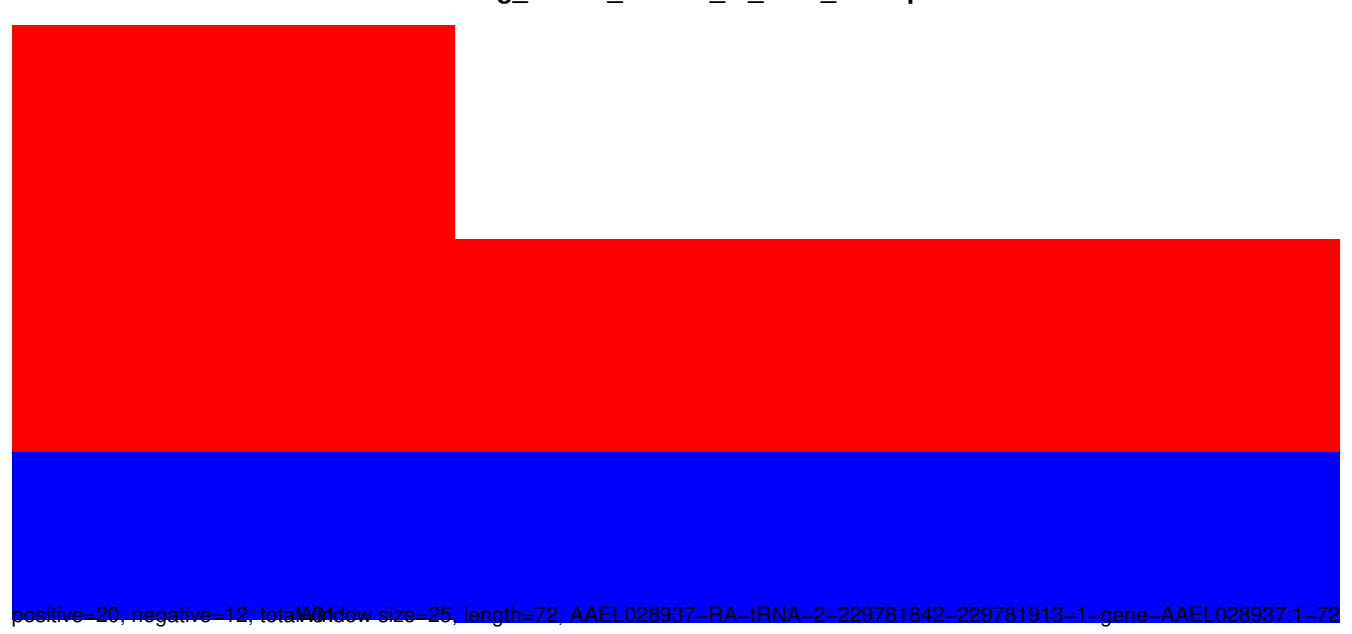
AeAeg_Whole_ZIKVdr_In_RNA_GP.18_23.rep



AeAeg_Whole_ZIKVdr_In_RNA_GP.24_35.rep



AeAeg_Whole_ZIKVdr_In_RNA_GP.rep

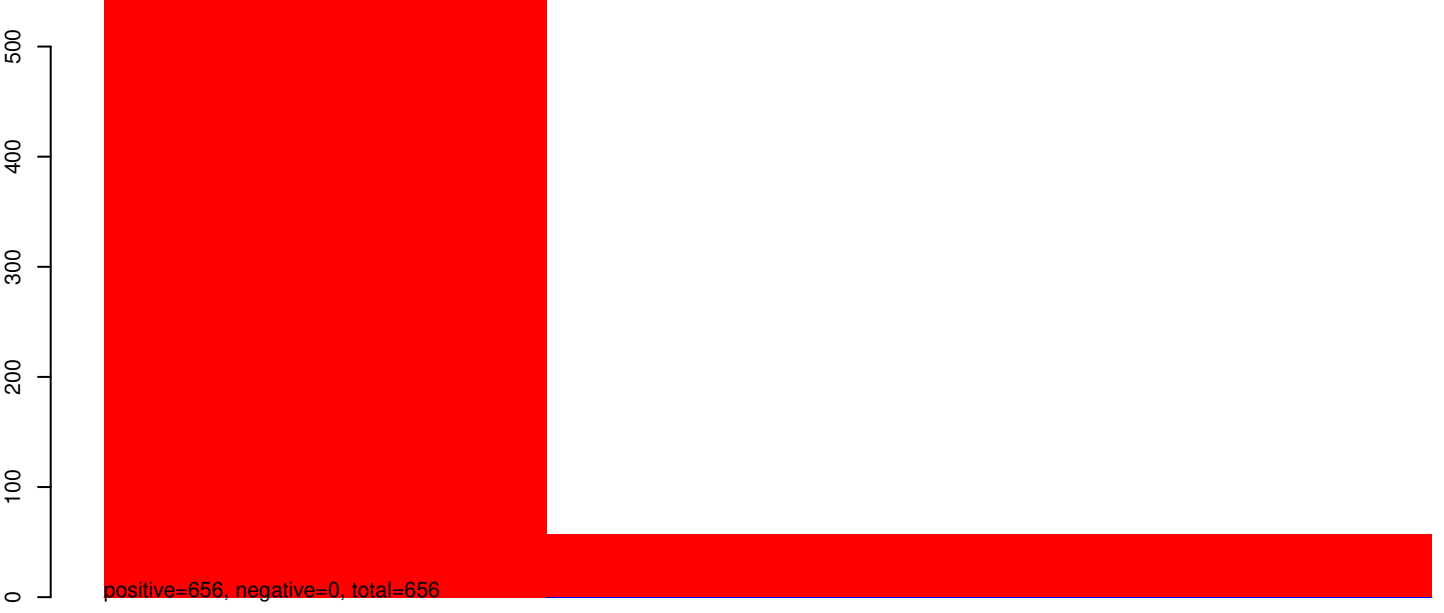


40 60 80 100

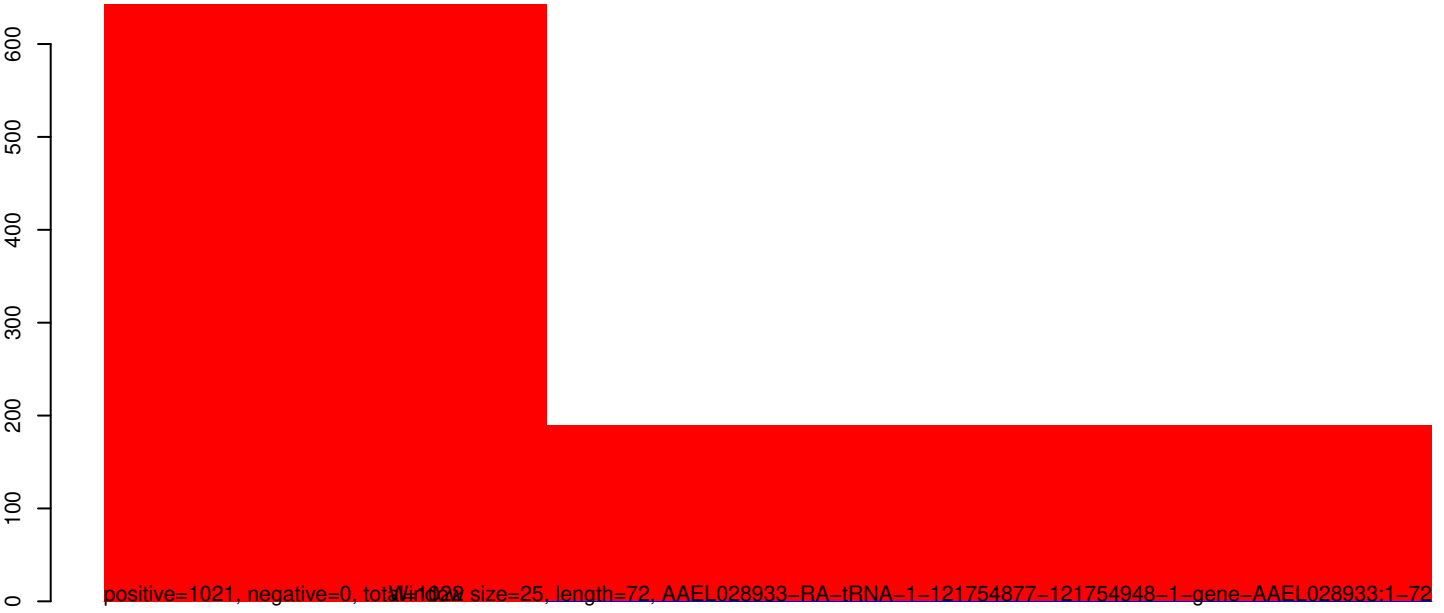
AeAeg_Whole_ZIKVdr_In_RNA_GP.18_23.rep



AeAeg_Whole_ZIKVdr_In_RNA_GP.24_35.rep



AeAeg_Whole_ZIKVdr_In_RNA_GP.rep

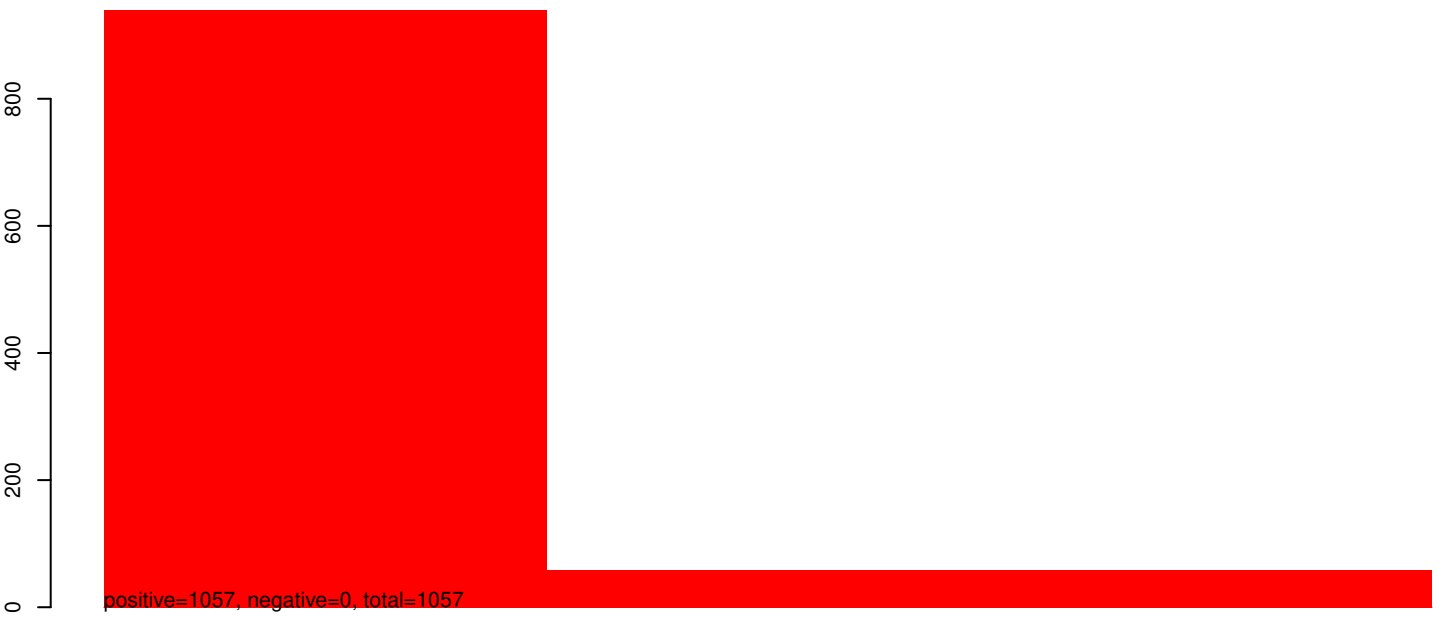


40 60 80 100
AAEL028933-RA-tRNA-1-121754877-121754948-1-gene-AAEL028933:1-72

AeAeg_Whole_ZIKVdr_In_RNA_GP.18_23.rep



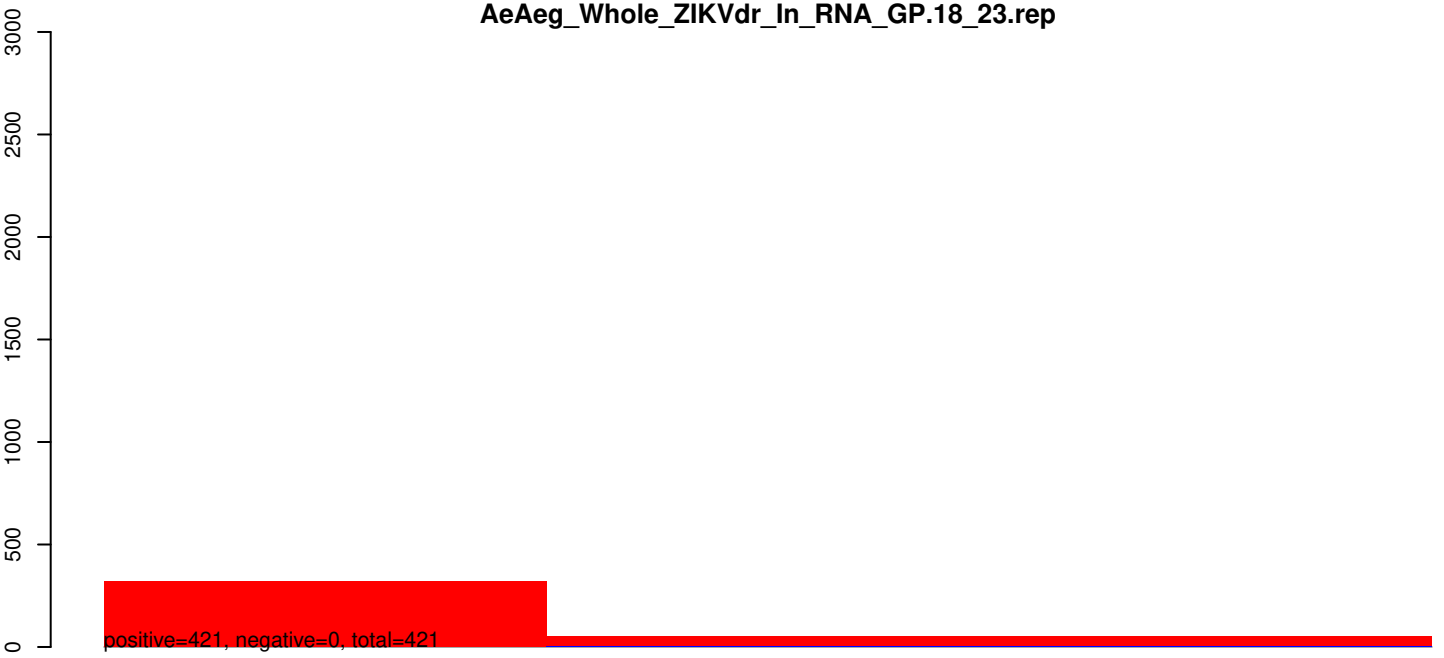
AeAeg_Whole_ZIKVdr_In_RNA_GP.24_35.rep



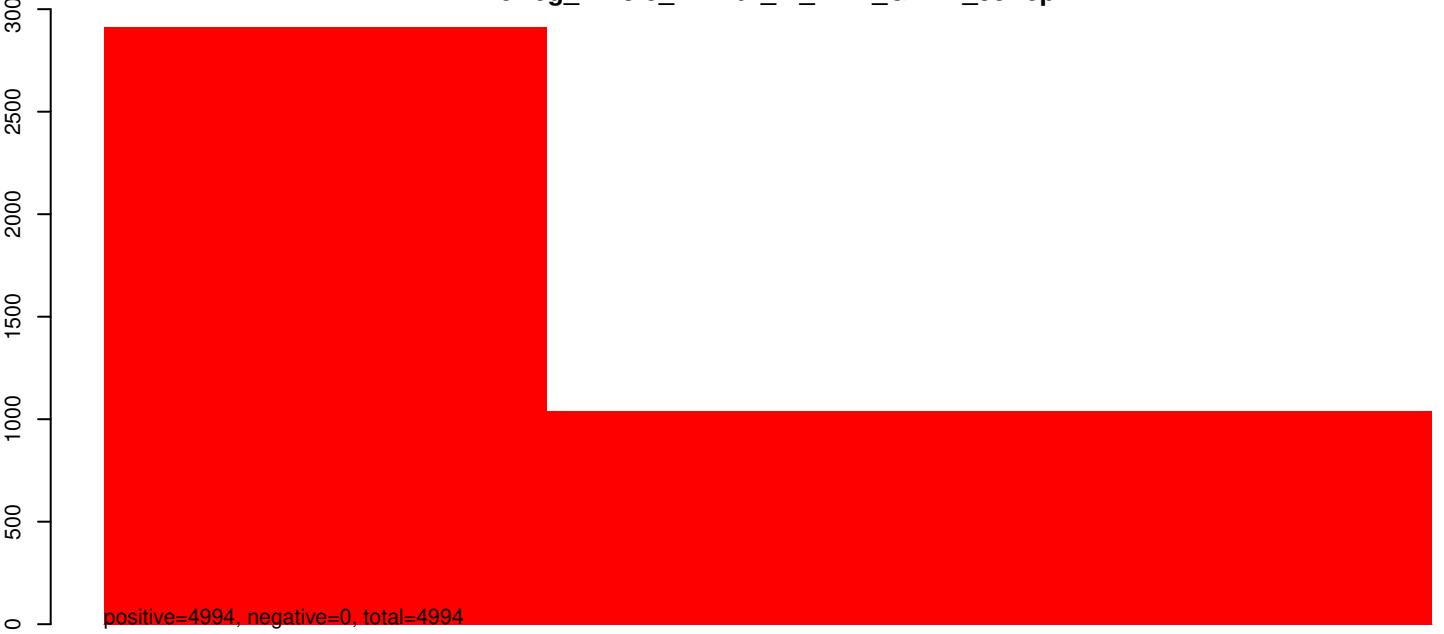
AeAeg_Whole_ZIKVdr_In_RNA_GP.rep



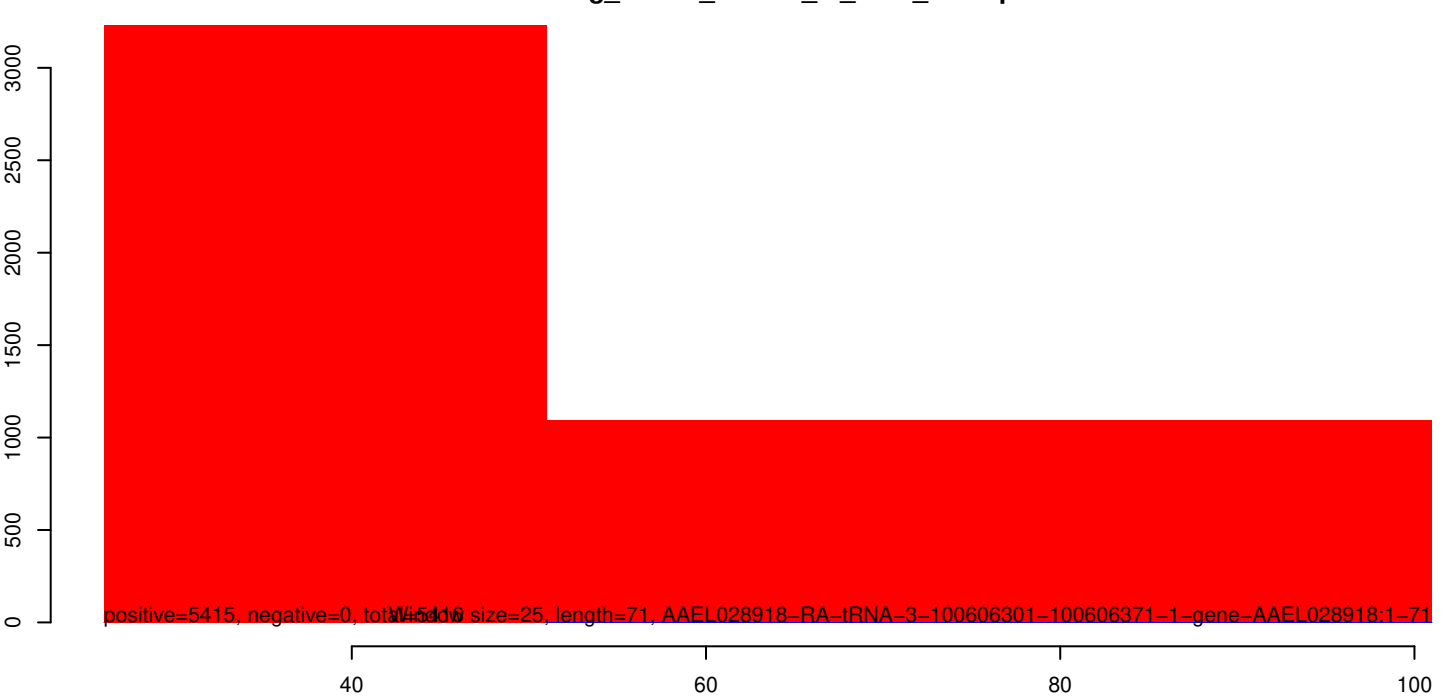
AeAeg_Whole_ZIKVdr_In_RNA_GP.18_23.rep



AeAeg_Whole_ZIKVdr_In_RNA_GP.24_35.rep

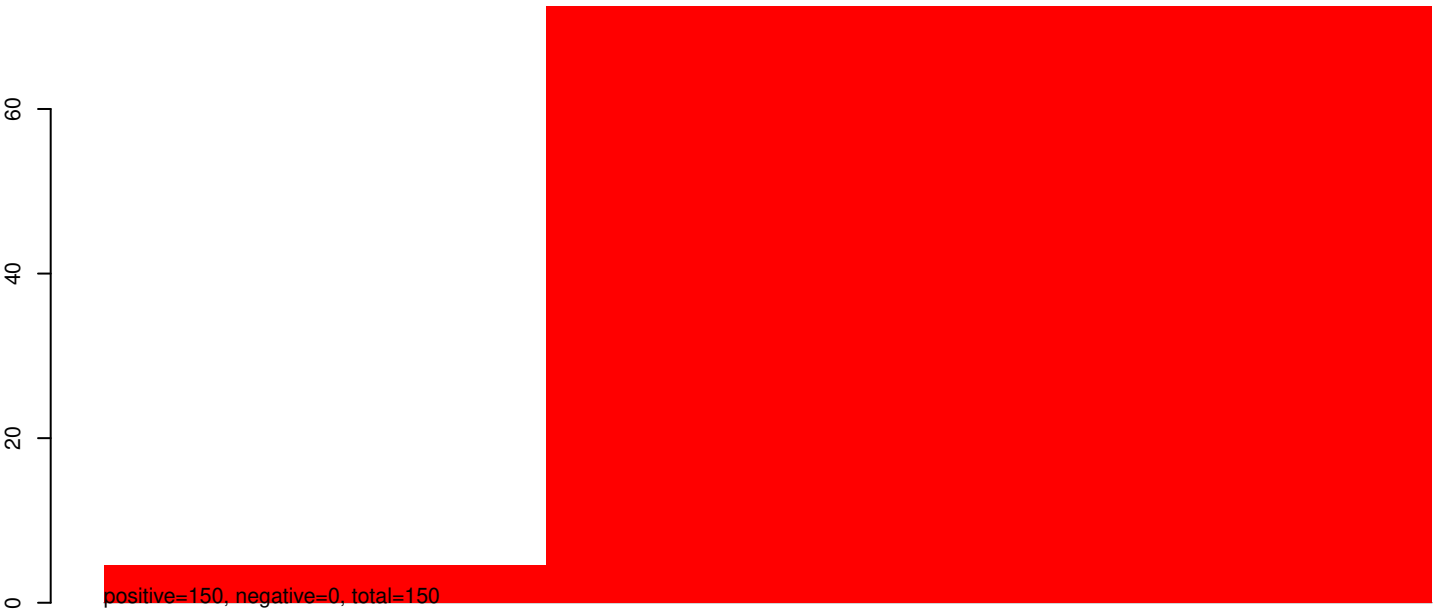


AeAeg_Whole_ZIKVdr_In_RNA_GP.rep

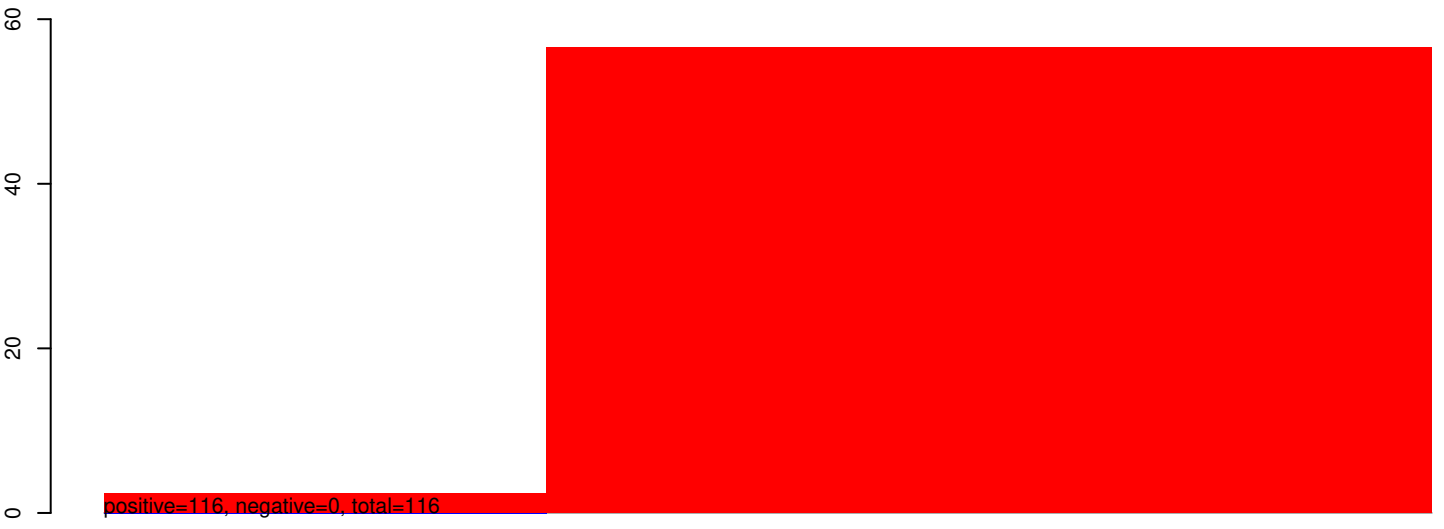


40 60 80 100

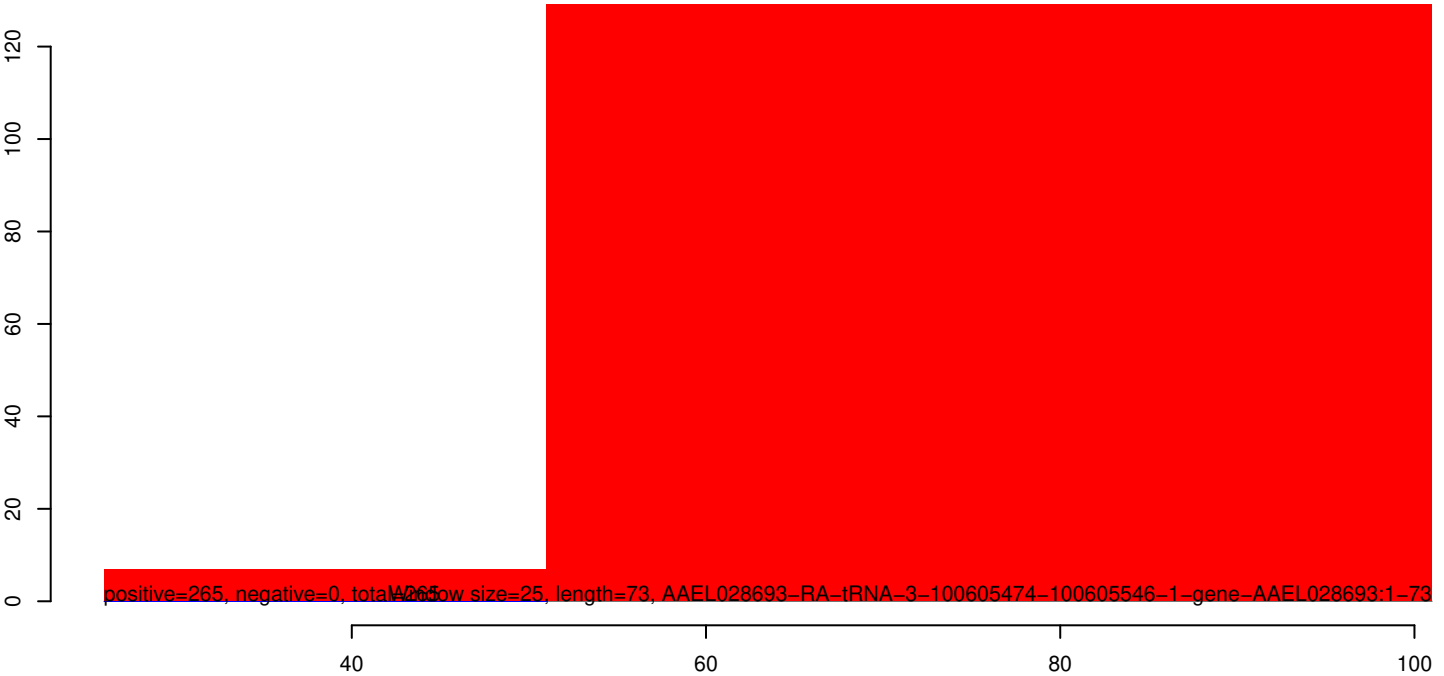
AeAeg_Whole_ZIKVdr_In_RNA_GP.18_23.rep



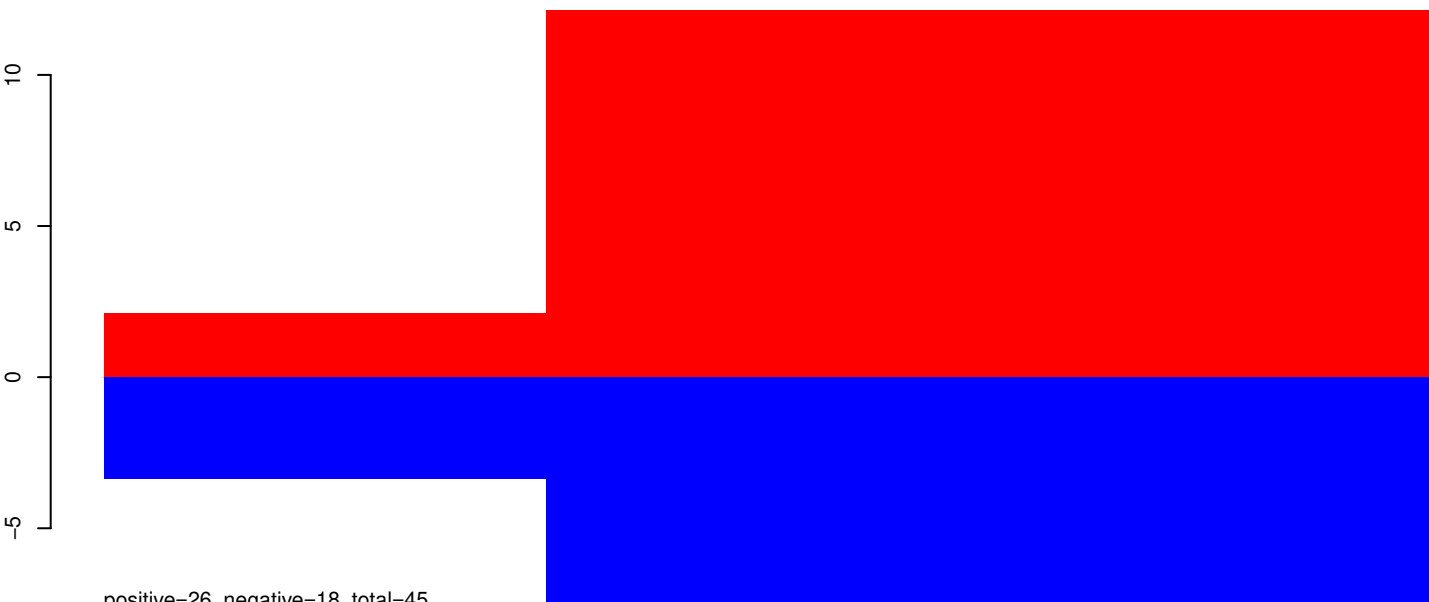
AeAeg_Whole_ZIKVdr_In_RNA_GP.24_35.rep



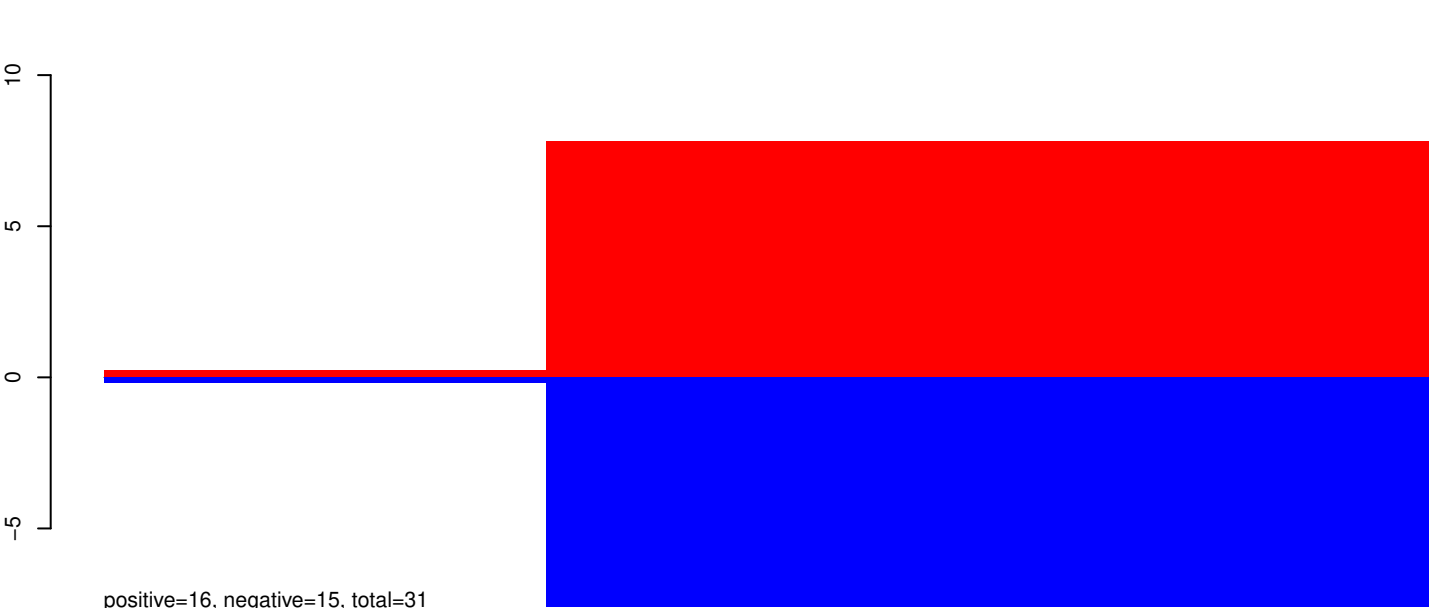
AeAeg_Whole_ZIKVdr_In_RNA_GP.rep



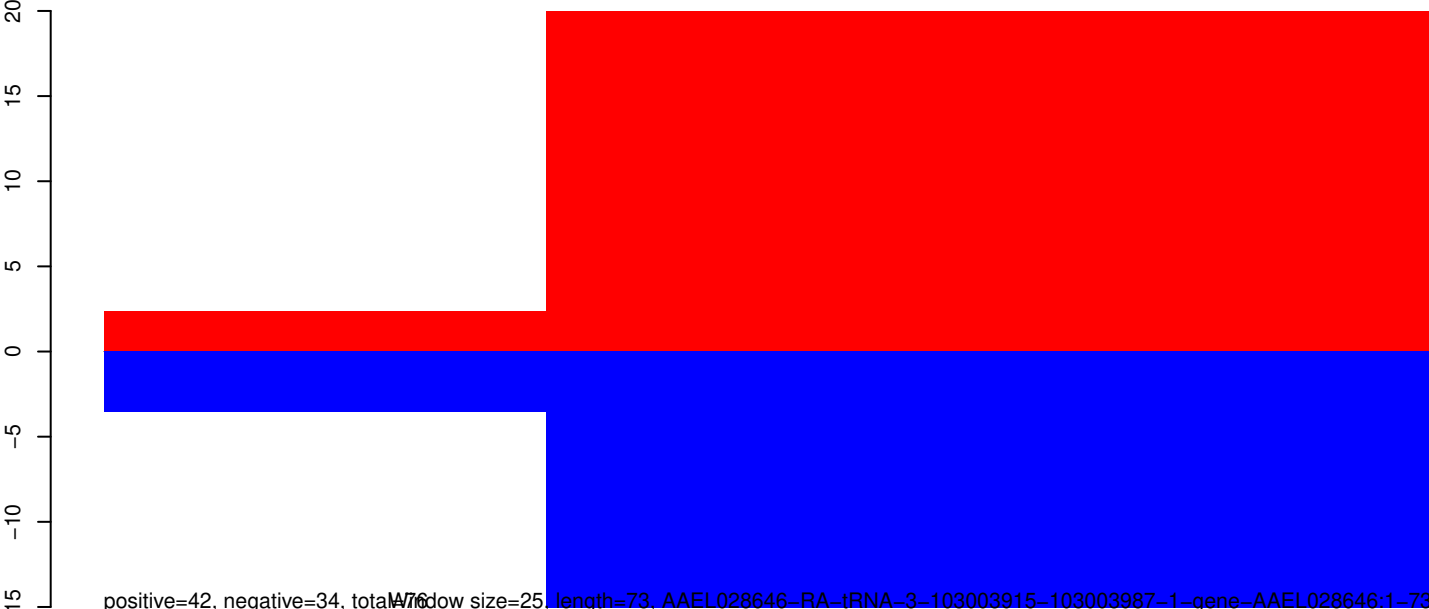
AeAeg_Whole_ZIKVdr_In_RNA_GP.18_23.rep



AeAeg_Whole_ZIKVdr_In_RNA_GP.24_35.rep



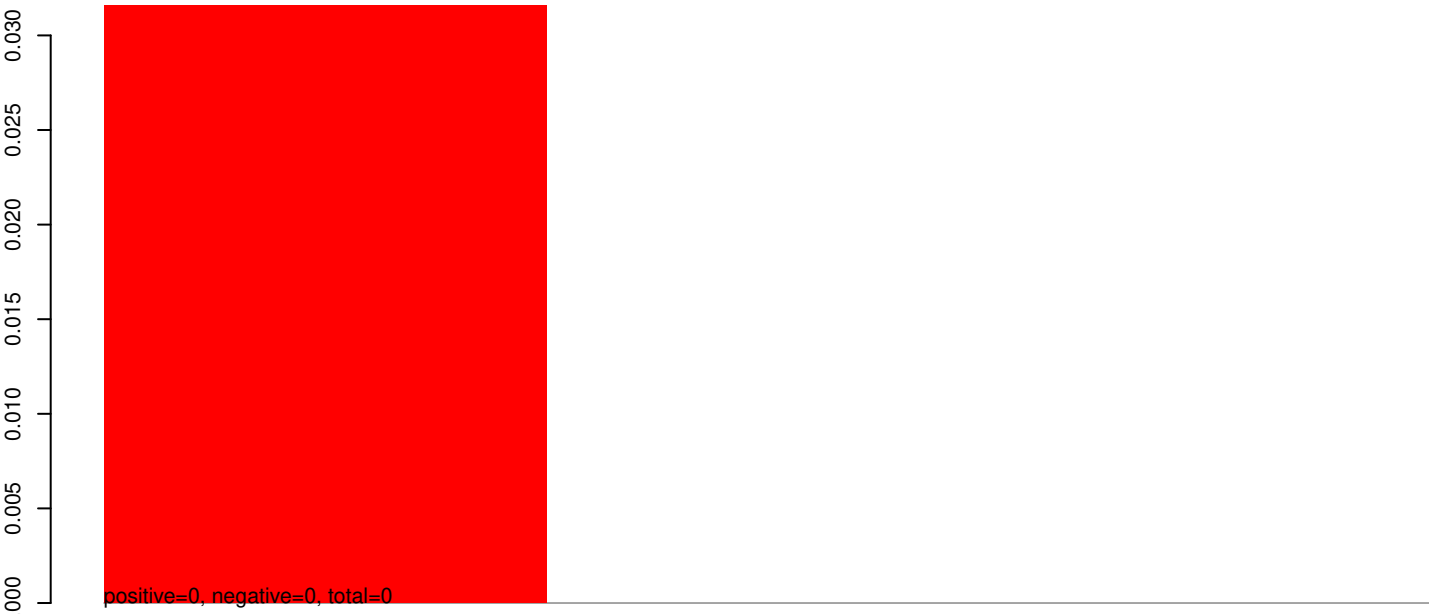
AeAeg_Whole_ZIKVdr_In_RNA_GP.rep



Window size=25, length=73, AAEL028646-RA-tRNA-3-103003915-103003987-1-gene-AAEL028646:1-73

40 60 80 100

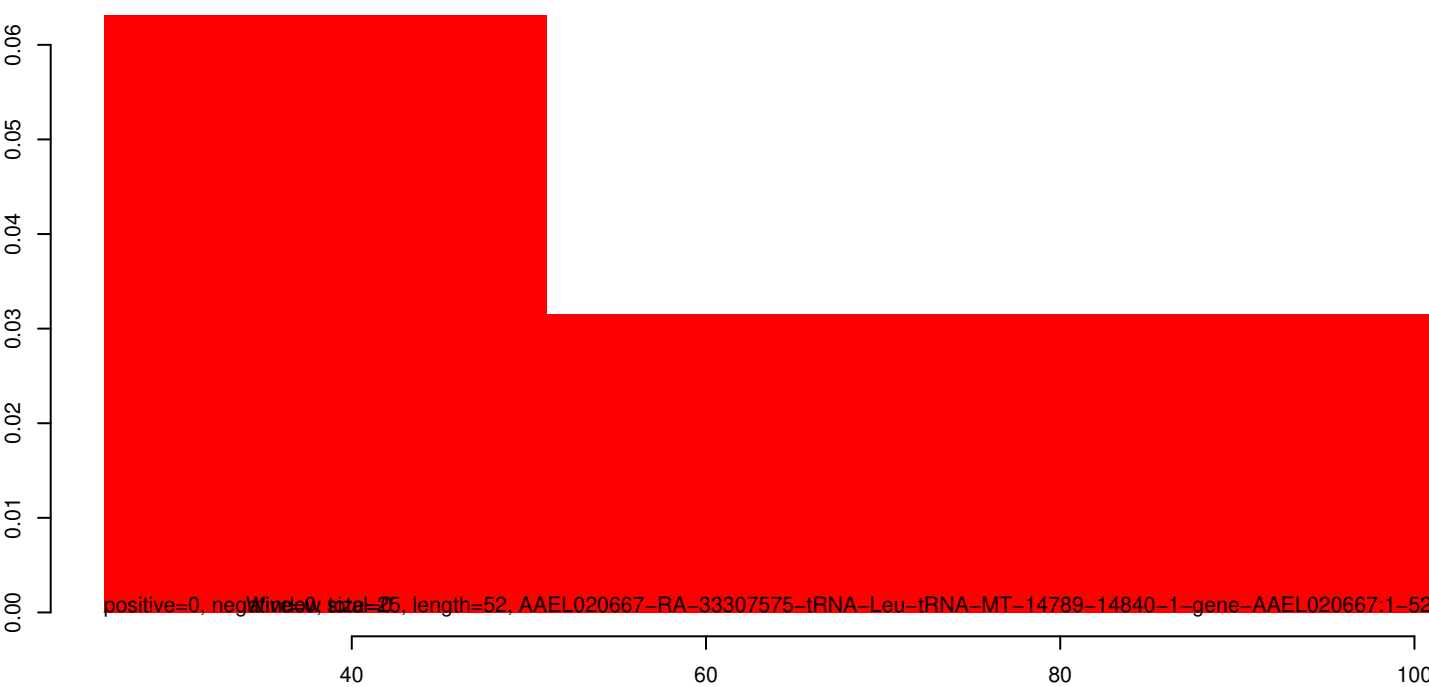
AeAeg_Whole_ZIKVdr_In_RNA_GP.18_23.rep



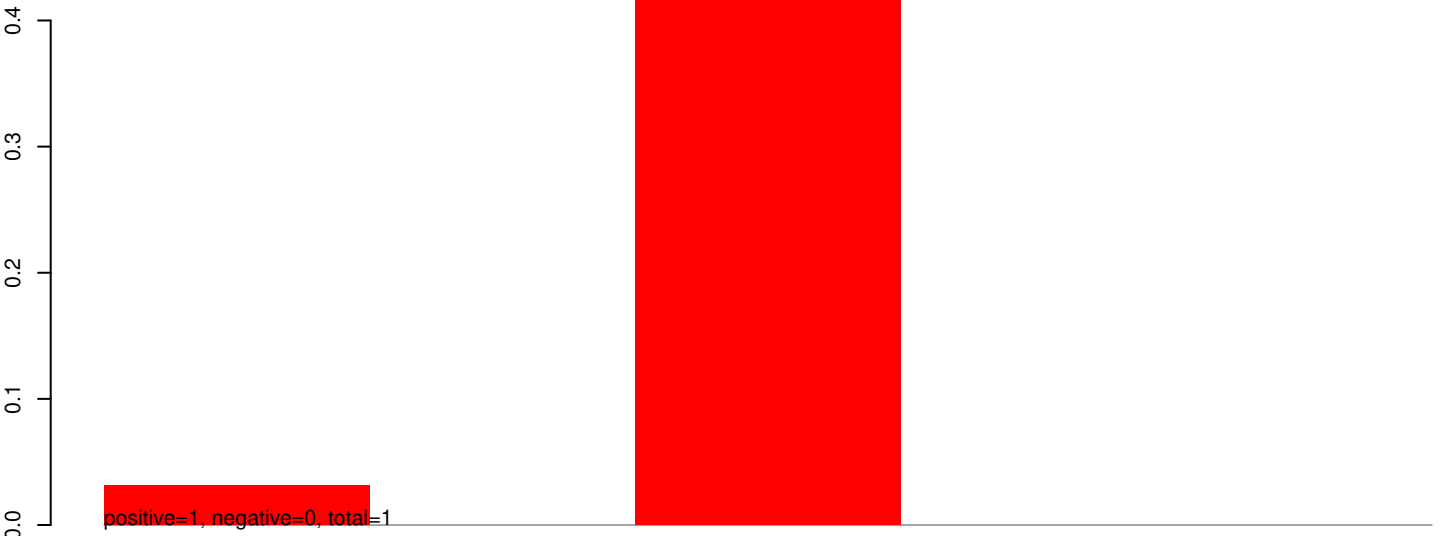
AeAeg_Whole_ZIKVdr_In_RNA_GP.24_35.rep



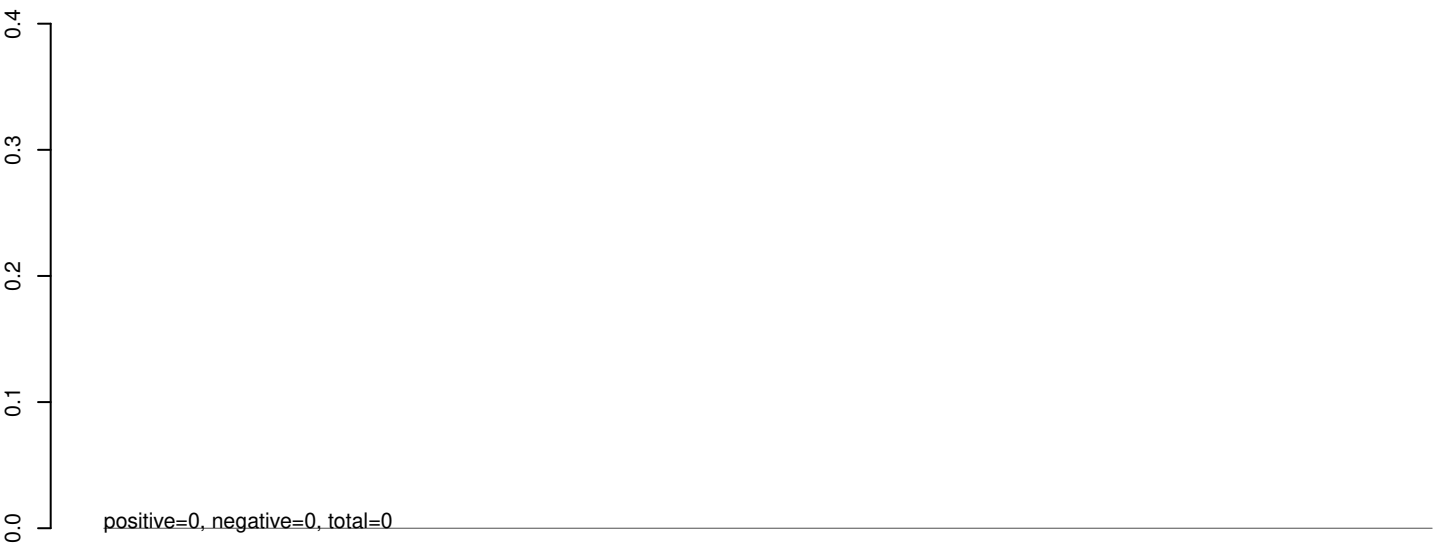
AeAeg_Whole_ZIKVdr_In_RNA_GP.rep



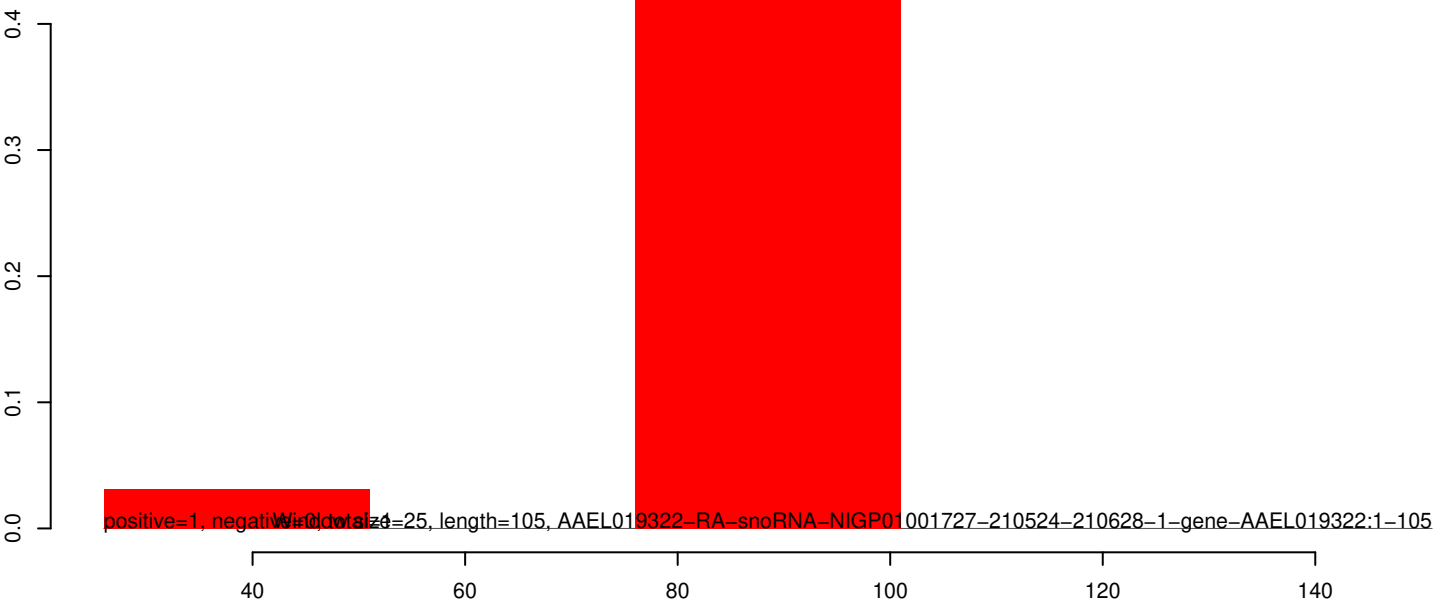
AeAeg_Whole_ZIKVdr_In_RNA_GP.18_23.rep



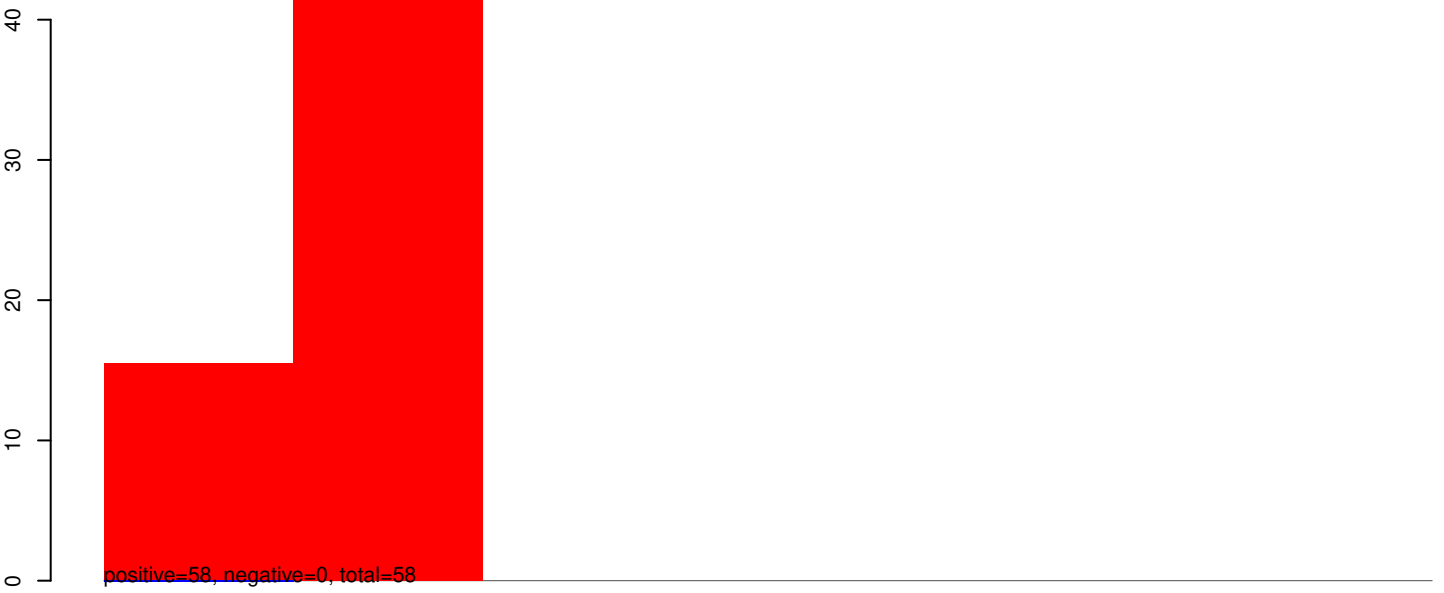
AeAeg_Whole_ZIKVdr_In_RNA_GP.24_35.rep



AeAeg_Whole_ZIKVdr_In_RNA_GP.rep



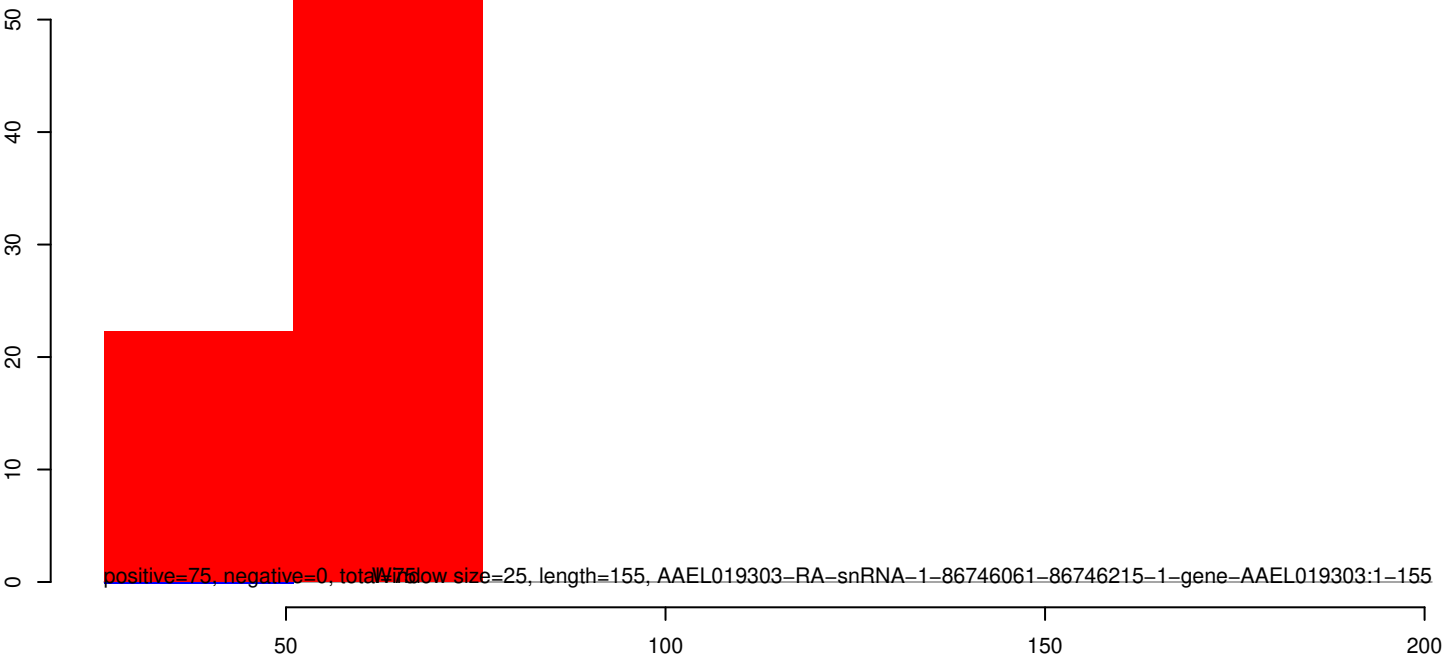
AeAeg_Whole_ZIKVdr_In_RNA_GP.18_23.rep



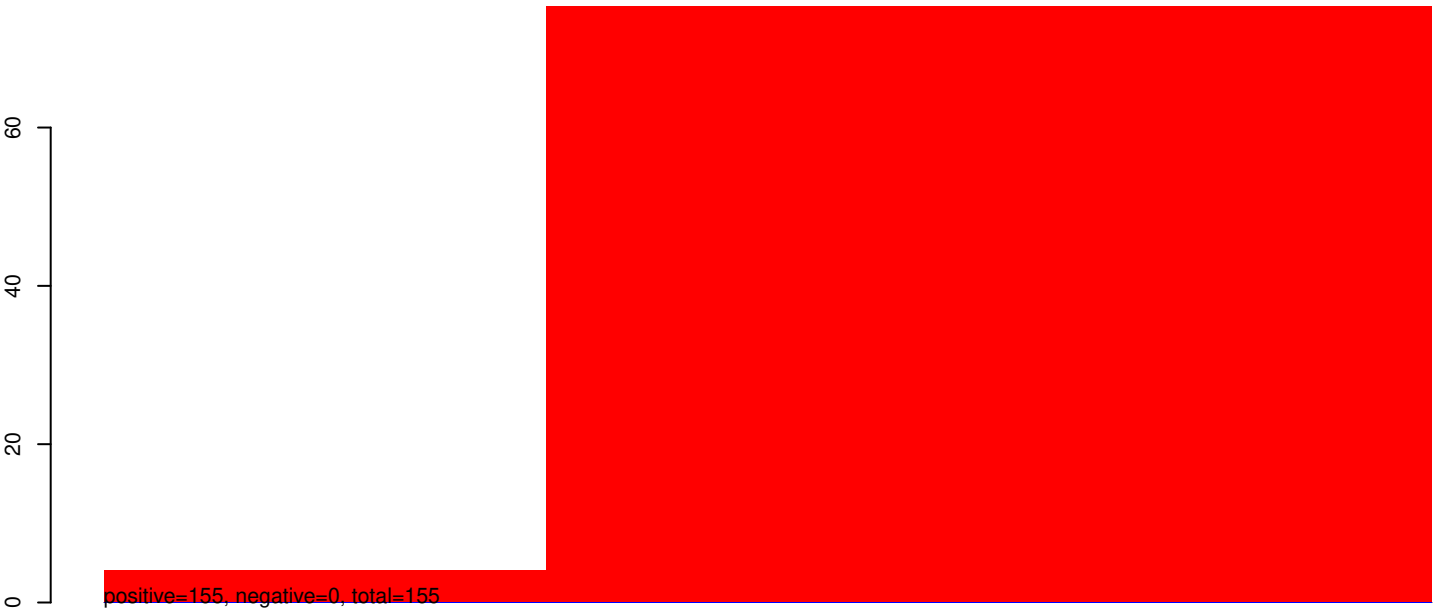
AeAeg_Whole_ZIKVdr_In_RNA_GP.24_35.rep



AeAeg_Whole_ZIKVdr_In_RNA_GP.rep



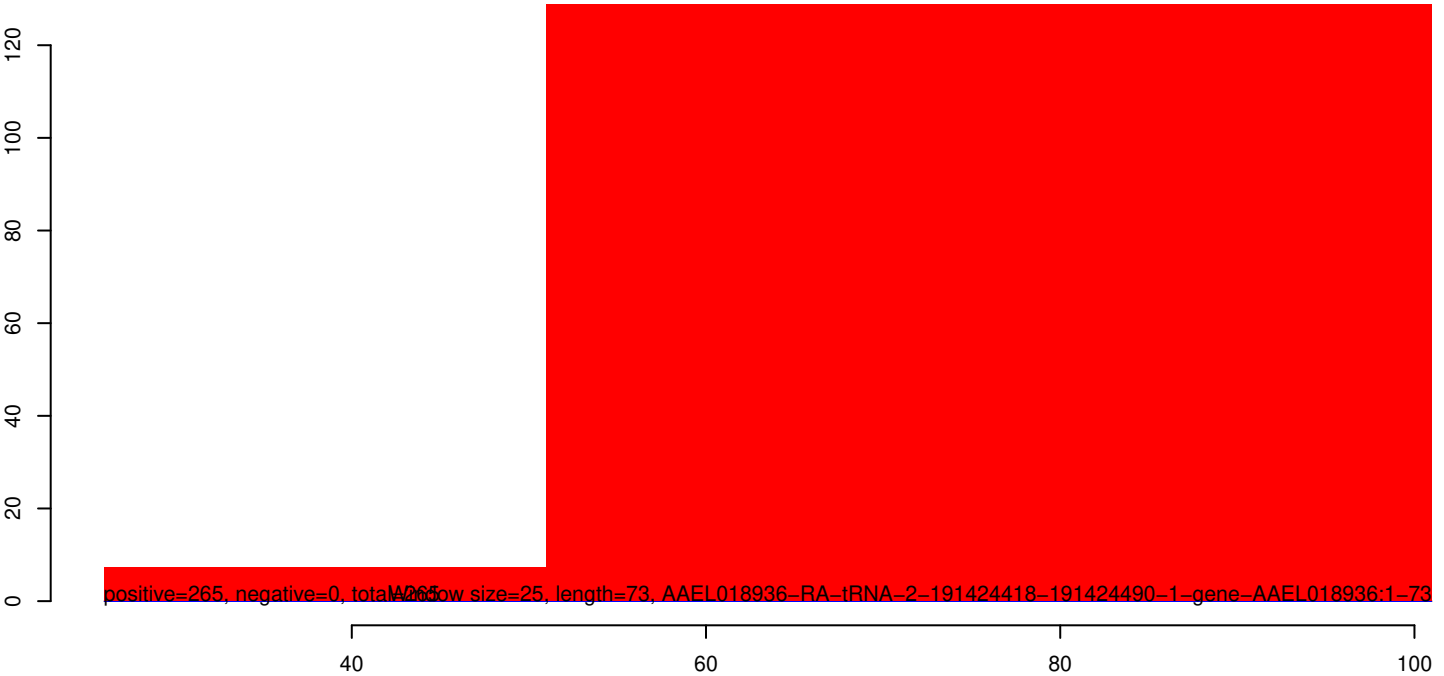
AeAeg_Whole_ZIKVdr_In_RNA_GP.18_23.rep



AeAeg_Whole_ZIKVdr_In_RNA_GP.24_35.rep



AeAeg_Whole_ZIKVdr_In_RNA_GP.rep



AeAeg_Whole_ZIKVdr_In_RNA_GP.18_23.rep



AeAeg_Whole_ZIKVdr_In_RNA_GP.24_35.rep

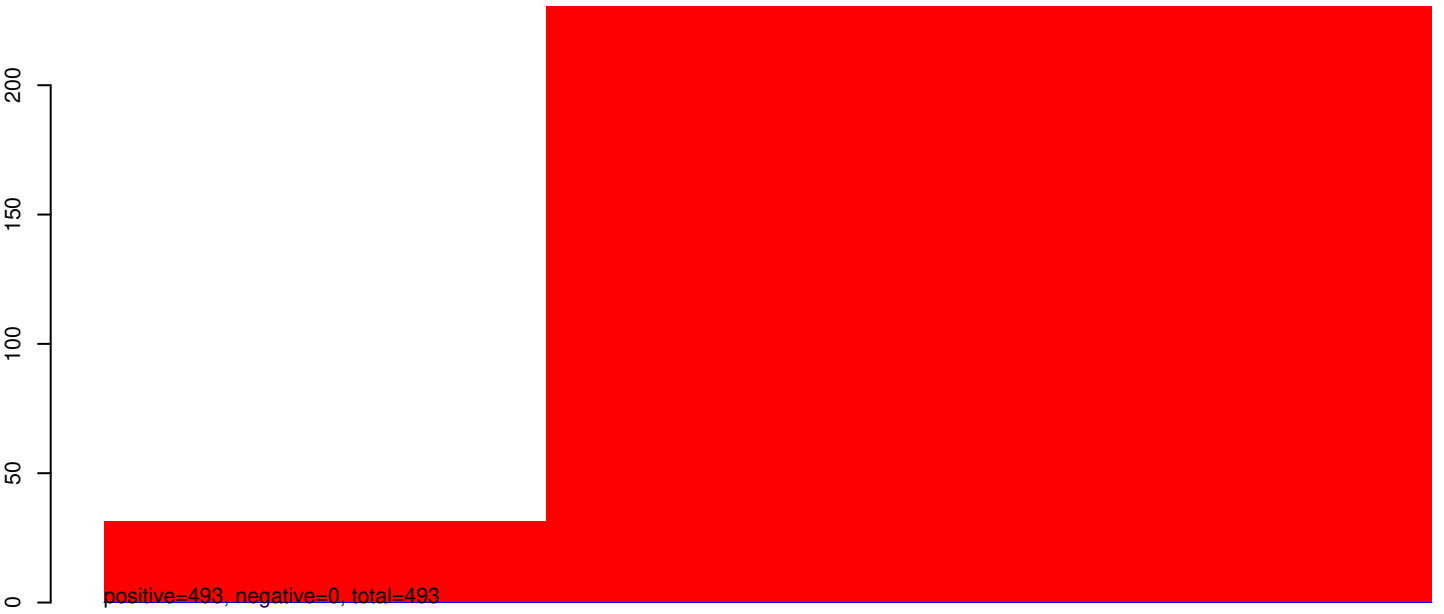


AeAeg_Whole_ZIKVdr_In_RNA_GP.rep

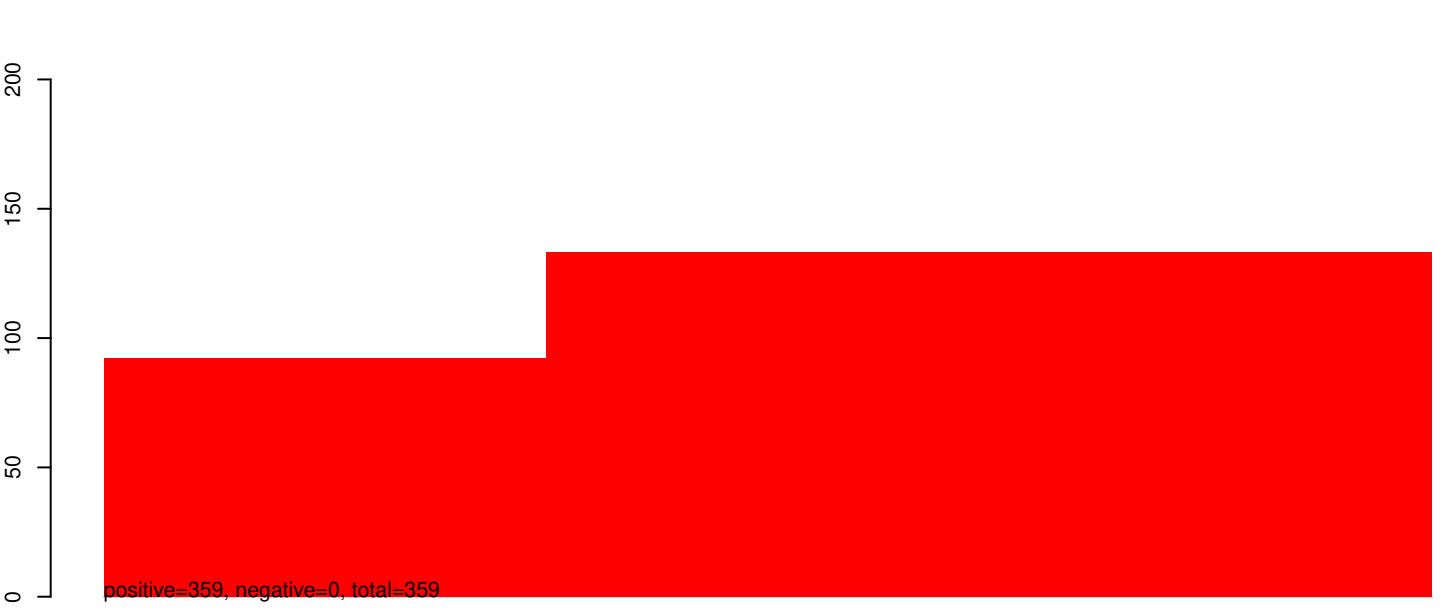


40 60 80 100

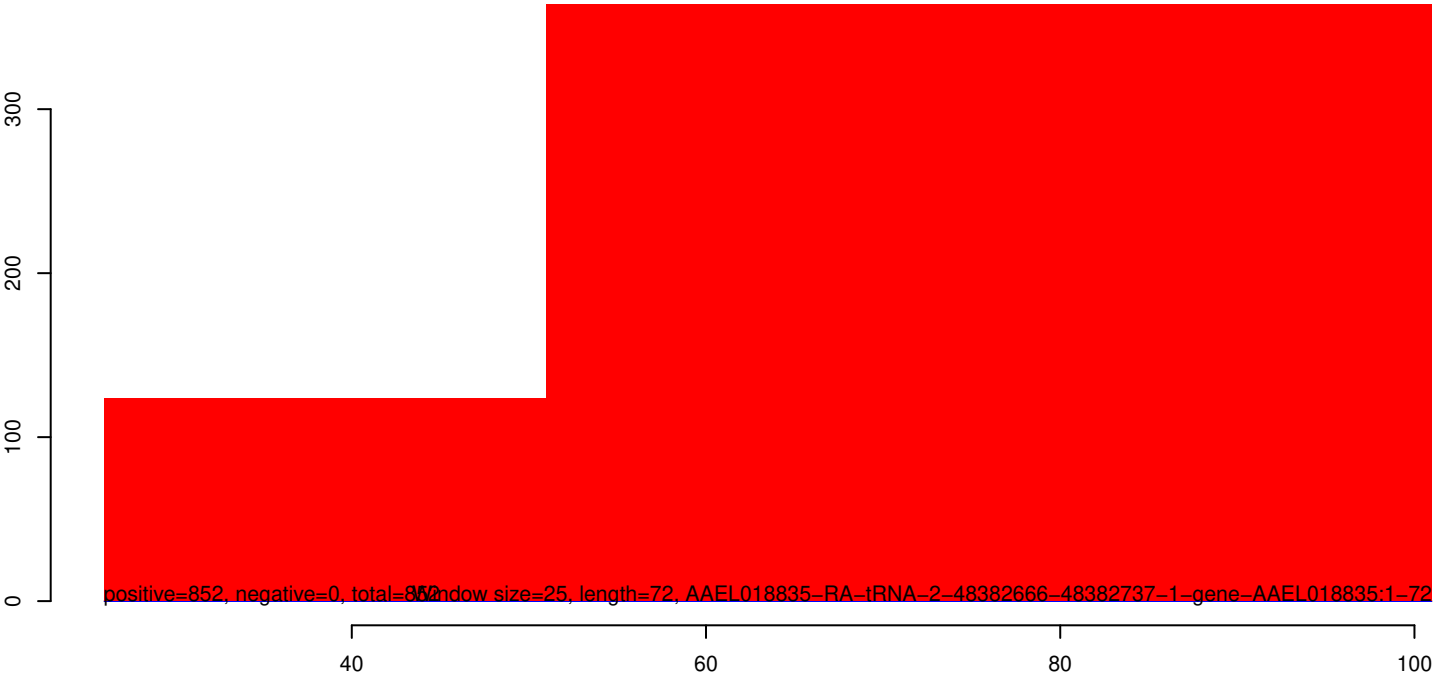
AeAeg_Whole_ZIKVdr_In_RNA_GP.18_23.rep



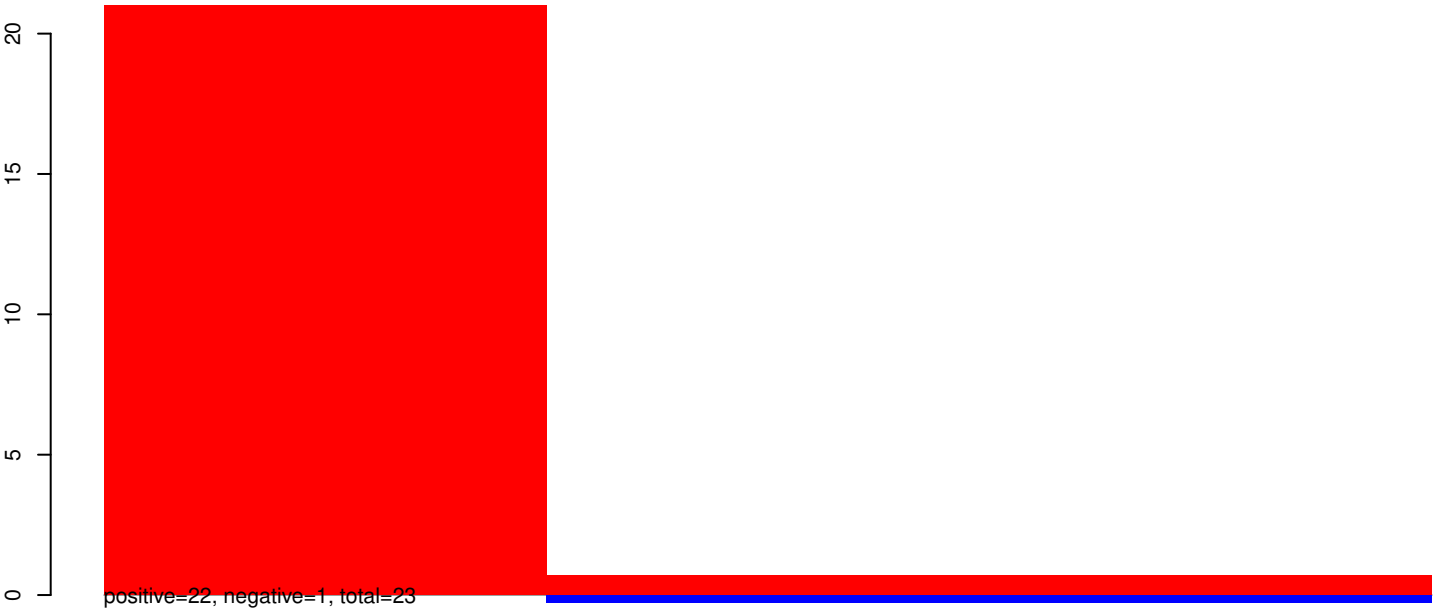
AeAeg_Whole_ZIKVdr_In_RNA_GP.24_35.rep



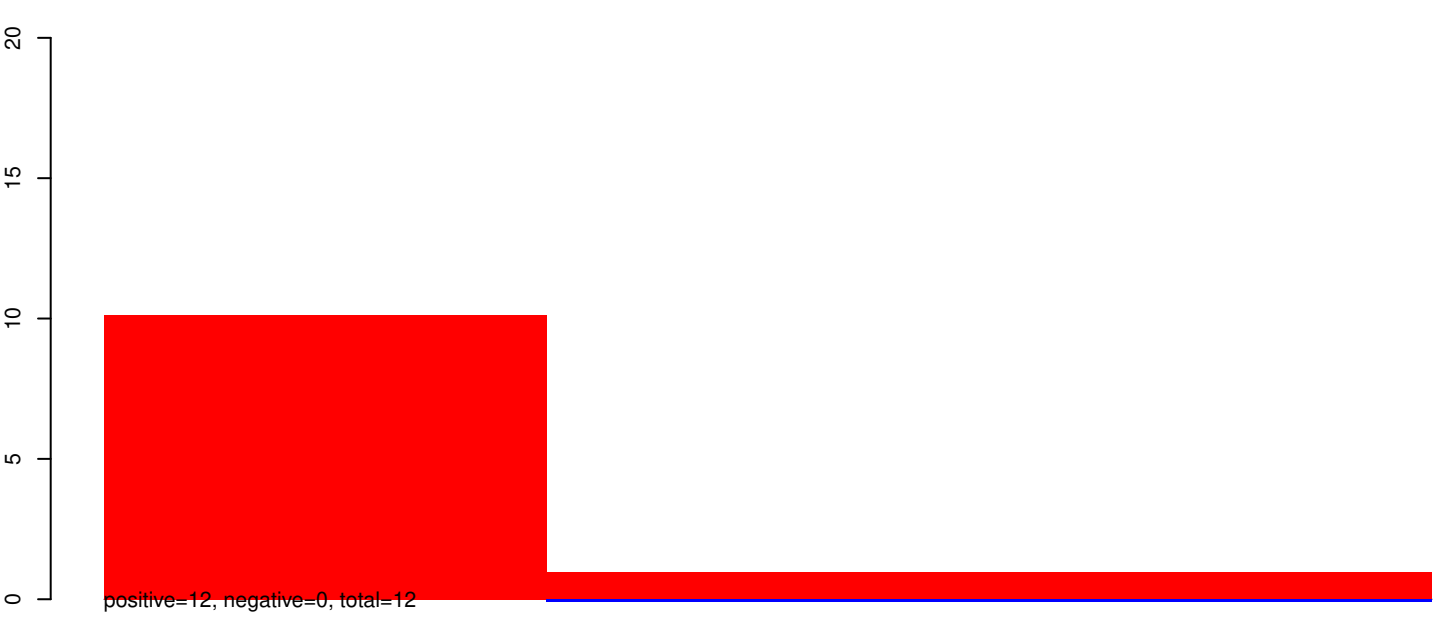
AeAeg_Whole_ZIKVdr_In_RNA_GP.rep



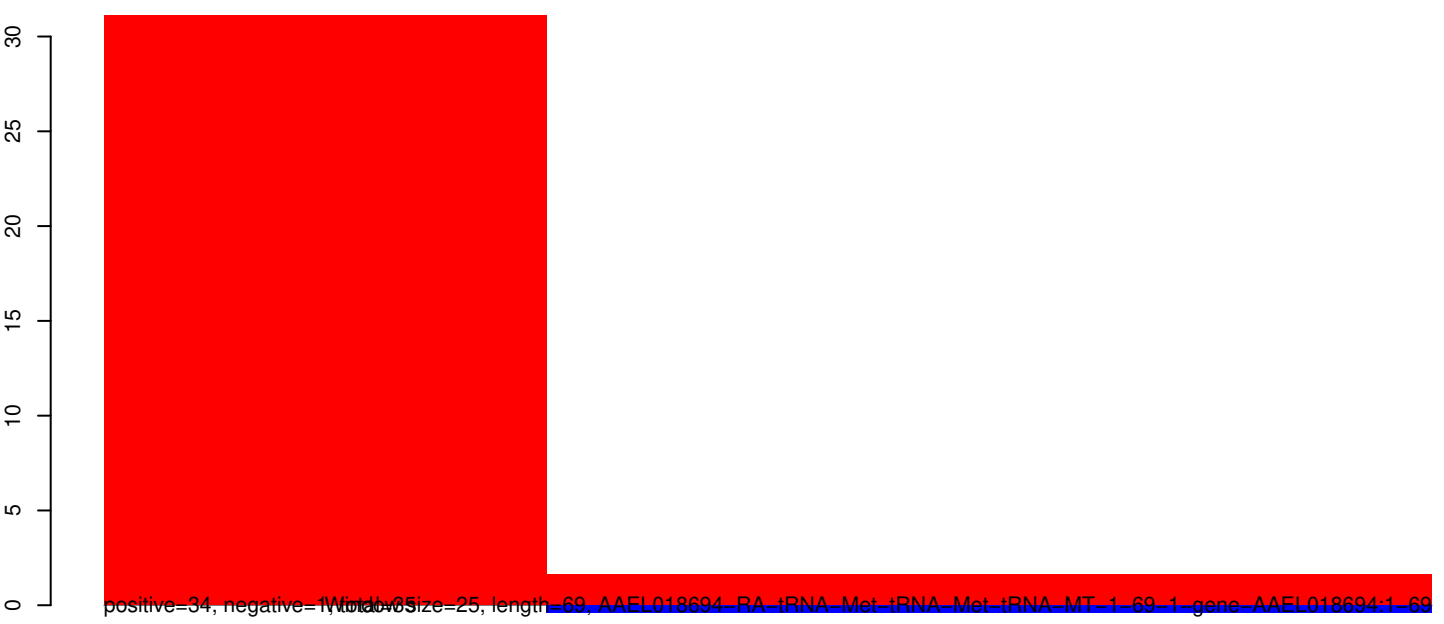
AeAeg_Whole_ZIKVdr_In_RNA_GP.18_23.rep



AeAeg_Whole_ZIKVdr_In_RNA_GP.24_35.rep

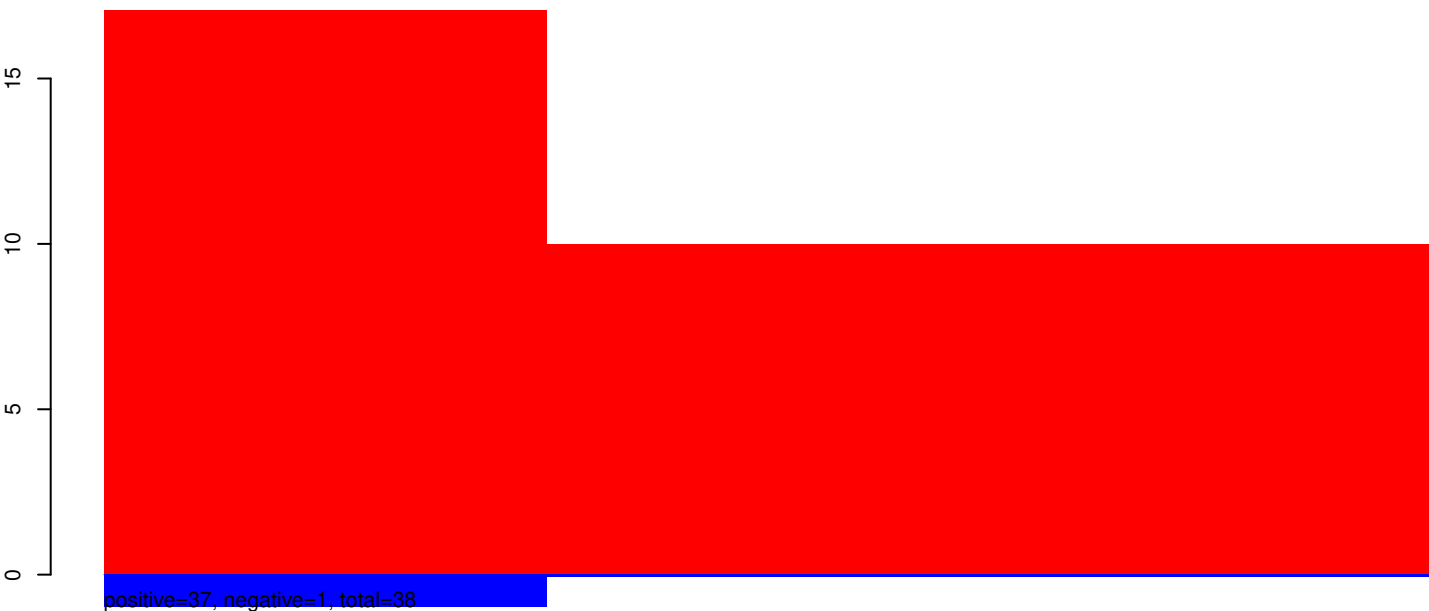


AeAeg_Whole_ZIKVdr_In_RNA_GP.rep

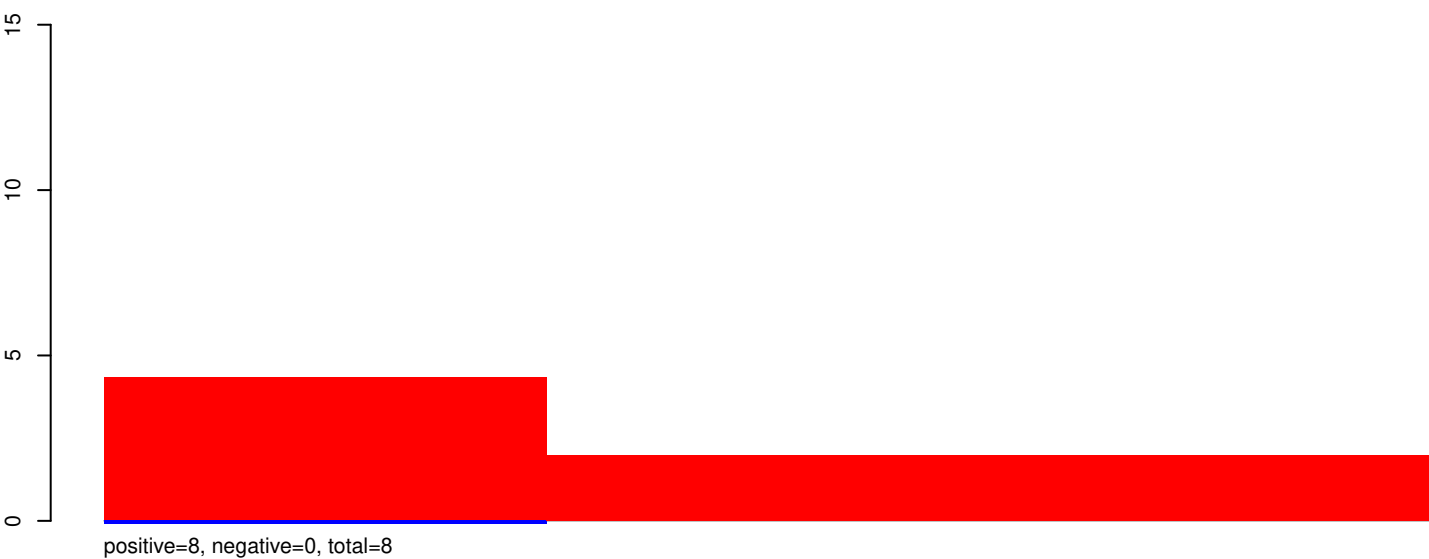


width=65 size=25, length=69, AAEL018694-RA-tRNA-Met-tRNA-Met-tRNA-MT-1-69-1-gene-AAEL018694:1-69

AeAeg_Whole_ZIKVdr_In_RNA_GP.18_23.rep



AeAeg_Whole_ZIKVdr_In_RNA_GP.24_35.rep



AeAeg_Whole_ZIKVdr_In_RNA_GP.rep



Window size=23, length=69, AAEL018693-RA-tRNA-Glu-tRNA-Gln-tRNA-MT-16677-16745-1-gene-AAEL018693:1-69

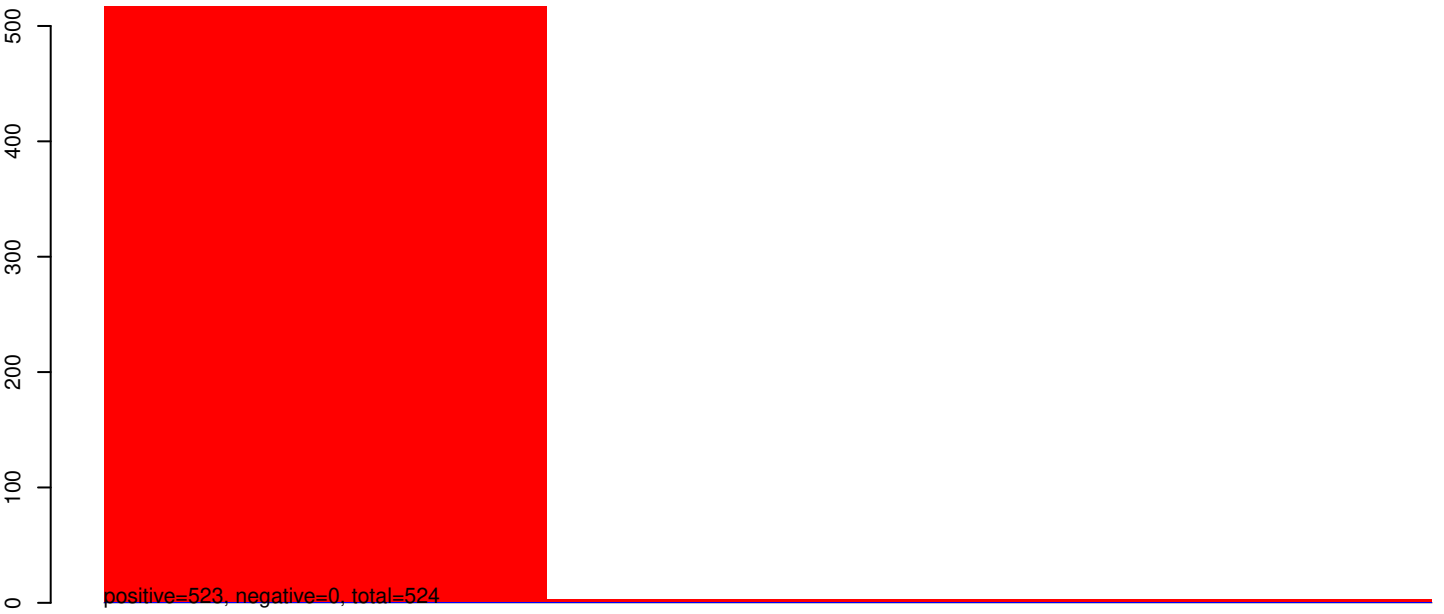
40

60

80

100

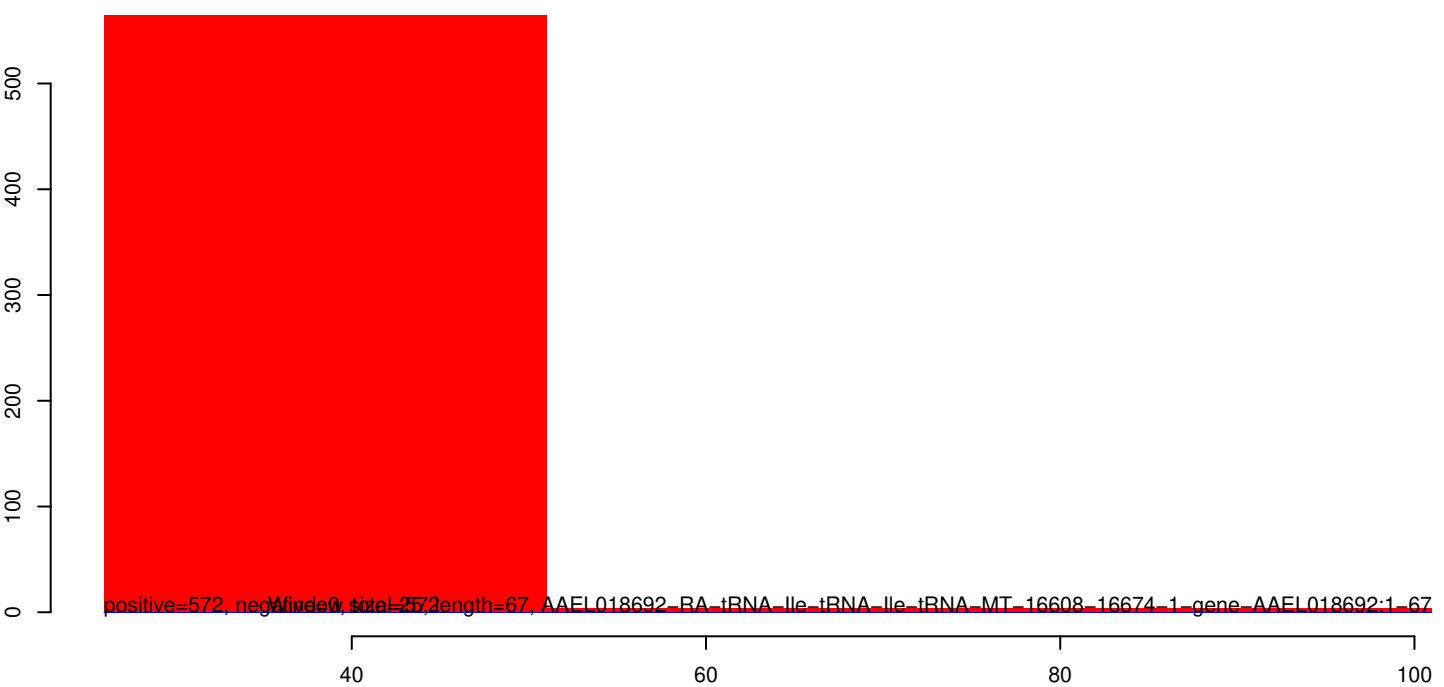
AeAeg_Whole_ZIKVdr_In_RNA_GP.18_23.rep



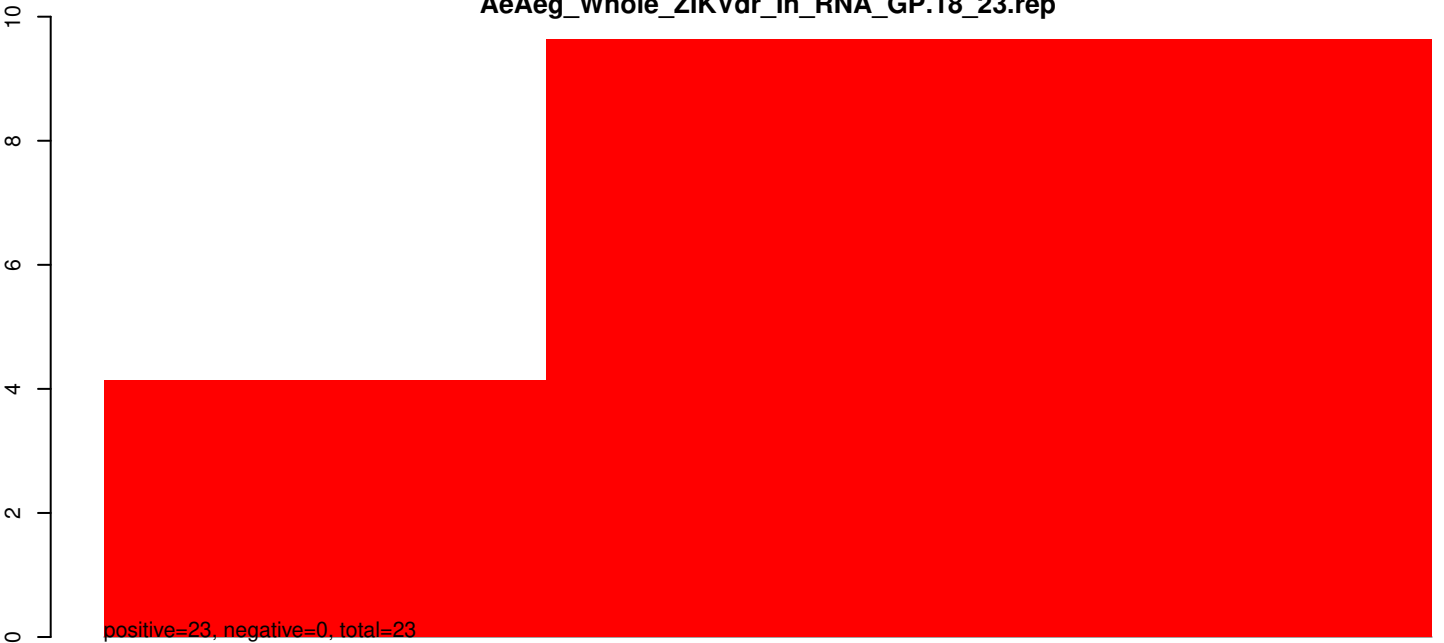
AeAeg_Whole_ZIKVdr_In_RNA_GP.24_35.rep



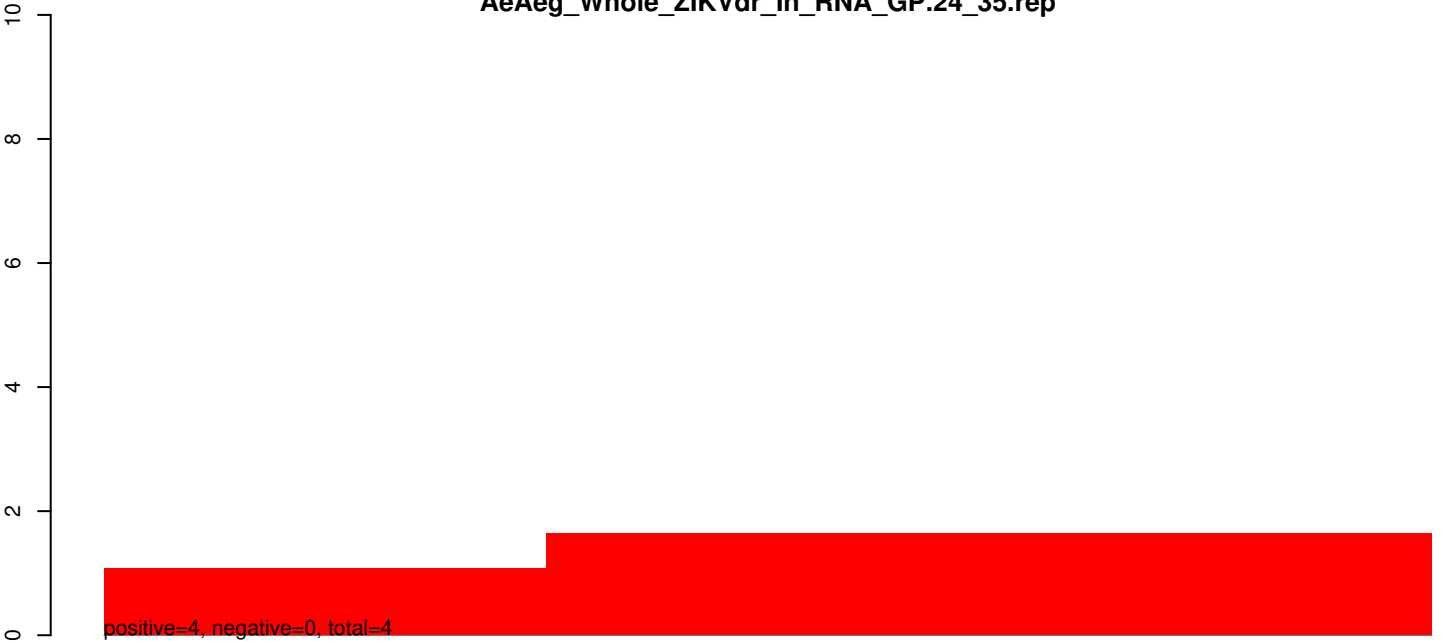
AeAeg_Whole_ZIKVdr_In_RNA_GP.rep



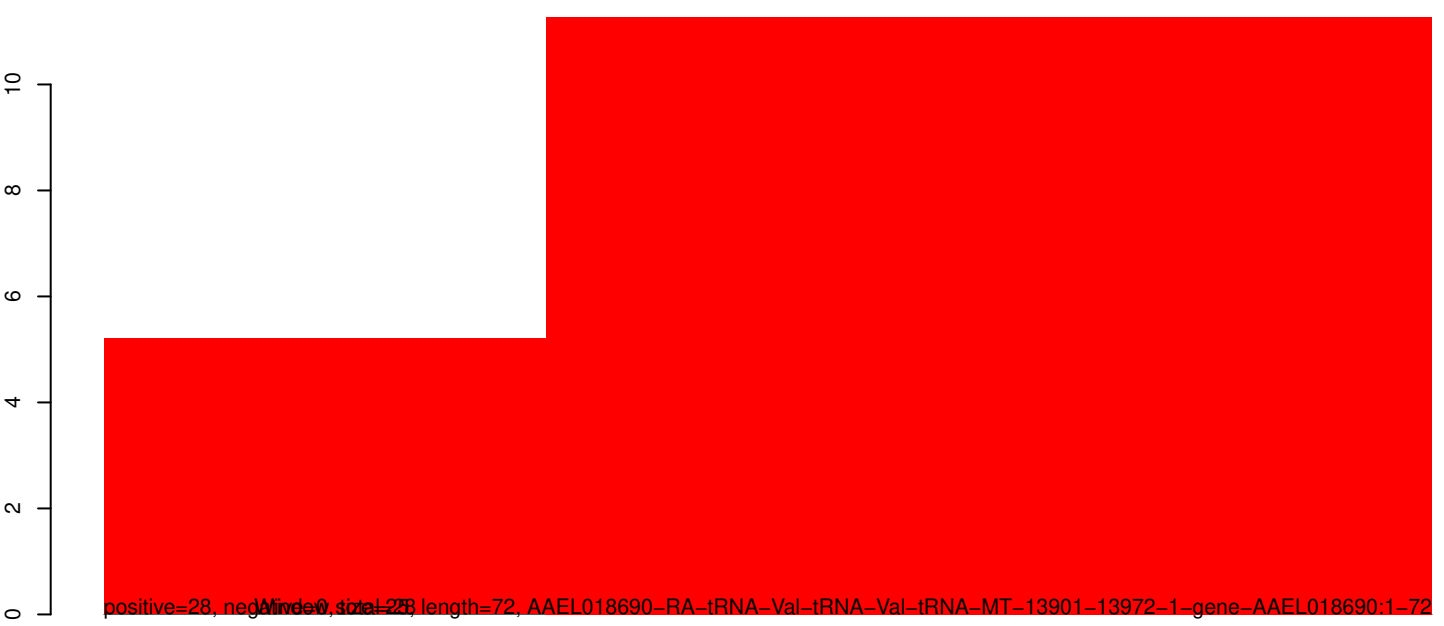
AeAeg_Whole_ZIKVdr_In_RNA_GP.18_23.rep



AeAeg_Whole_ZIKVdr_In_RNA_GP.24_35.rep

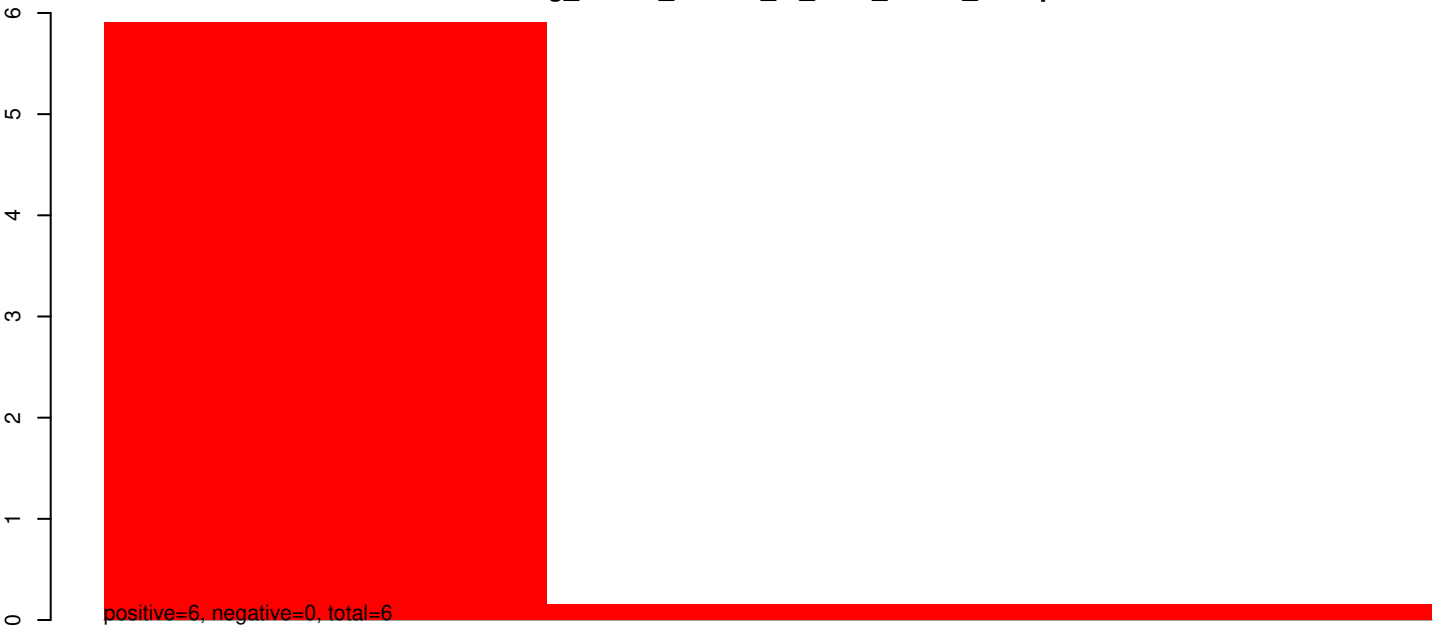


AeAeg_Whole_ZIKVdr_In_RNA_GP.rep



40 60 80 100

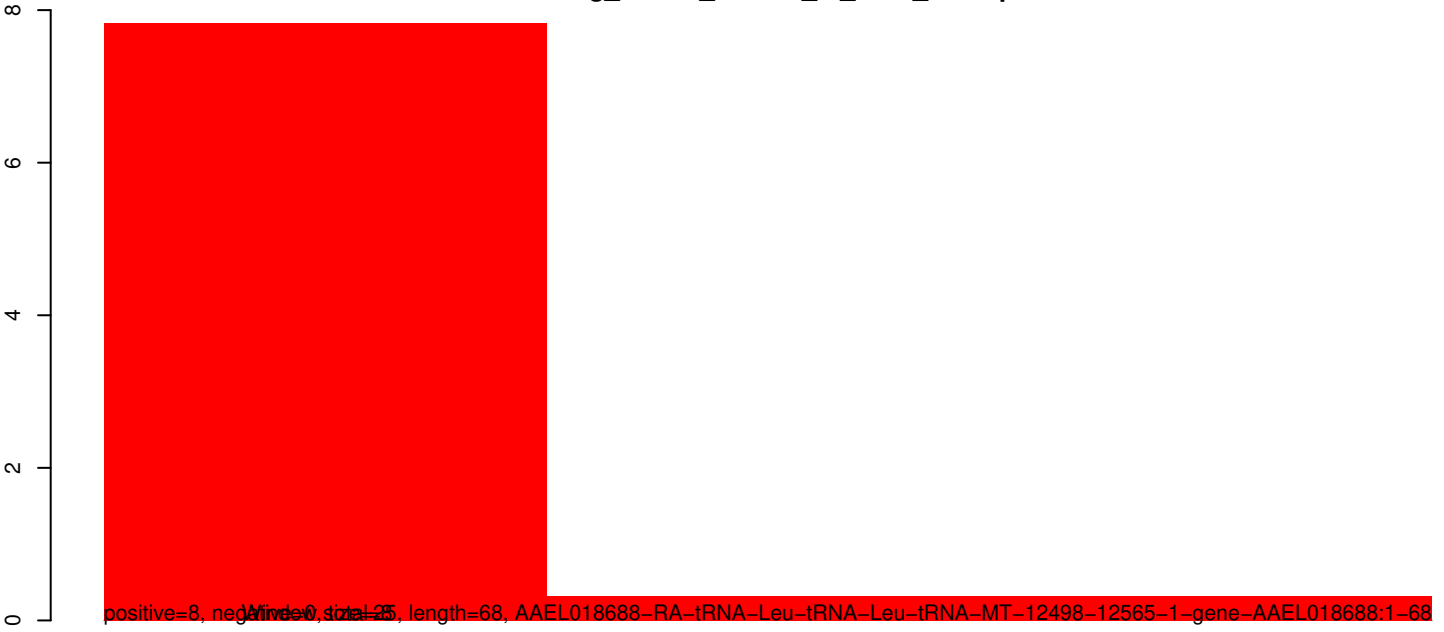
AeAeg_Whole_ZIKVdr_In_RNA_GP.18_23.rep



AeAeg_Whole_ZIKVdr_In_RNA_GP.24_35.rep



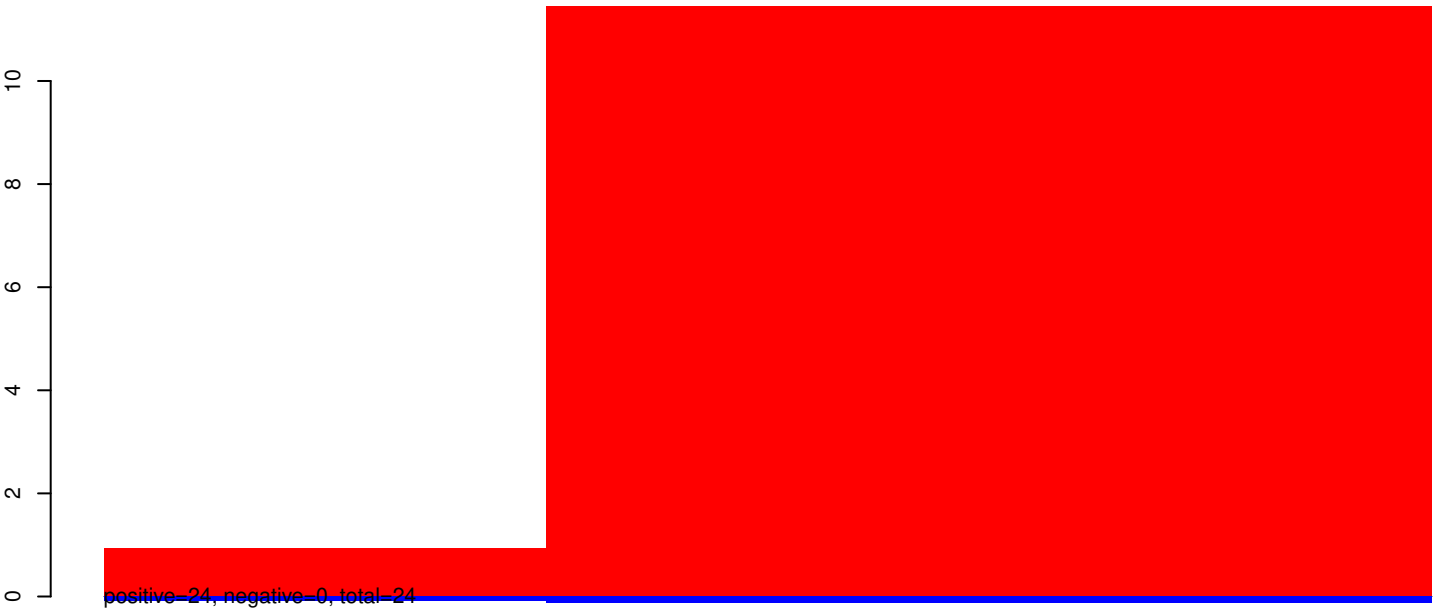
AeAeg_Whole_ZIKVdr_In_RNA_GP.rep



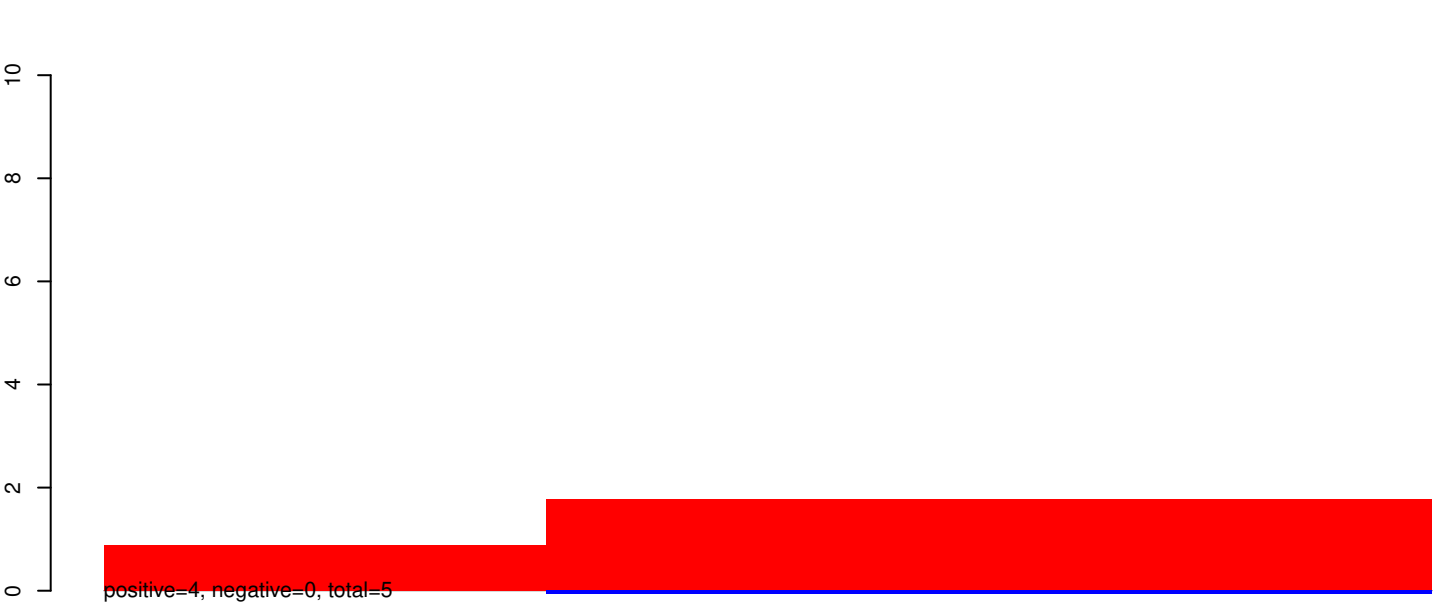
Window size=25, length=68, AAEL018688-RA-tRNA-Leu-tRNA-Leu-tRNA-MT-12498-12565-1-gene-AAEL018688:1-68

40 60 80 100

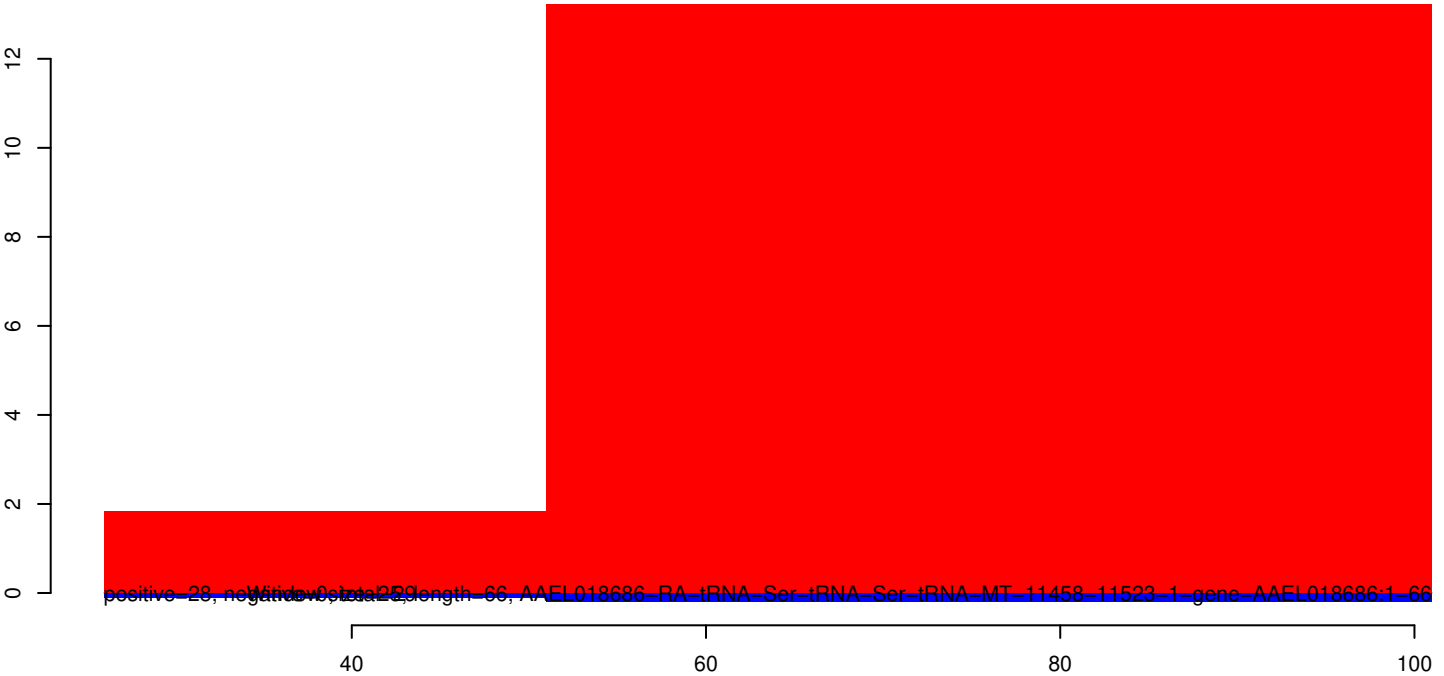
AeAeg_Whole_ZIKVdr_In_RNA_GP.18_23.rep



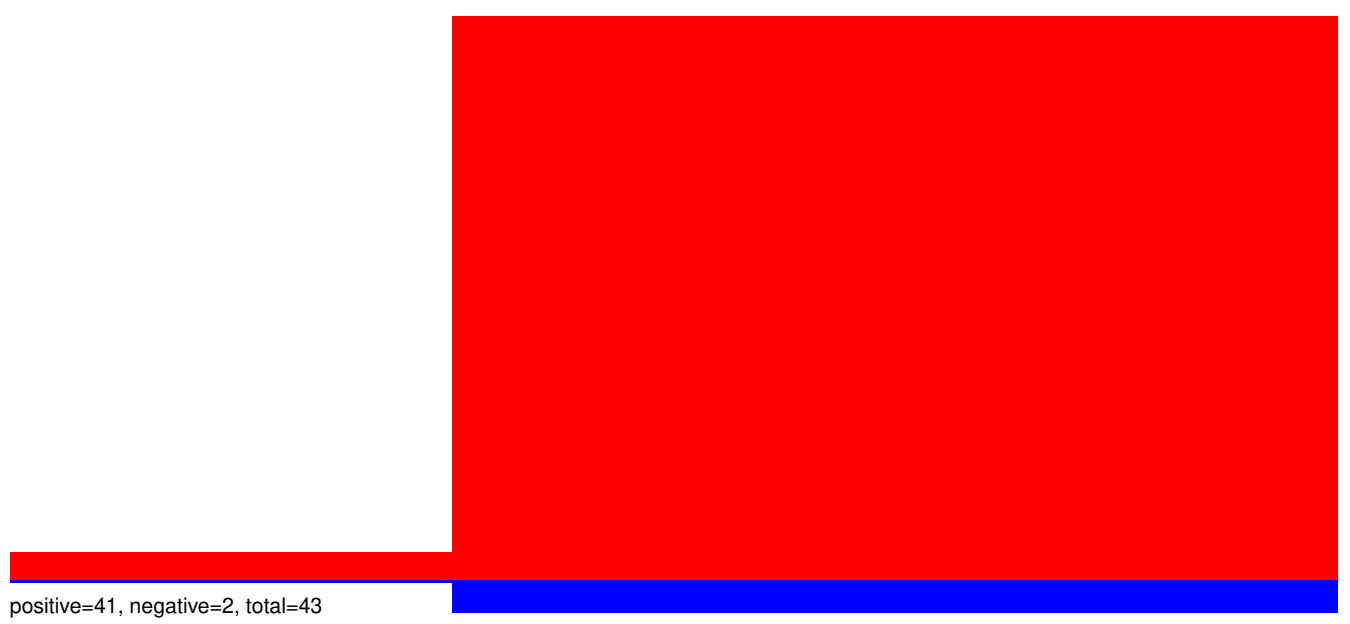
AeAeg_Whole_ZIKVdr_In_RNA_GP.24_35.rep



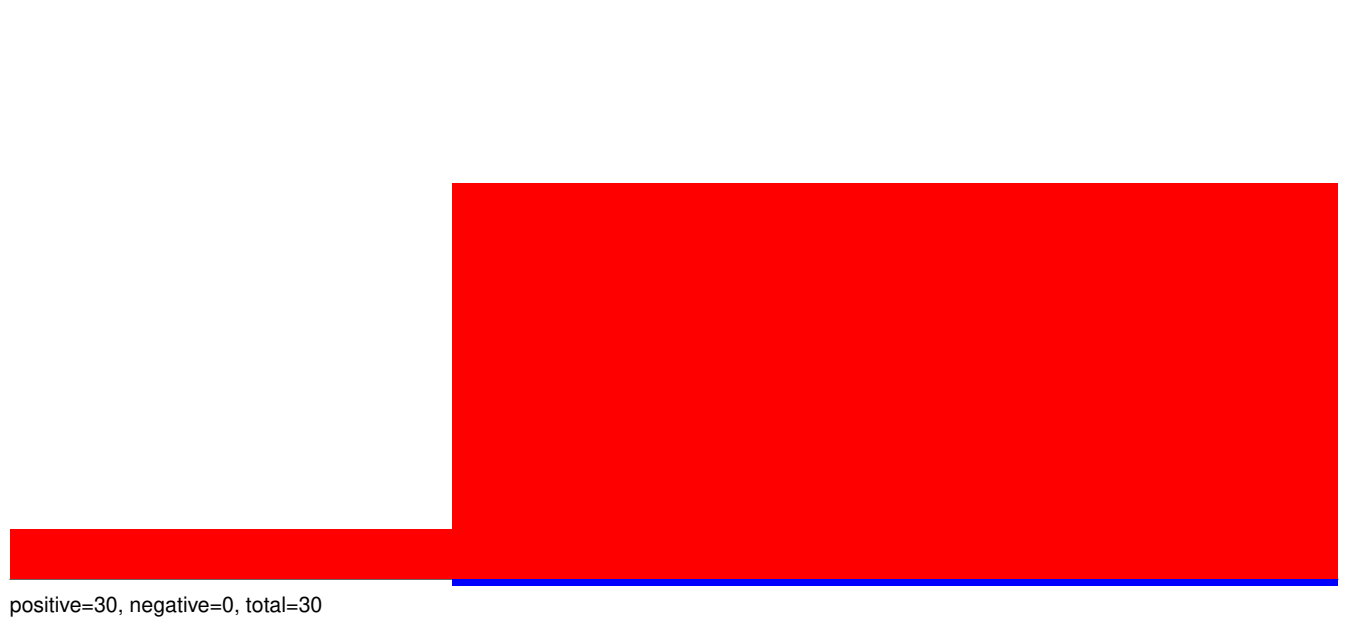
AeAeg_Whole_ZIKVdr_In_RNA_GP.rep



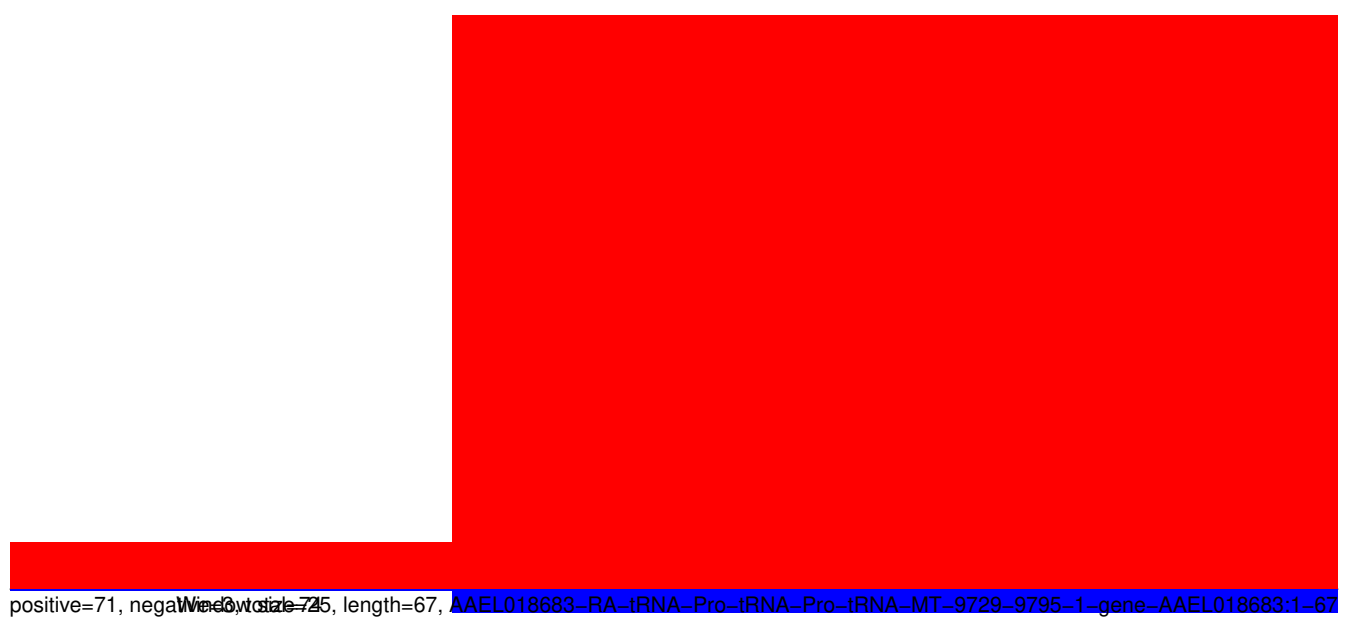
AeAeg_Whole_ZIKVdr_In_RNA_GP.18_23.rep



AeAeg_Whole_ZIKVdr_In_RNA_GP.24_35.rep

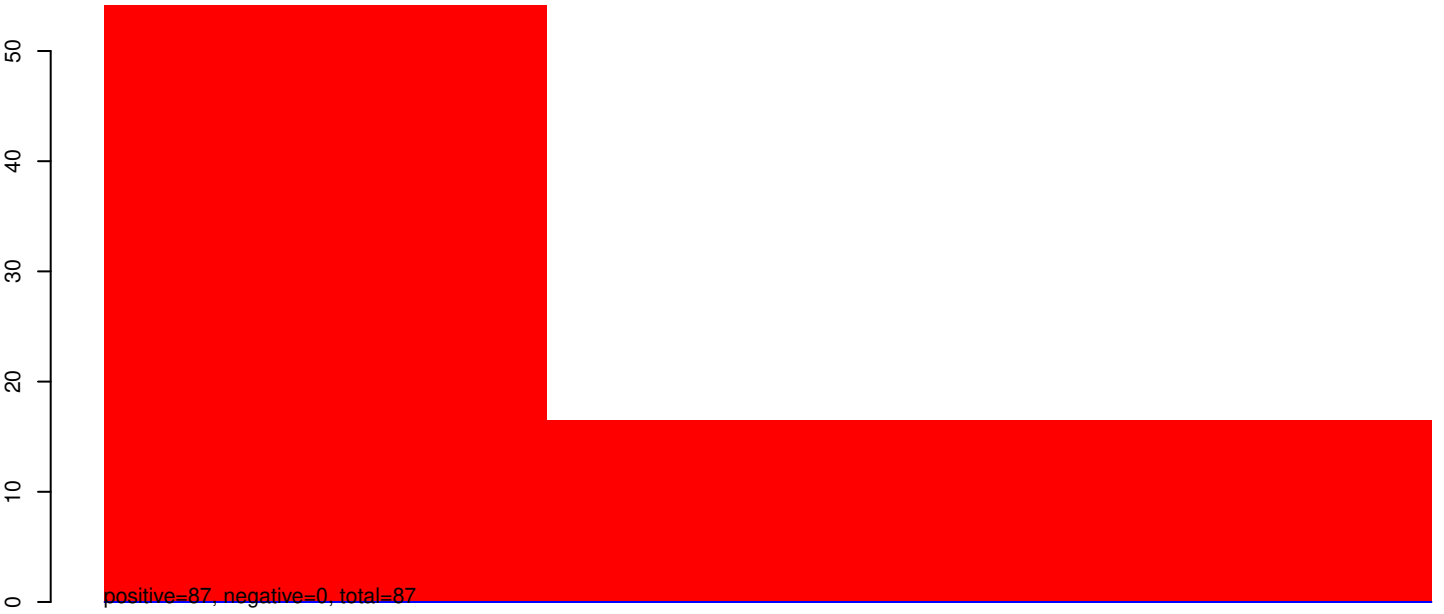


AeAeg_Whole_ZIKVdr_In_RNA_GP.rep



40 60 80 100

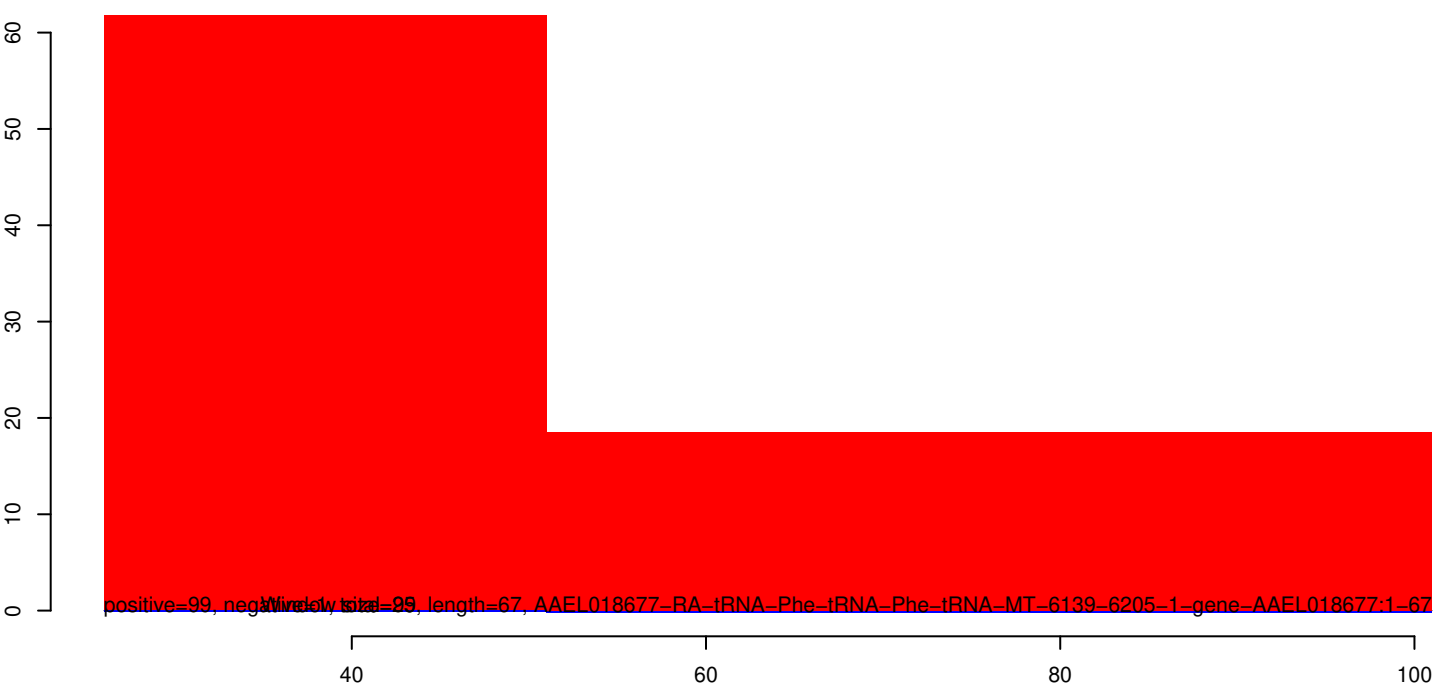
AeAeg_Whole_ZIKVdr_In_RNA_GP.18_23.rep



AeAeg_Whole_ZIKVdr_In_RNA_GP.24_35.rep



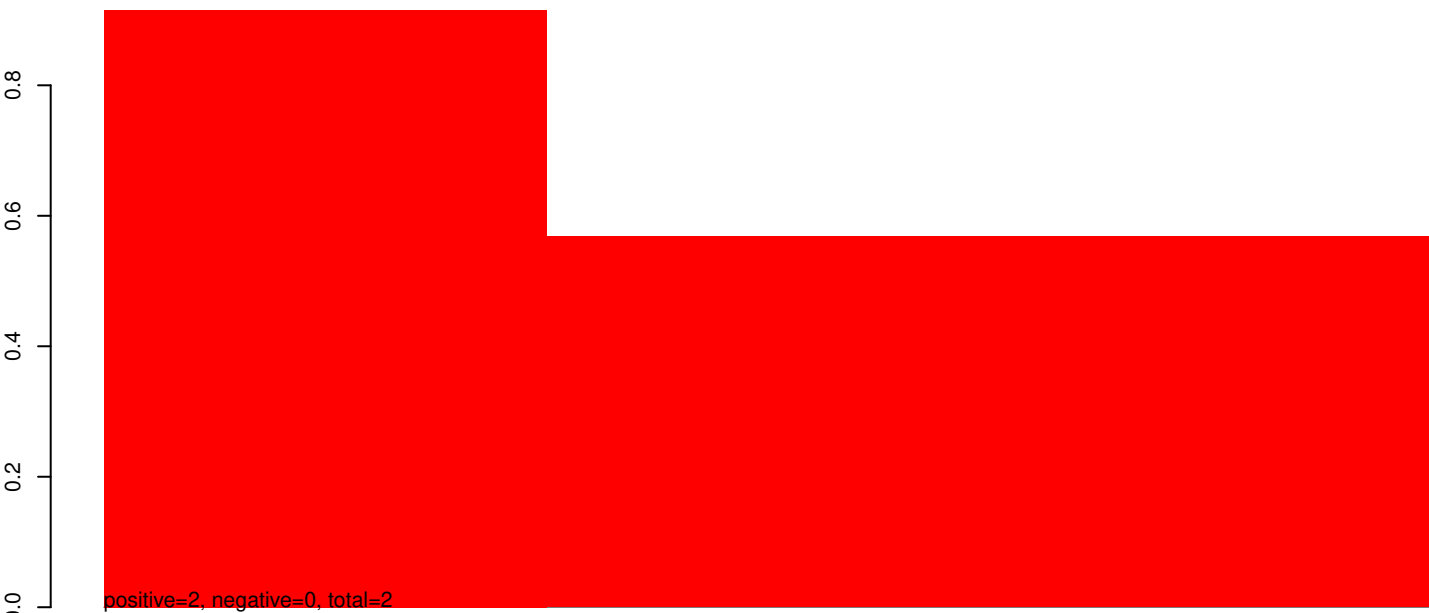
AeAeg_Whole_ZIKVdr_In_RNA_GP.rep



AeAeg_Whole_ZIKVdr_In_RNA_GP.18_23.rep



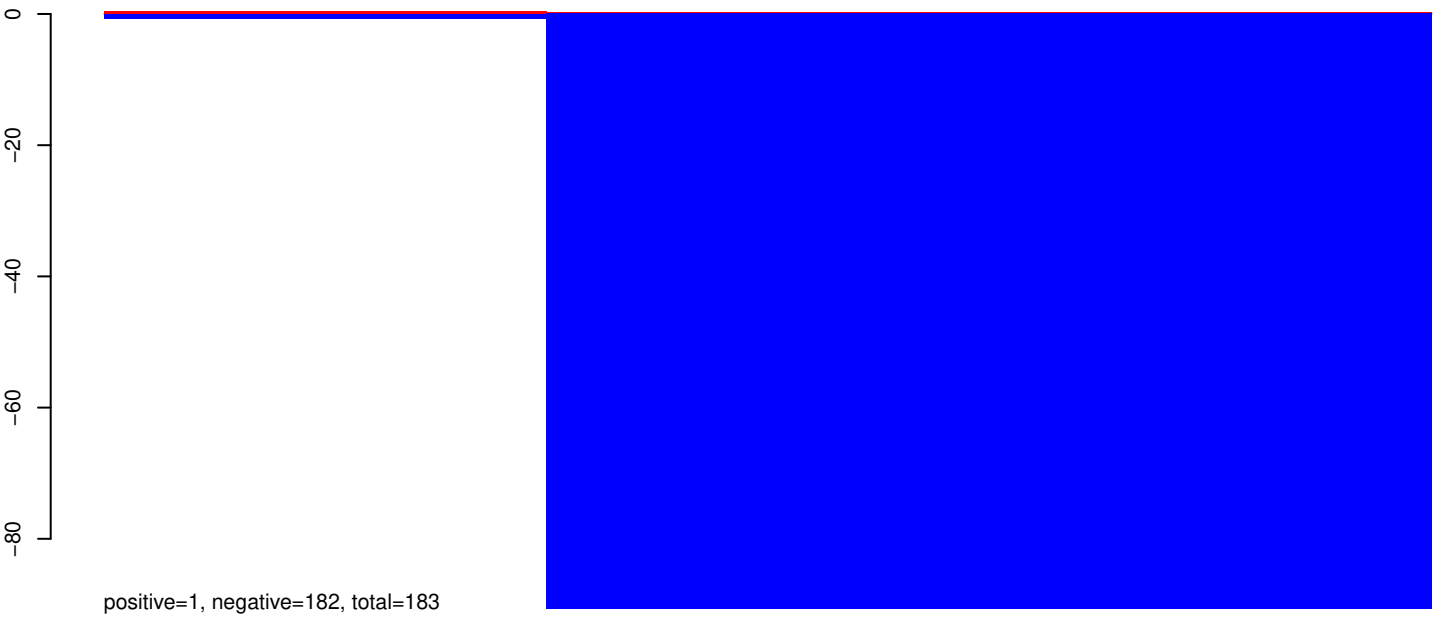
AeAeg_Whole_ZIKVdr_In_RNA_GP.24_35.rep



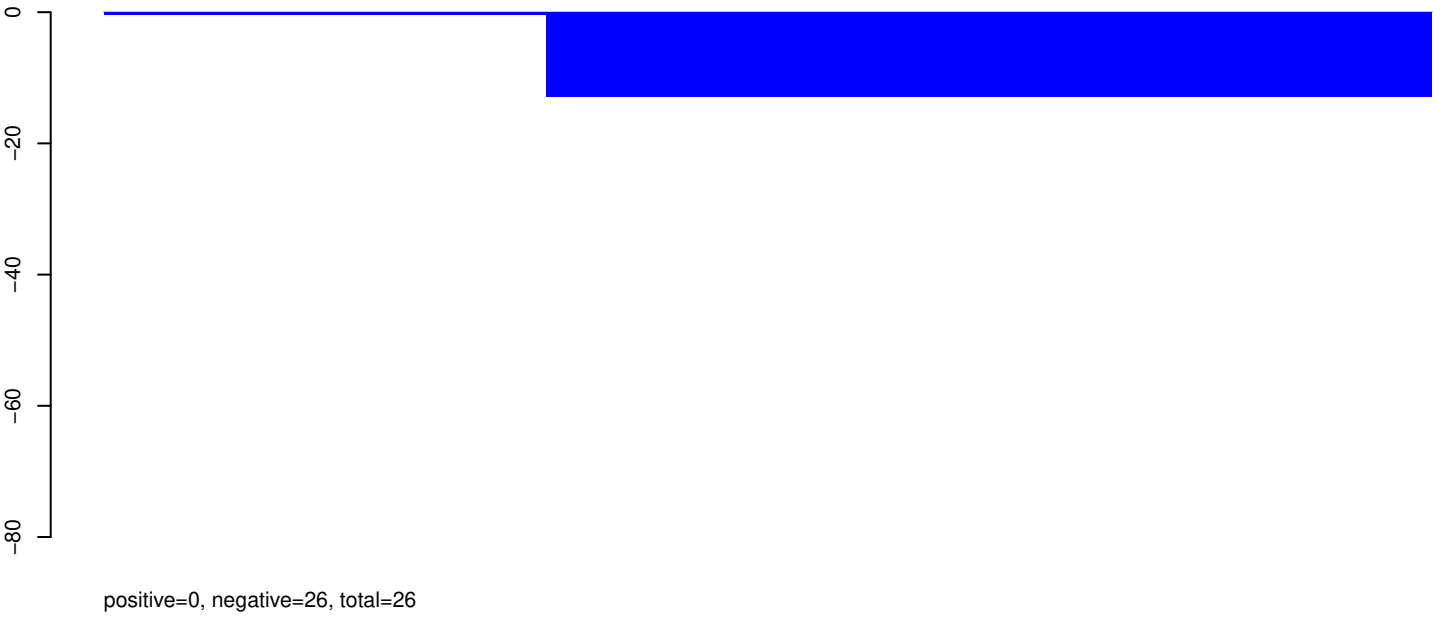
AeAeg_Whole_ZIKVdr_In_RNA_GP.rep



AeAeg_Whole_ZIKVdr_In_RNA_GP.18_23.rep



AeAeg_Whole_ZIKVdr_In_RNA_GP.24_35.rep

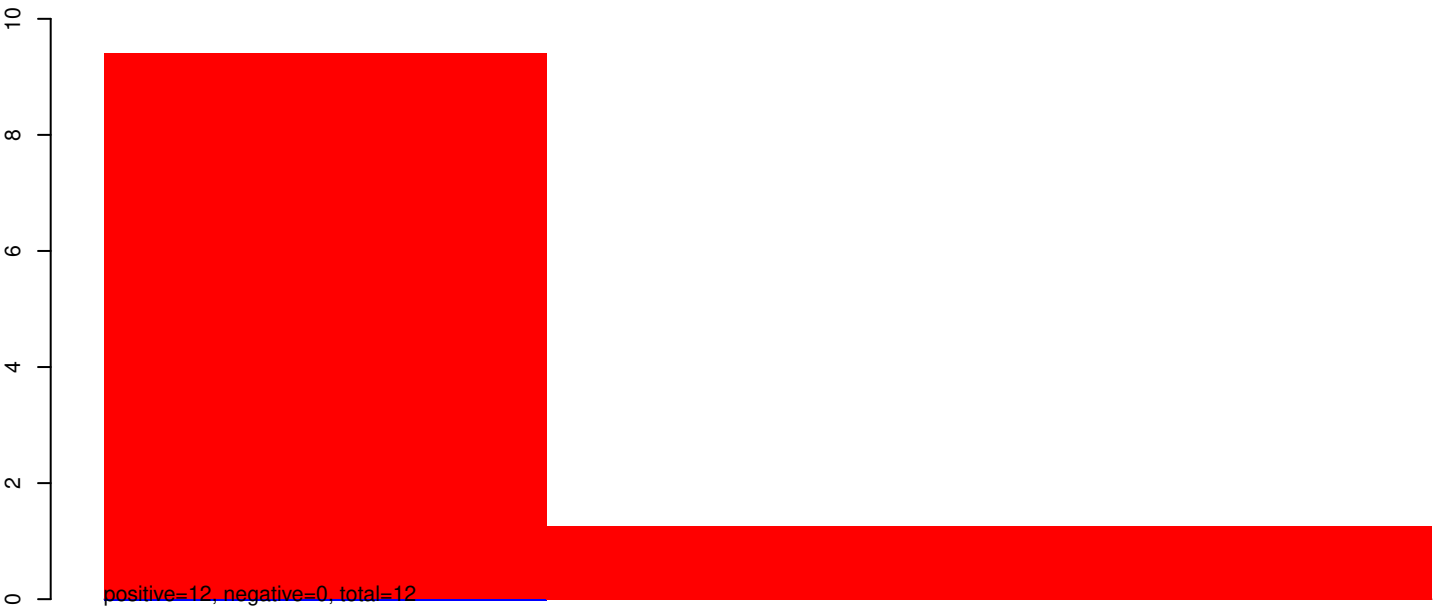


AeAeg_Whole_ZIKVdr_In_RNA_GP.rep

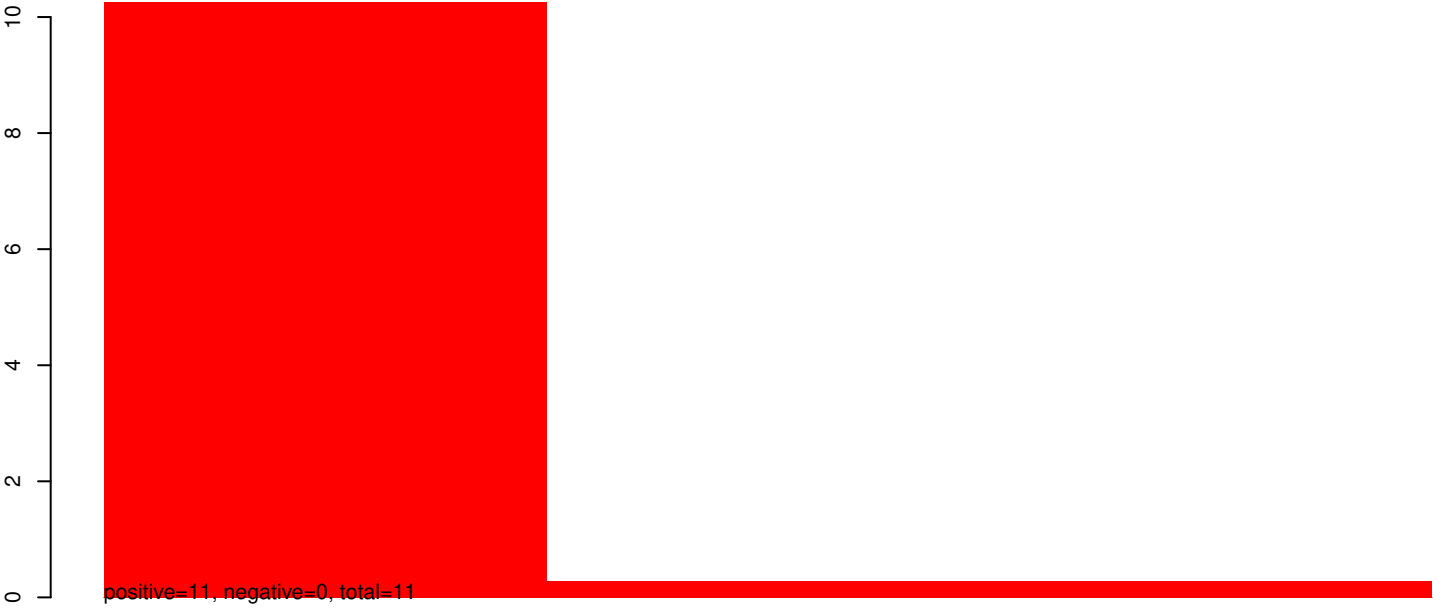


40 60 80 100

AeAeg_Whole_ZIKVdr_In_RNA_GP.18_23.rep



AeAeg_Whole_ZIKVdr_In_RNA_GP.24_35.rep



AeAeg_Whole_ZIKVdr_In_RNA_GP.rep

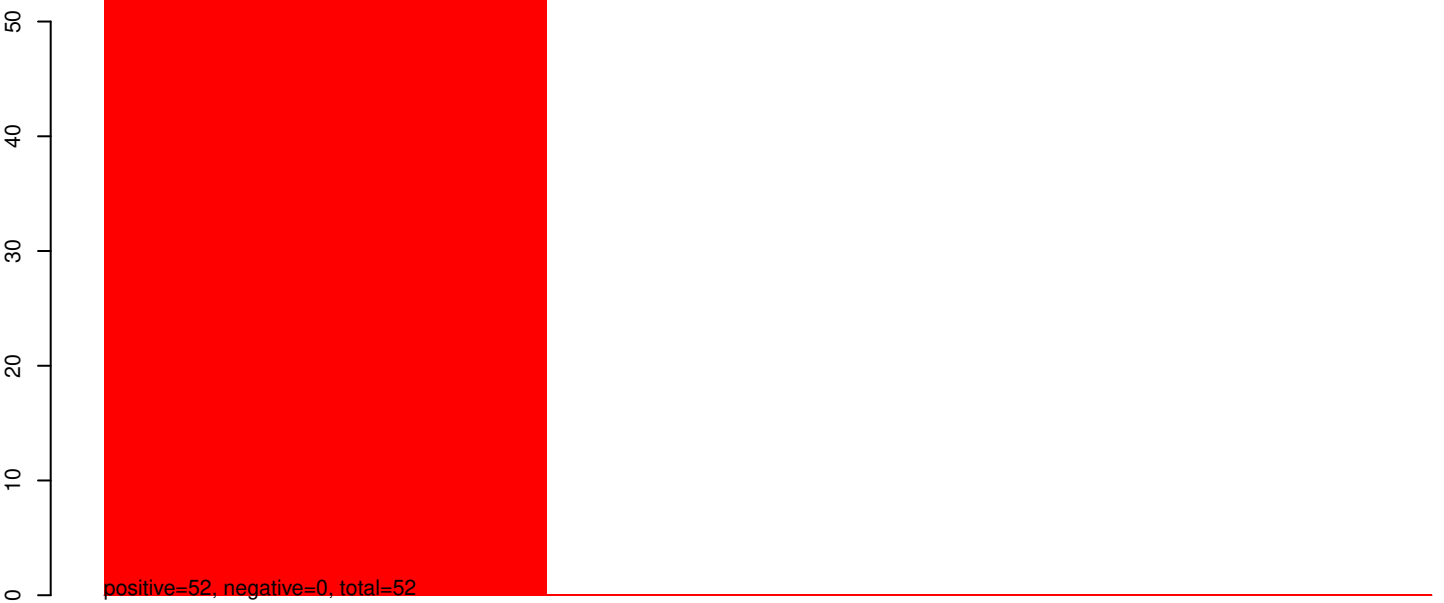


40 60 80 100

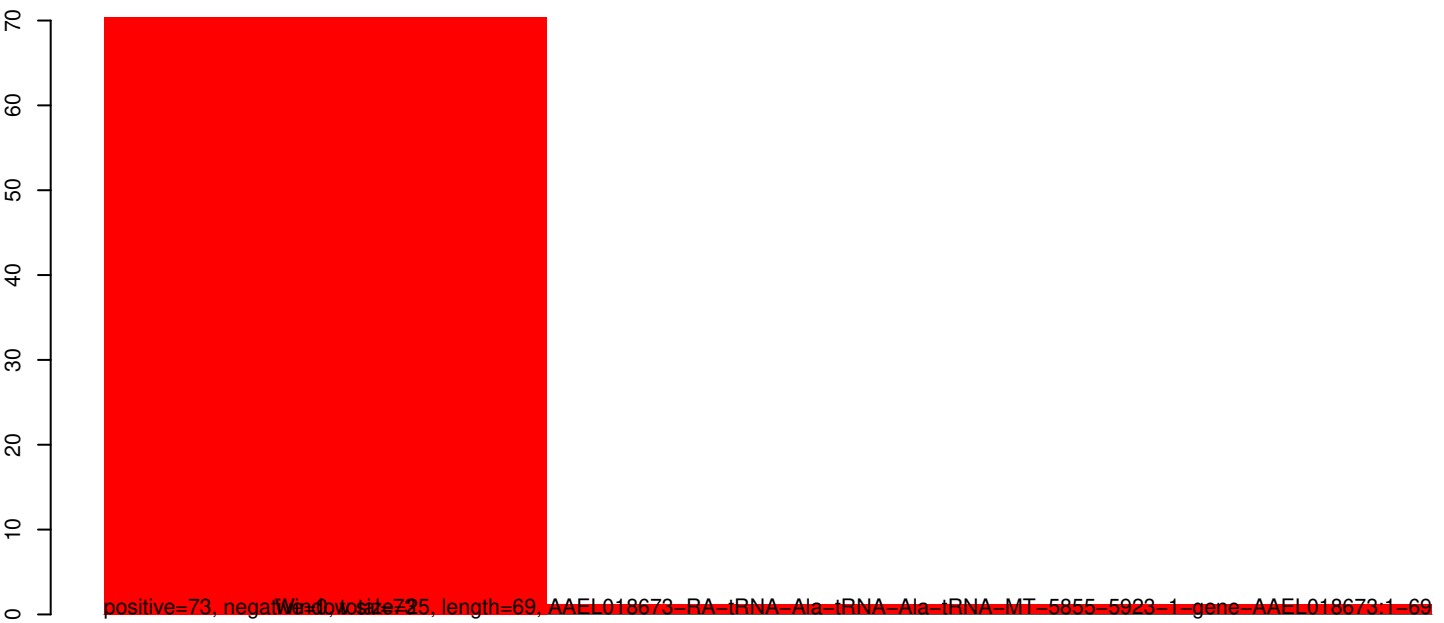
AeAeg_Whole_ZIKVdr_In_RNA_GP.18_23.rep



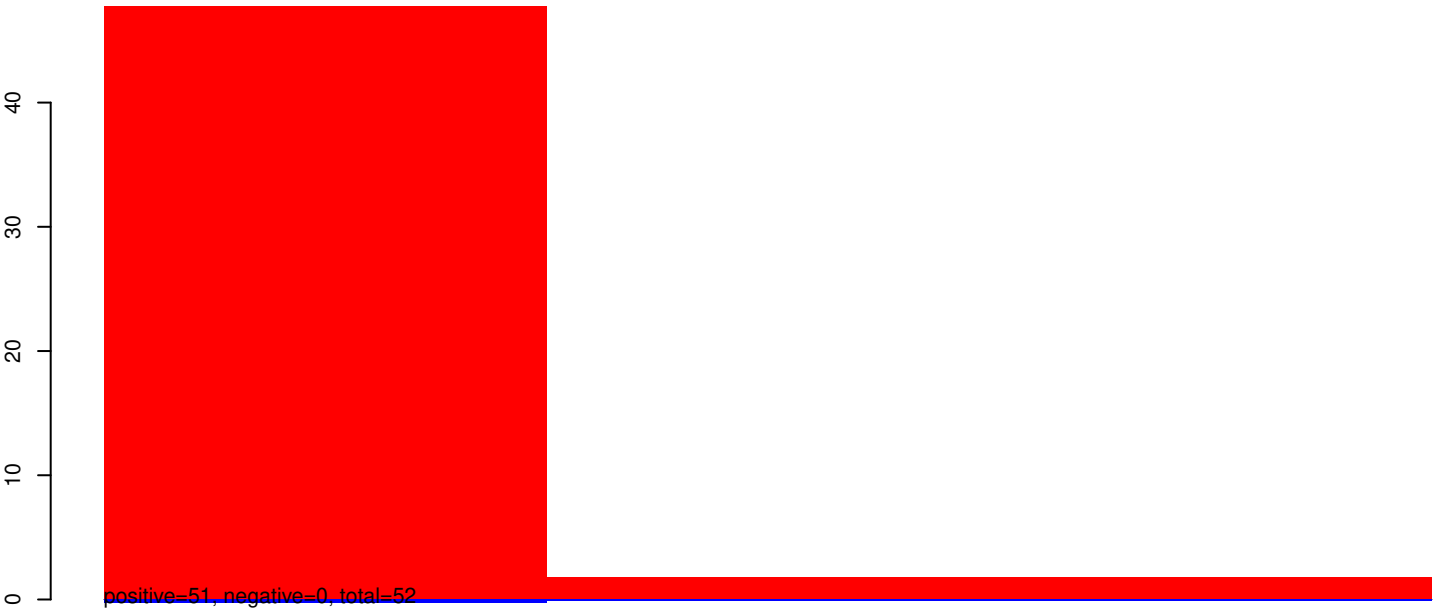
AeAeg_Whole_ZIKVdr_In_RNA_GP.24_35.rep



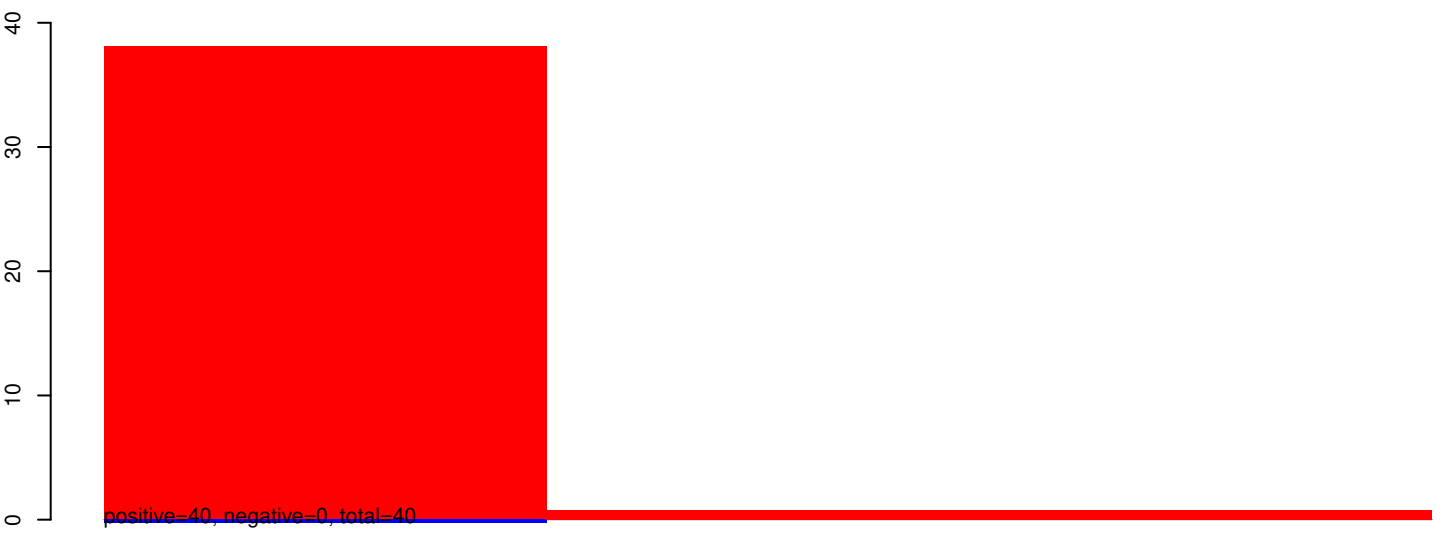
AeAeg_Whole_ZIKVdr_In_RNA_GP.rep



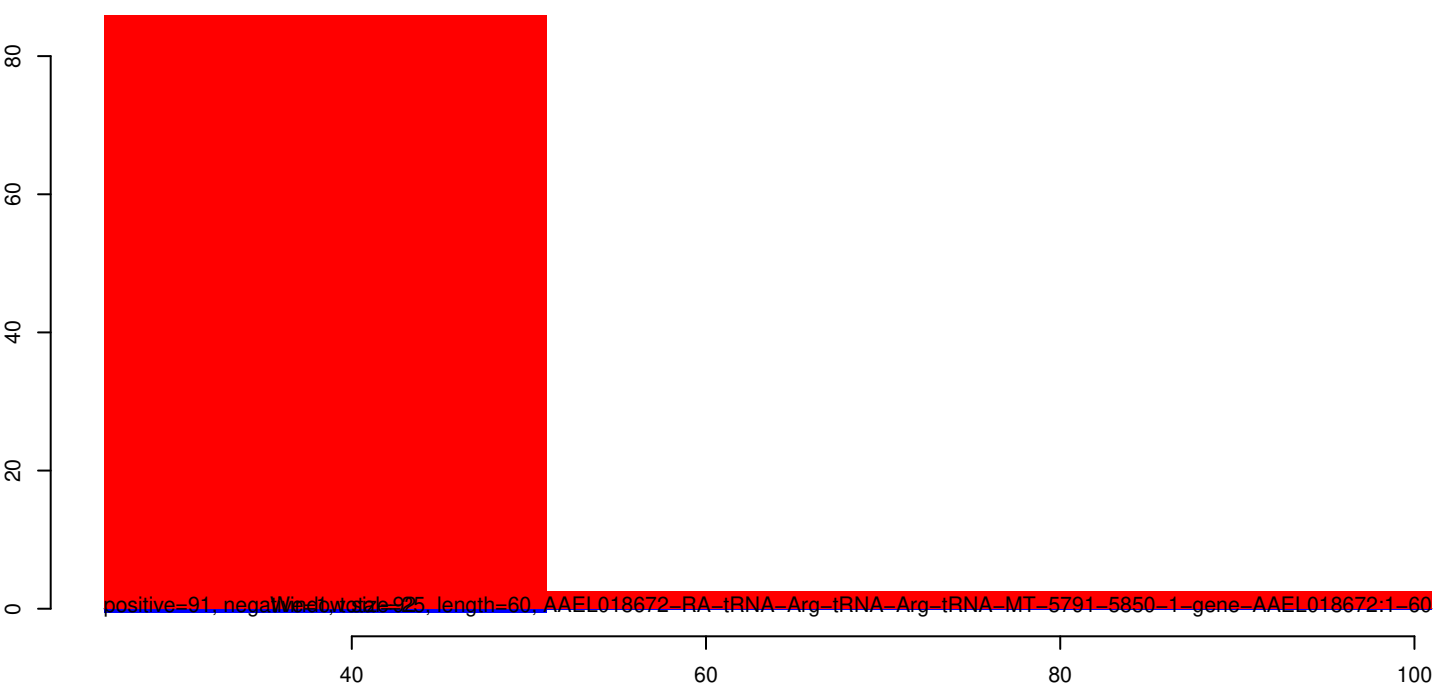
AeAeg_Whole_ZIKVdr_In_RNA_GP.18_23.rep



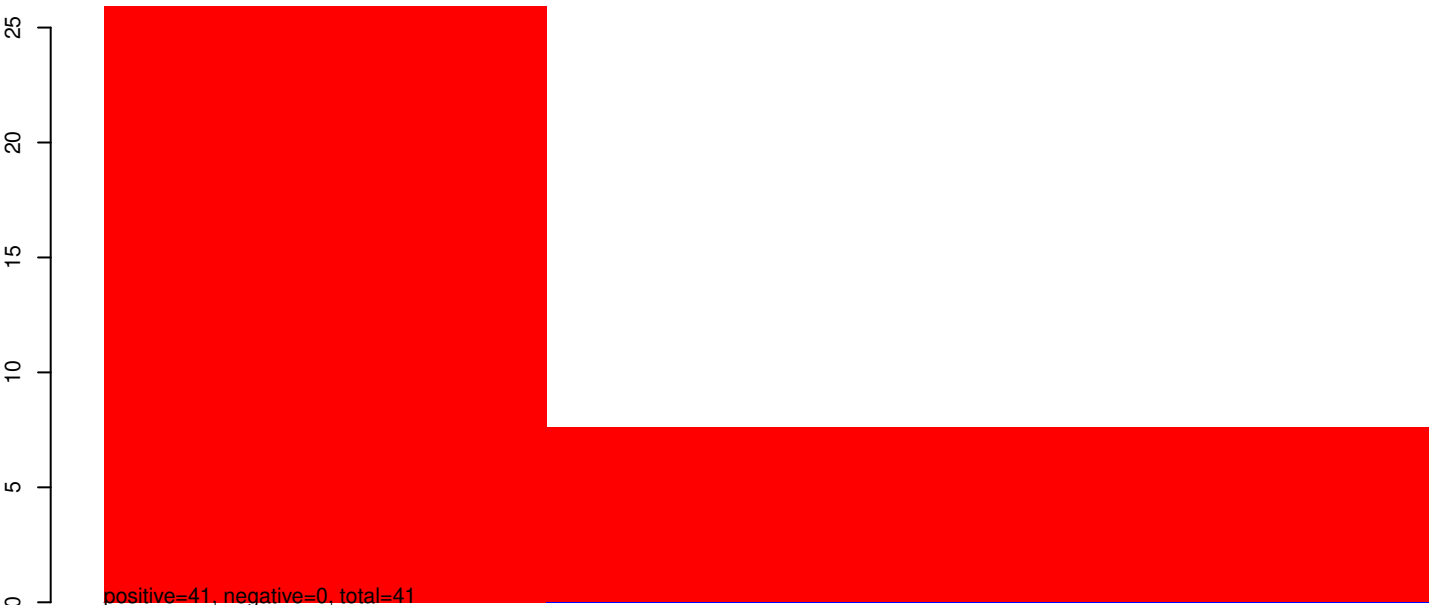
AeAeg_Whole_ZIKVdr_In_RNA_GP.24_35.rep



AeAeg_Whole_ZIKVdr_In_RNA_GP.rep



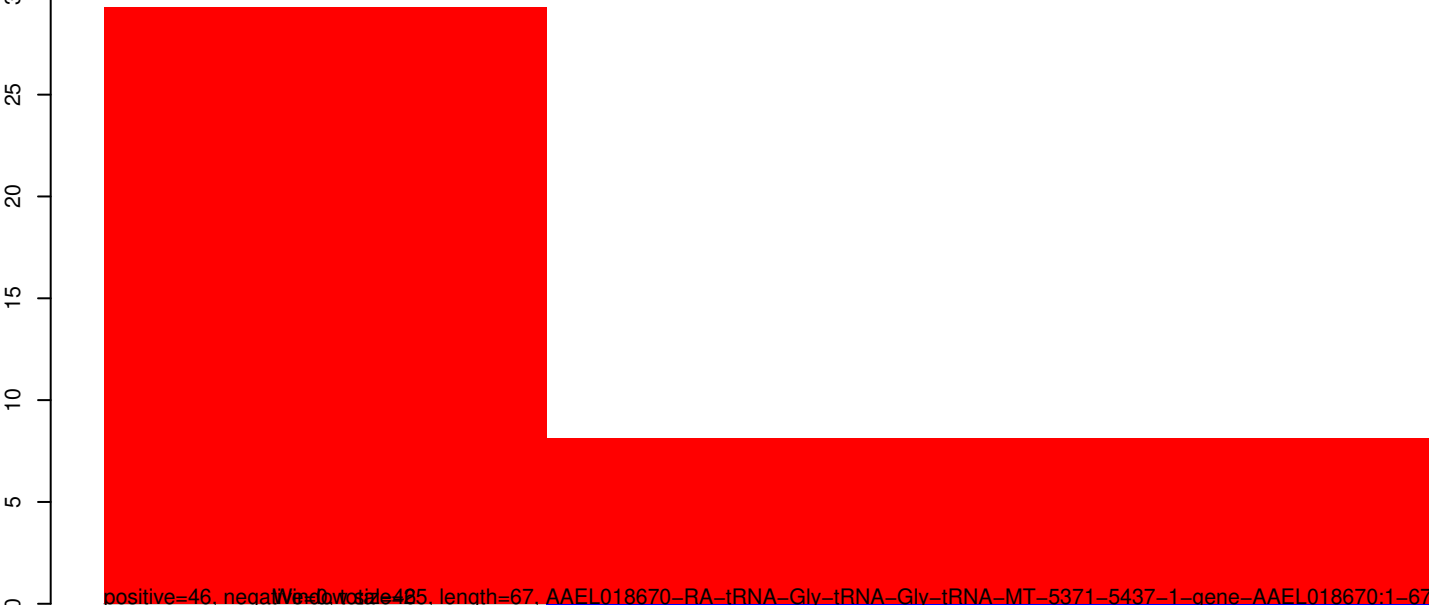
AeAeg_Whole_ZIKVdr_In_RNA_GP.18_23.rep



AeAeg_Whole_ZIKVdr_In_RNA_GP.24_35.rep

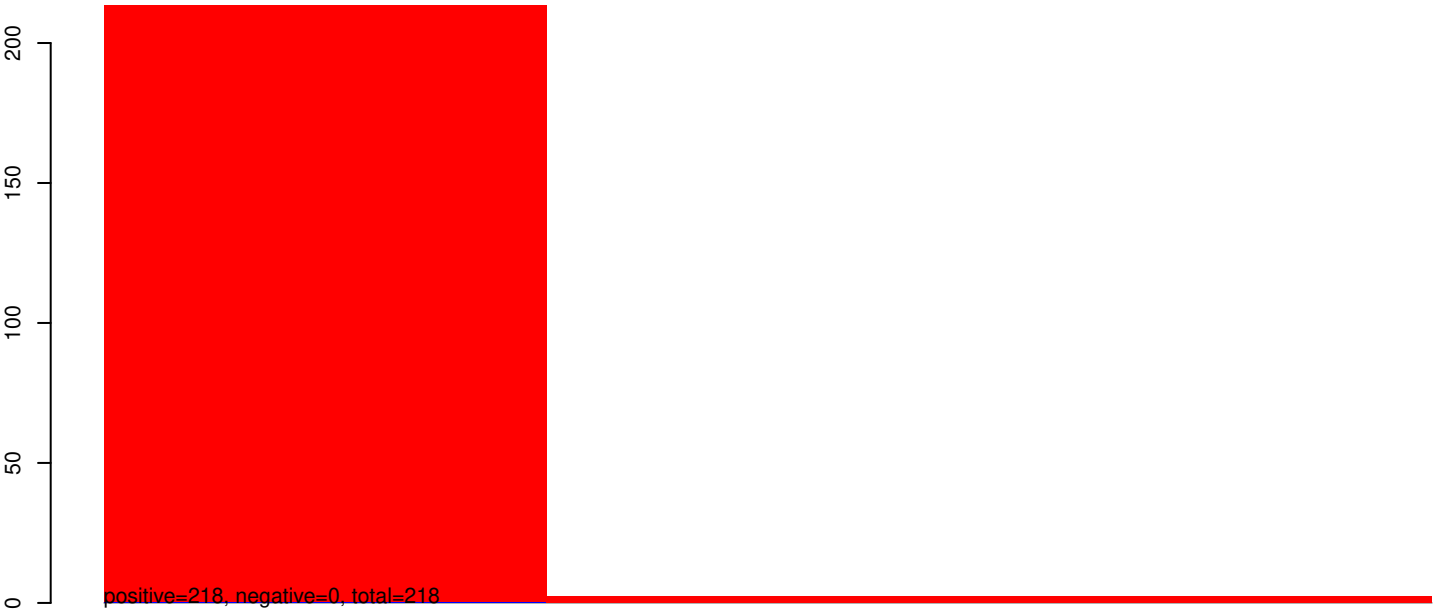


AeAeg_Whole_ZIKVdr_In_RNA_GP.rep



40 60 80 100

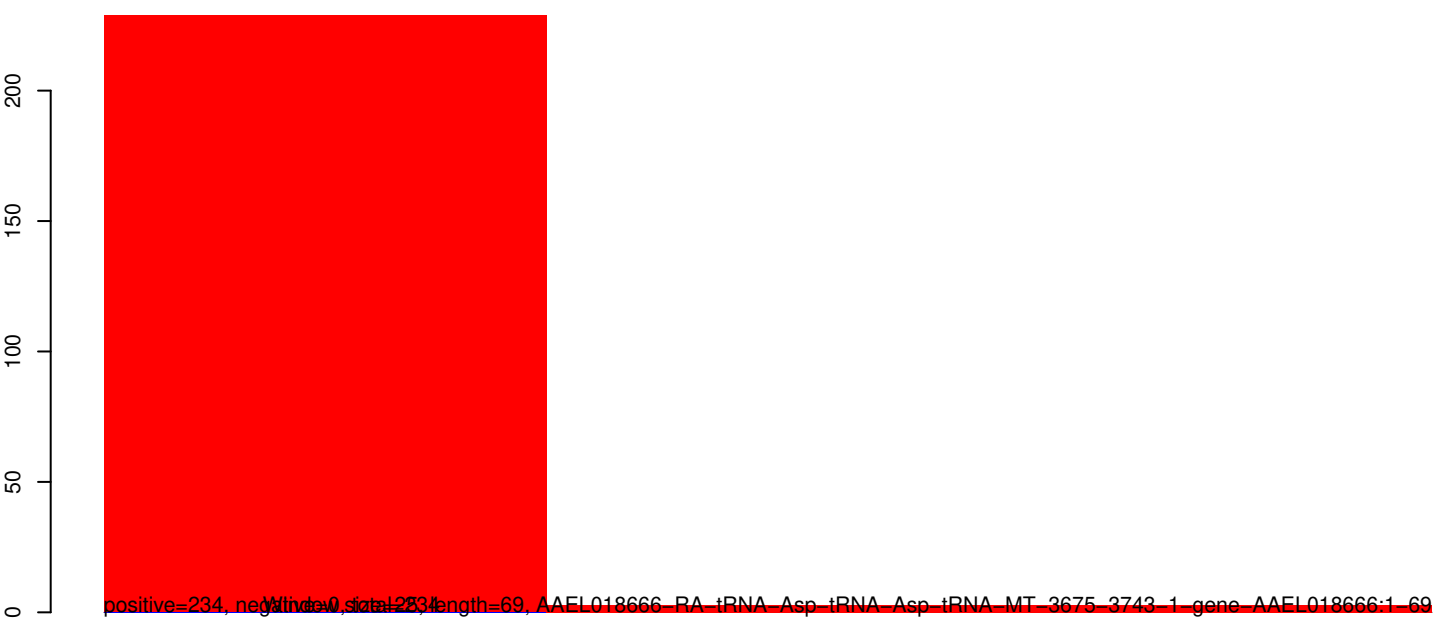
AeAeg_Whole_ZIKVdr_In_RNA_GP.18_23.rep



AeAeg_Whole_ZIKVdr_In_RNA_GP.24_35.rep



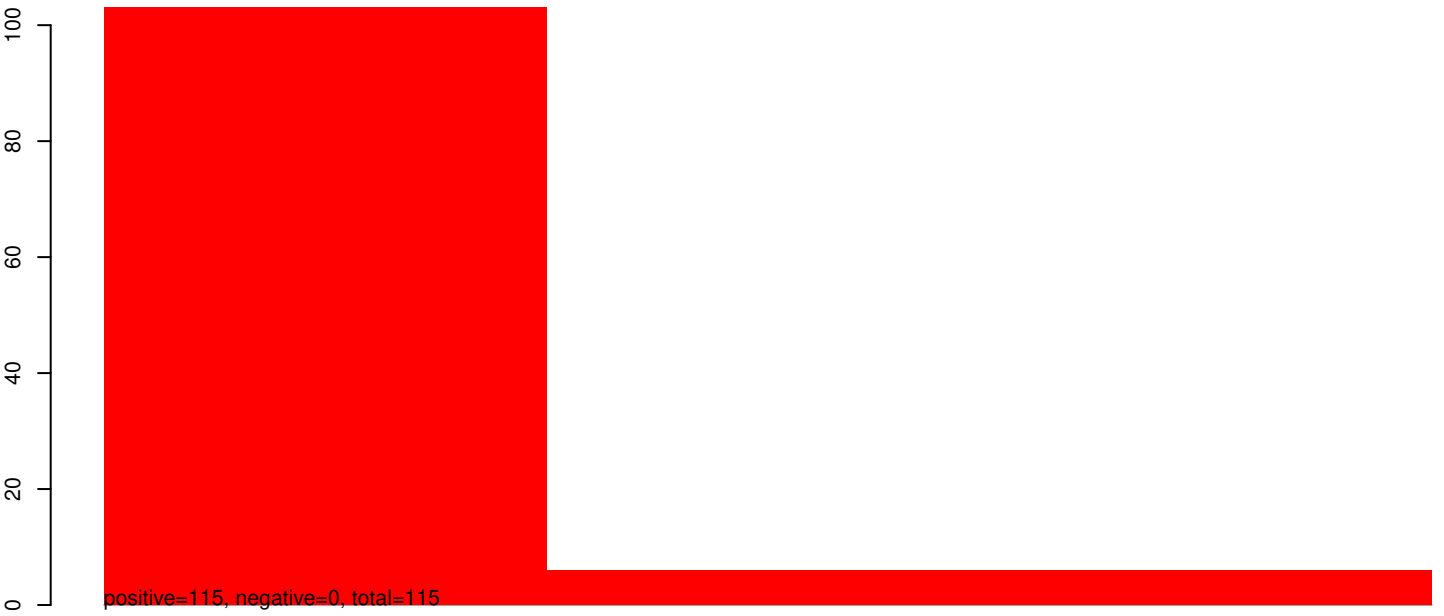
AeAeg_Whole_ZIKVdr_In_RNA_GP.rep



Window size=234 length=69, AAEL018666-RA tRNA-Asp tRNA-Asp tRNA-MT-3675-3743-1 gene-AAEL018666:1-69

40 60 80 100

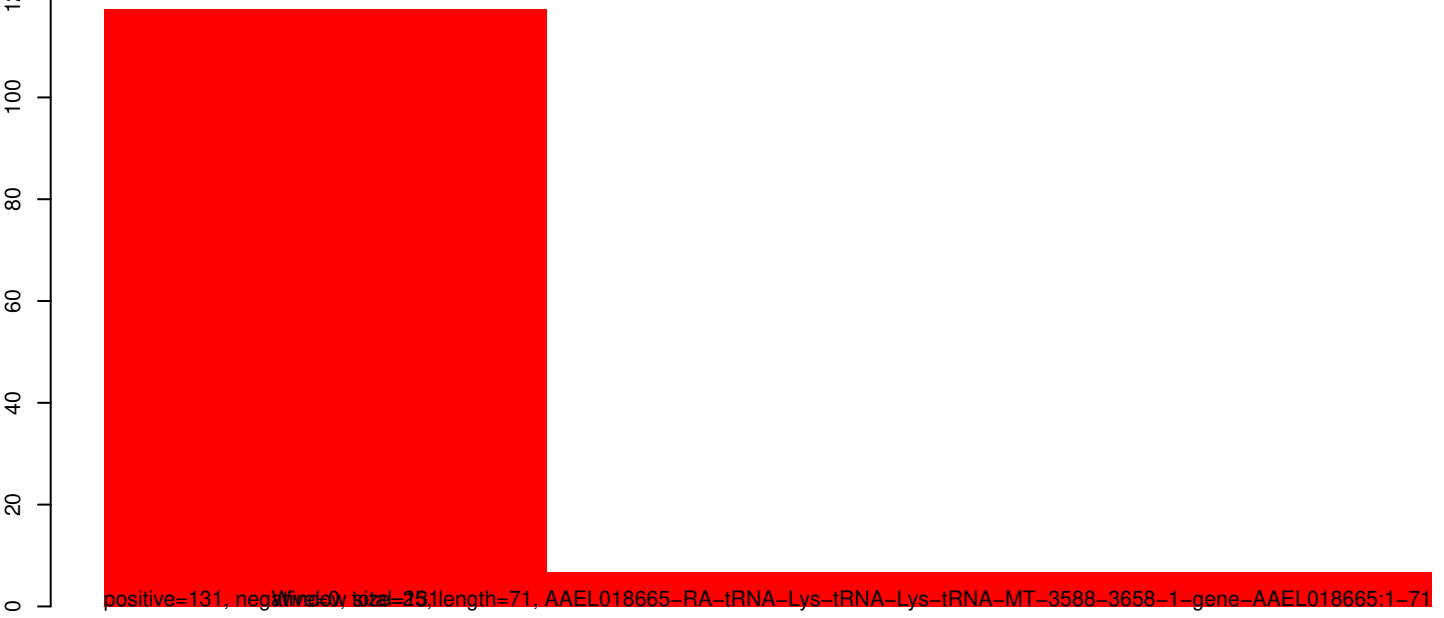
AeAeg_Whole_ZIKVdr_In_RNA_GP.18_23.rep



AeAeg_Whole_ZIKVdr_In_RNA_GP.24_35.rep

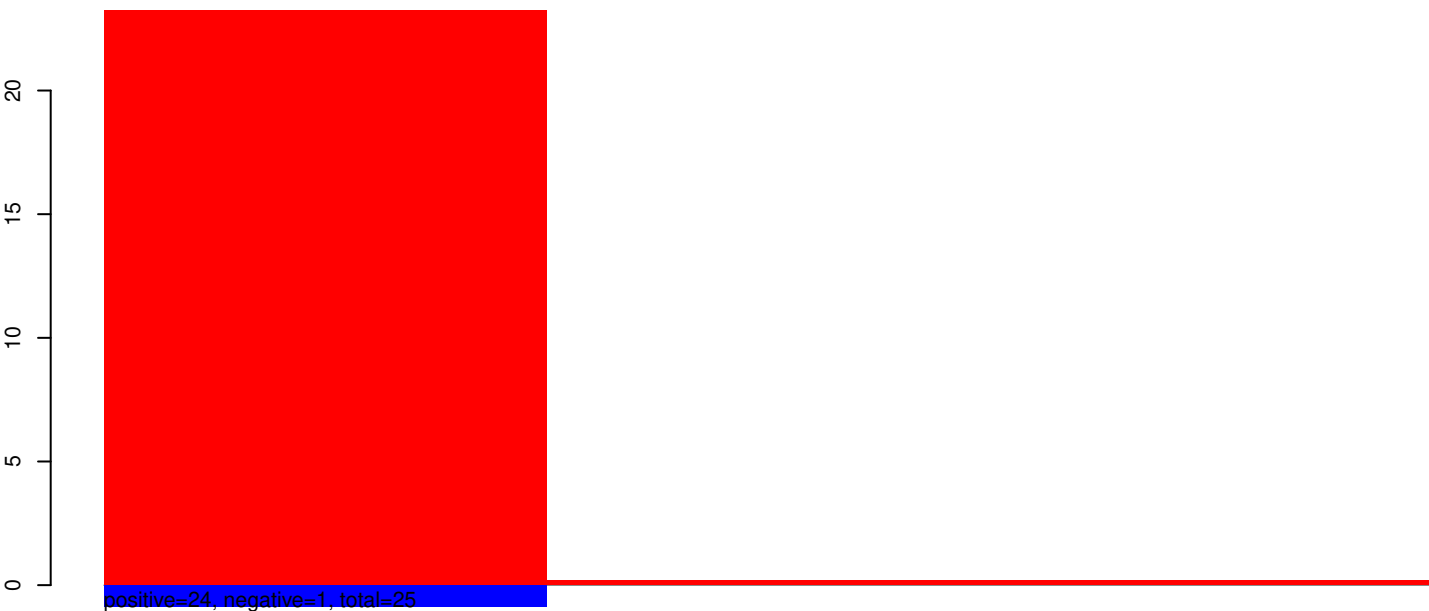


AeAeg_Whole_ZIKVdr_In_RNA_GP.rep

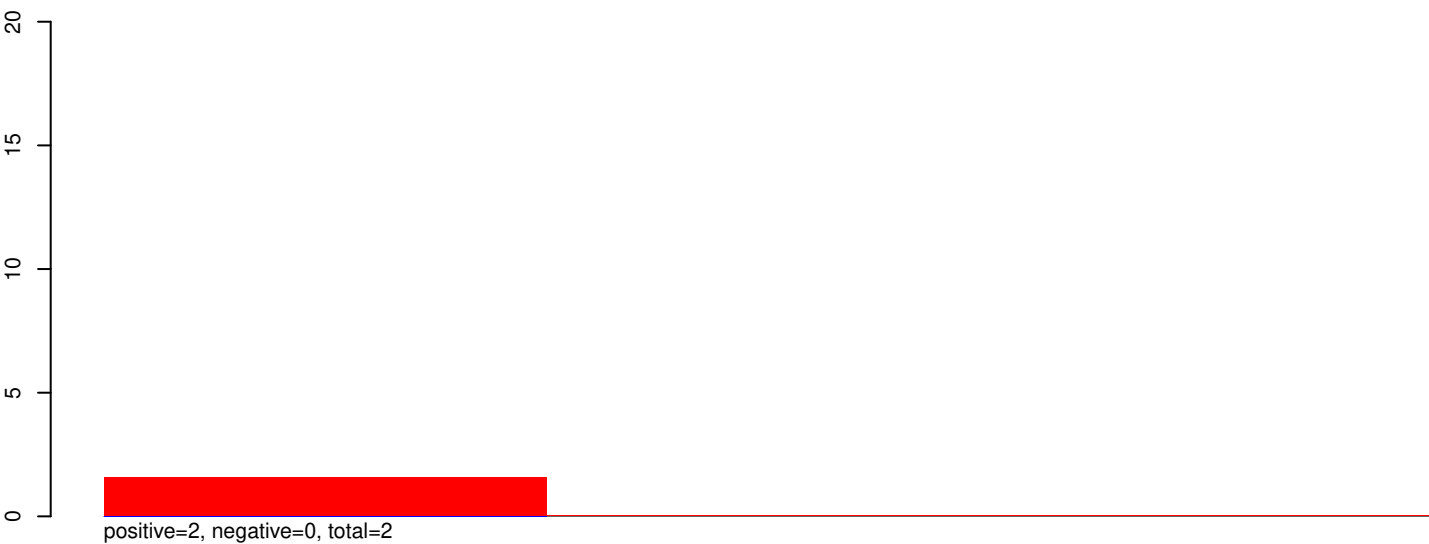


40 60 80 100

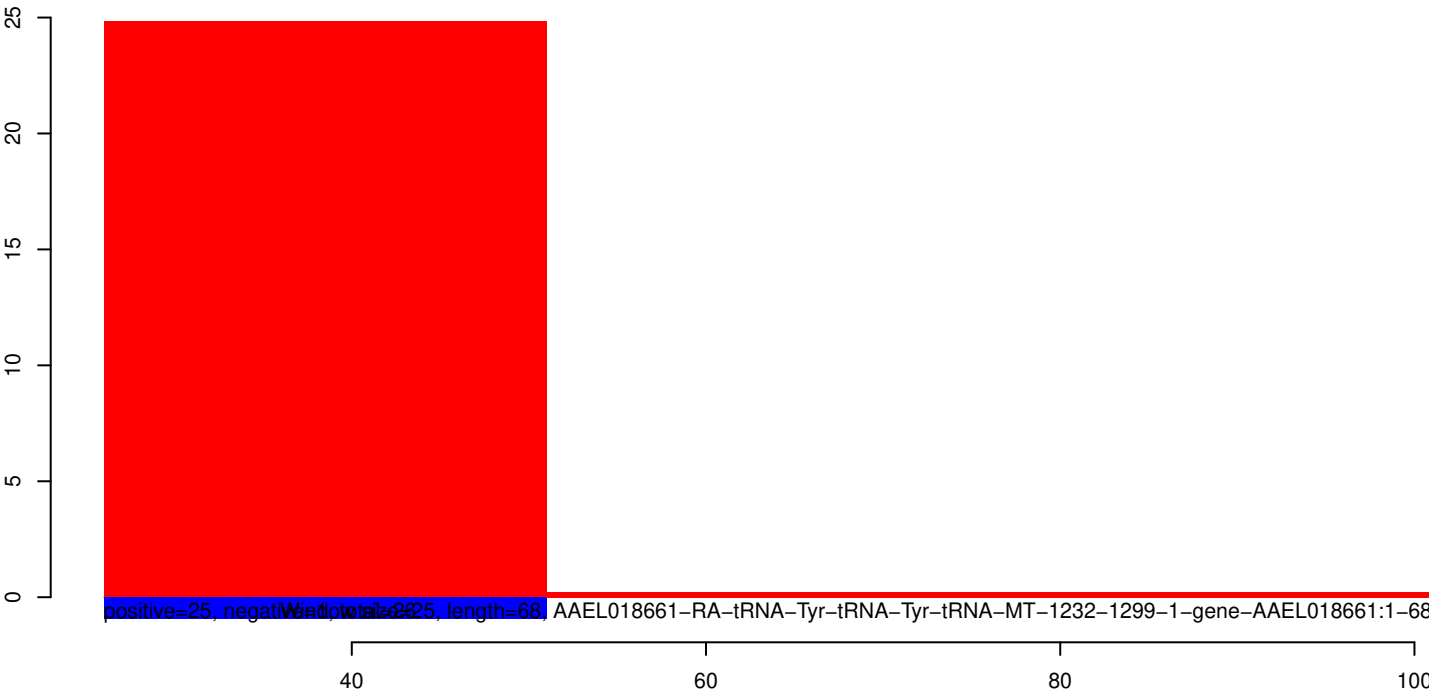
AeAeg_Whole_ZIKVdr_In_RNA_GP.18_23.rep



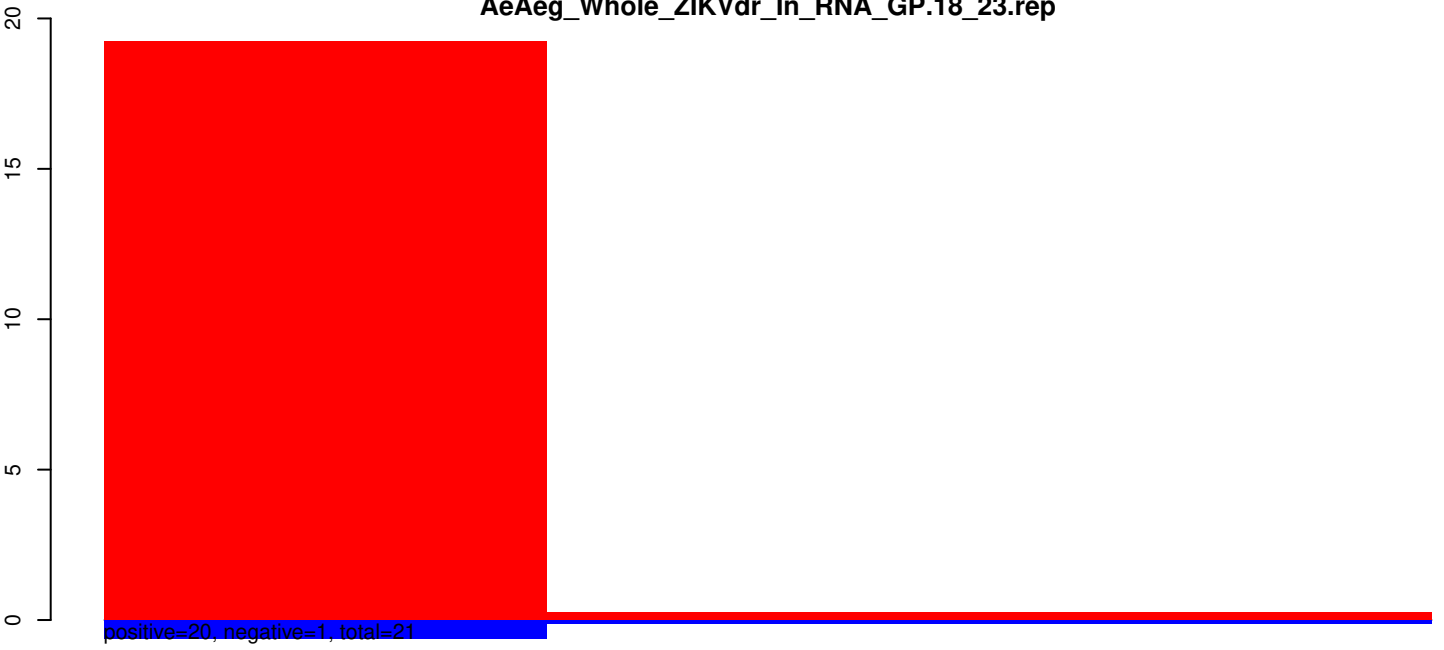
AeAeg_Whole_ZIKVdr_In_RNA_GP.24_35.rep



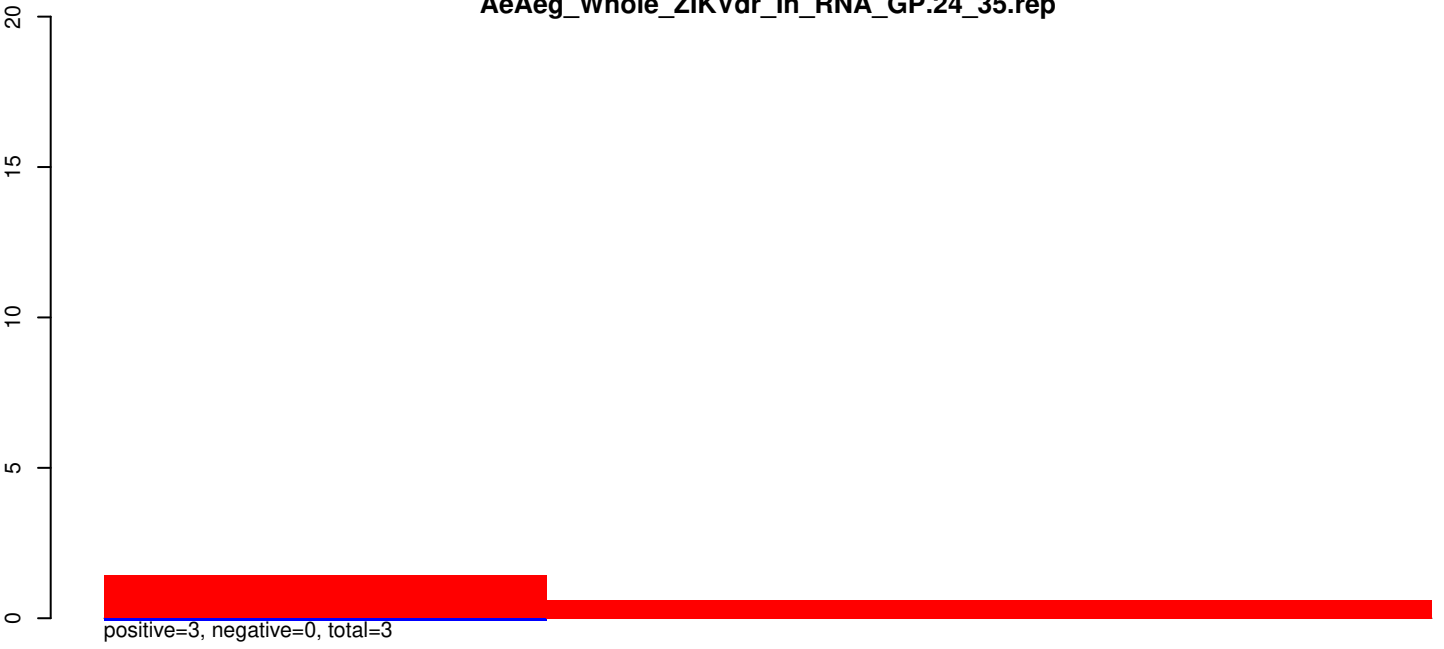
AeAeg_Whole_ZIKVdr_In_RNA_GP.rep



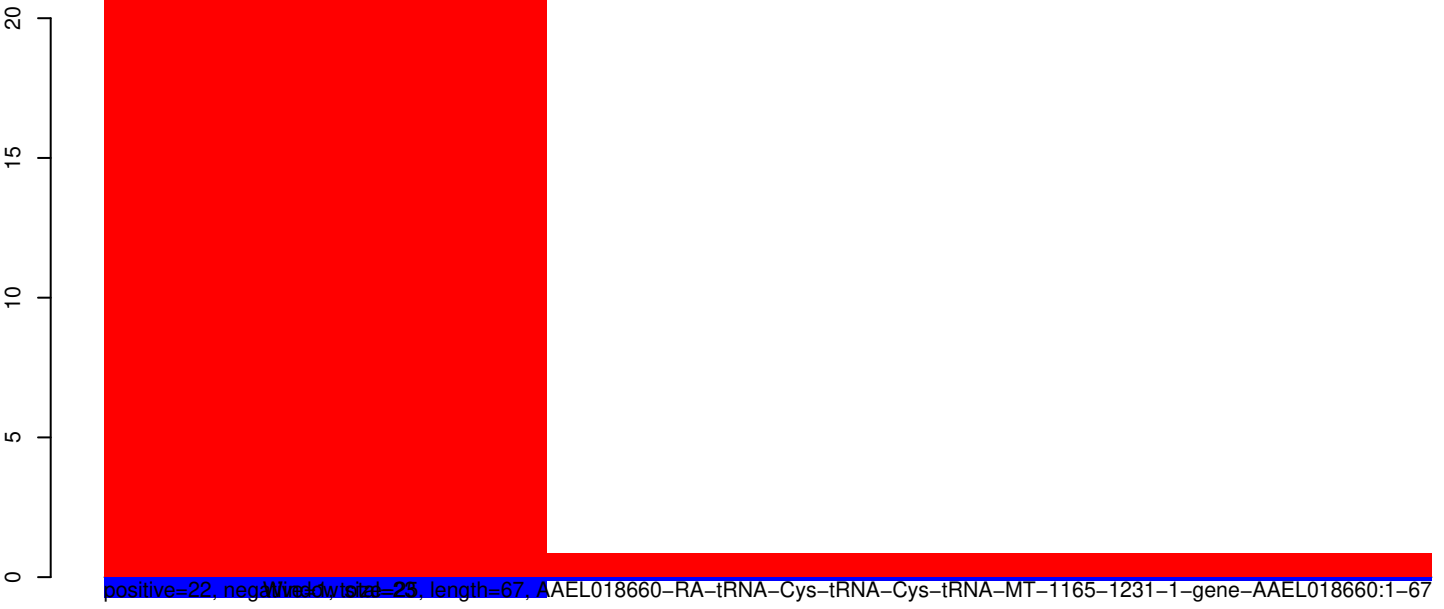
AeAeg_Whole_ZIKVdr_In_RNA_GP.18_23.rep



AeAeg_Whole_ZIKVdr_In_RNA_GP.24_35.rep

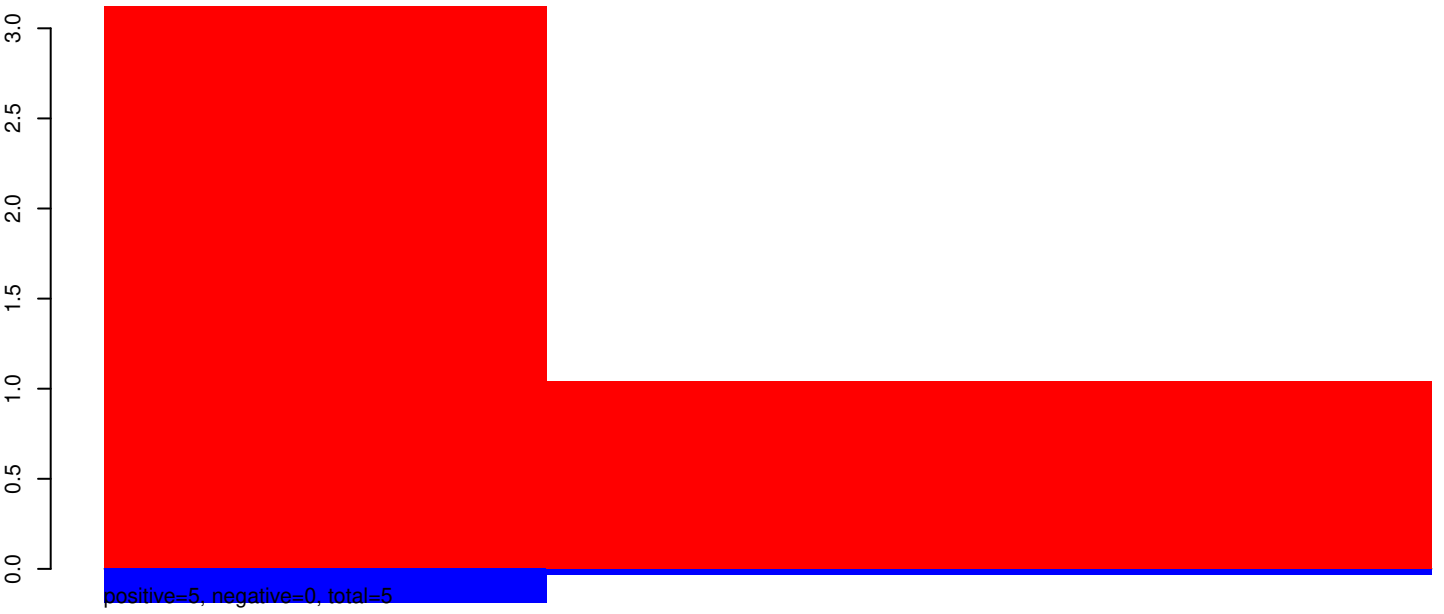


AeAeg_Whole_ZIKVdr_In_RNA_GP.rep

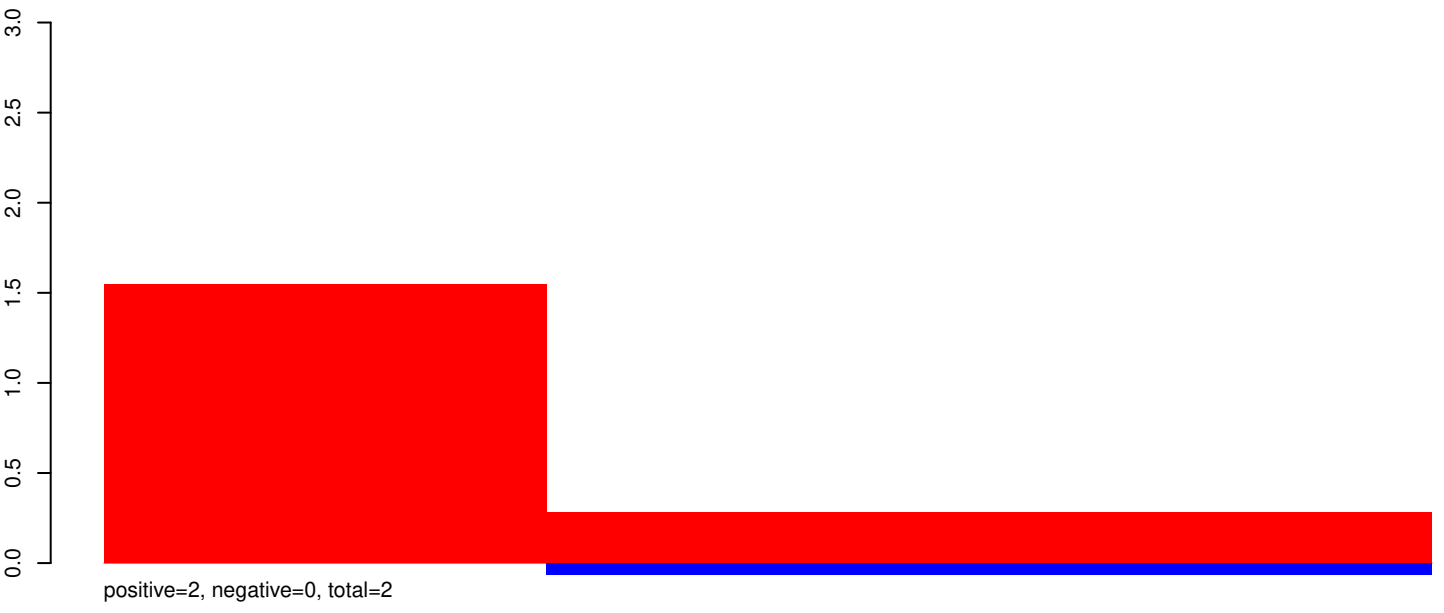


40 60 80 100

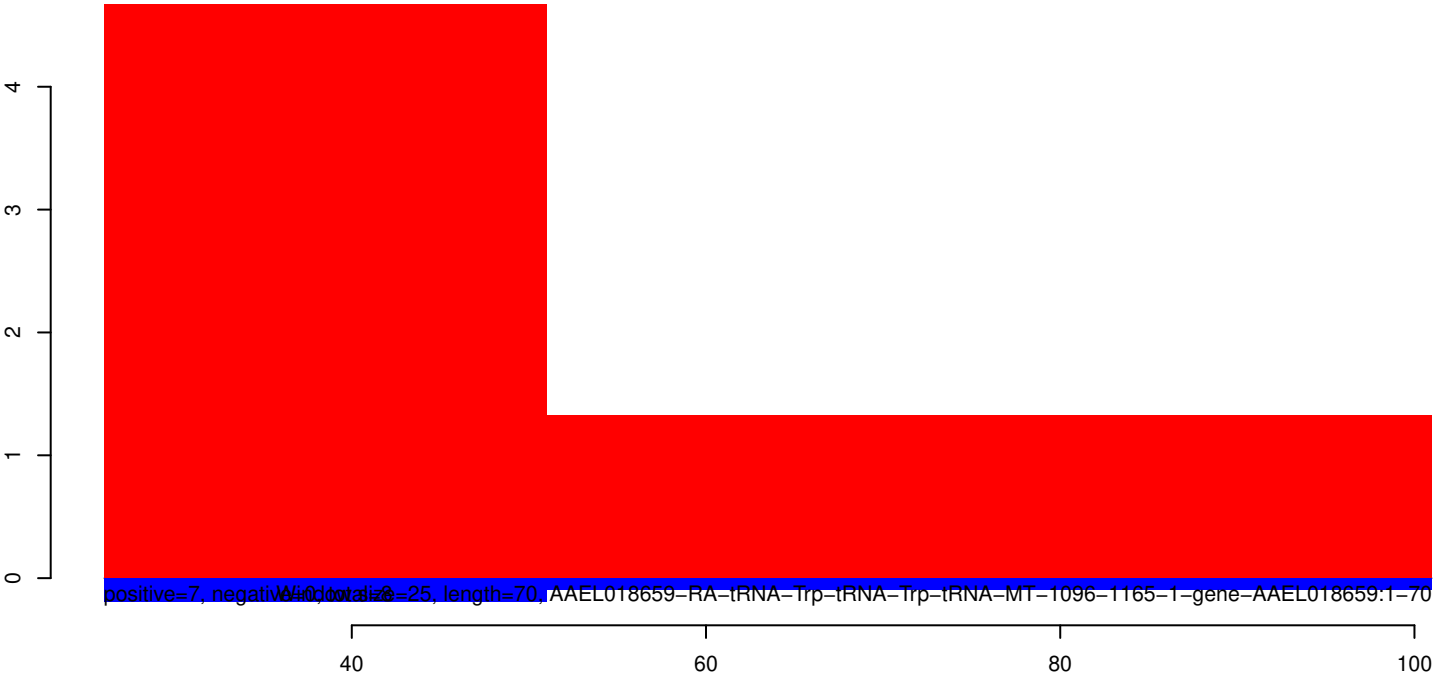
AeAeg_Whole_ZIKVdr_In_RNA_GP.18_23.rep



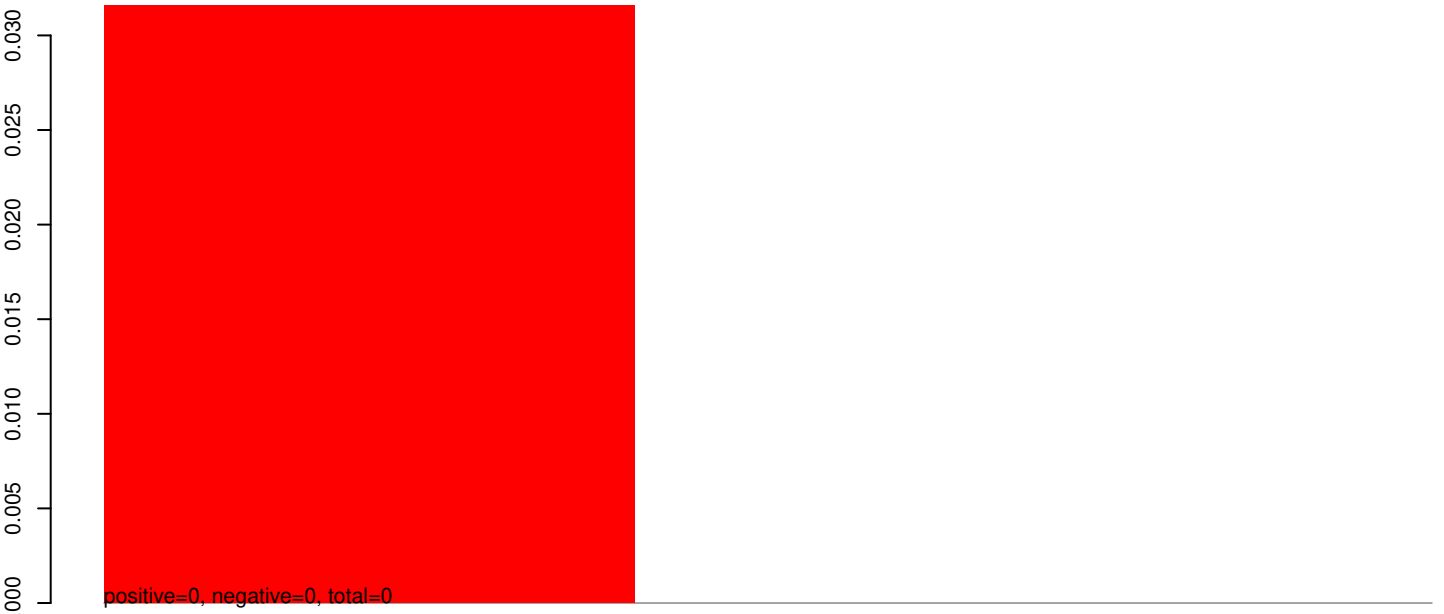
AeAeg_Whole_ZIKVdr_In_RNA_GP.24_35.rep



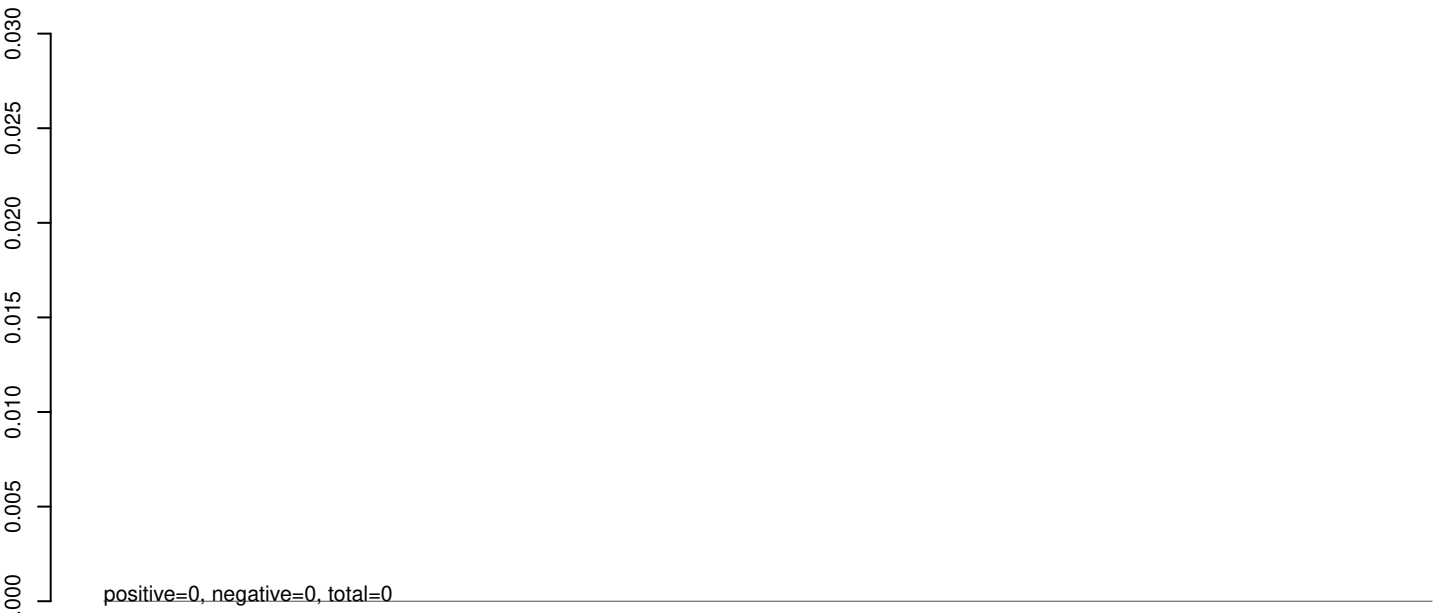
AeAeg_Whole_ZIKVdr_In_RNA_GP.rep



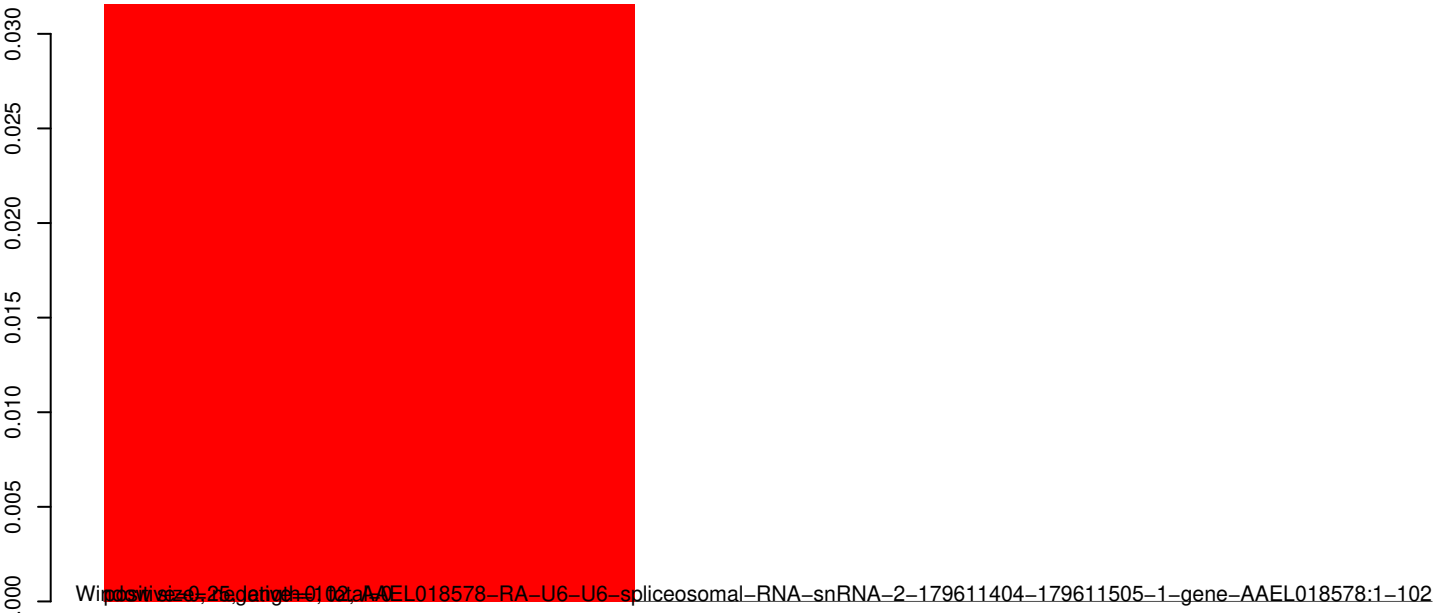
AeAeg_Whole_ZIKVdr_In_RNA_GP.18_23.rep



AeAeg_Whole_ZIKVdr_In_RNA_GP.24_35.rep



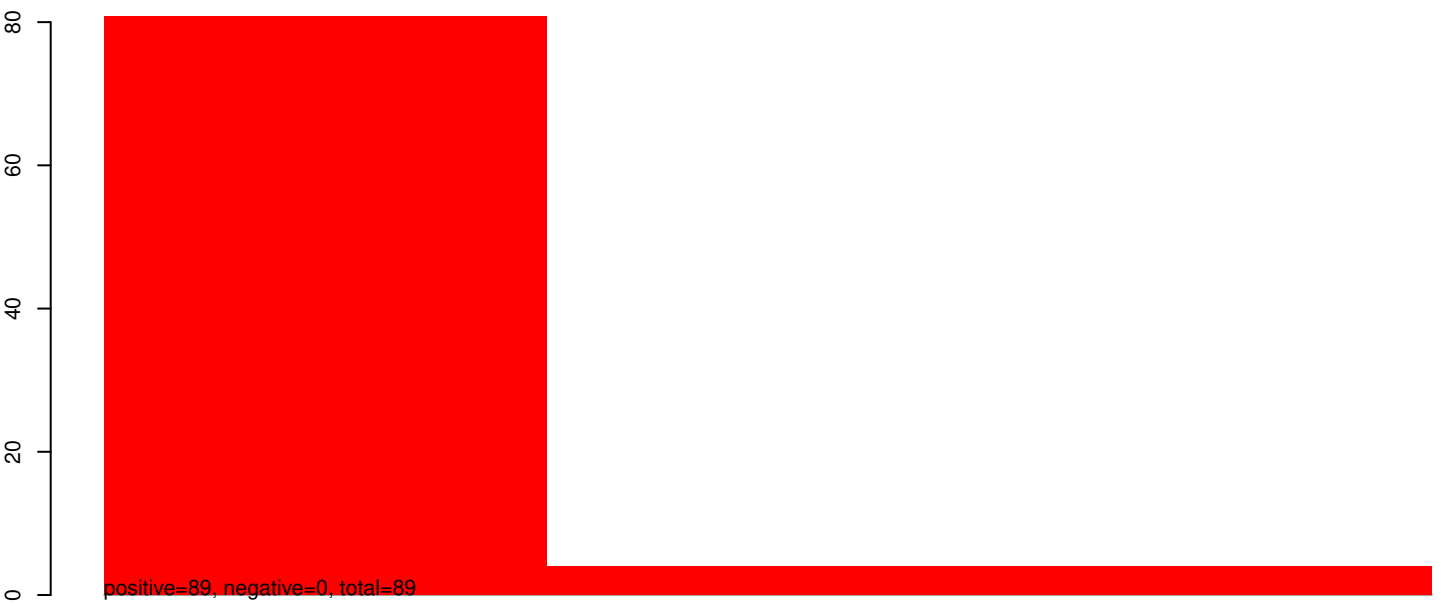
AeAeg_Whole_ZIKVdr_In_RNA_GP.rep



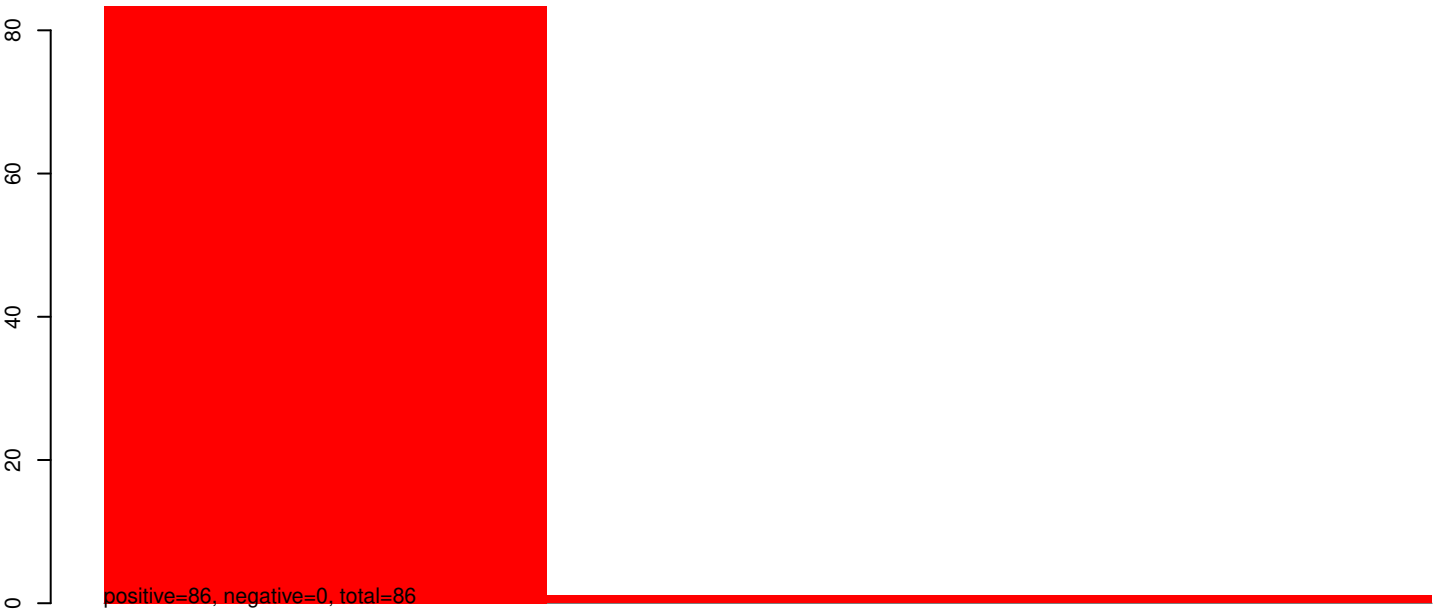
Window size=25, range=100, AAEL018578-RA-U6-U6-spliceosomal-RNA-snRNA-2-179611404-179611505-1-gene-AAEL018578:1-102

40 60 80 100 120 140

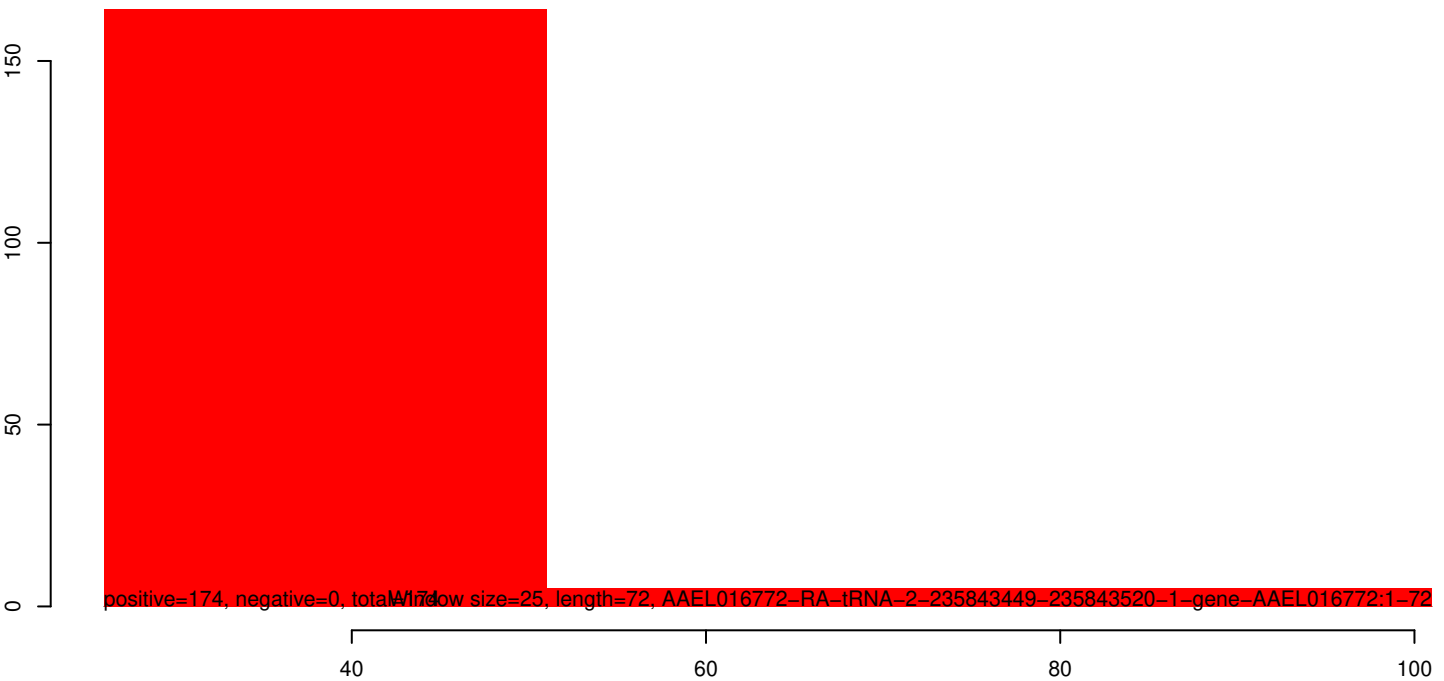
AeAeg_Whole_ZIKVdr_In_RNA_GP.18_23.rep



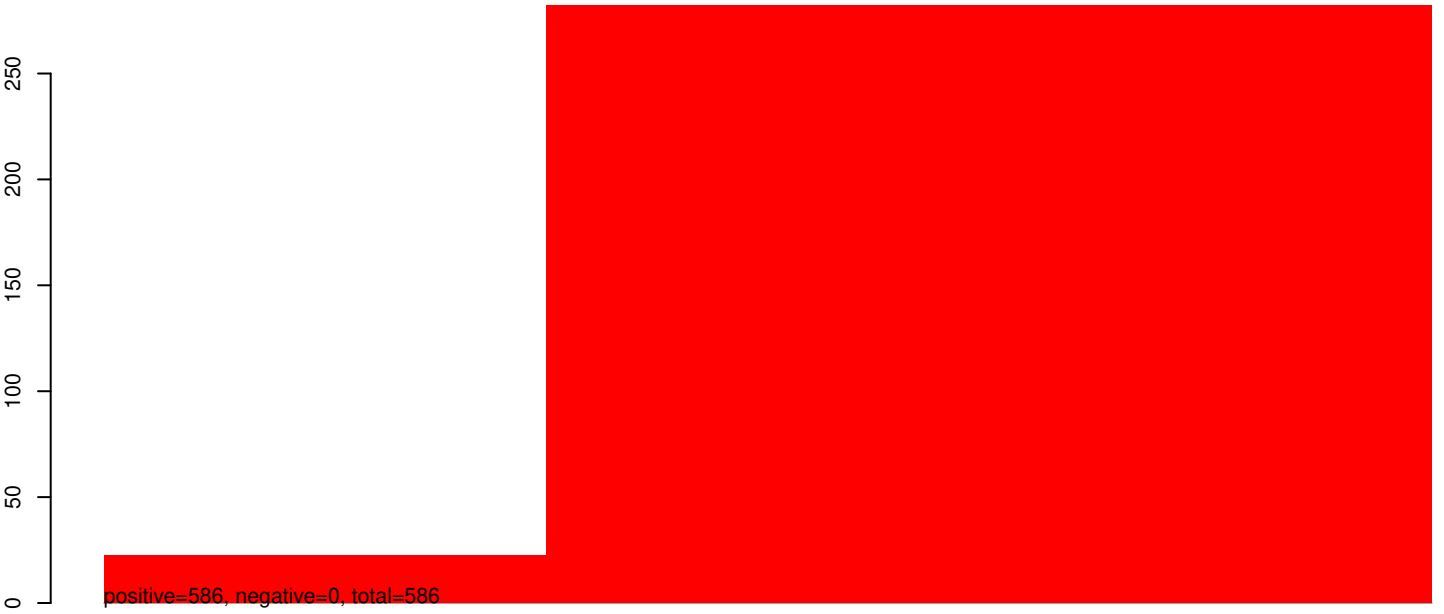
AeAeg_Whole_ZIKVdr_In_RNA_GP.24_35.rep



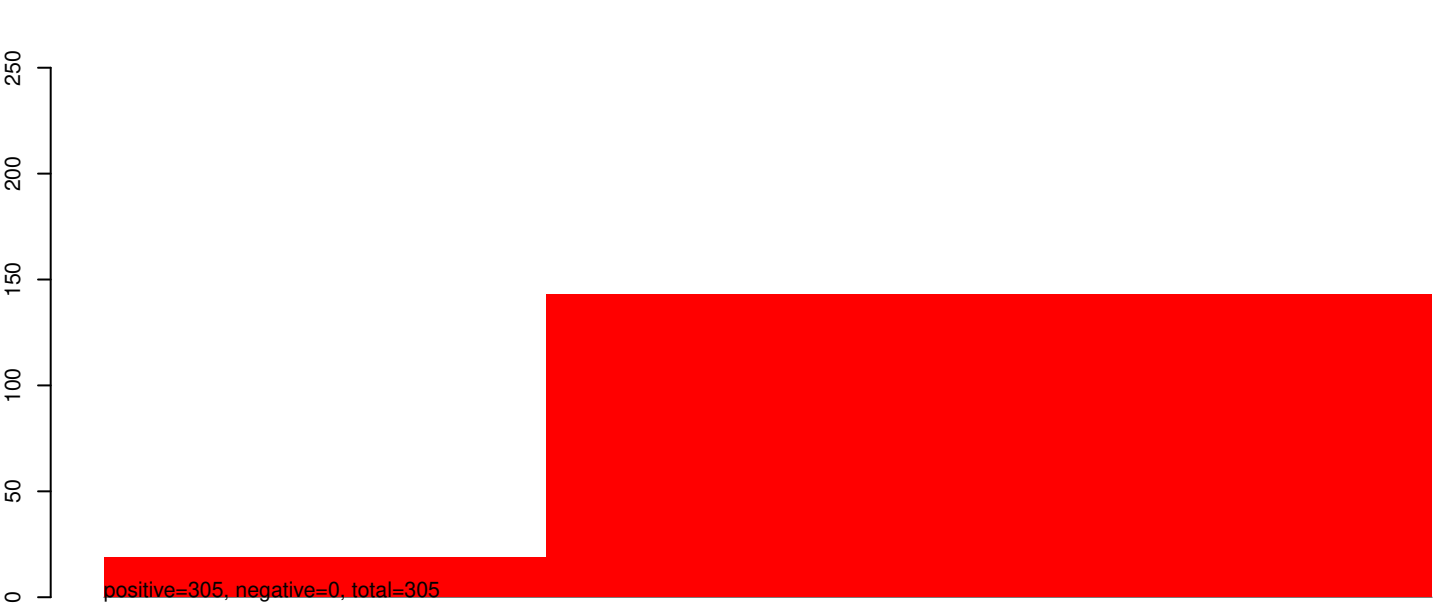
AeAeg_Whole_ZIKVdr_In_RNA_GP.rep



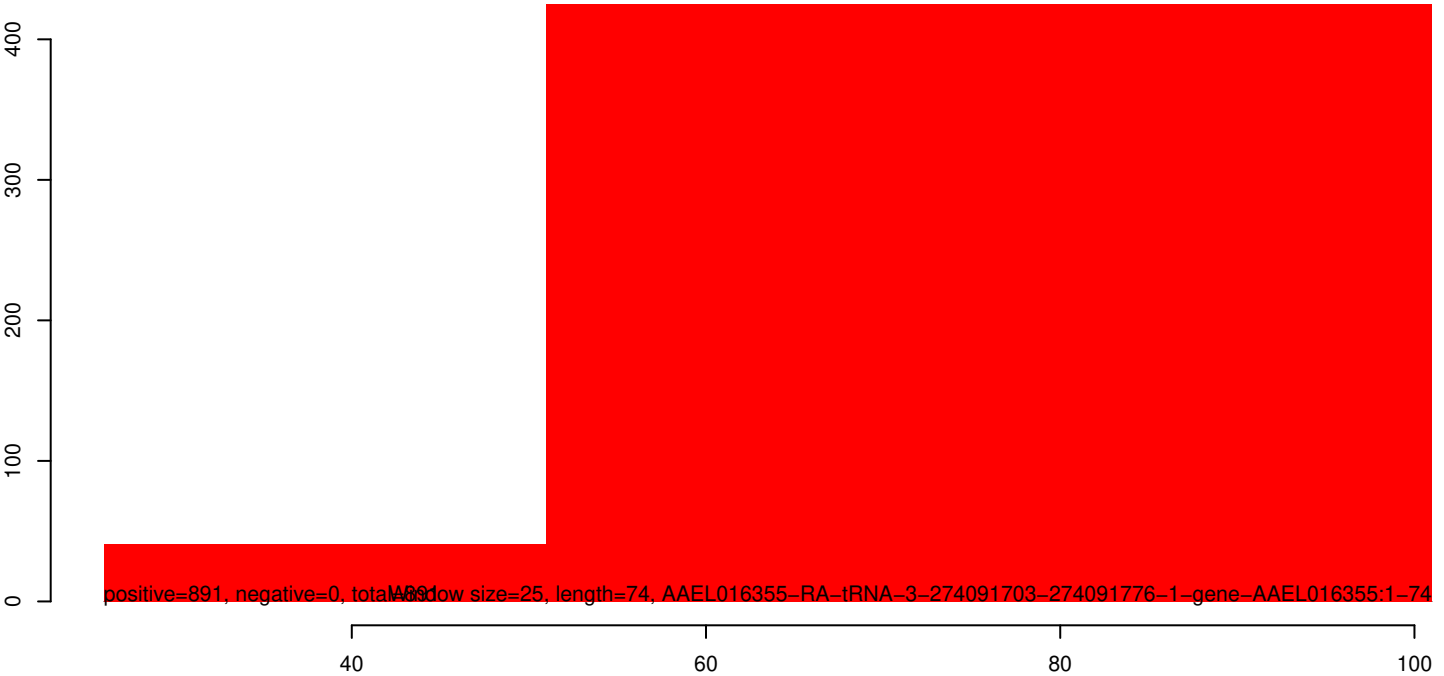
AeAeg_Whole_ZIKVdr_In_RNA_GP.18_23.rep



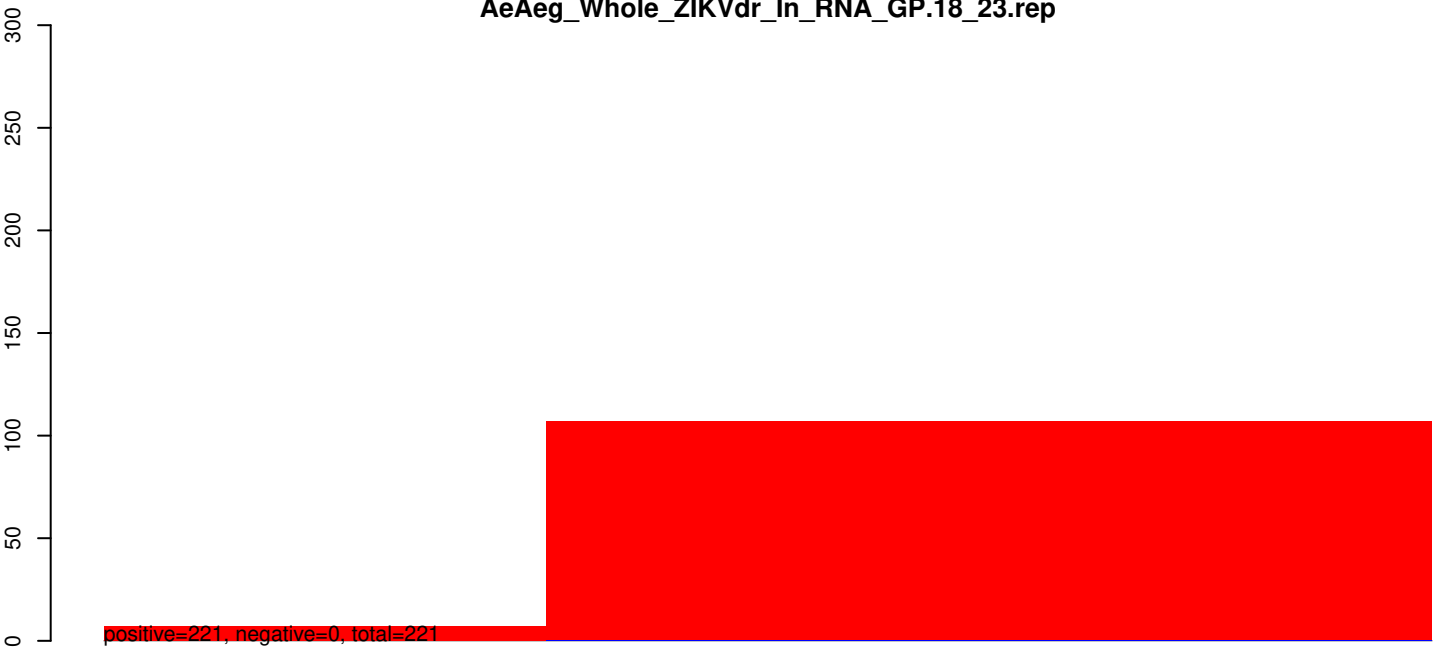
AeAeg_Whole_ZIKVdr_In_RNA_GP.24_35.rep



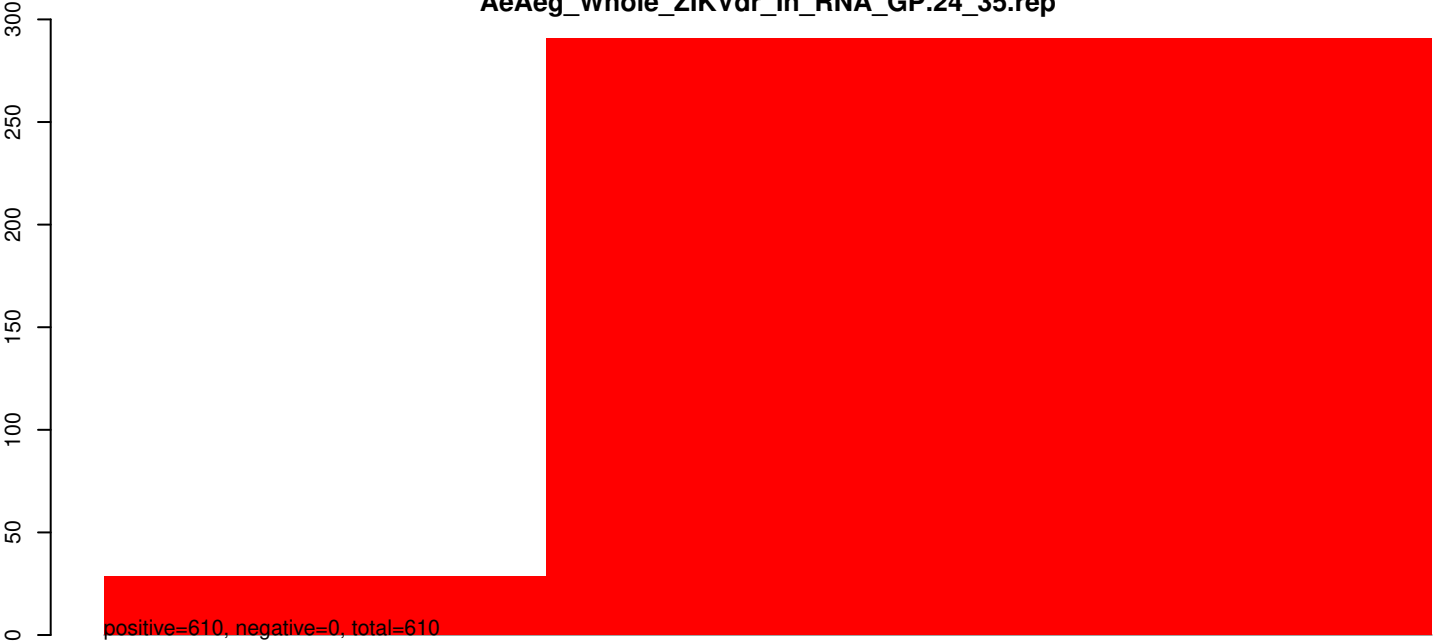
AeAeg_Whole_ZIKVdr_In_RNA_GP.rep



AeAeg_Whole_ZIKVdr_In_RNA_GP.18_23.rep



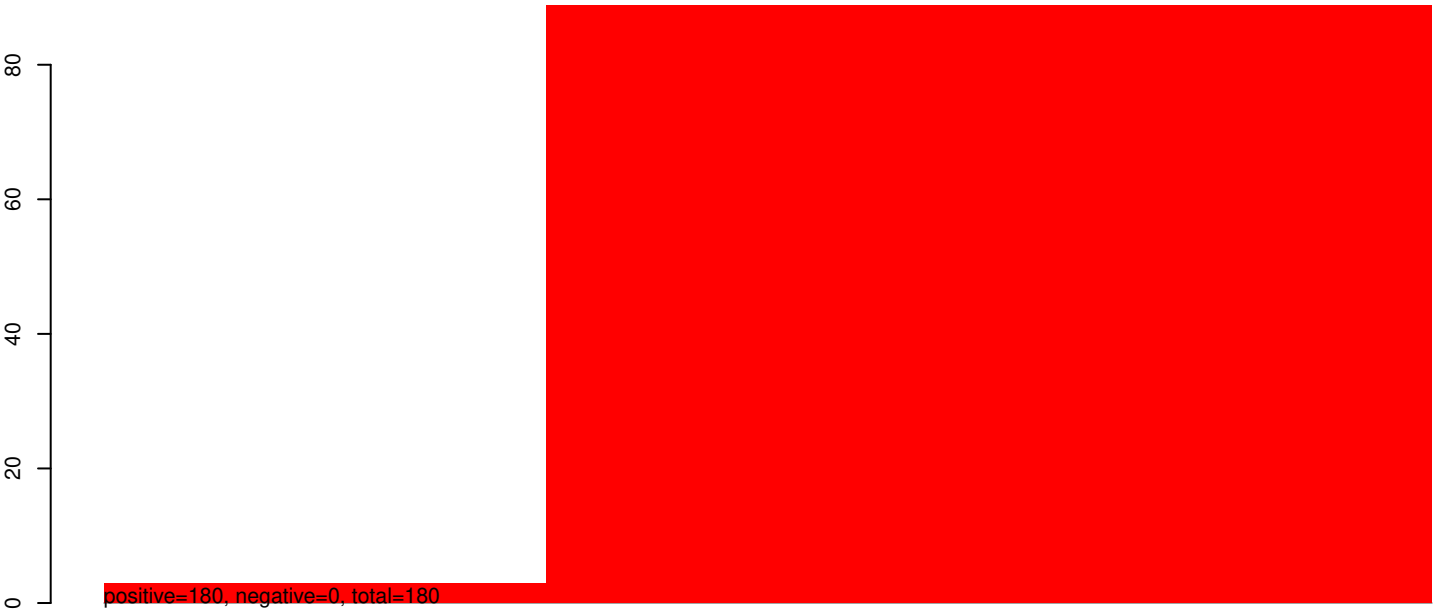
AeAeg_Whole_ZIKVdr_In_RNA_GP.24_35.rep



AeAeg_Whole_ZIKVdr_In_RNA_GP.rep



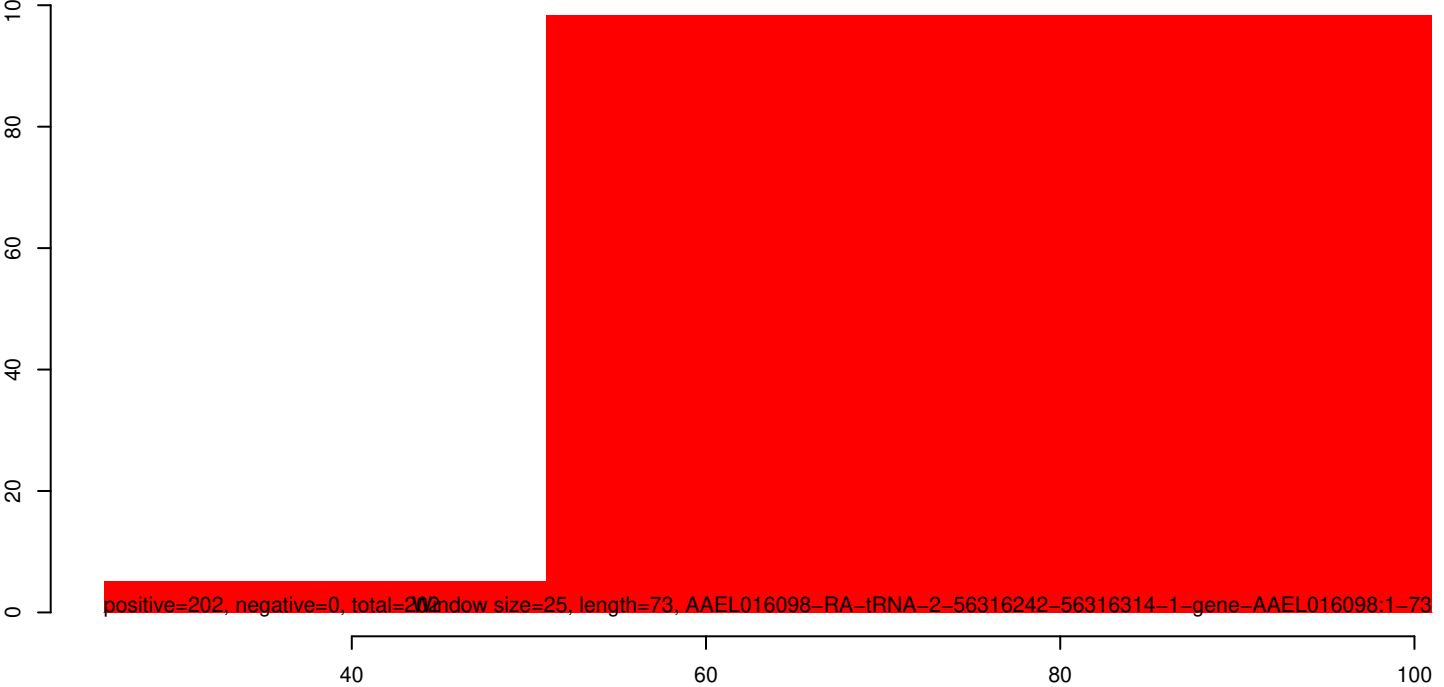
AeAeg_Whole_ZIKVdr_In_RNA_GP.18_23.rep



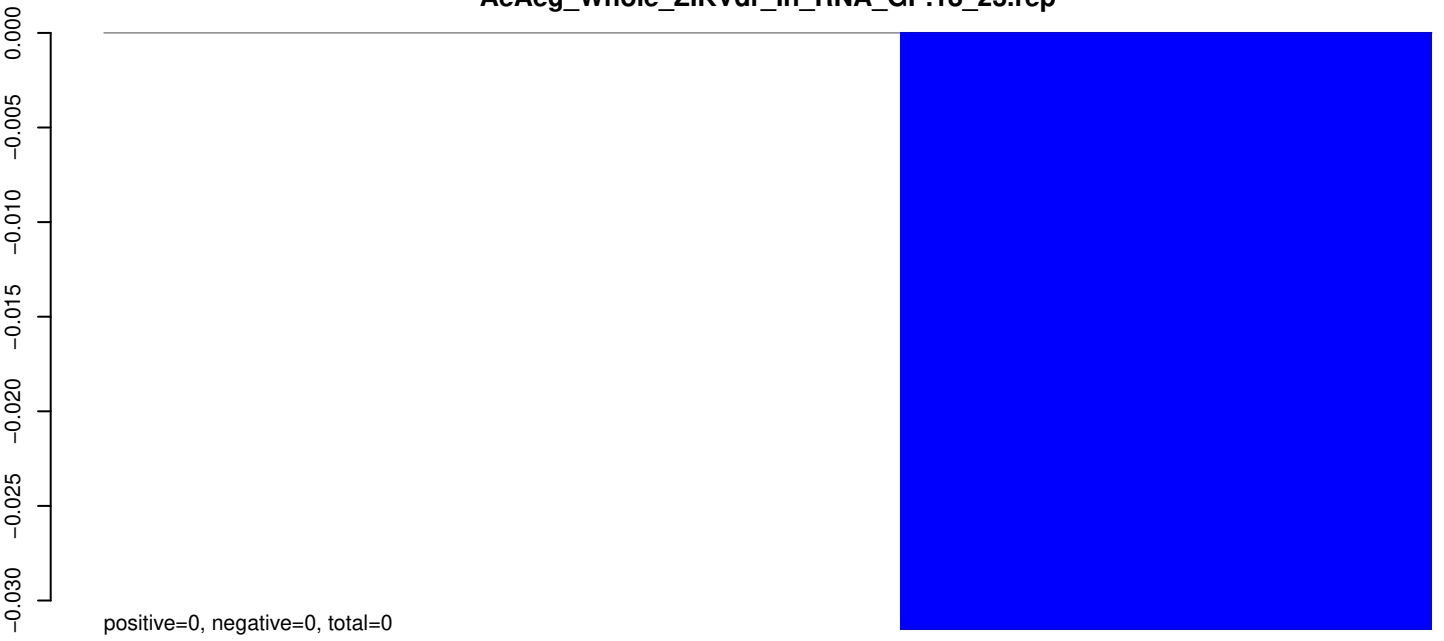
AeAeg_Whole_ZIKVdr_In_RNA_GP.24_35.rep



AeAeg_Whole_ZIKVdr_In_RNA_GP.rep



AeAeg_Whole_ZIKVdr_In_RNA_GP.18_23.rep



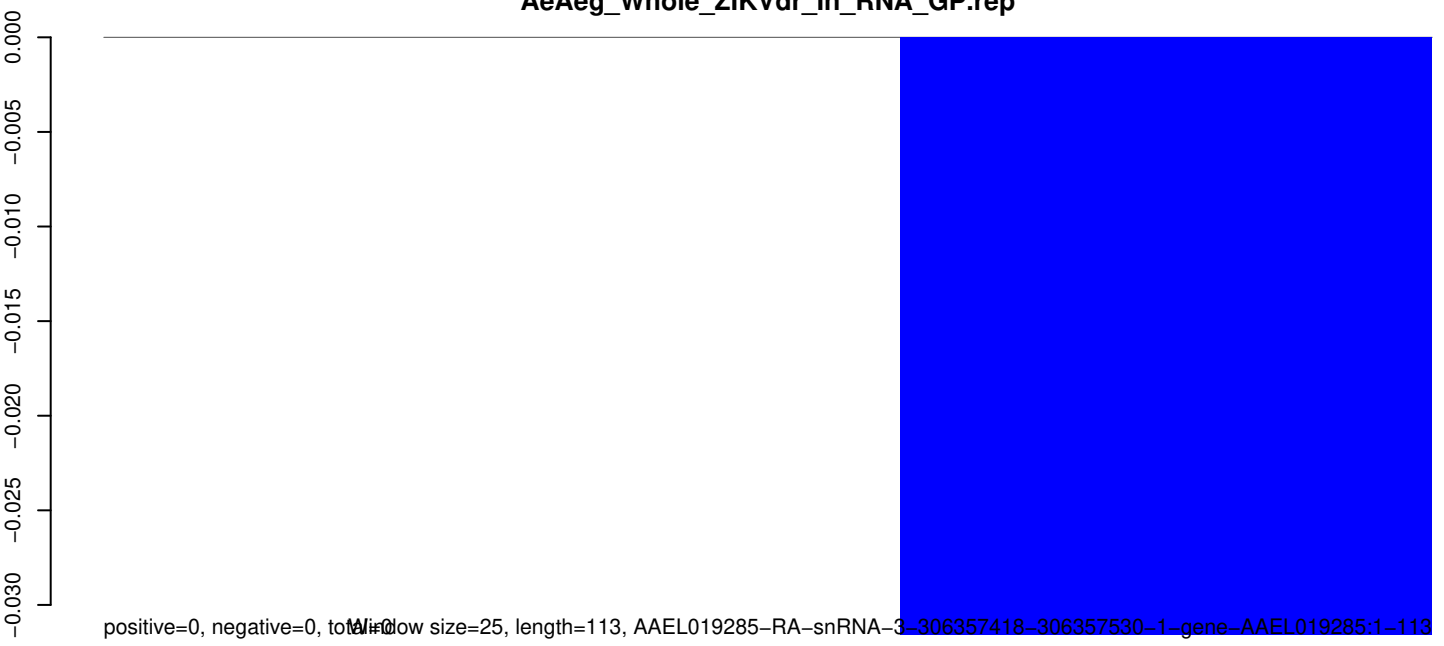
positive=0, negative=0, total=0

AeAeg_Whole_ZIKVdr_In_RNA_GP.24_35.rep



positive=0, negative=0, total=0

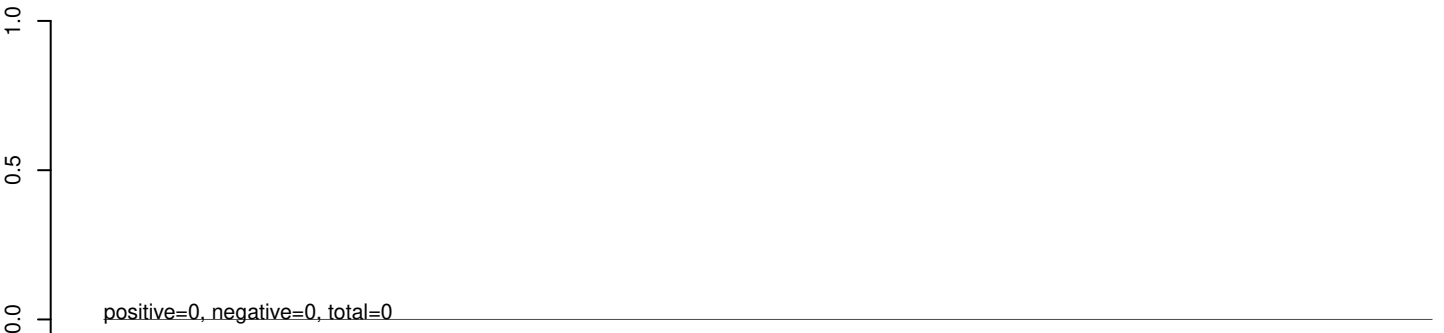
AeAeg_Whole_ZIKVdr_In_RNA_GP.rep



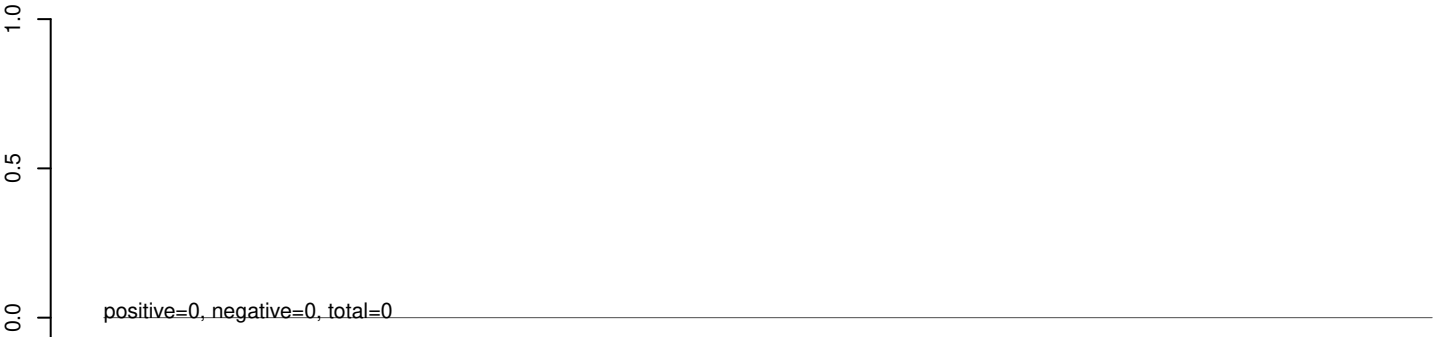
positive=0, negative=0, total=0

40 60 80 100 120 140

AeAeg_Whole_ZIKVdr_In_RNA_GP.18_23.rep



AeAeg_Whole_ZIKVdr_In_RNA_GP.24_35.rep



AeAeg_Whole_ZIKVdr_In_RNA_GP.rep

